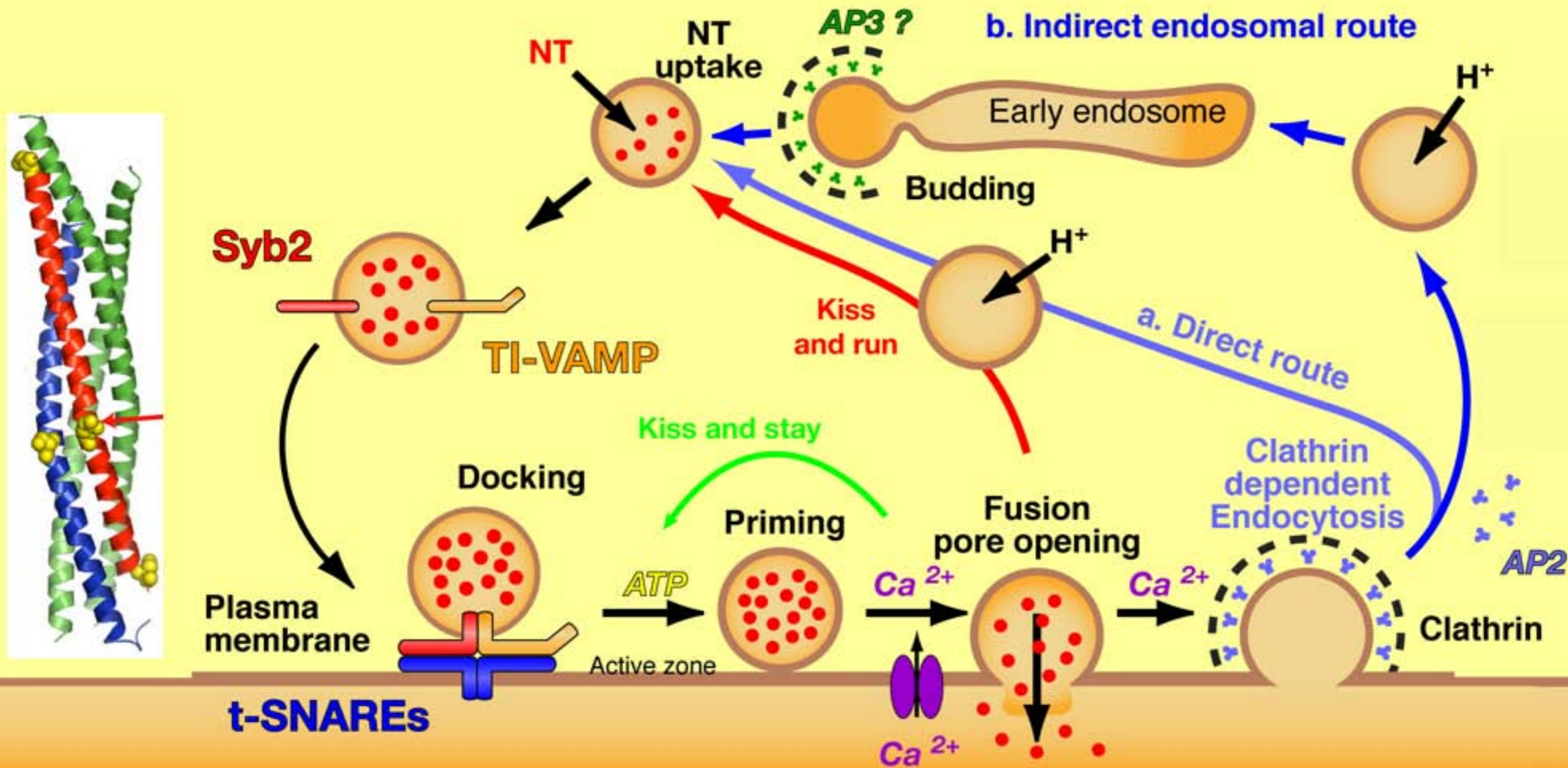


Complexe SNARE et communication cellulaire



Télécharger le cours sur <http://lydia.danglot.free.fr>

Lydia Danglot

Master de Neurosciences

Module « Communication cellulaire »

Université Pierre et Marie Curie (Paris 6)

20 octobre 2008



Institut Jacques Monod,
Universités Paris VI & VII

Equipe Avenir Inserm T. GALLI

danglot@ijm.jussieu.fr

Le complexe SNARE et la communication cellulaire

1. Exocytose et complexe SNARE

Les voies d'exocytose régulée
Définition du complexe SNARE
Nomenclature v/t-SNARE et R/Q-SNARE

2. Exemple de la synapse

Découverte de NSF et SNAP
Isolement des SNARE
Rôle de NSF & SNAP dans la fusion

3. Le cycle des vésicules synaptiques

Voie lente: endocytose médiée par la clathrine
Voie courte: kiss and run
Les différents « pool » vésiculaires

4. Comment mesurer l'exocytose ?

Capacitance
Ampérométrie
GFP pH sensible: la Phluorin
Utilisation des SNARE inversée

5. Comment mesurer le recyclage ?

Utilisation des anti-synaptotagmine
Sondes fluorescentes de type FM

6. Régulation de l'exocytose

Munc-18 et les protéines SM
Munc 13, RIM et Rab3
Rôle de la complexine, synaptotagmine et du calcium

7. Exemple de souris mutantes

KO de la synaptobrevine
Mutants de l'adaptateur AP-3: les mocha

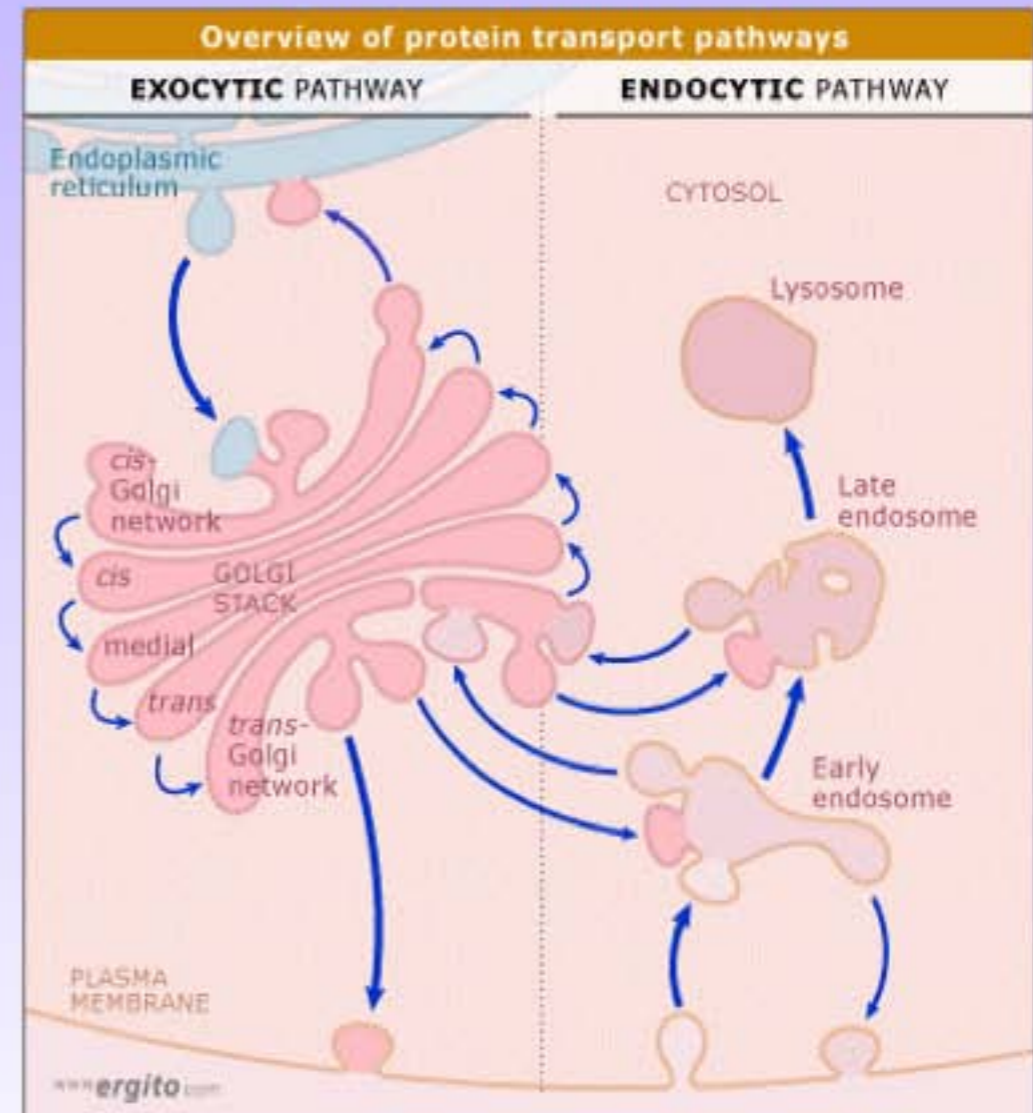
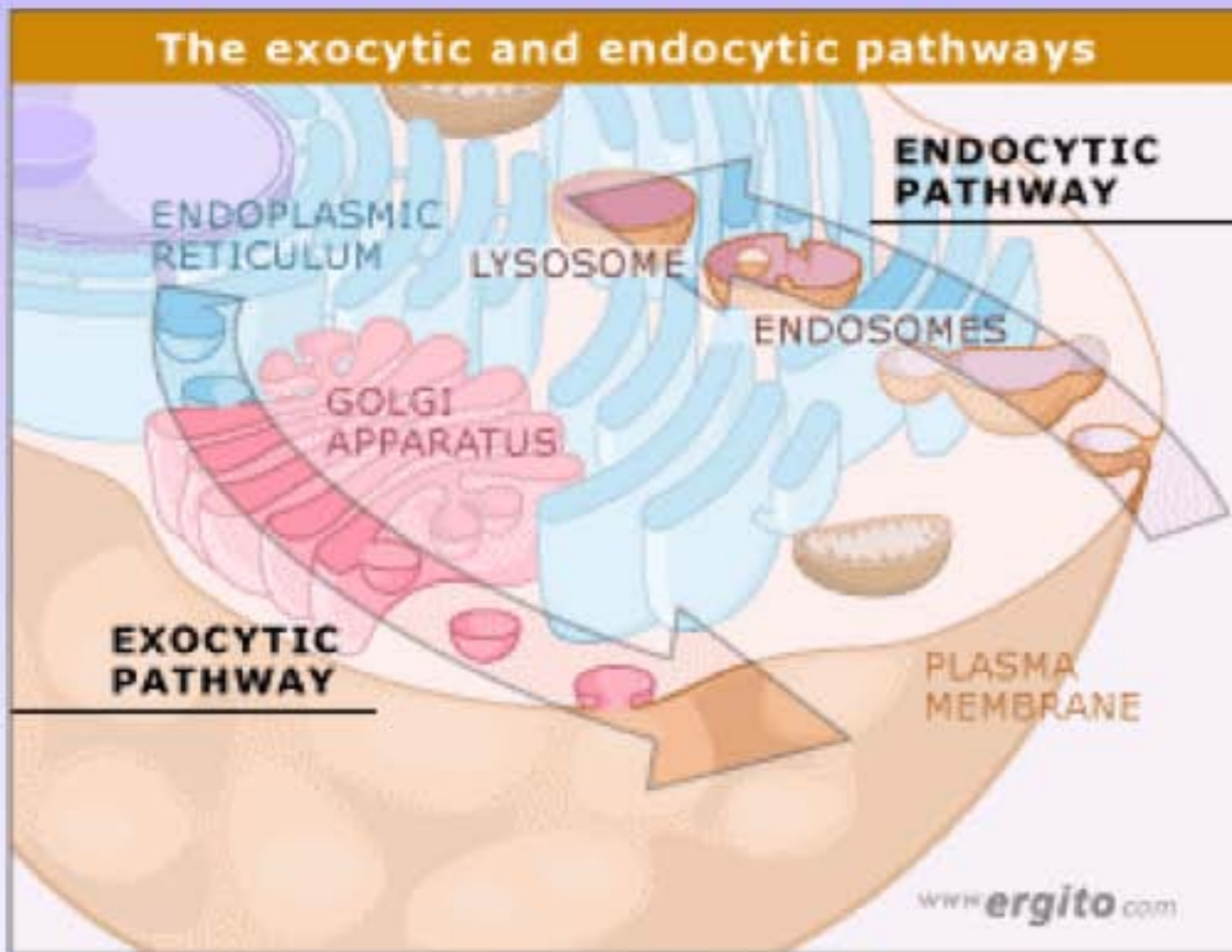
Dr Lydia Danglot

Institut Jacques Monod CNRS 7592

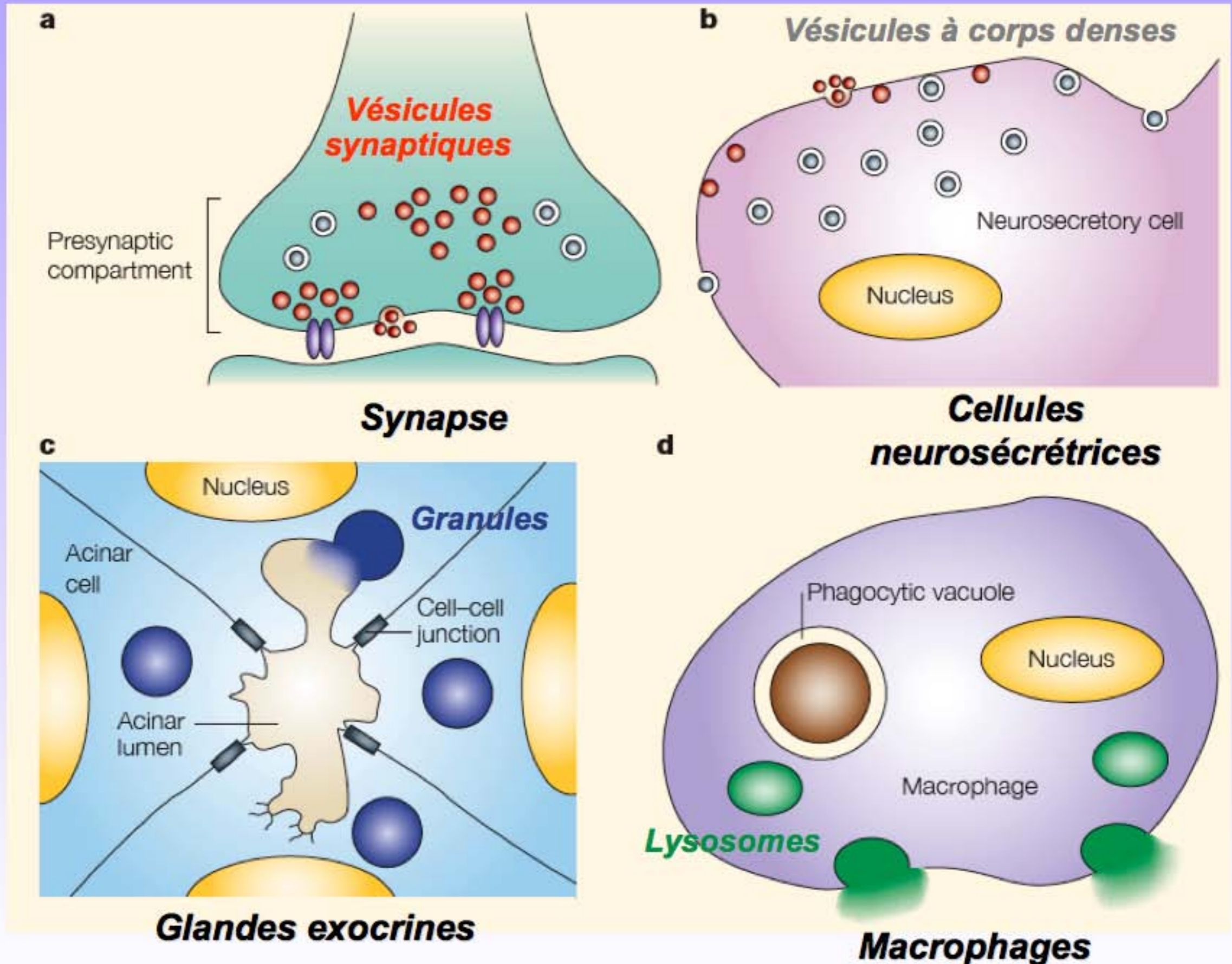
Equipe Avenir Inserm T. GALLI

danglot@ijm.jussieu.fr

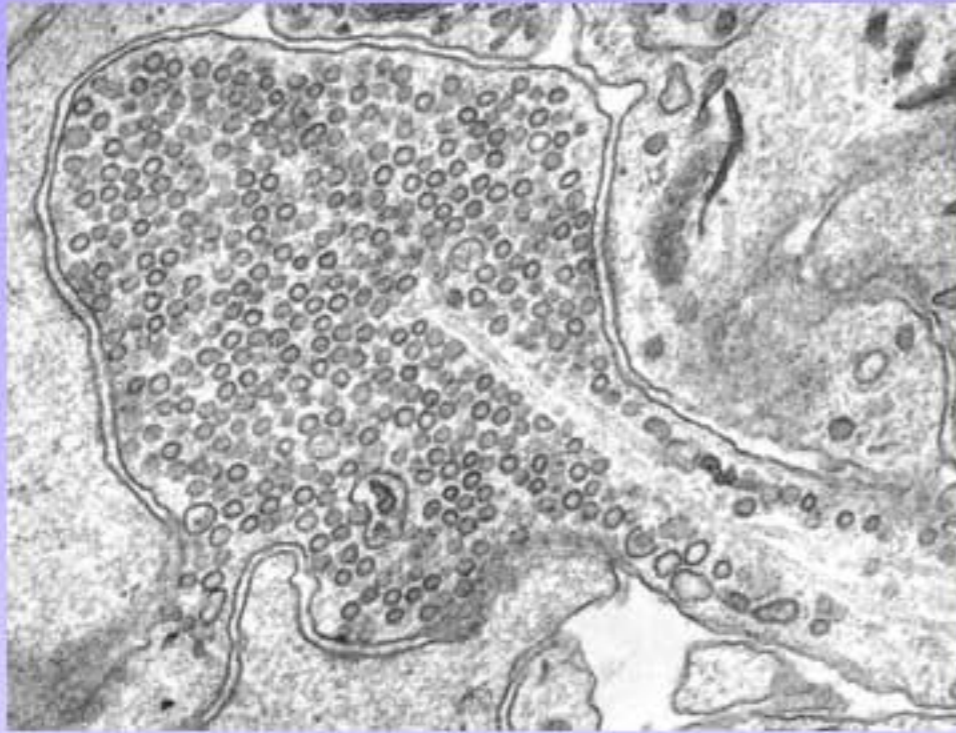
Exo-endocytose



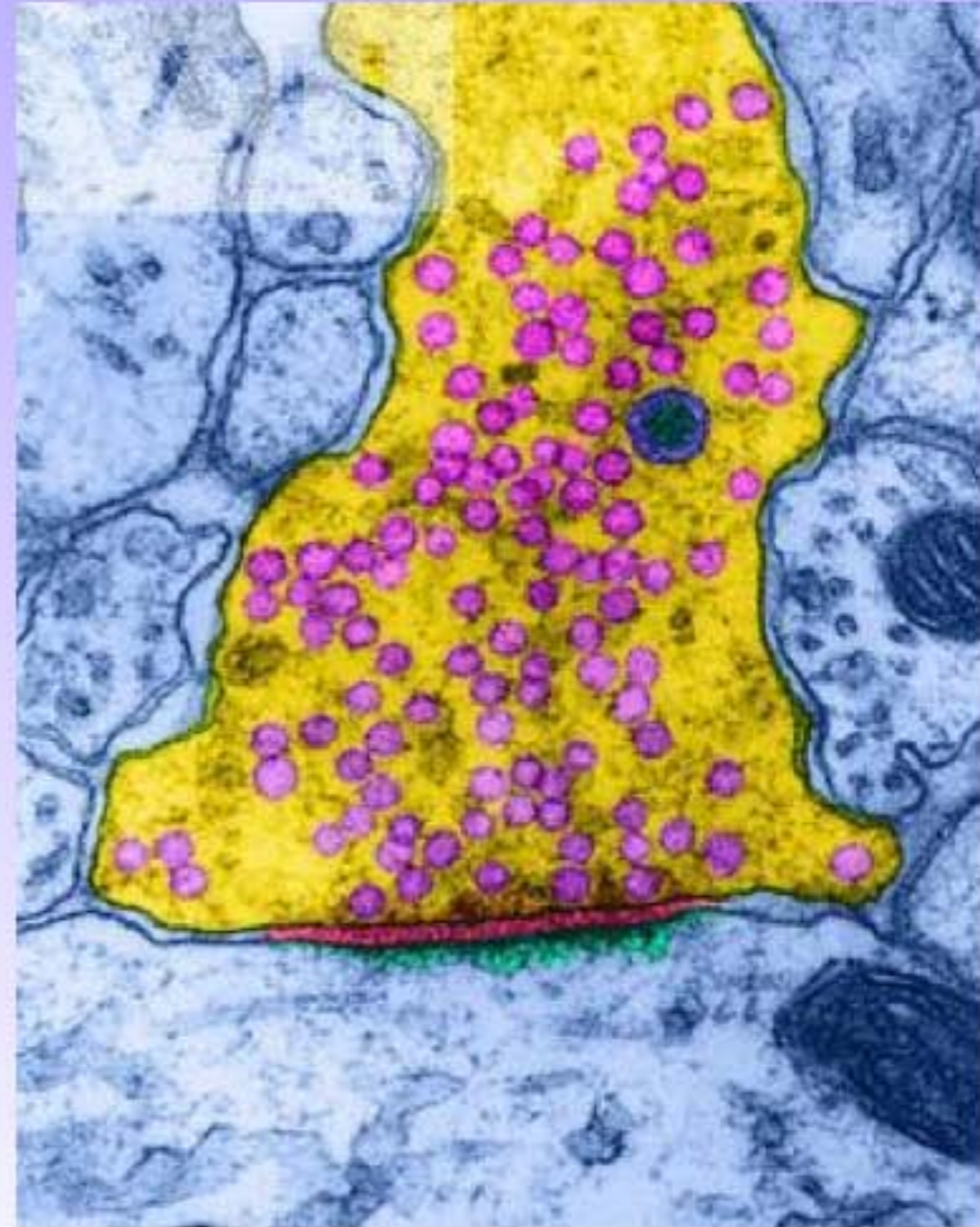
Exocytose régulée



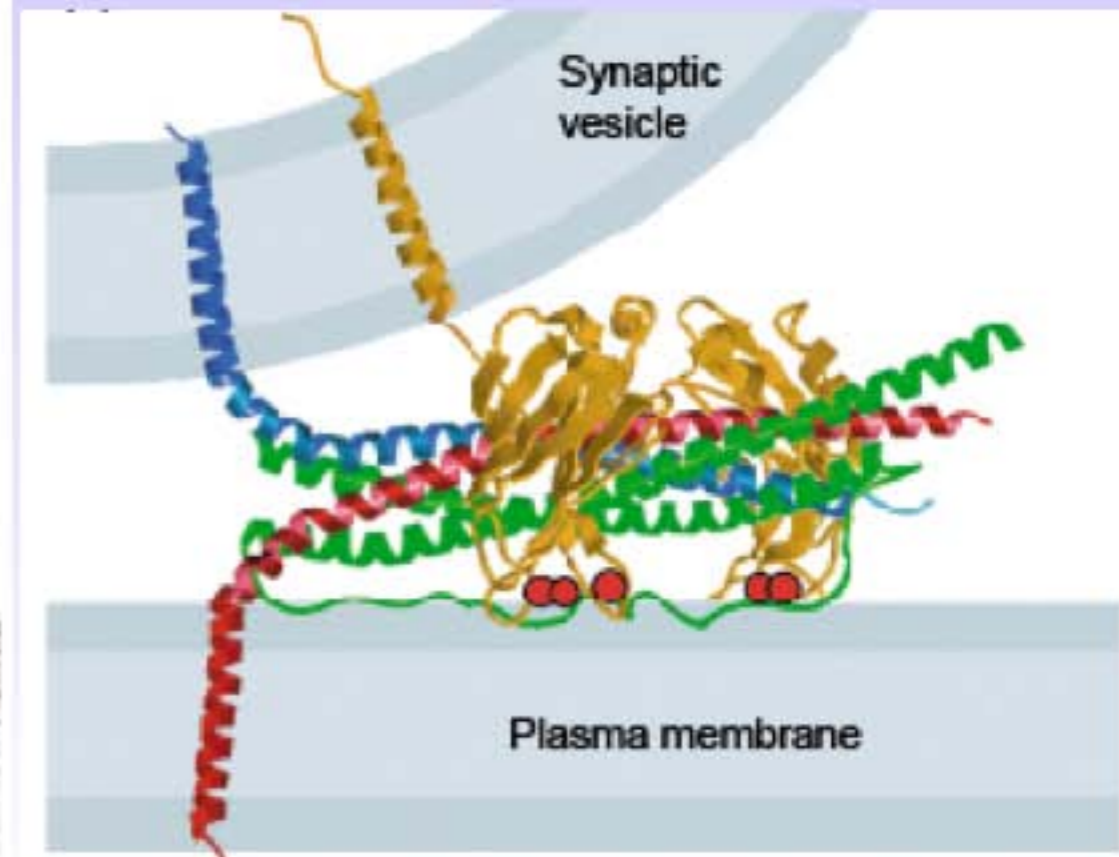
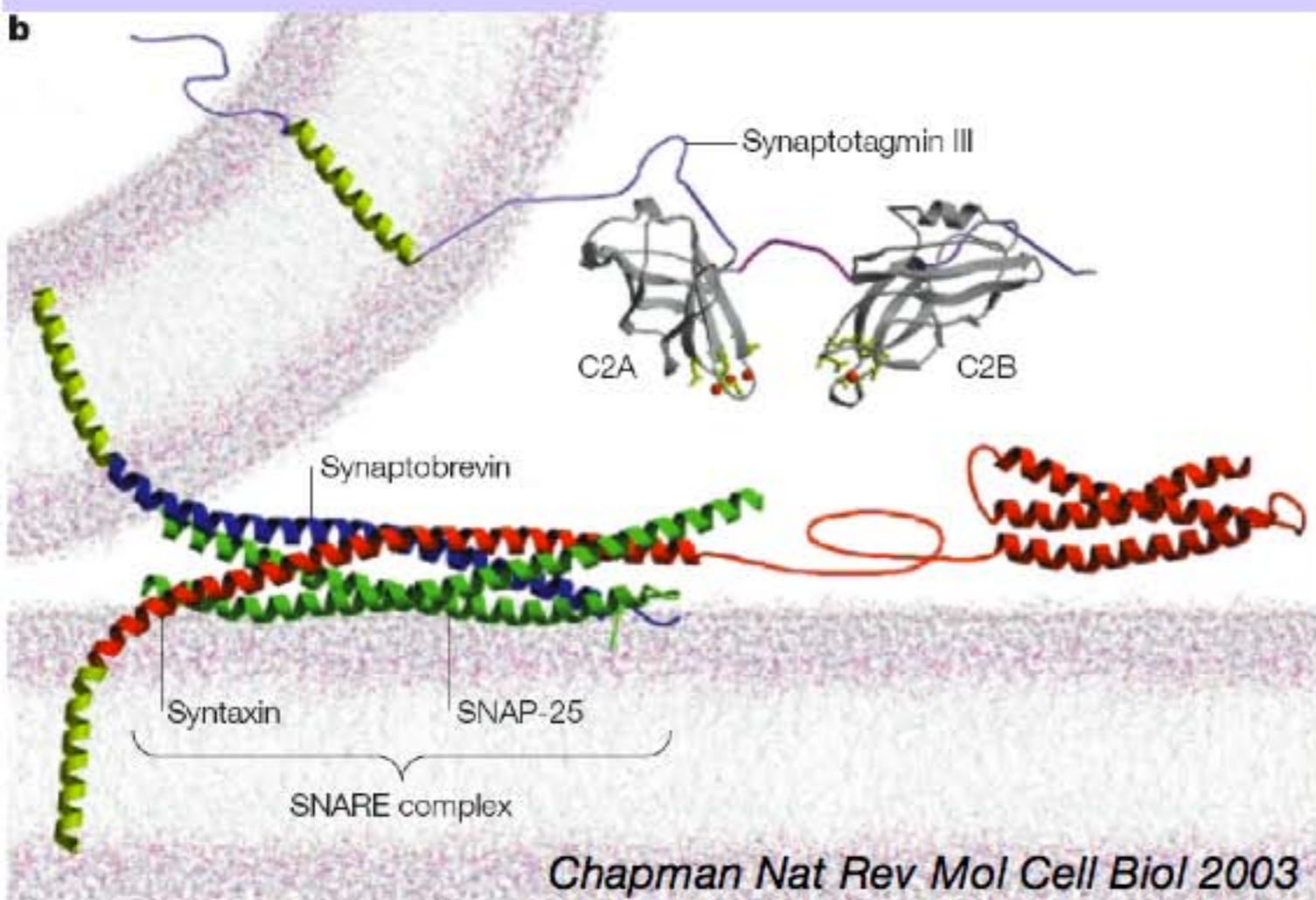
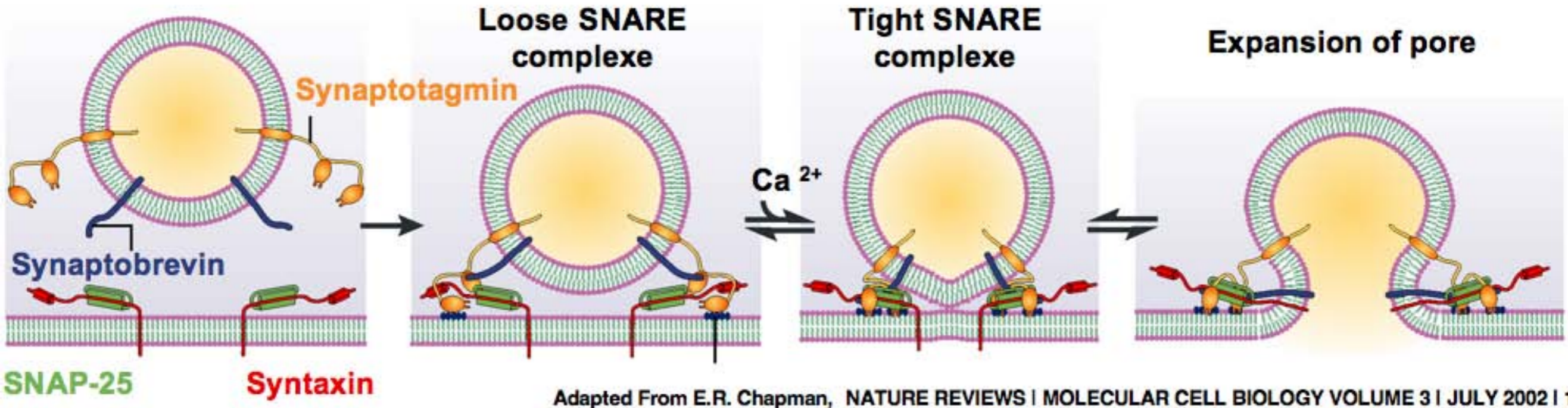
Les vésicules synaptiques



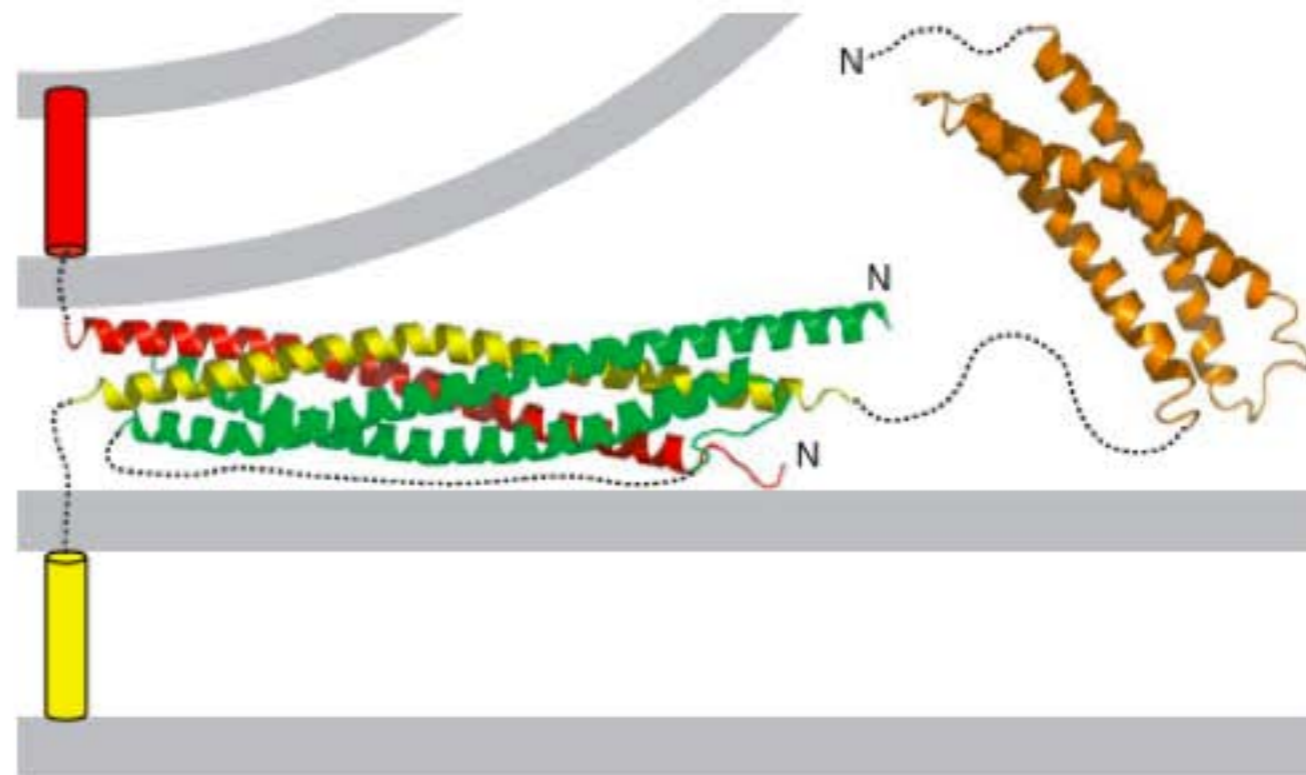
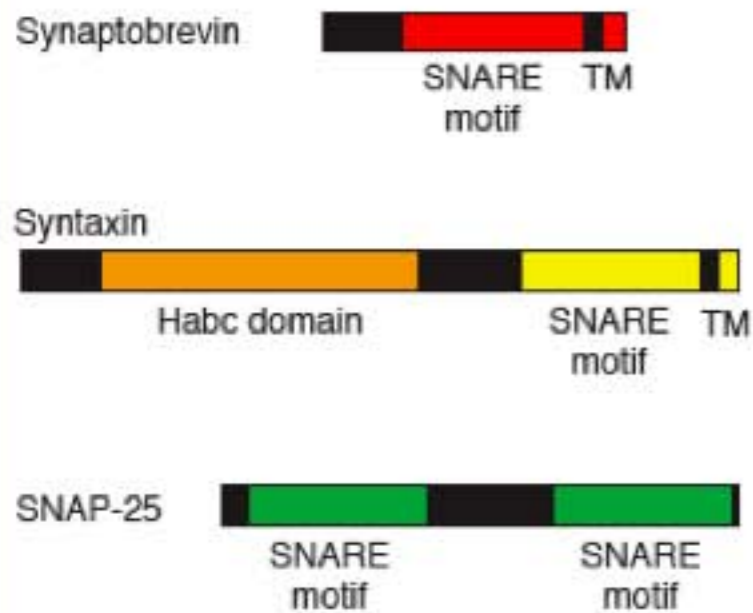
- 50 nm de diamètre
- 500 VS/terminaison
x10 000 contacts = 10^6 à 10^7
VS/neurone
x 10^{11} neurones = 10^{17} VS/SNC
- cholestérol:phospholipides = 1:2
- 12000 molécules de phospholipides / VS
- phospholipides:protéines = 1:1
- 20 à 40 protéines différentes / VS
- synaptophysine= 7% protéine VS = 0,3%
protéines totales



Les protéines SNARE et l'exocytose

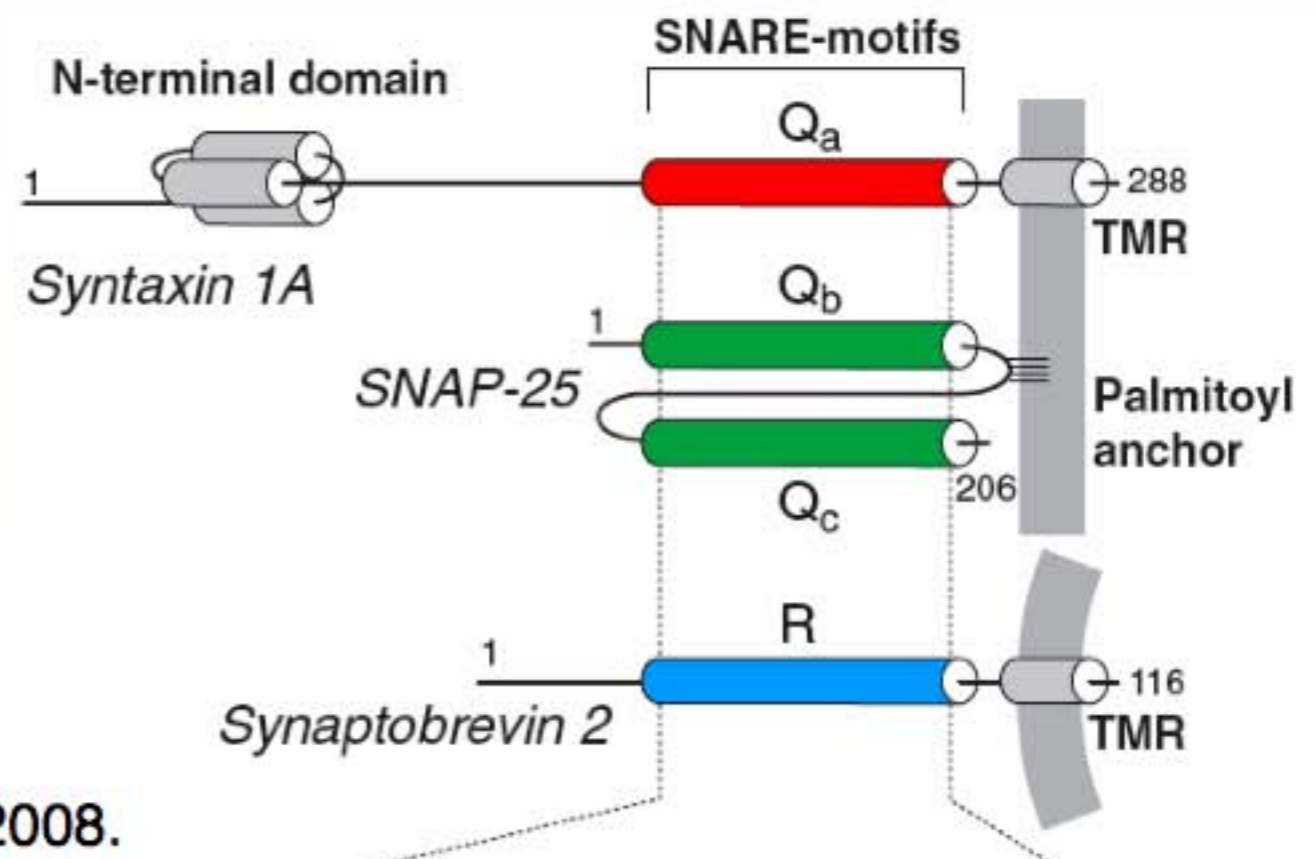


Le complexe SNARE



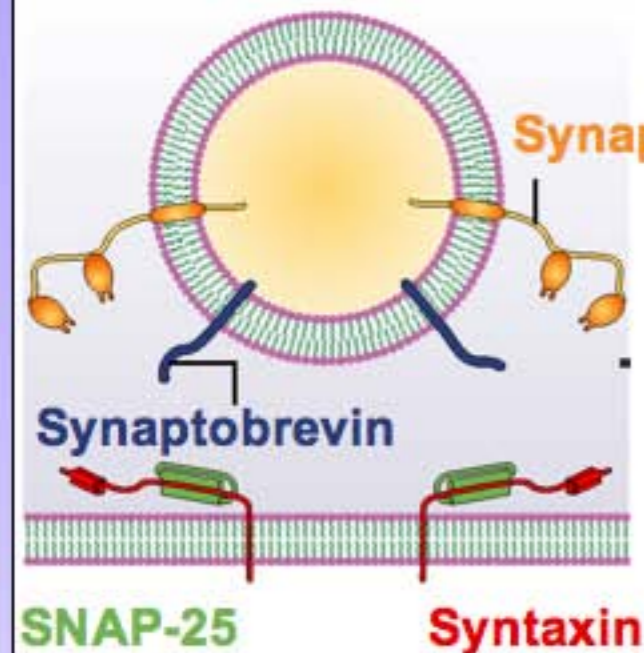
TRENDS in Cell Biology

Rizo, Chen et d'Areç, Tins 2006.

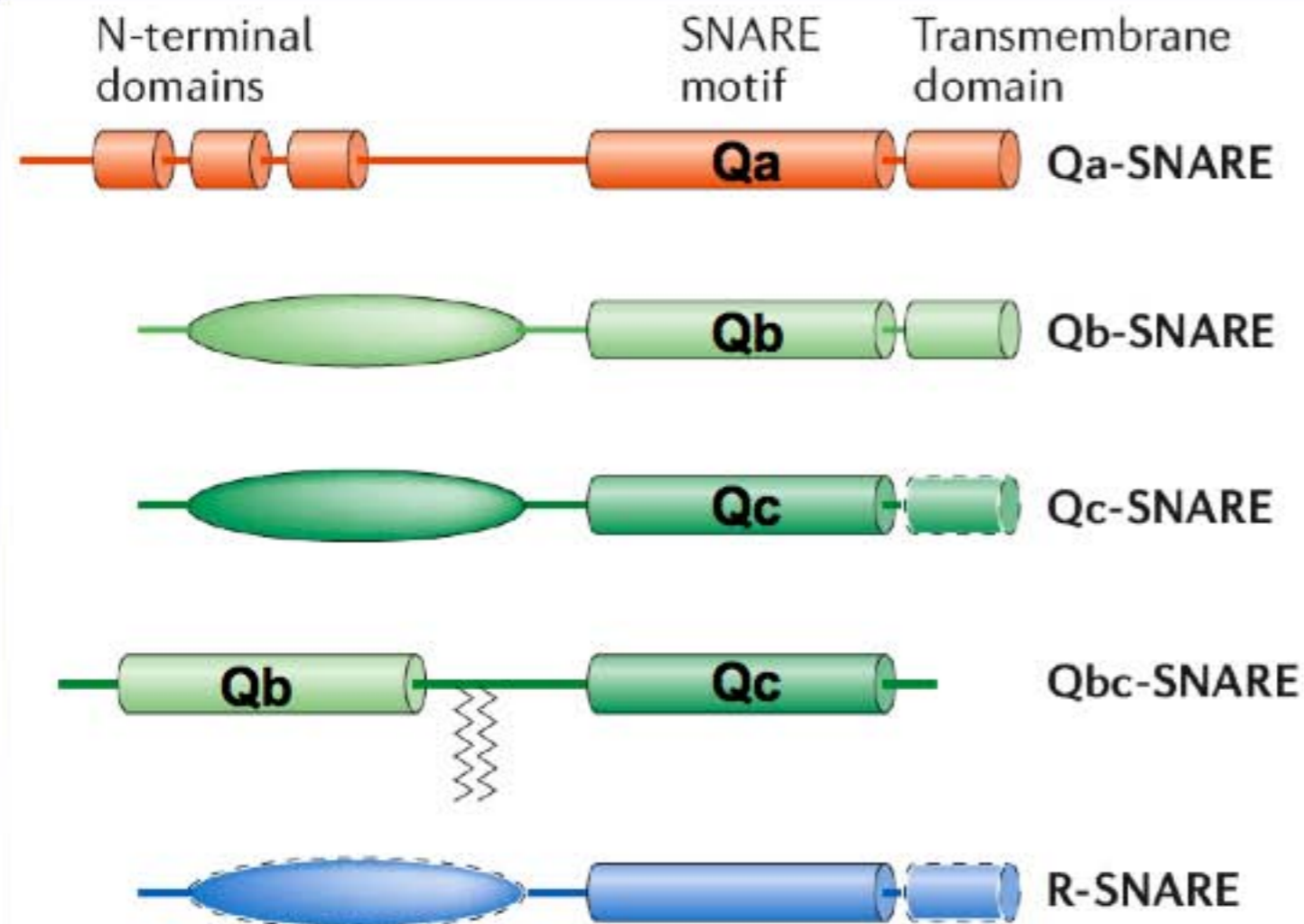


Core Proteins of the Secretory
 Lang and Jahn, Pharmacology of NT release, 2008.

Les protéines SNARE et l'exocytose



- **v-SNARE**: sur la vesicule (vesicule)
- **t-SNARE**: sur la membrane cible (target)
- **1 complexe SNARE = 1 motif SNARE sur la vesicule (R)**
+ **3 motifs SNAREs sur la membrane cible (Q)**
- **Les 3 motifs t-SNARE peuvent venir de :**
 - **2 t-SNAREs** : 1 SNARE avec 1 motif (Qa), 1 SNARE avec 2 motifs (Qbc)
 - **3 t-SNAREs** : 3 SNAREs différents avec 1 motif chacun (Qa, Qb, Qc).



ex: Syntaxin 1 à 5, 11, 13, 16, 17, 18.

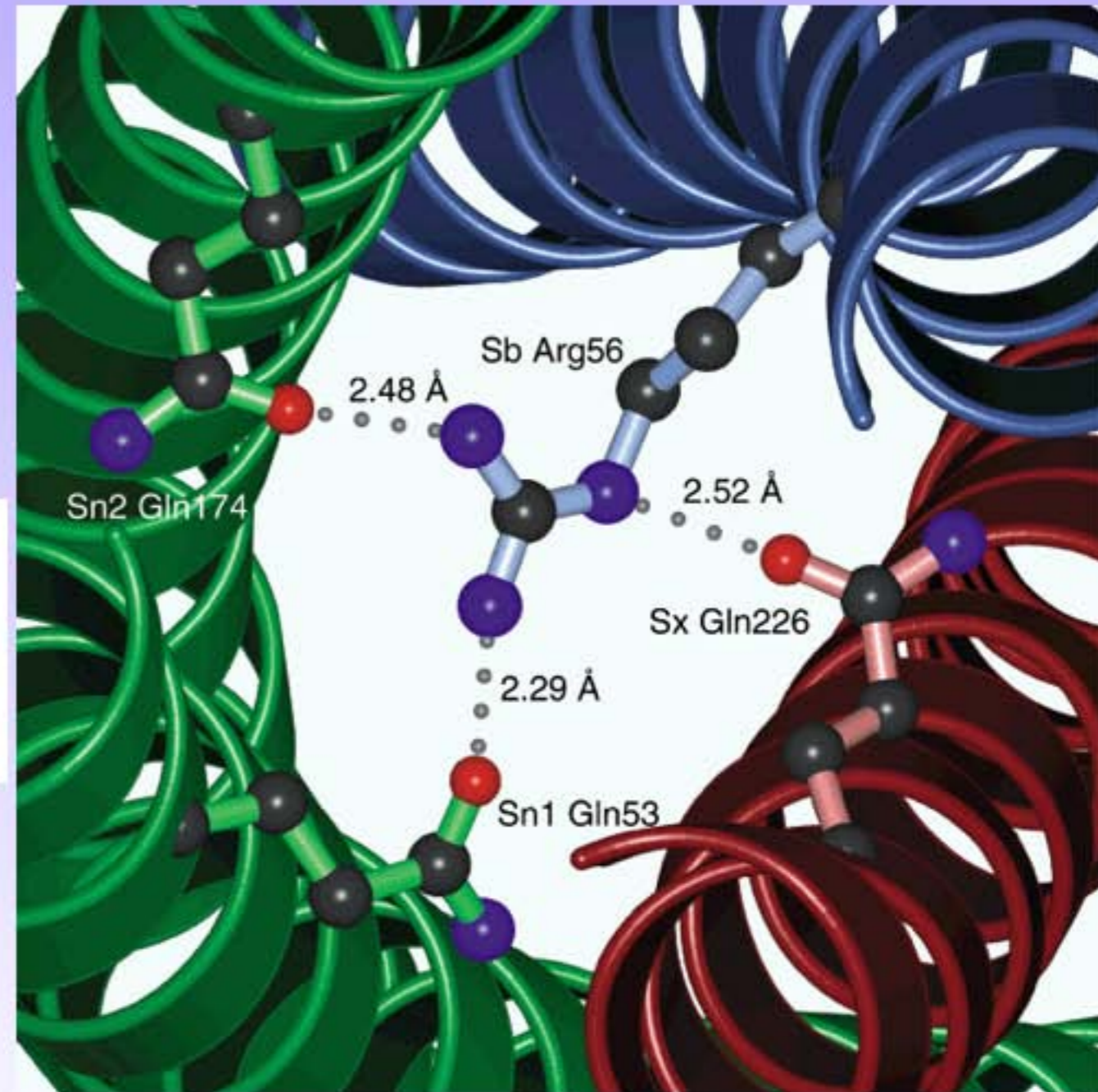
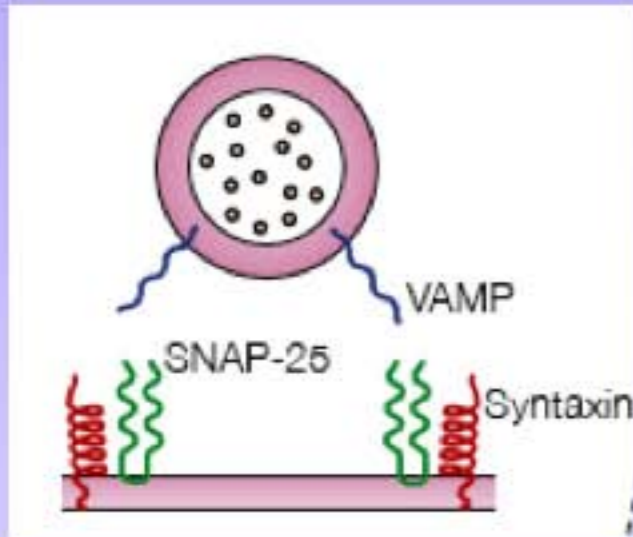
ex: Vti1a, Vti1b, GS27, GS28

ex: Bet21, GS15, stx6, stx8, stx10

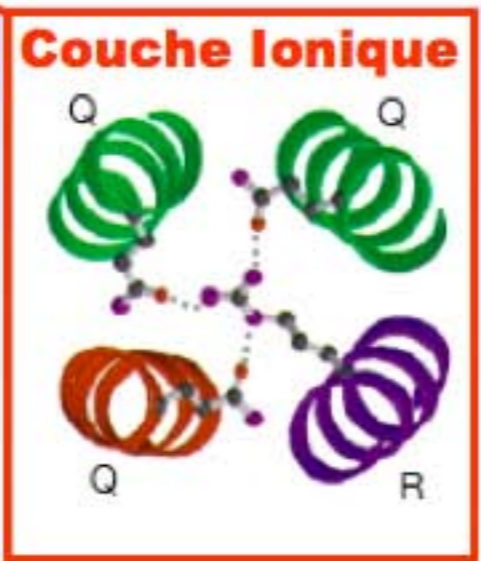
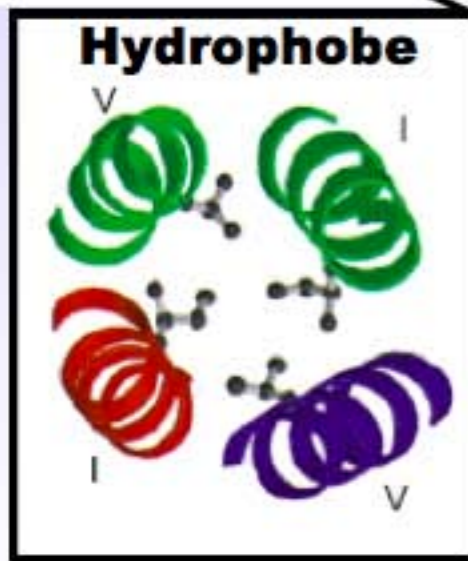
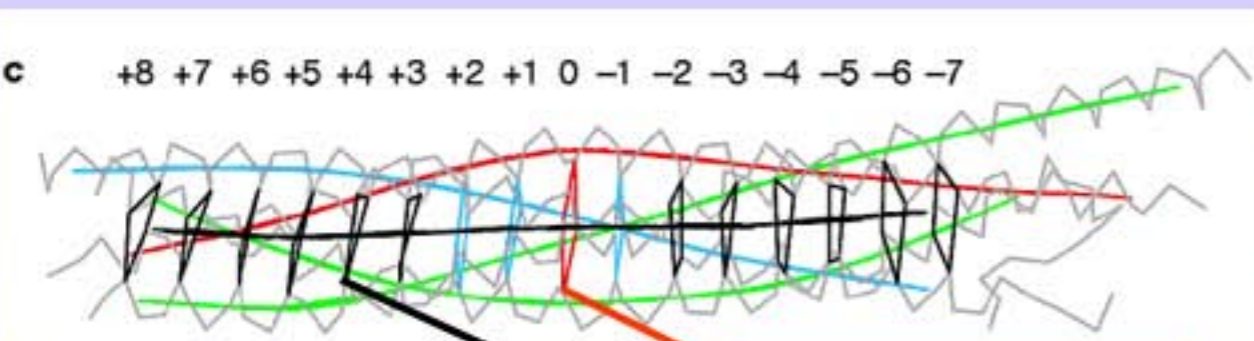
ex: SNAP-25, SNAP-23, SNAP-29

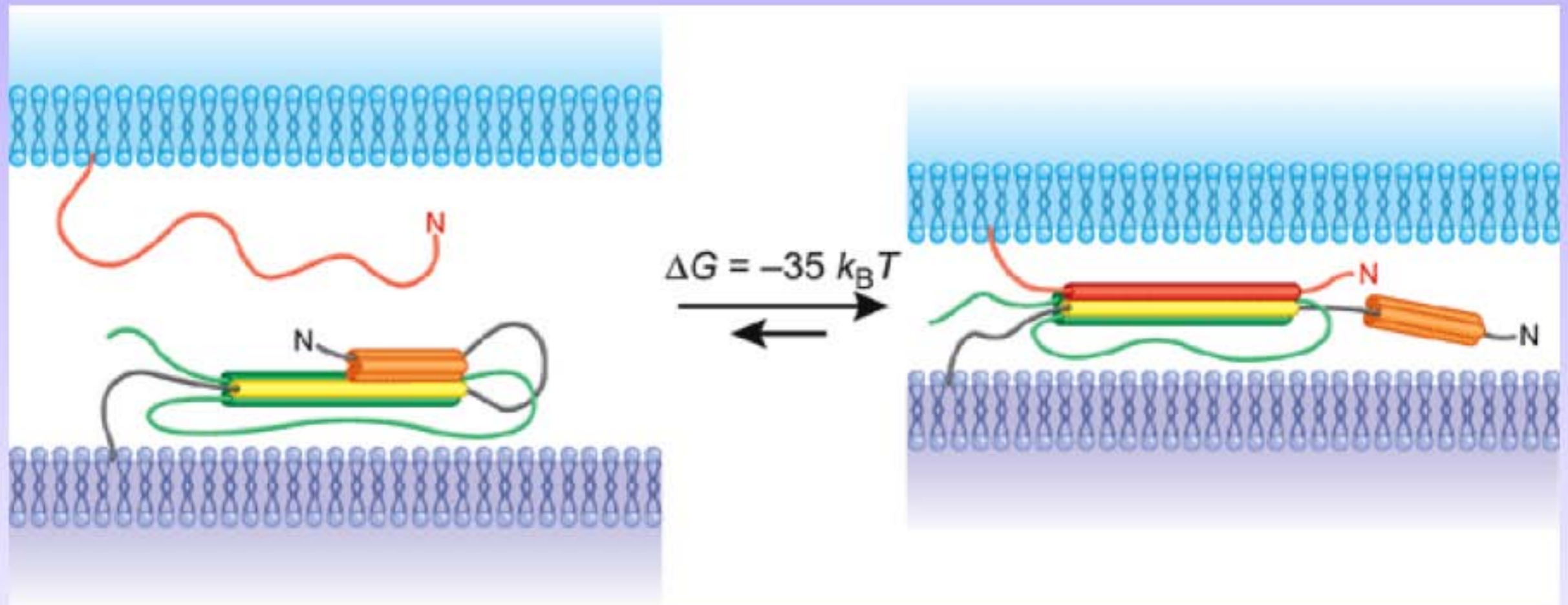
**ex: Syb2, TI-VAMP, Sec22, YKT6
VAMP1 à VAMP8**

Le complexe SNARE : Q-SNARE & R-SNARE



(Sutton et al., Nature 1998)



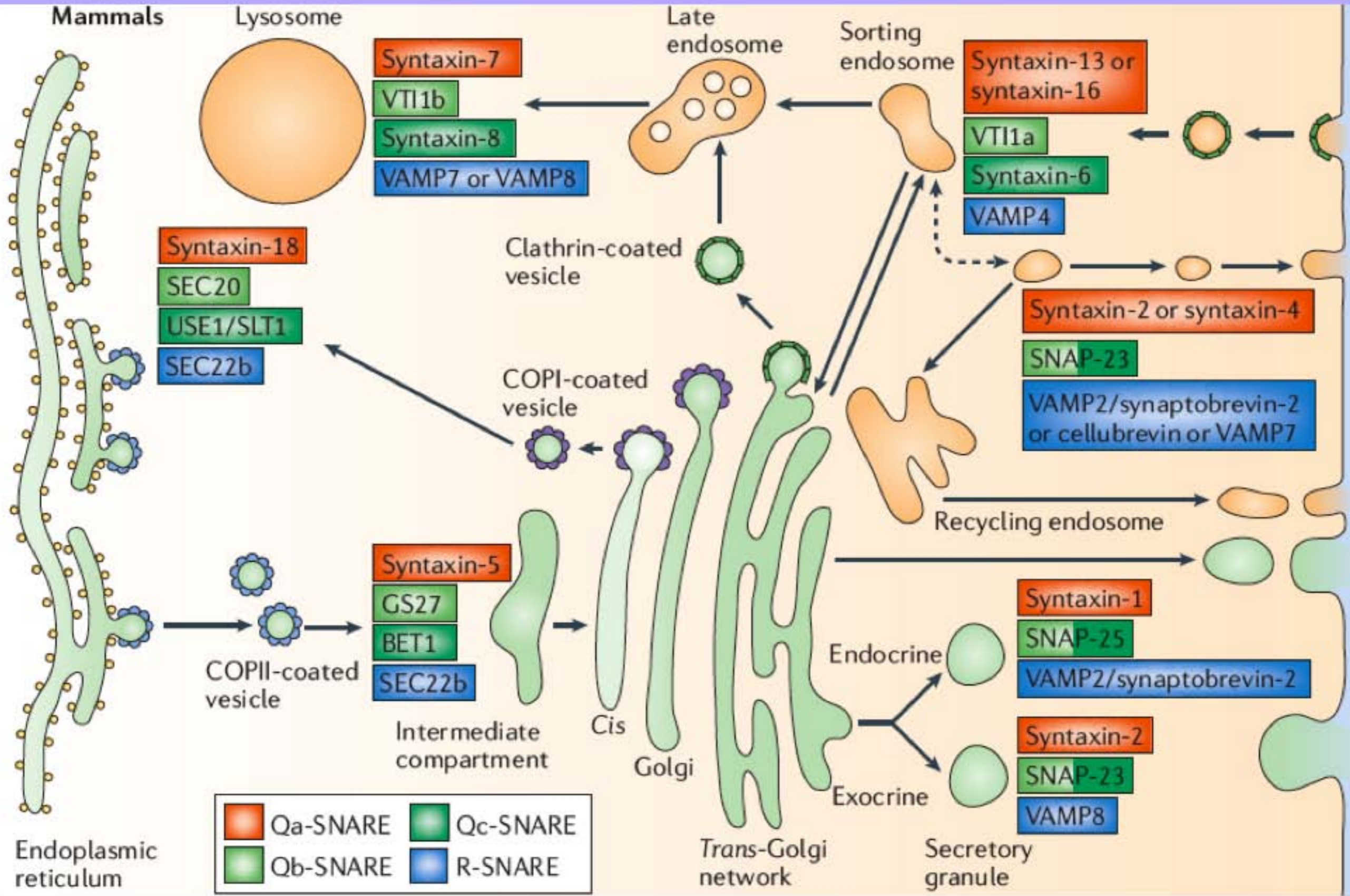


La haute stabilité du complexe SNARE est probablement cruciale pour leur rôle dans la fusion membranaire. L'énergie de stabilisation du complexe SNARE est de 35 kBT (cf. Li. et al. Nat. Struct. Mol. Biol.(2007): 14, 890–896) soit une des plus grande énergie de repliement mesurée.

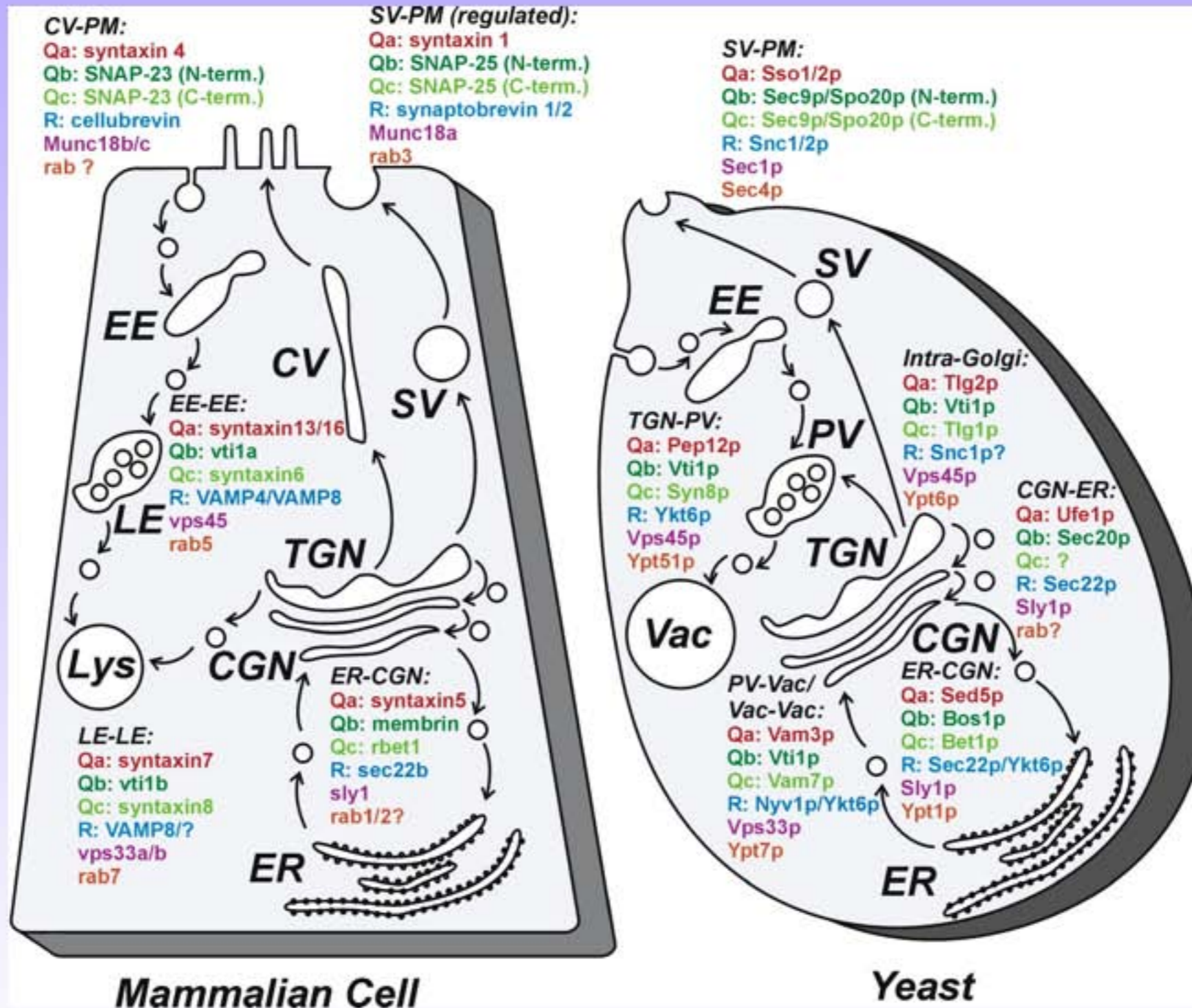
SNARE & compartiments

| Chaîne | Levure | Nématode | Drosophile | Mammifères |
|--------------------------|-----------|-----------|------------|------------|
| SNAREs | 21 | 23 | 20 | 35 |
| Qa Syntaxines | 7 | 9 | 7 | 12 |
| Qb Nter SNAP25 | 5 | 7 | 5 | 9 |
| Qc Cter SNAP25 | 6 | 4 | 5 | 8 |
| R V-SNARE | 5 | 6 | 5 | 9 |
| Sec1 | 4 | 6 | 5 | 7 |
| Rab | 11 | 29 | 26 | 60 |

Les protéines SNARE et le trafic membranaire dans la cellule

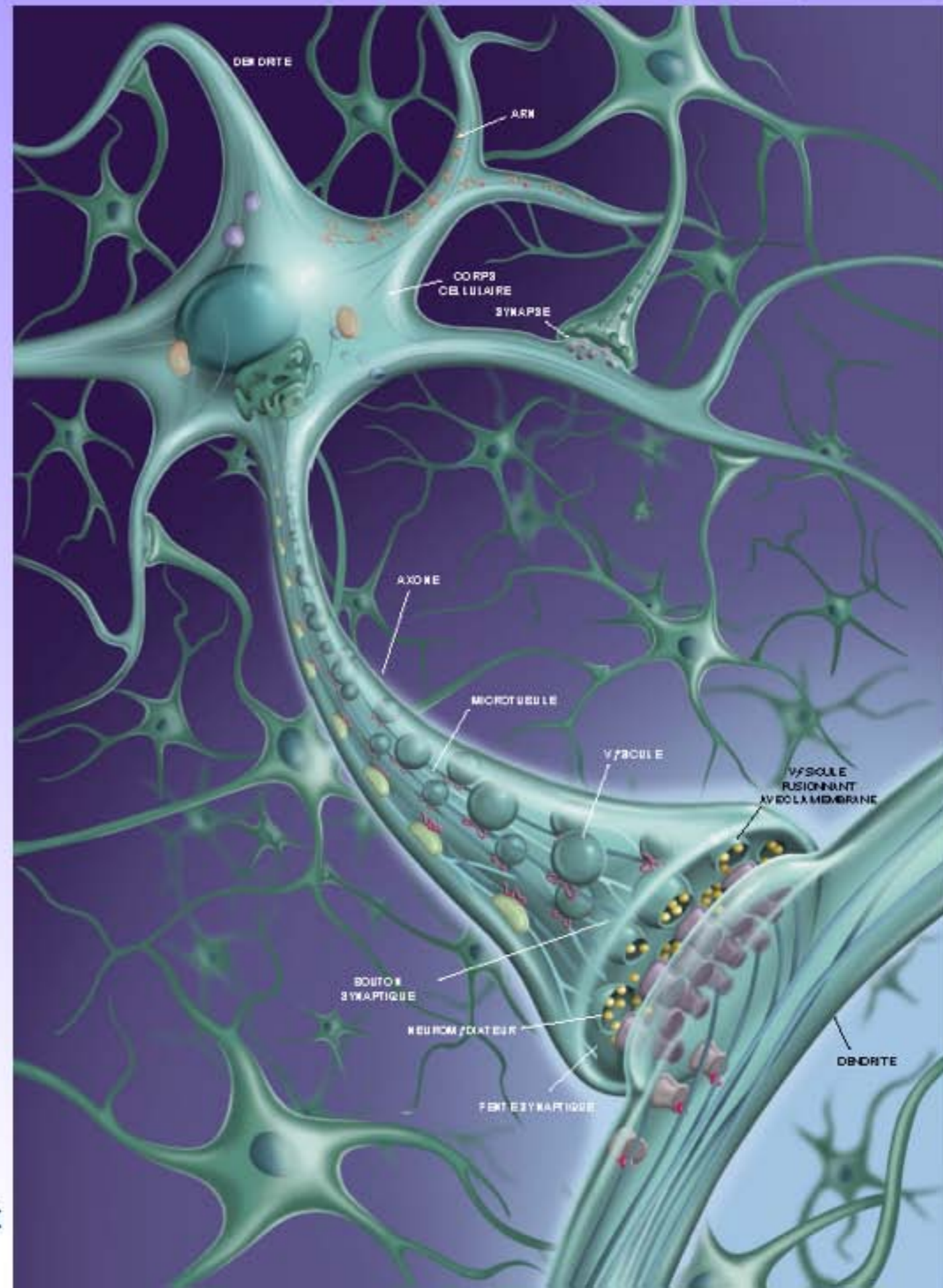


SNARE & compartments



Machinerie d'exocytose: le modele neuronal : l'exocytose synaptique

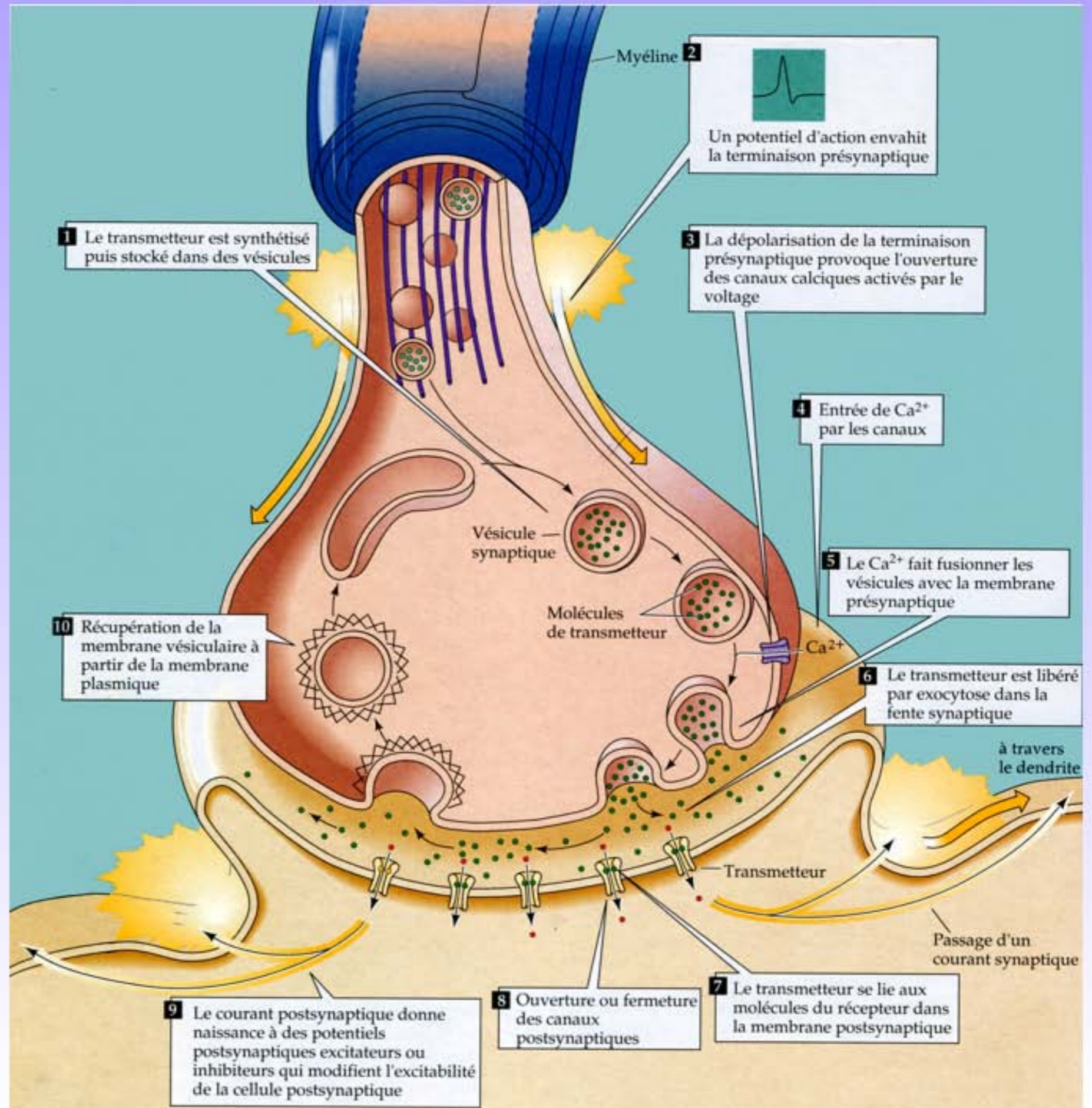
La fusion vésiculaire entre les vésicules synaptiques et la membrane présynaptique permet la libération des neurotransmetteur.



Thierry Galli & fabienne Paumet

© POUR LA SCIENCE - N° 302 DÉCEMBRE 2002

L'exocytose synaptique



1 Le transmetteur est synthétisé puis stocké dans des vésicules

2 Un potentiel d'action envahit la terminaison présynaptique

3 La dépolarisation de la terminaison présynaptique provoque l'ouverture des canaux calciques activés par le voltage

4 Entrée de Ca²⁺ par les canaux

5 Le Ca²⁺ fait fusionner les vésicules avec la membrane présynaptique

6 Le transmetteur est libéré par exocytose dans la fente synaptique

10 Récupération de la membrane vésiculaire à partir de la membrane plasmique

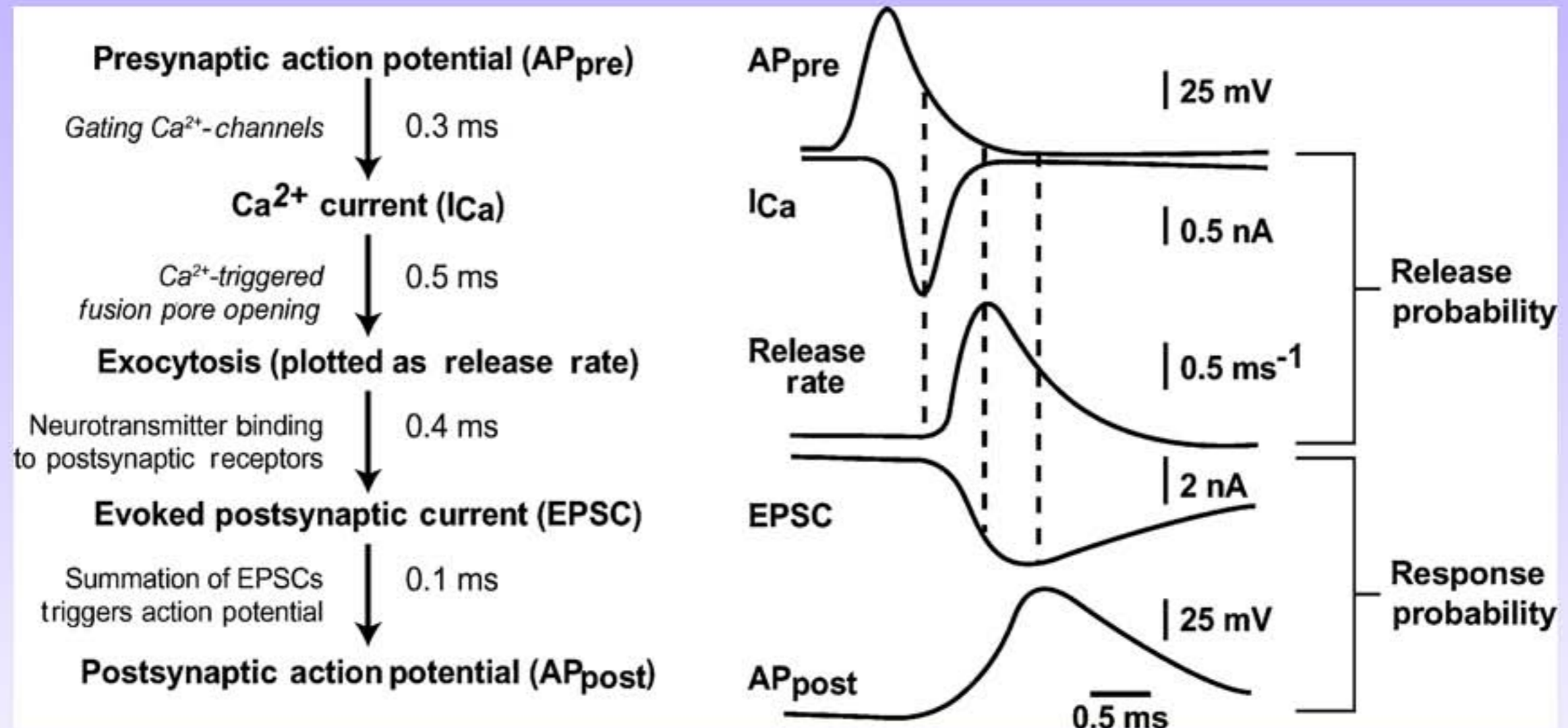
8 Ouverture ou fermeture des canaux postsynaptiques

7 Le transmetteur se lie aux molécules du récepteur dans la membrane postsynaptique

9 Le courant postsynaptique donne naissance à des potentiels postsynaptiques excitateurs ou inhibiteurs qui modifient l'excitabilité de la cellule postsynaptique

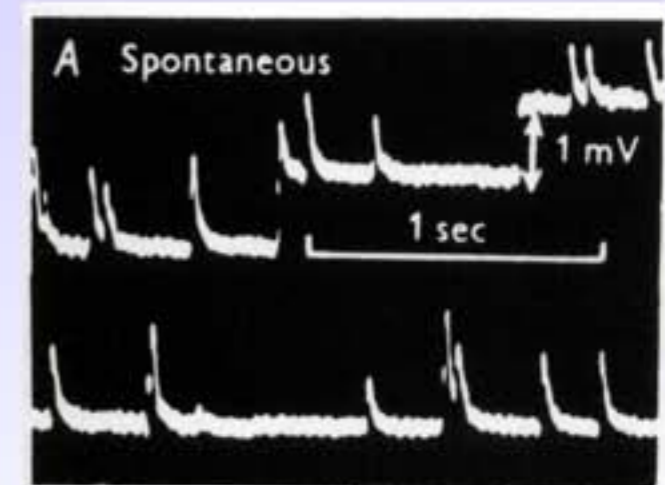
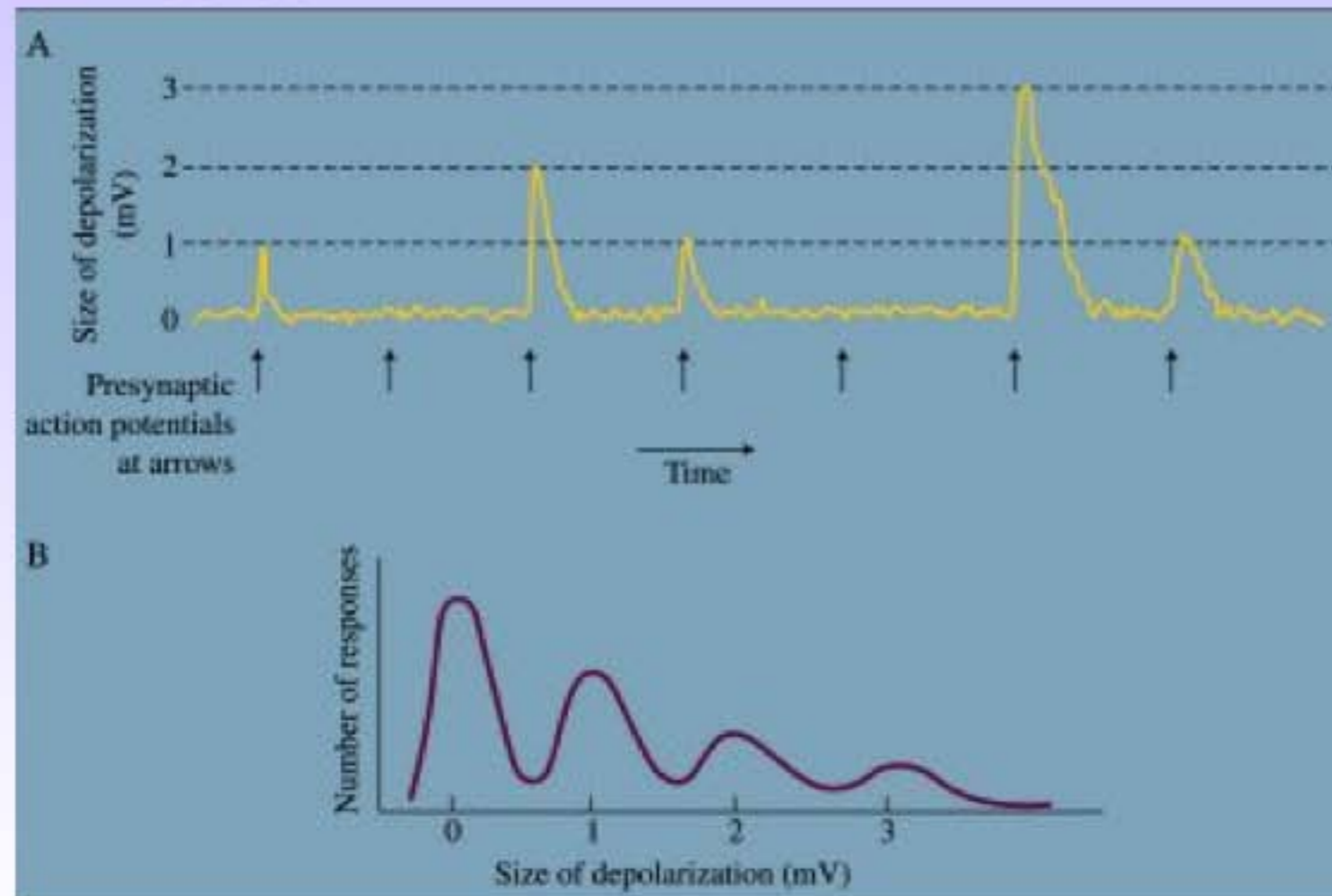
D'après Neurosciences, à la découverte du cerveau M. F. Bear

Chronologie: rapidité! Et rôle du calcium



Libération de l'acétylcholine

- Théorie quantique: Prix Nobel pour Katz
 - Nt libéré par paquet de taille définie
 - 10,000 molécules d'ACh
- Libération en "tout ou rien"
 - Calcium extracellulaire réduit, seuls quelques quanta sont libérés

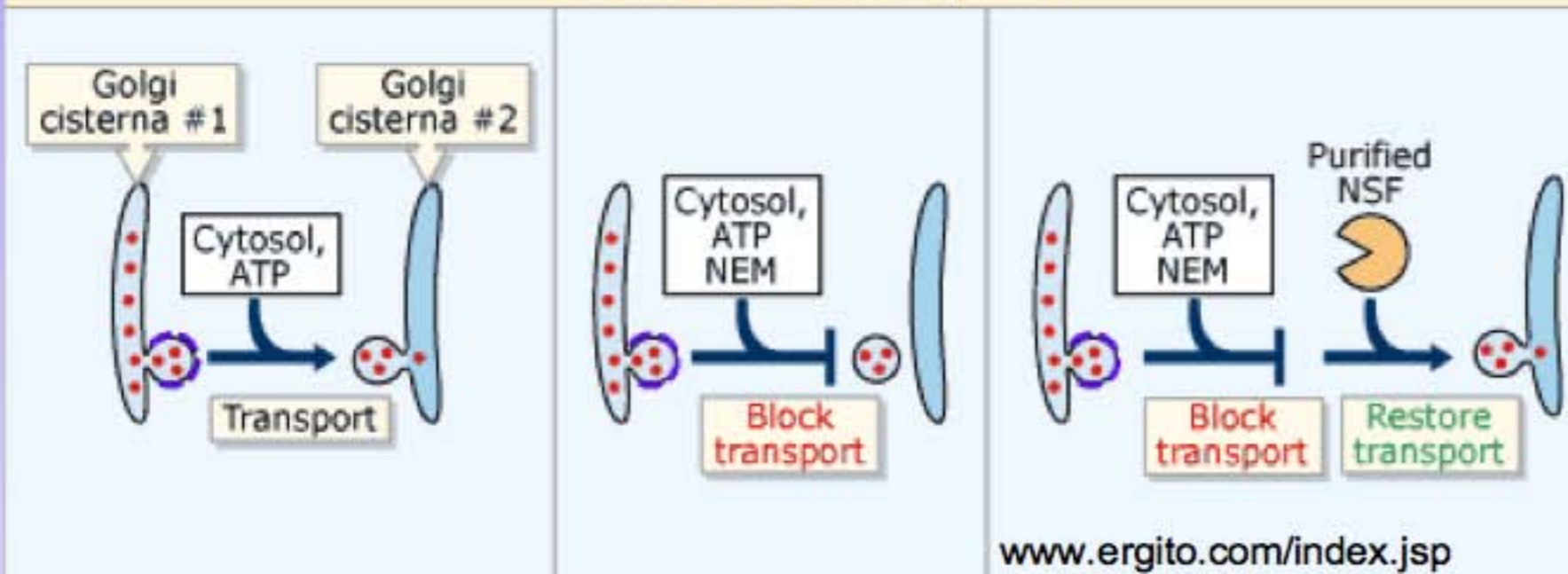


Découverte historique de NSF & SNAPs



Jim Rothman

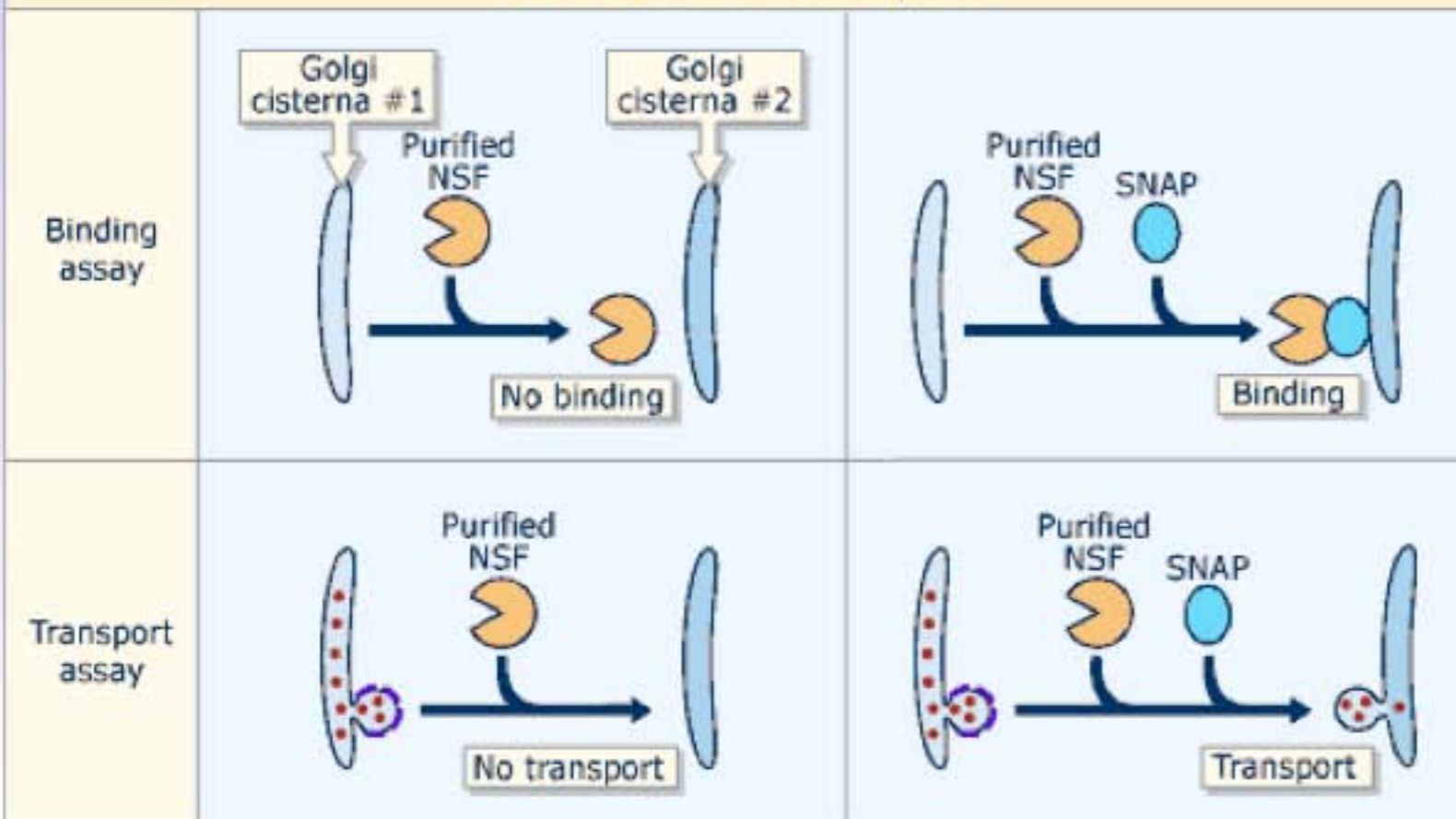
Isolation of NSF from Cytosol



NEM: N-Ethyl-Maleimide
NSF: NEM sensitive factor

NSF est nécessaire à la fusion.
NSF est inhibée par le NEM.

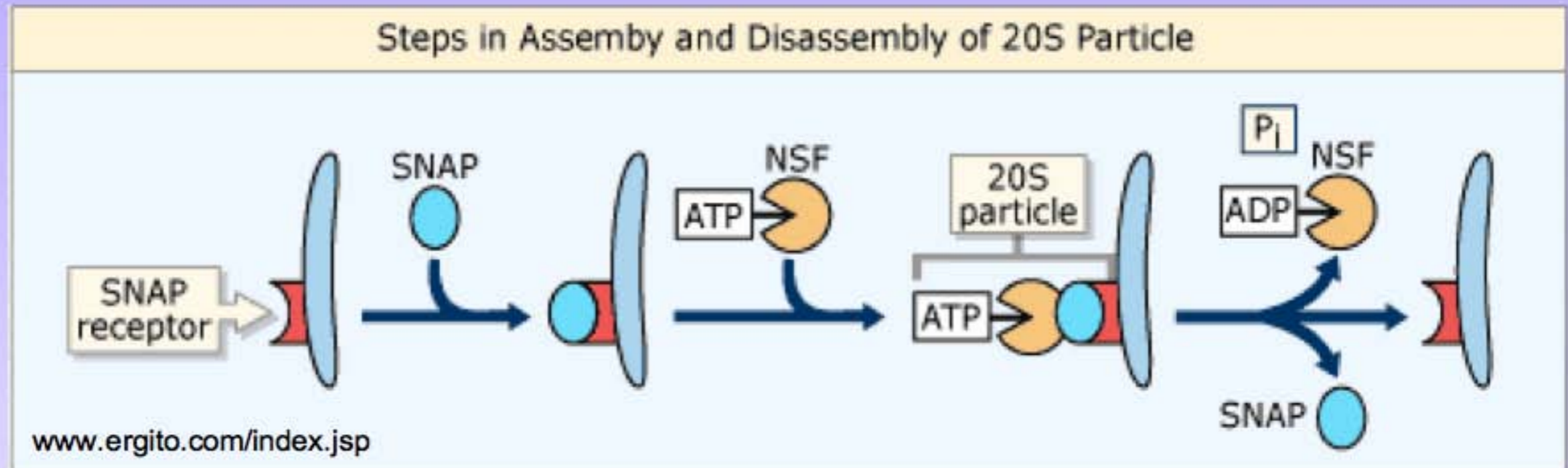
Isolation of SNAPs from Cytosol



SNAP:
Soluble NSF Attachment Factor

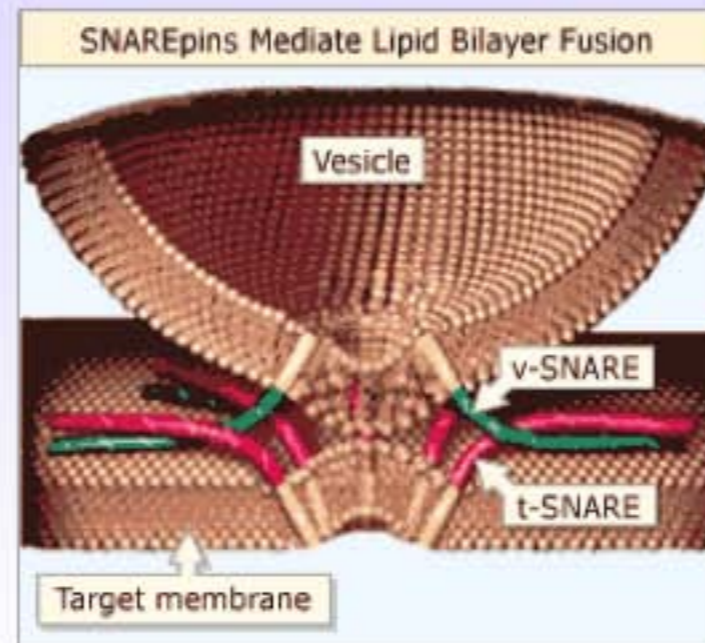
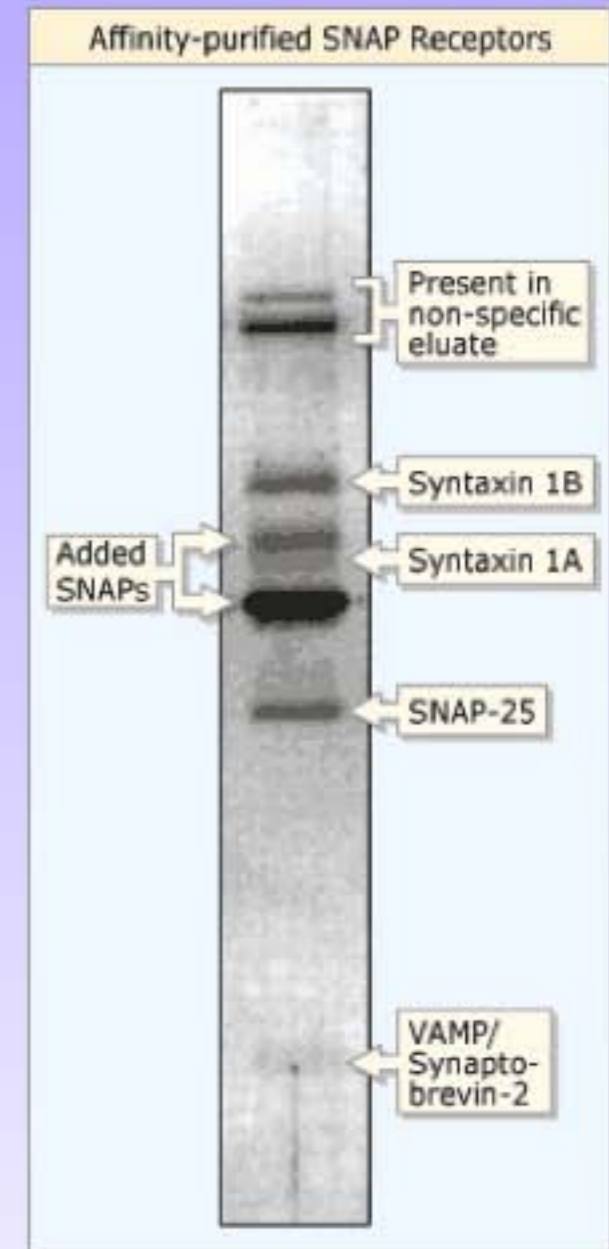
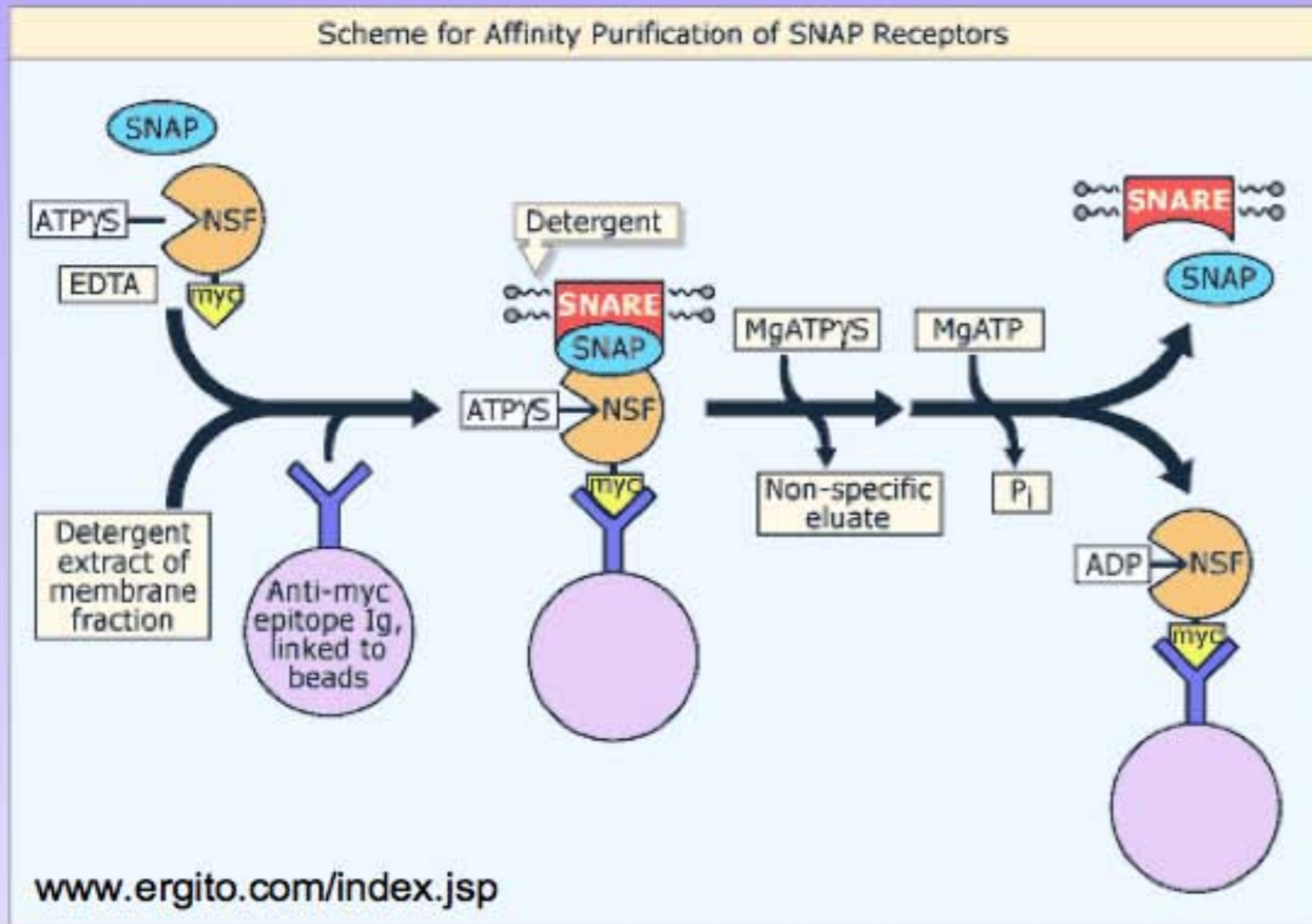
NSF est une protéine soluble qui ne peut se lier aux membranes que grâce aux SNAPs (3 isoformes α, β, γ).

Découverte historique des récepteurs de SNAP: les SNARE

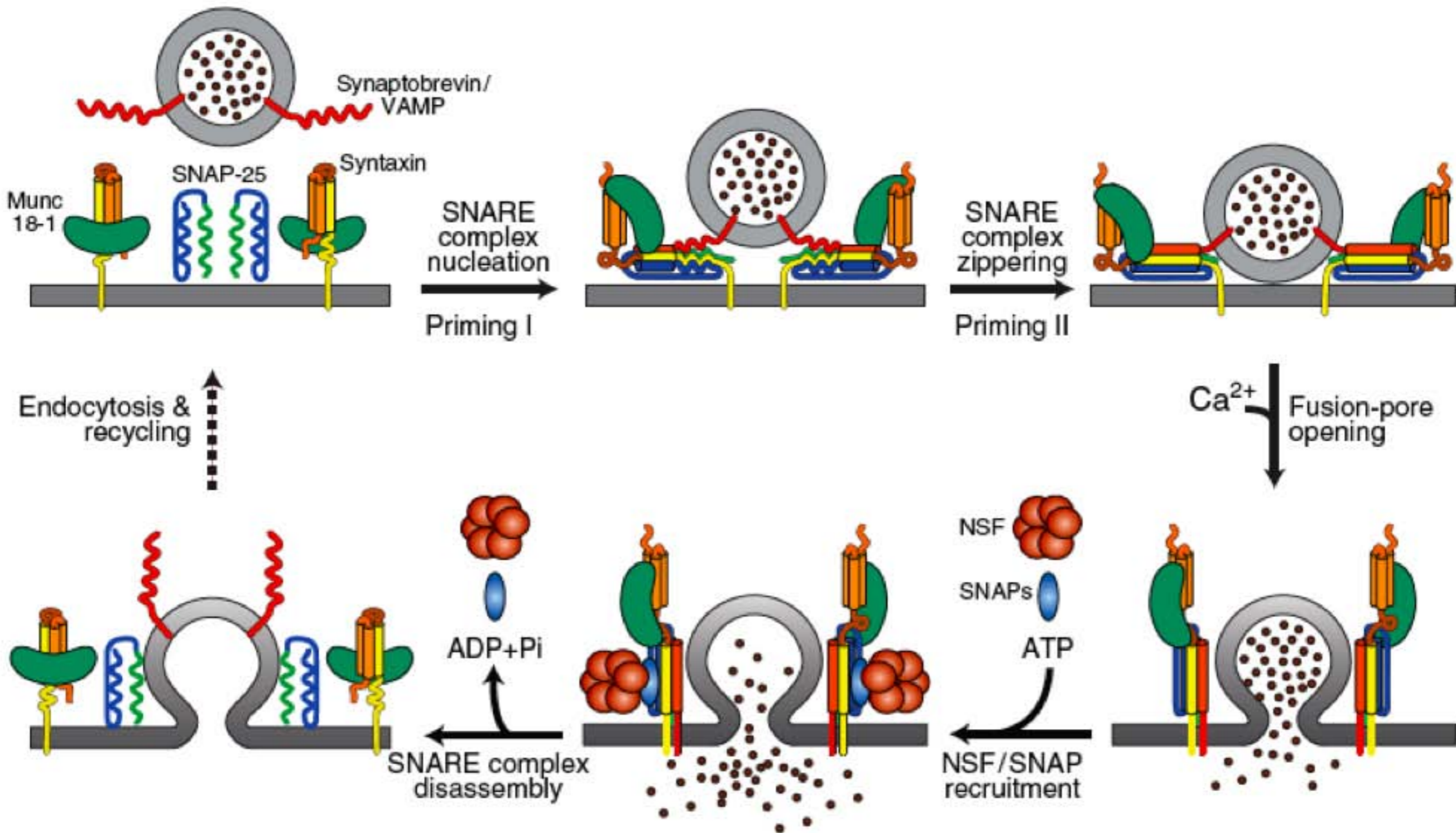


Comment isoler les récepteurs de SNAPs: les SNARE?

Isolement des SNAREs

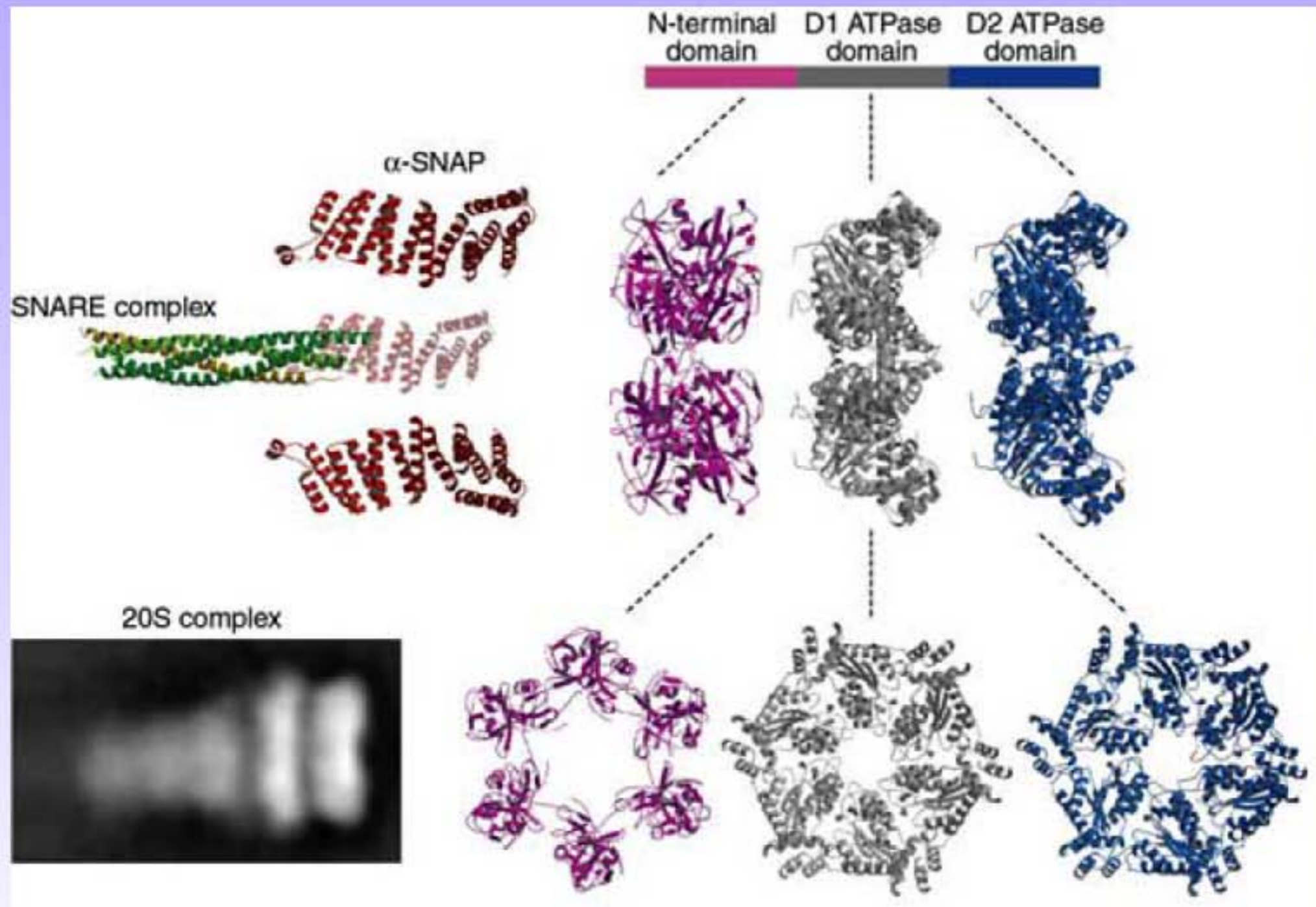


Dissociation des SNARE par NSF

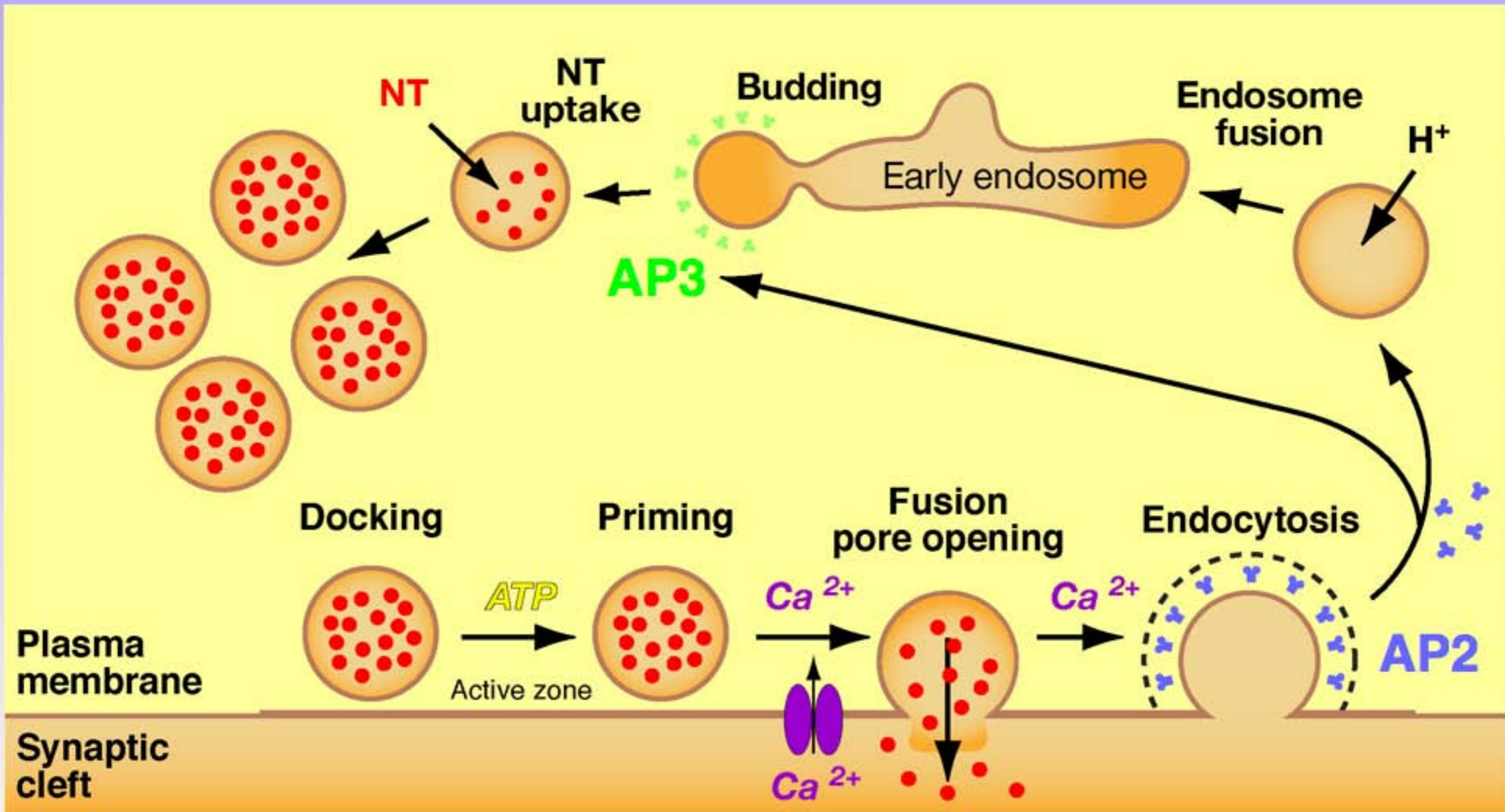


T.C. Südhof, K. Starke (eds.), *Pharmacology of Neurotransmitter Release. Handbook of Experimental Pharmacology 184.*

Structure de l'ATPase NSF

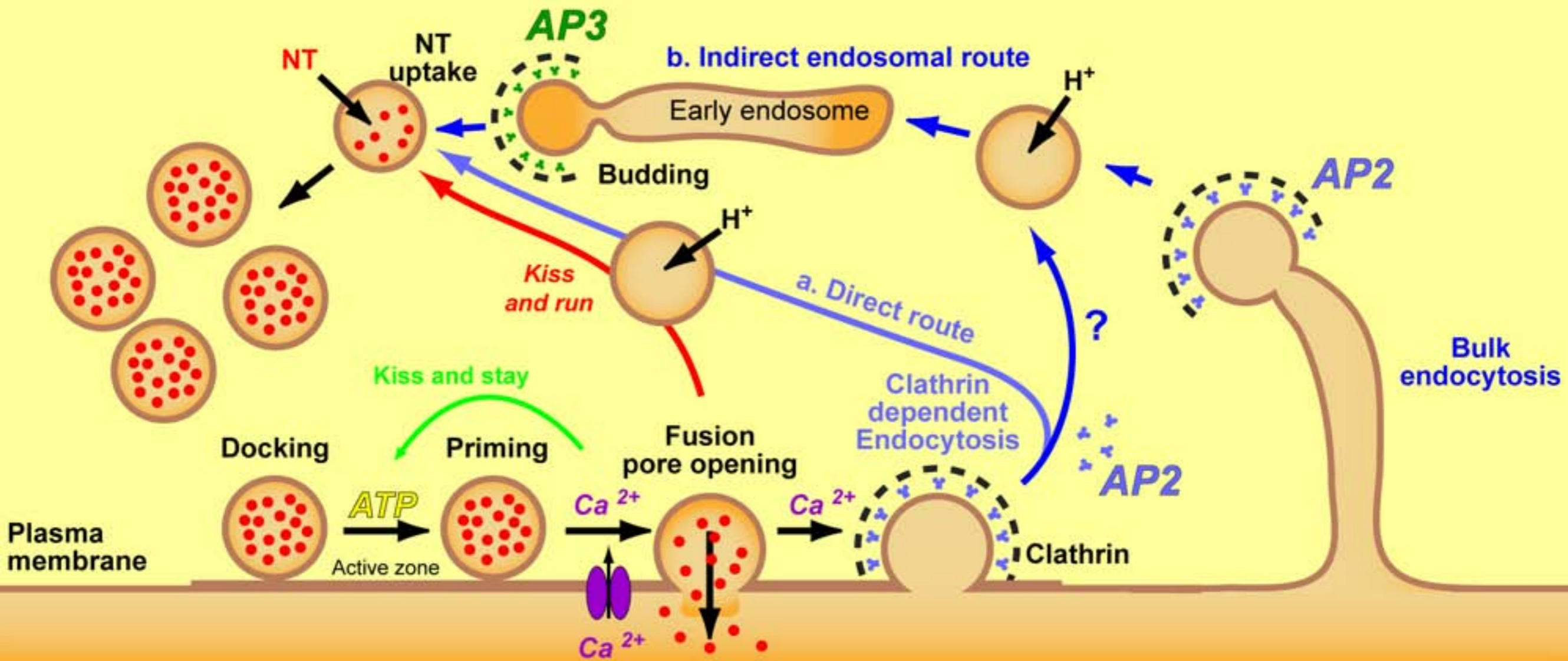


Recyclage des vésicules synaptiques



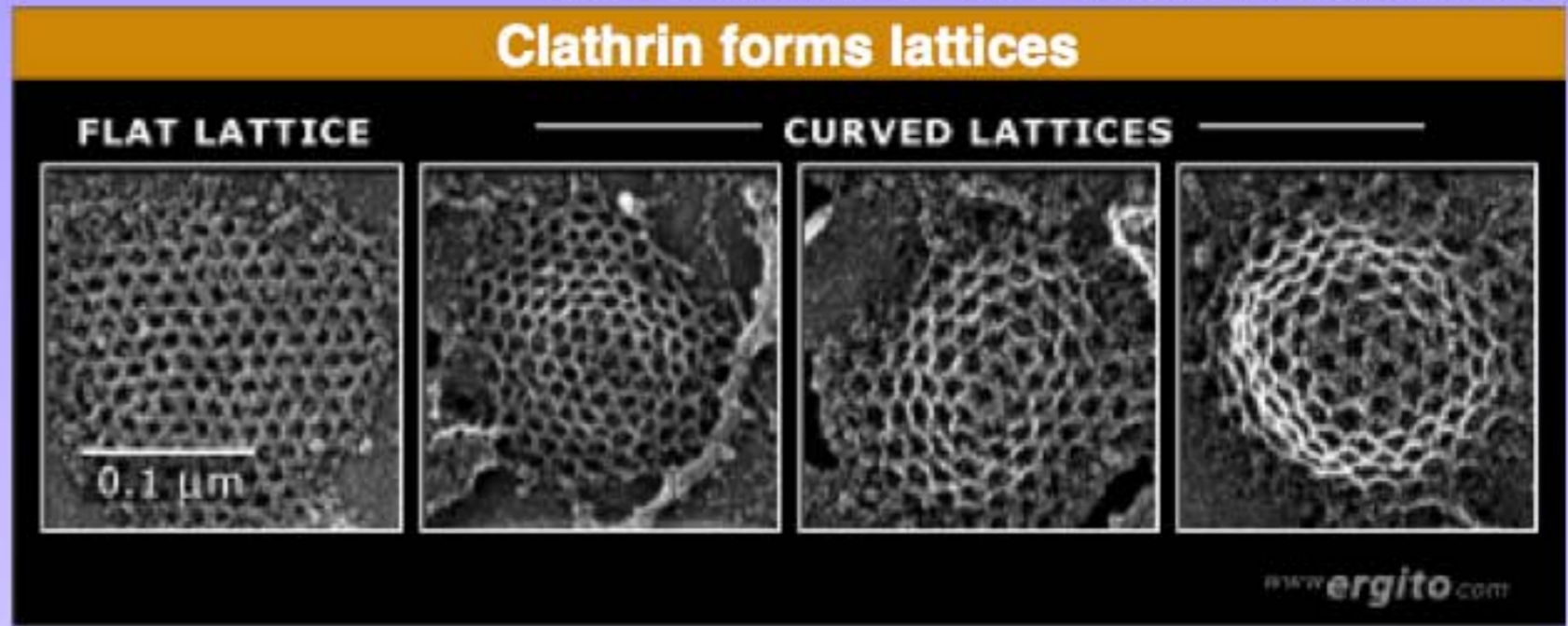
Danglot & Galli, *Biology of the cell*, 2003.

Recyclage des vésicules synaptiques

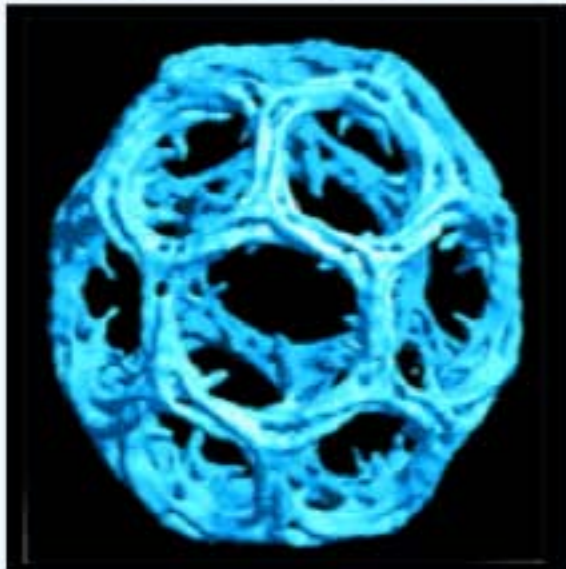
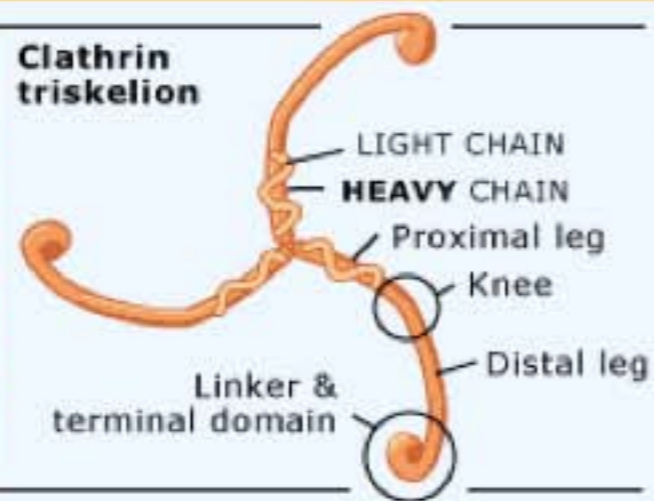
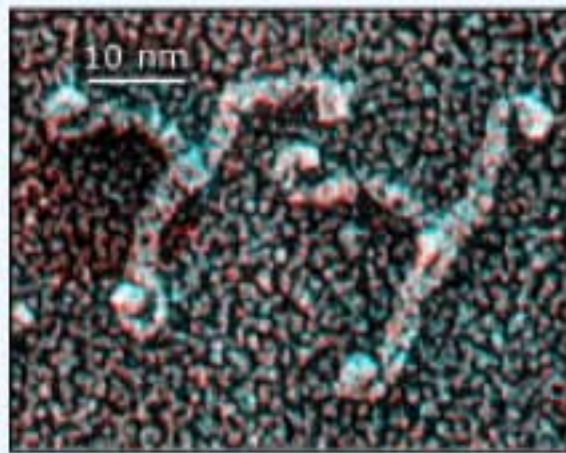


Clathrine

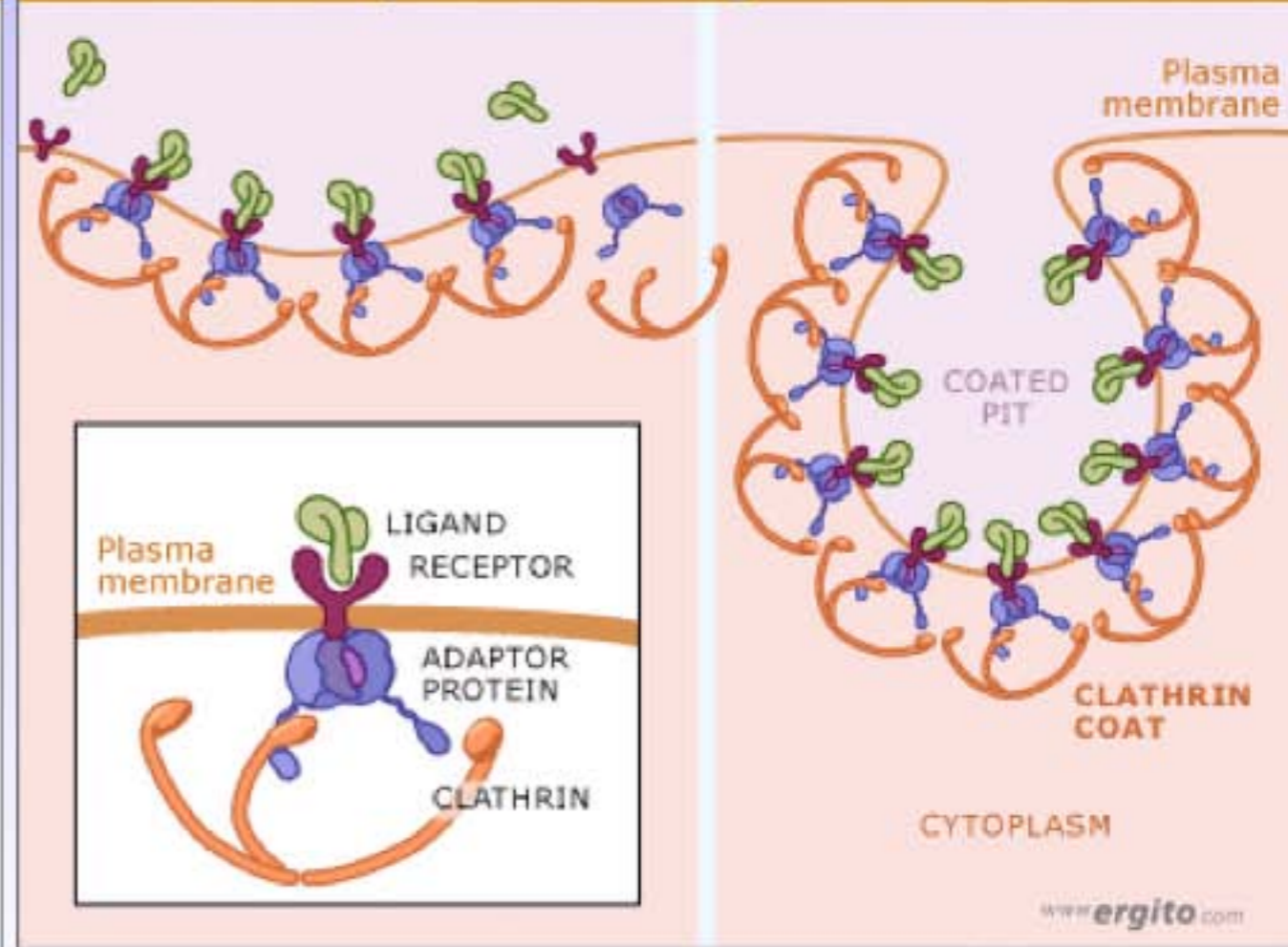
Clathrin forms lattices



Structure of clathrin



Adapters links cargo & clathrin

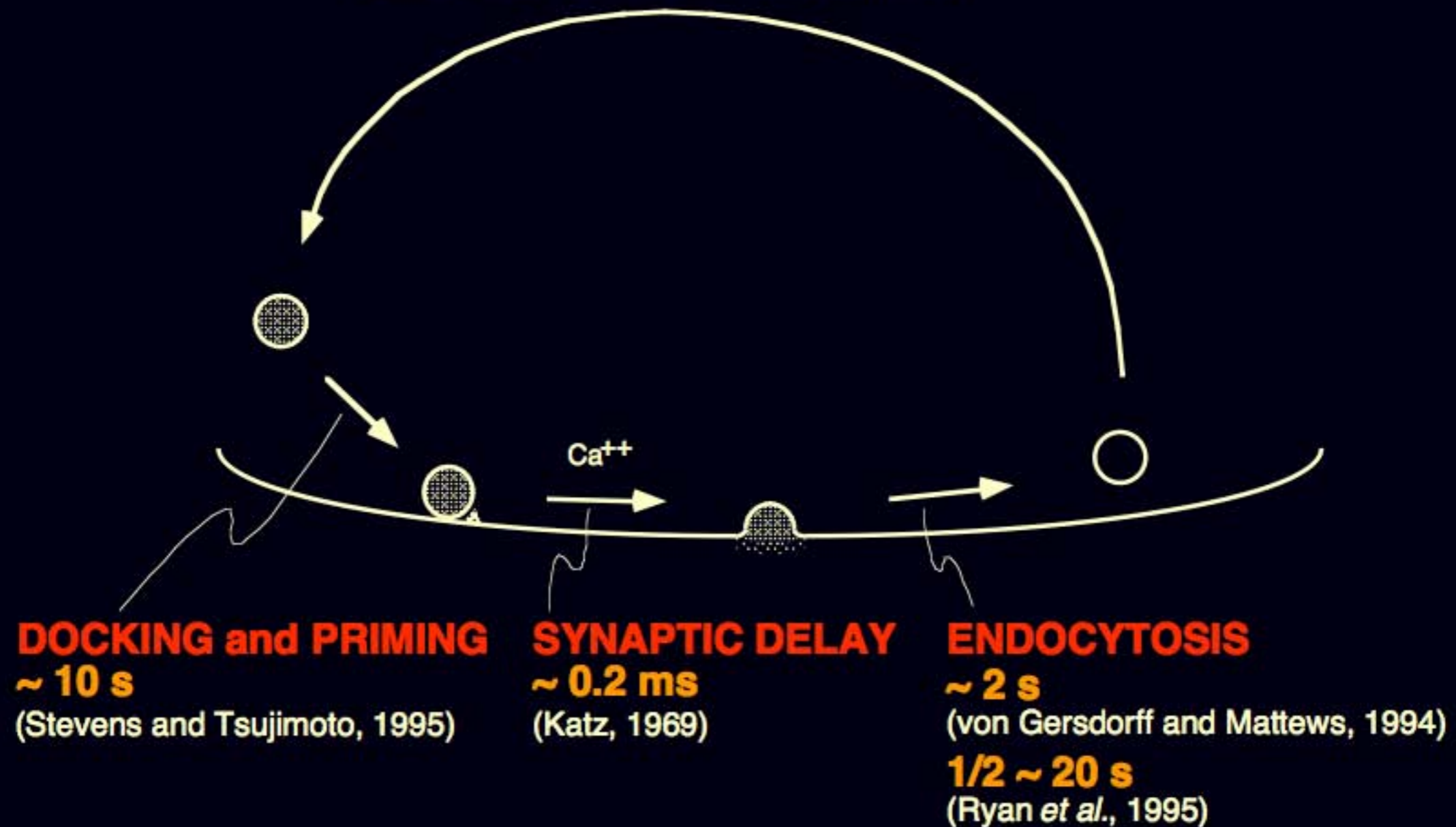


Recyclage des vésicules synaptiques

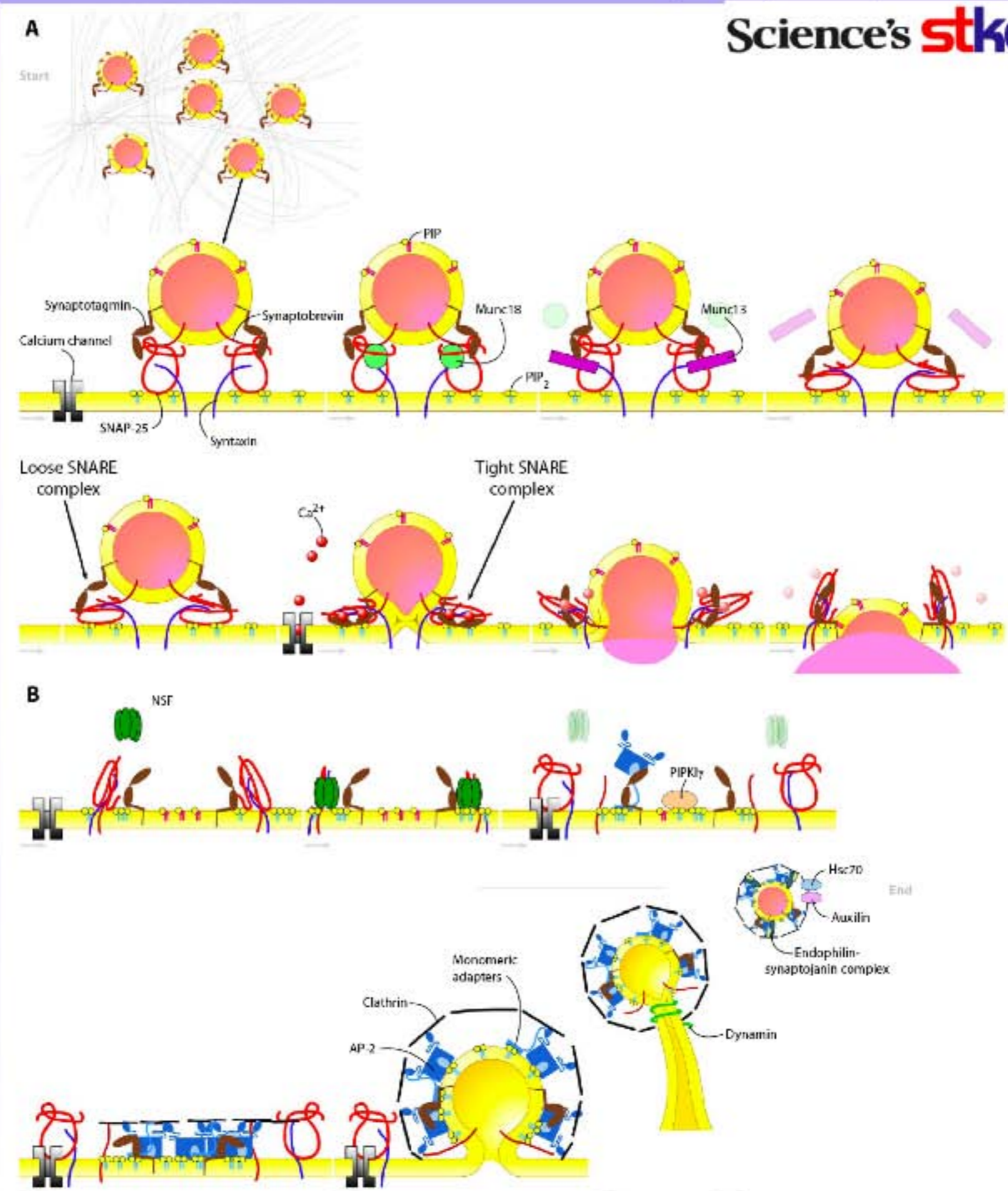
RECYCLING TIME

less than 60 s

(Betz and Bewick, 1993; Ryan *et al.*, 1995)

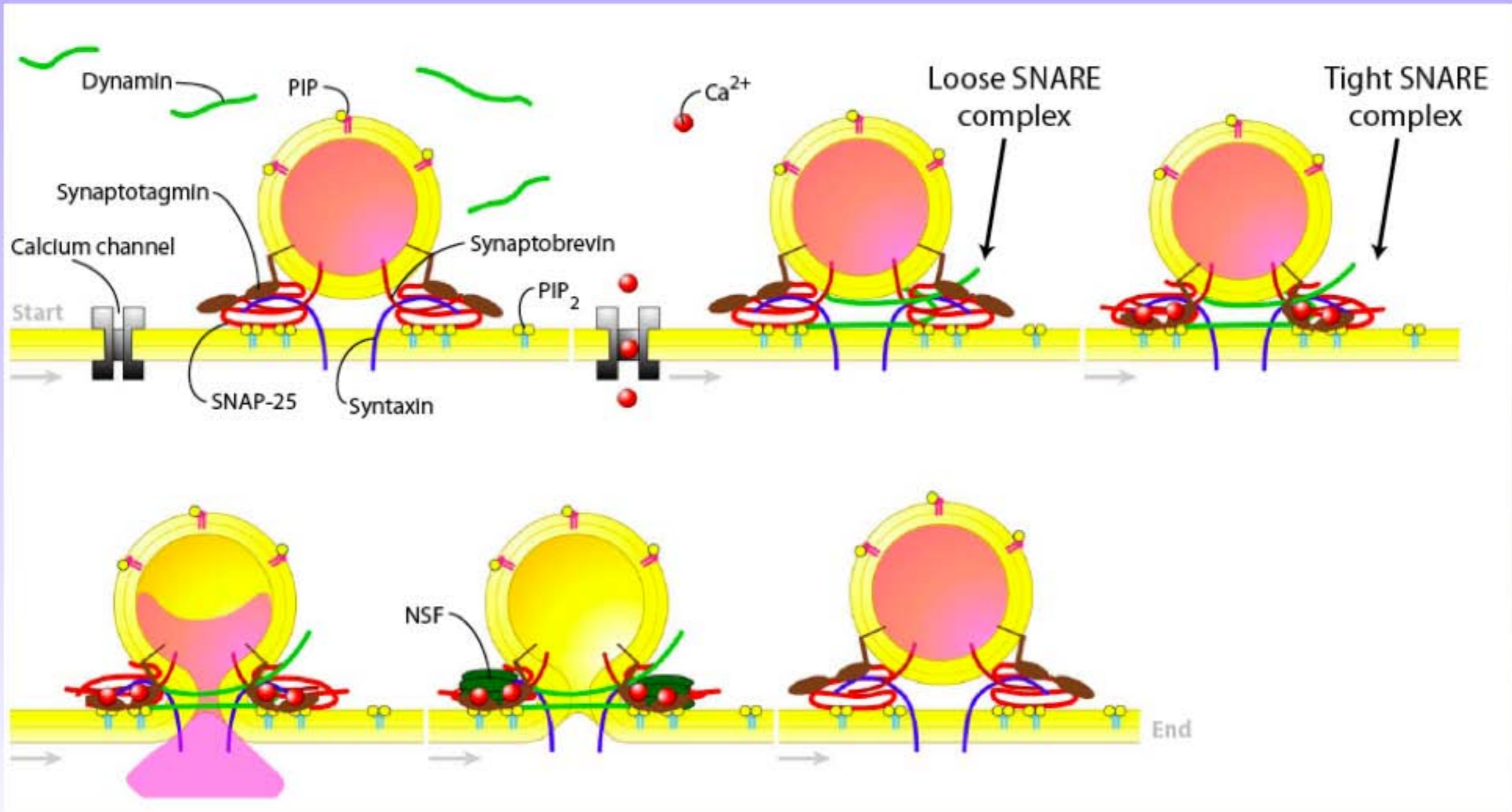


**Recyclage des Vésicules synaptiques:
endocytose médiée par la clathrine
(la voie lente)**



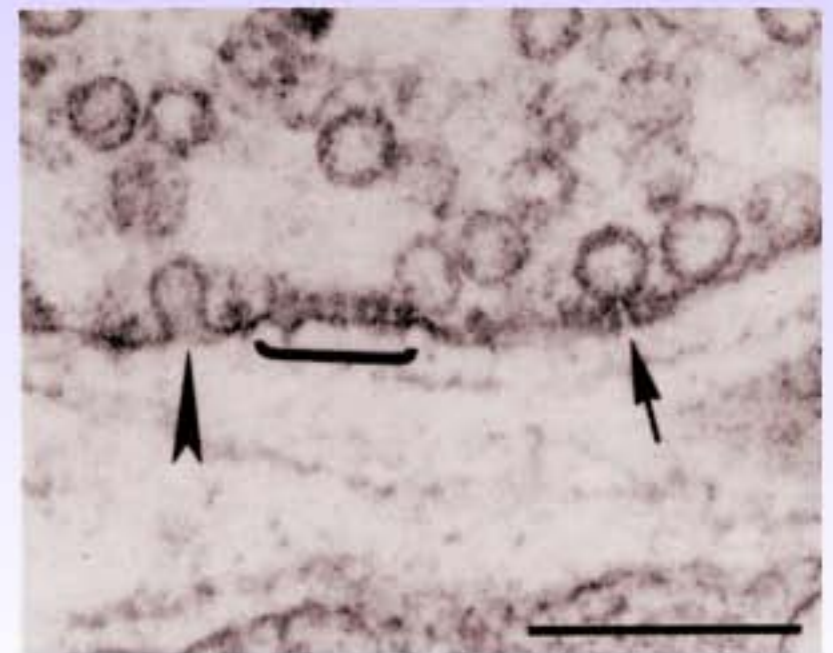
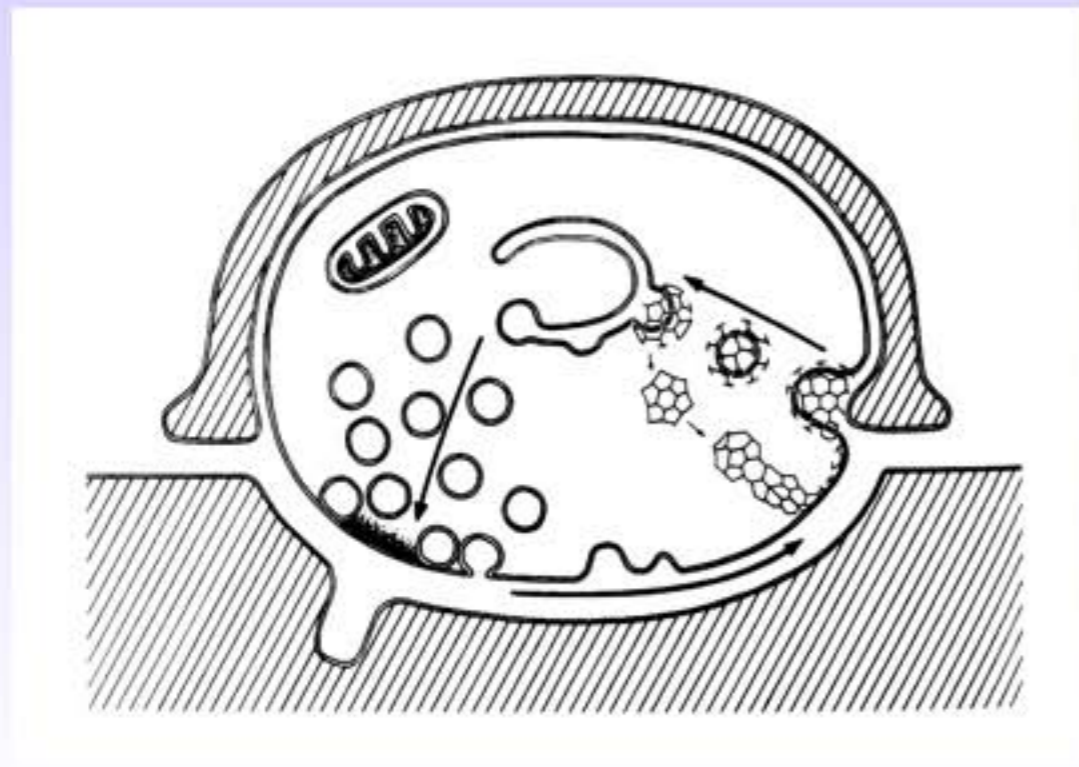
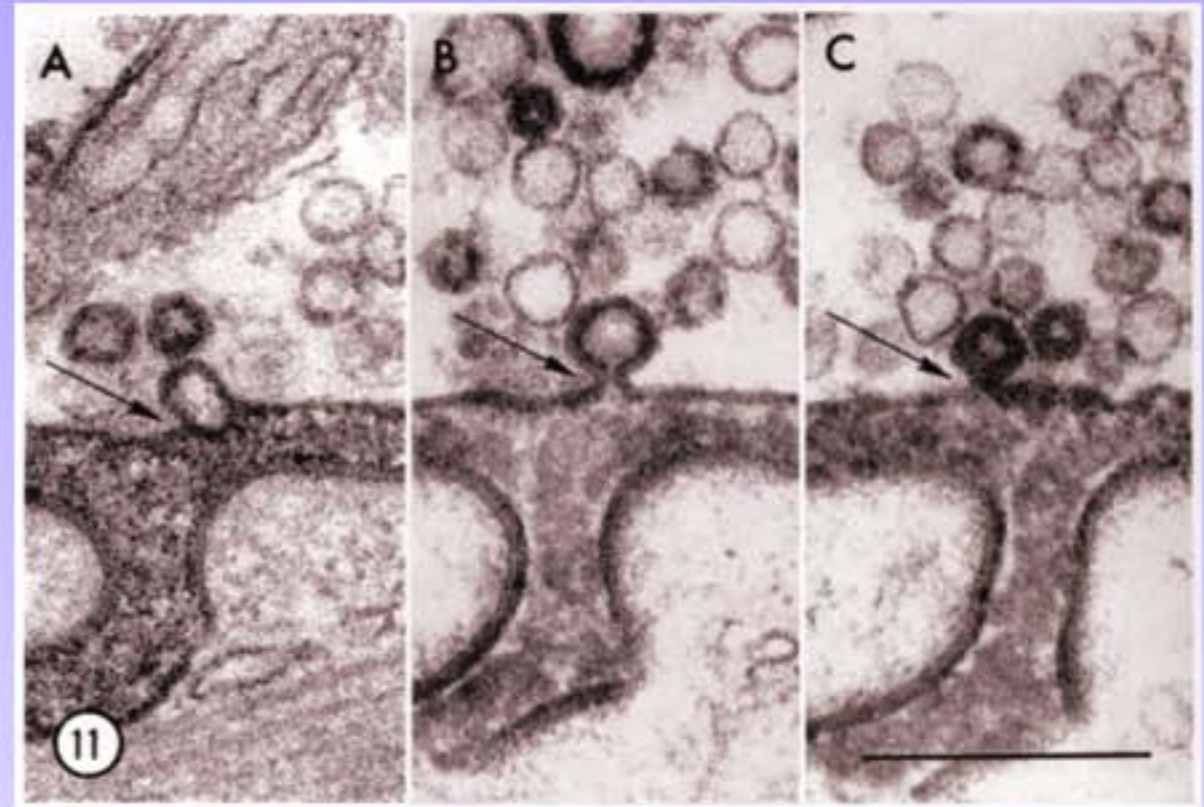
Thierry Galli¹ and Volker Haucke

Kiss and Run ?

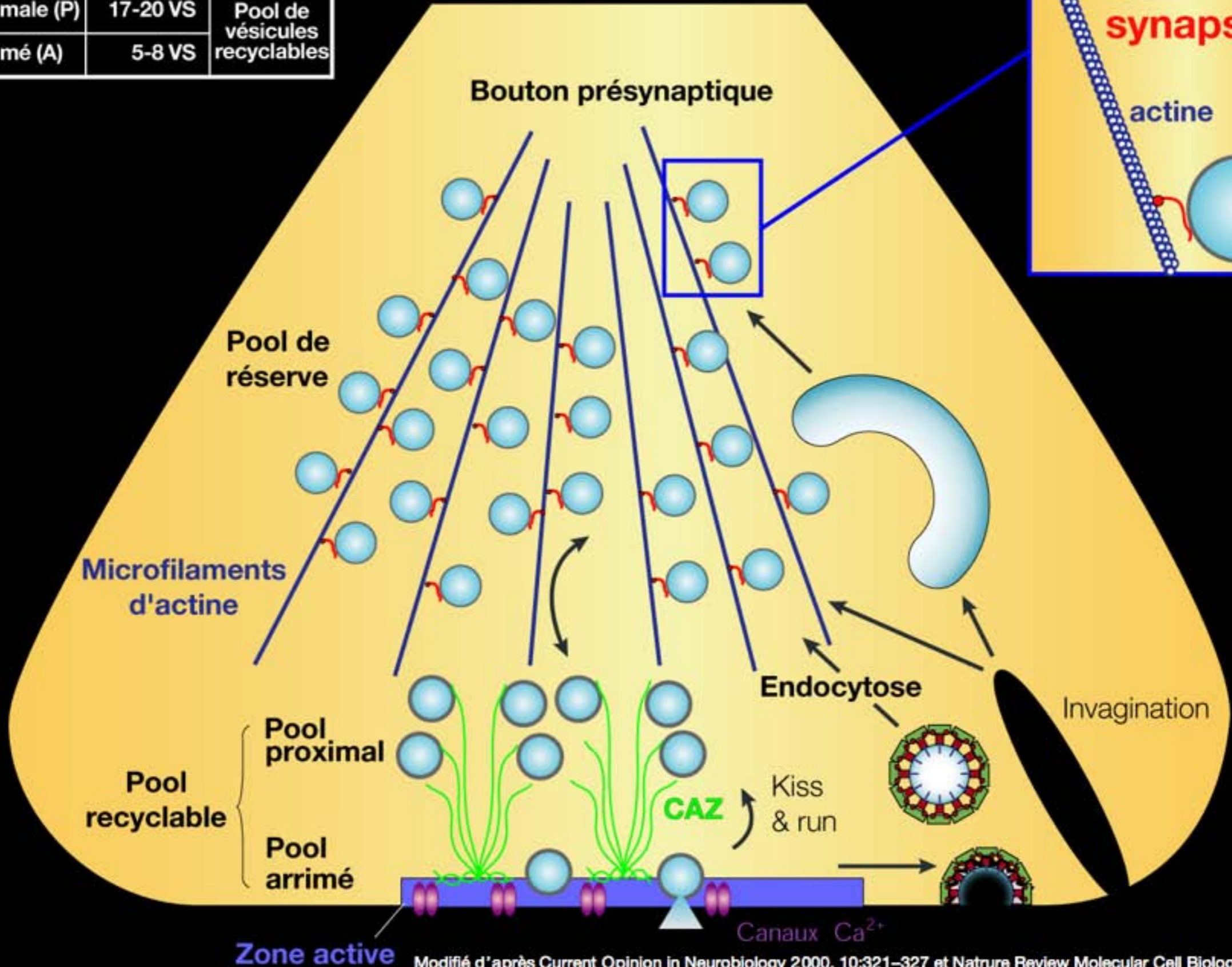
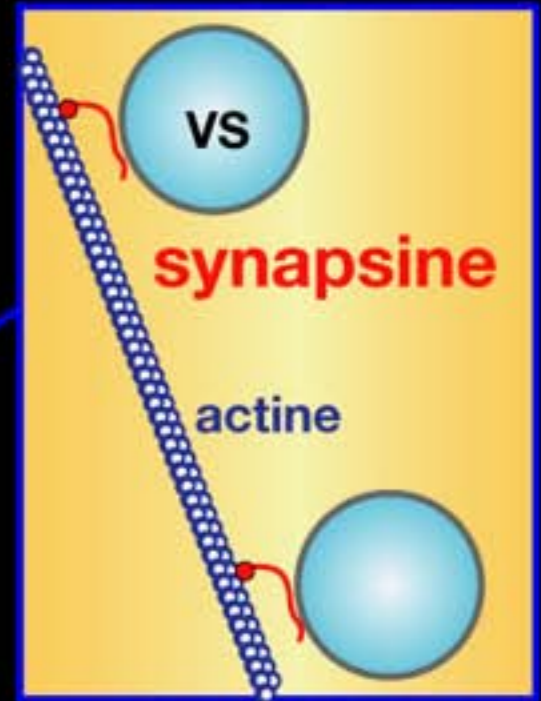


Thierry Galli1 and Volker Haucke

**Et en microscopie
électronique ?**



| Type de pool | Nombre de vésicules | |
|----------------|---------------------|-------------------------------|
| de réserve (R) | 180 VS | |
| proximale (P) | 17-20 VS | Pool de vésicules recyclables |
| arrimé (A) | 5-8 VS | |



Comment mesurer l'exocytose ?

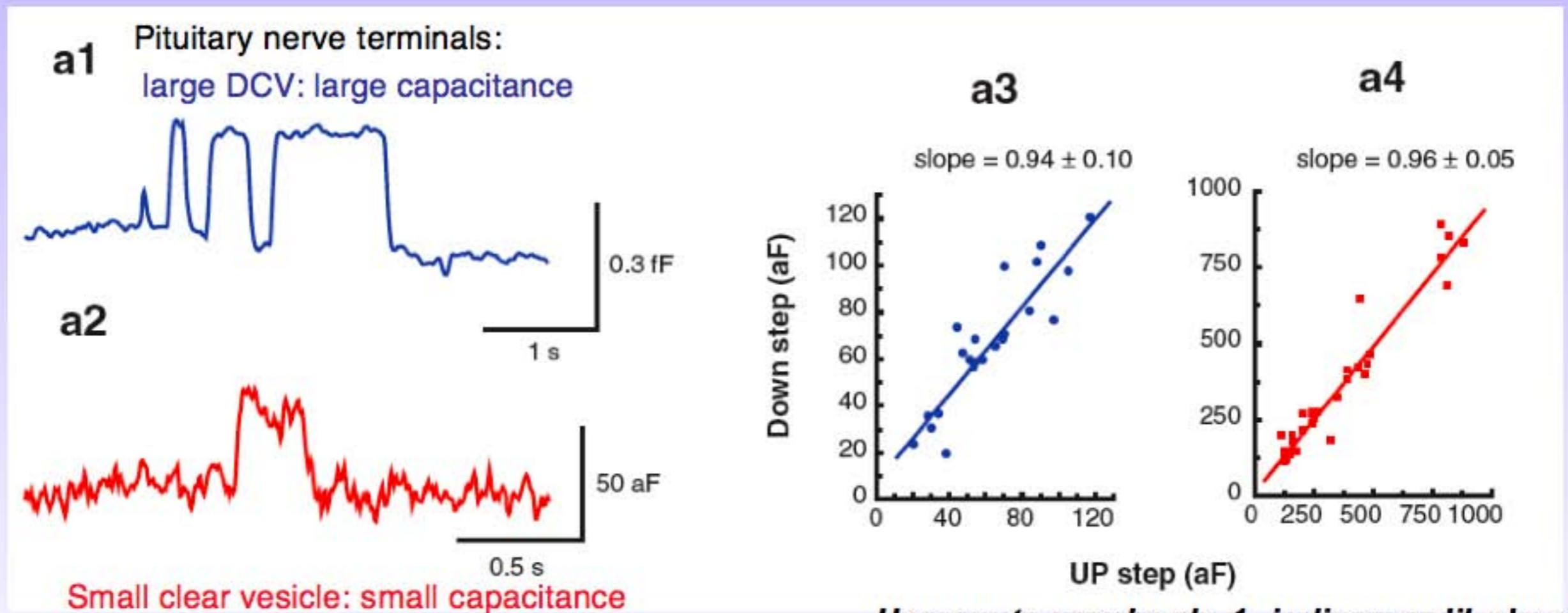
1) Capacitance:

La mesure de la capacitance de la cellule est proportionnelle à la surface de la membrane.

L'enregistrement de la capacitance permet de mesurer l'addition de membrane provoquée lors d'un évènement de fusion membranaire.

Cellules chromaffines (medullosurrénales): la fusion d'une vésicules produit une augmentation de la capacitance de 1fF (Neher, PNAS 1982).

Mastocytes : ont des vésicules + larges: augmentation de 16fF

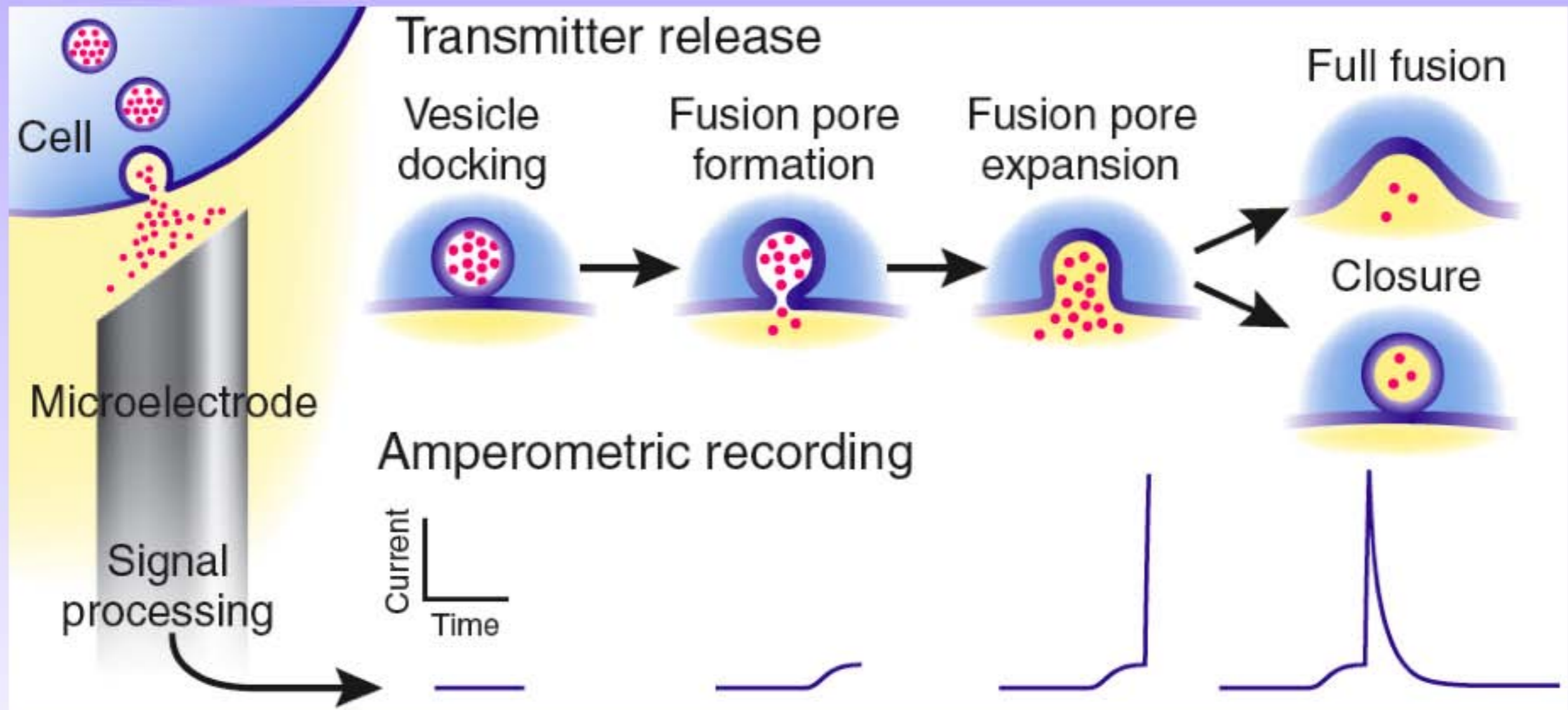


Une pente proche de 1, indique qu'il n'y a pas de transfert de membrane et indique plutôt un événement de type kiss-and-run.

Comment mesurer l'exocytose ?

2) L'ampérométrie à fibre de carbone (5-10 microns de diamètre):

On stimule les cellules par une dépolarisation. La cellule sécrète alors des molécules. En présence d'un potentiel approprié, les molécules (catécholamines, indolamines) sécrétées s'oxydent et libèrent des électrons. La mesure du courant d'oxydation donne accès à la quantité de molécules sécrétées par événement unitaire d'exocytose.



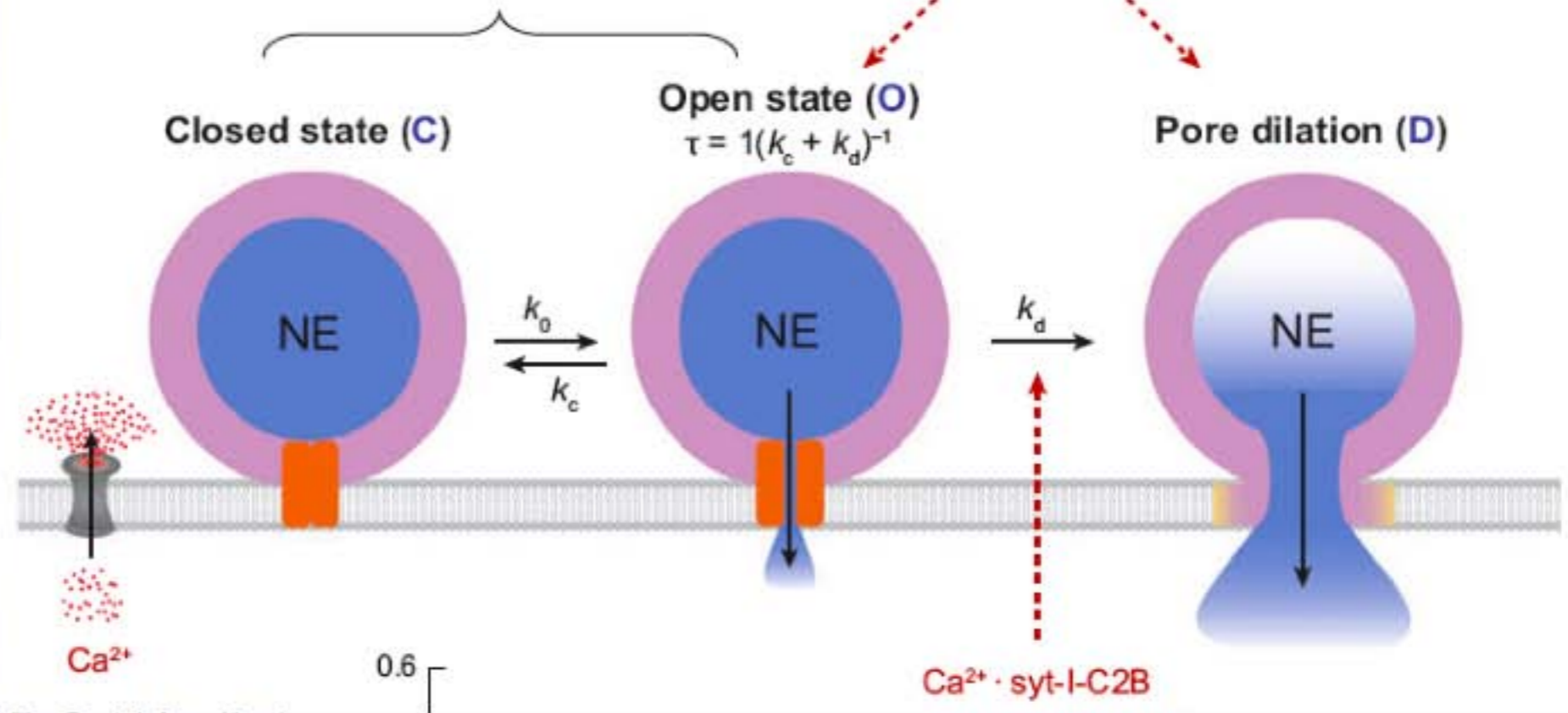
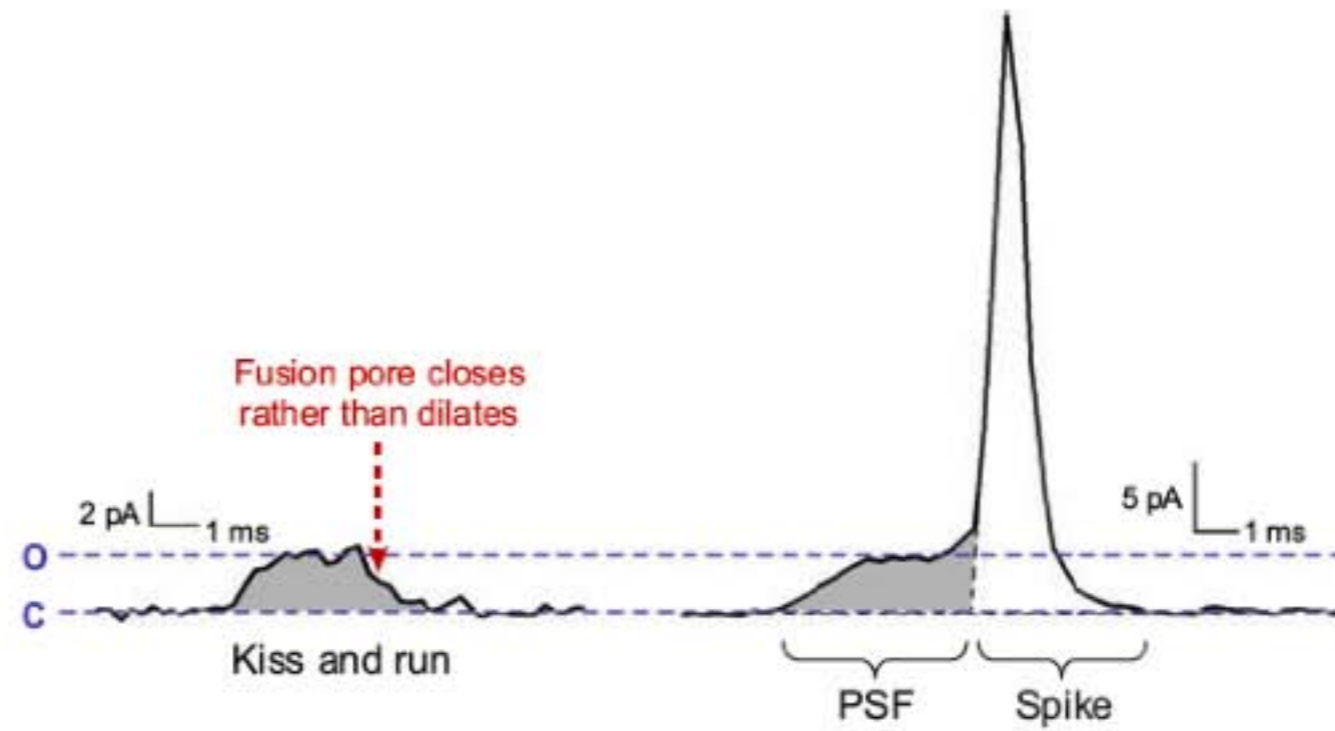
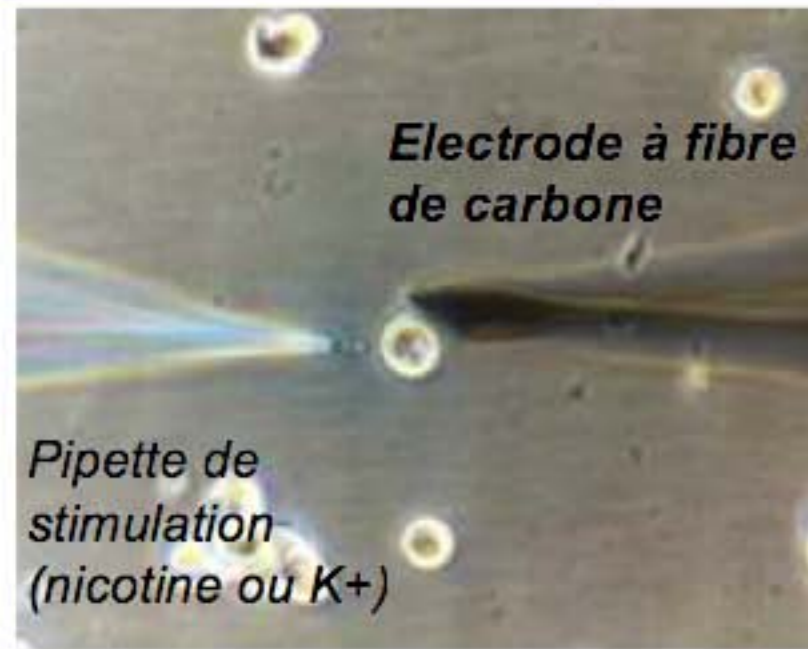
Cellules mesurées: cellules chromaffines (noradrénaline, adrénaline), mastocytes (histamines, serotonines), et cellules β du pancreas (insuline).

Résolution temporelle: <1ms

Sensibilité de détection: quelques milliers de molécules (Chen et al., 1994)

Comment mesurer l'exocytose ?

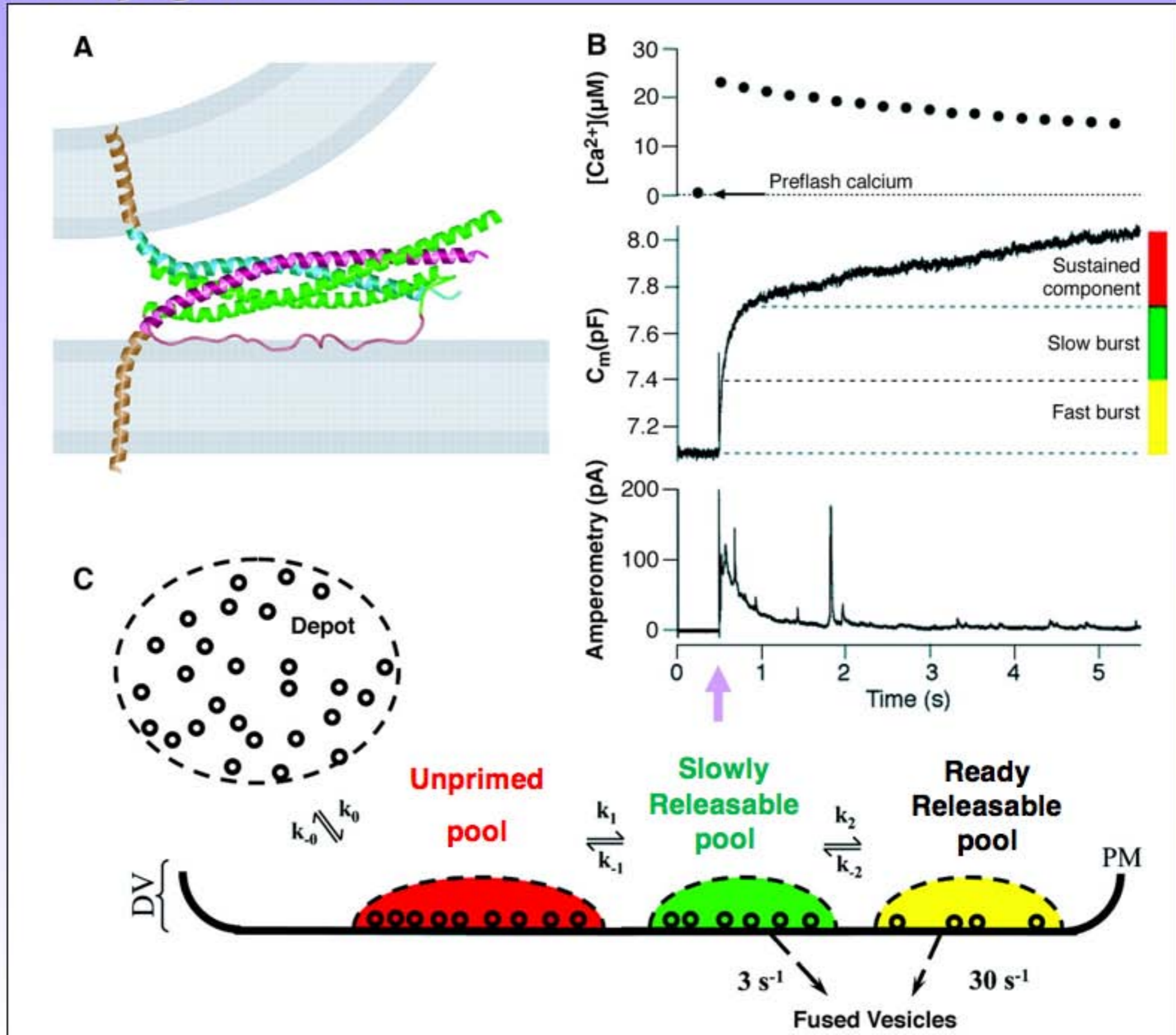
2) L'ampérométrie à fibre de carbone:



F. Darchen (UPR1929)

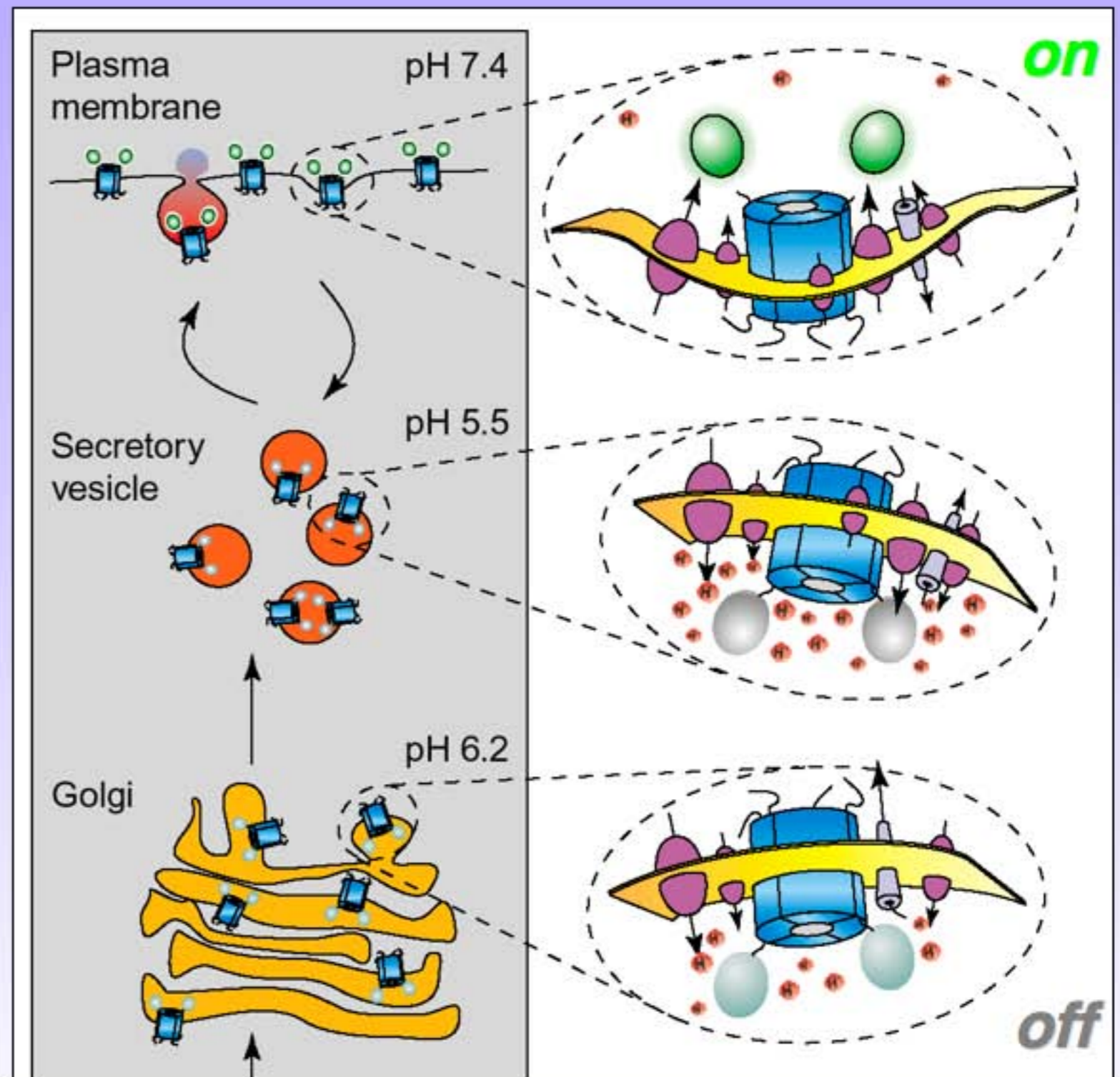
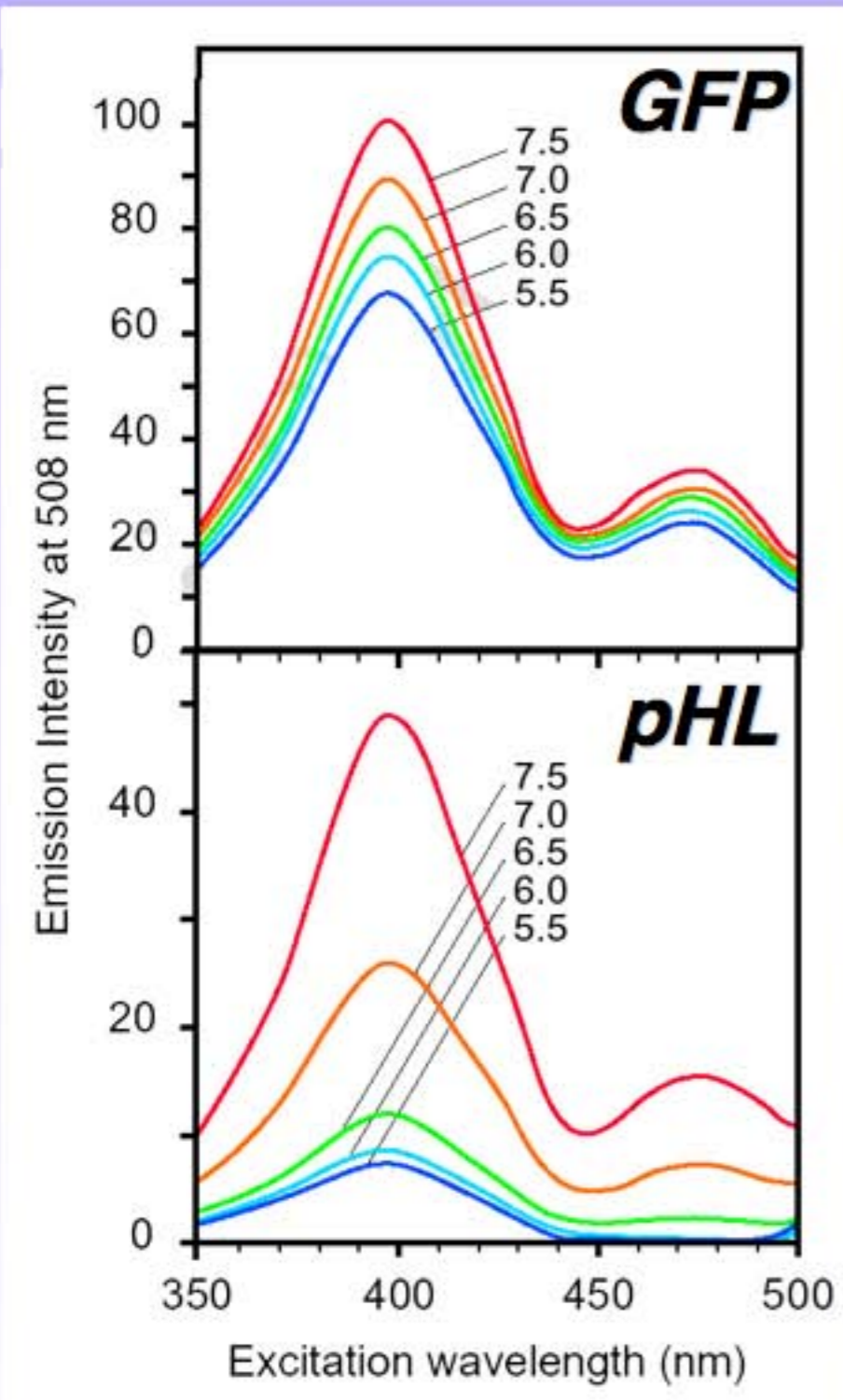
Ex: Syt1 prolonge le PSF, Syt4 le diminue.

Réserve, Amorçage, Fusion



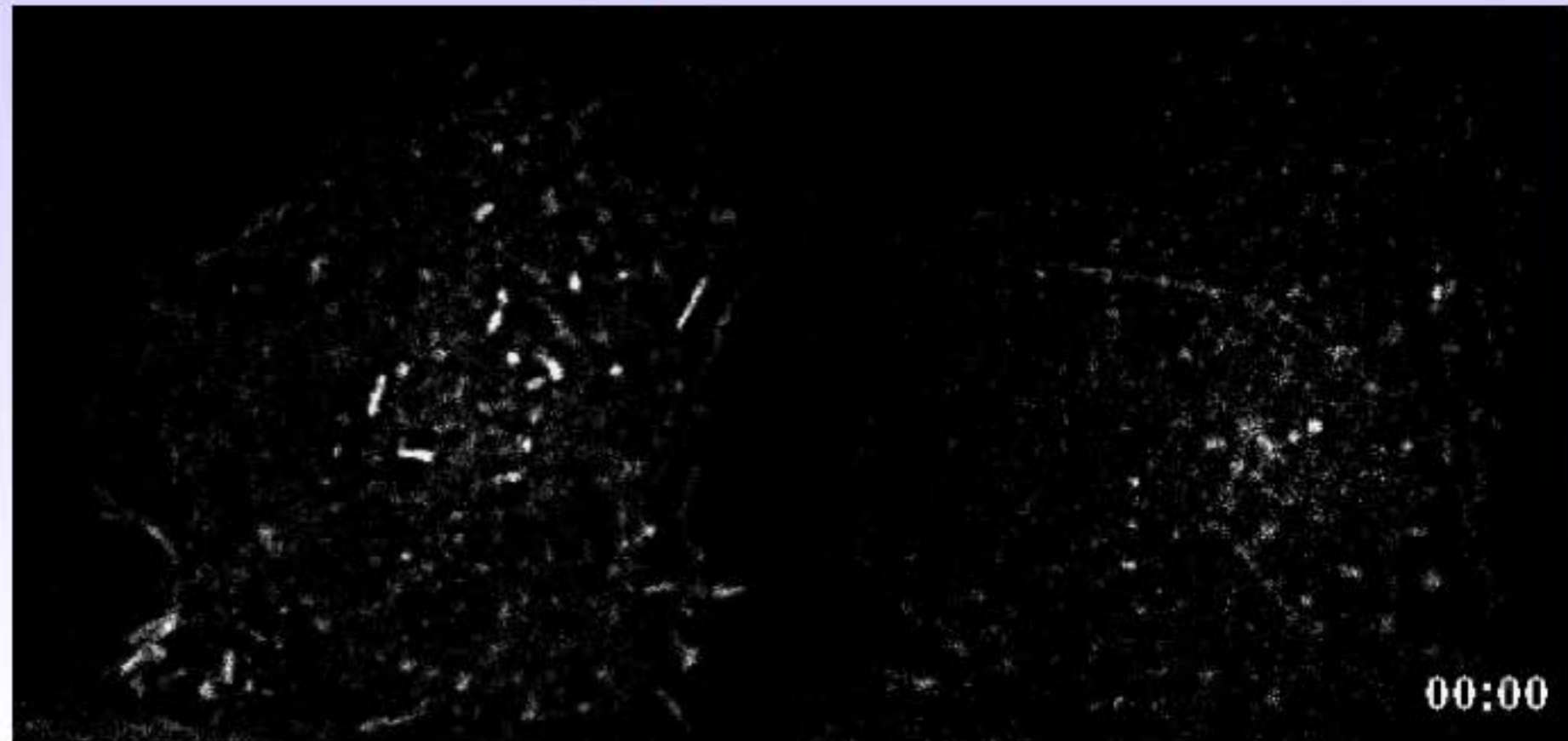
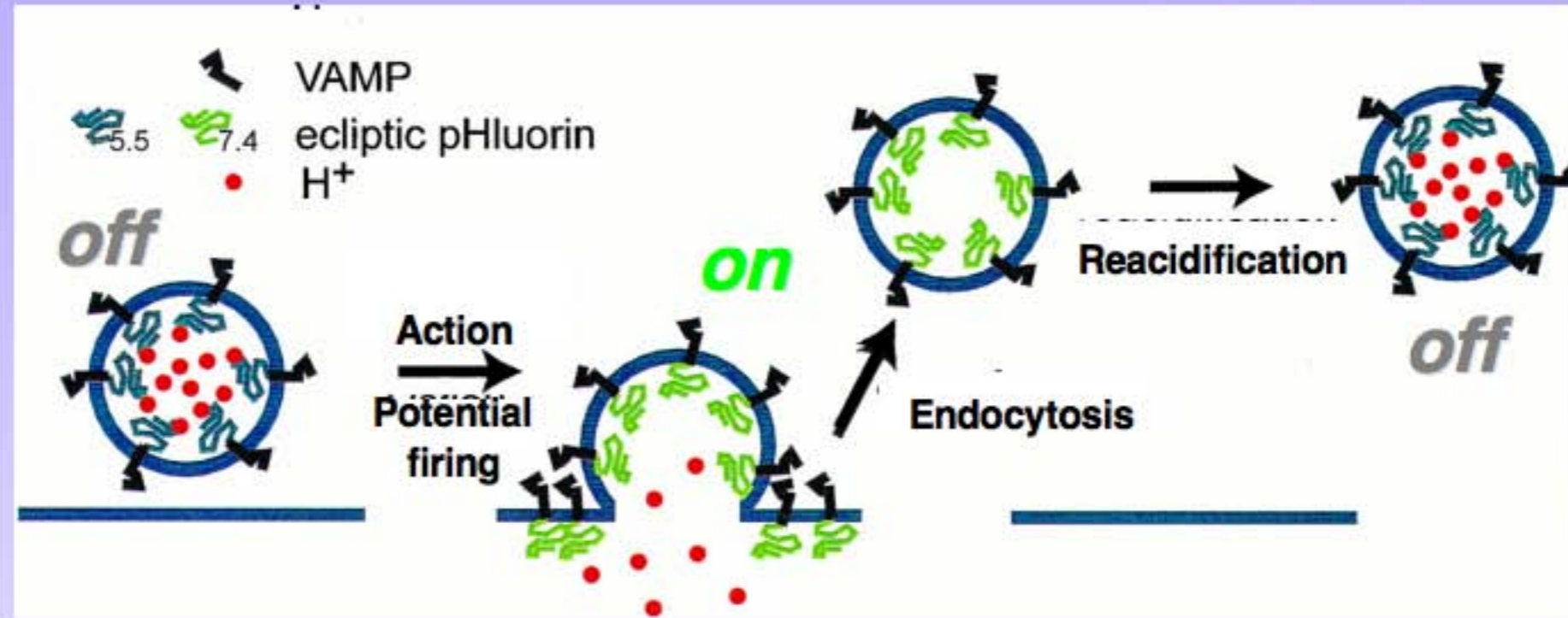
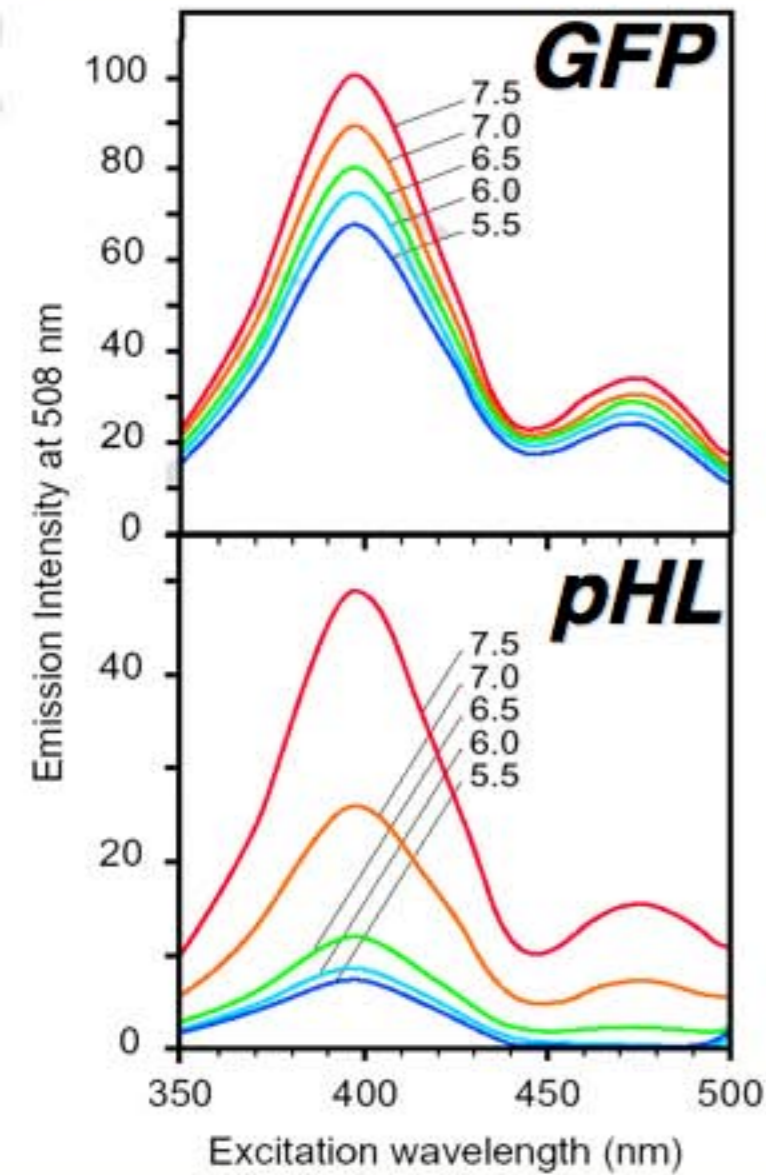
Comment mesurer l'exocytose ?

3) Mesure de fluorescence avec la GFP sensible au pH : la pHLuorin



Comment mesurer l'exocytose ?

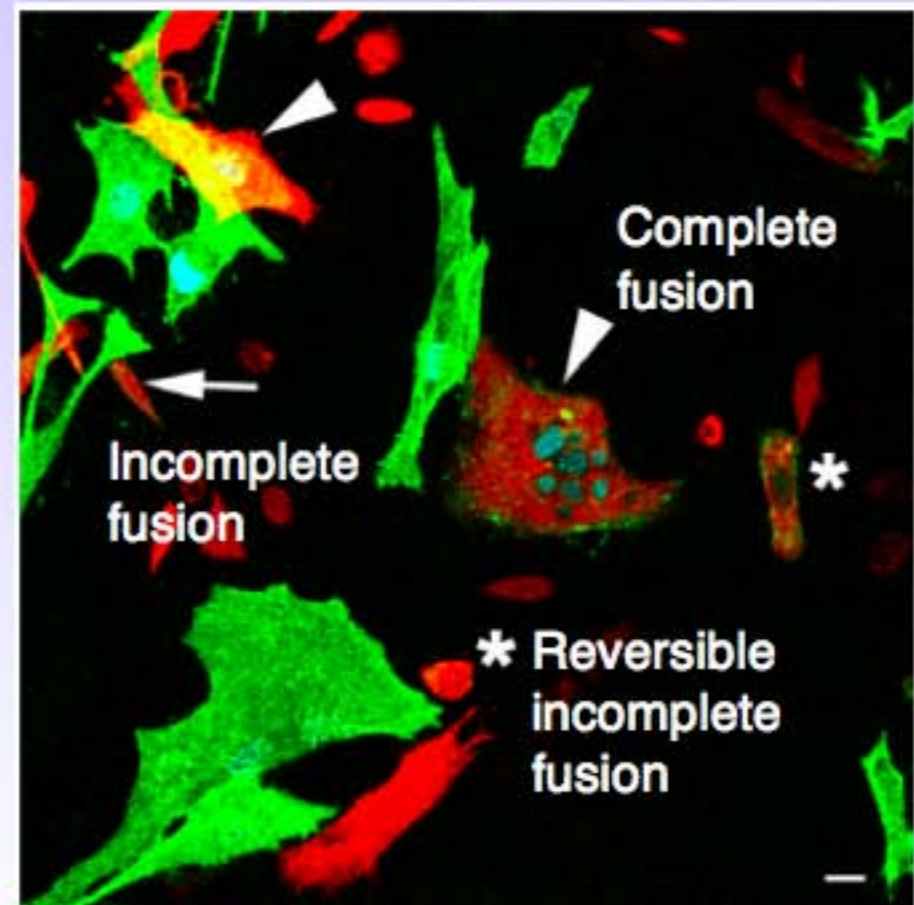
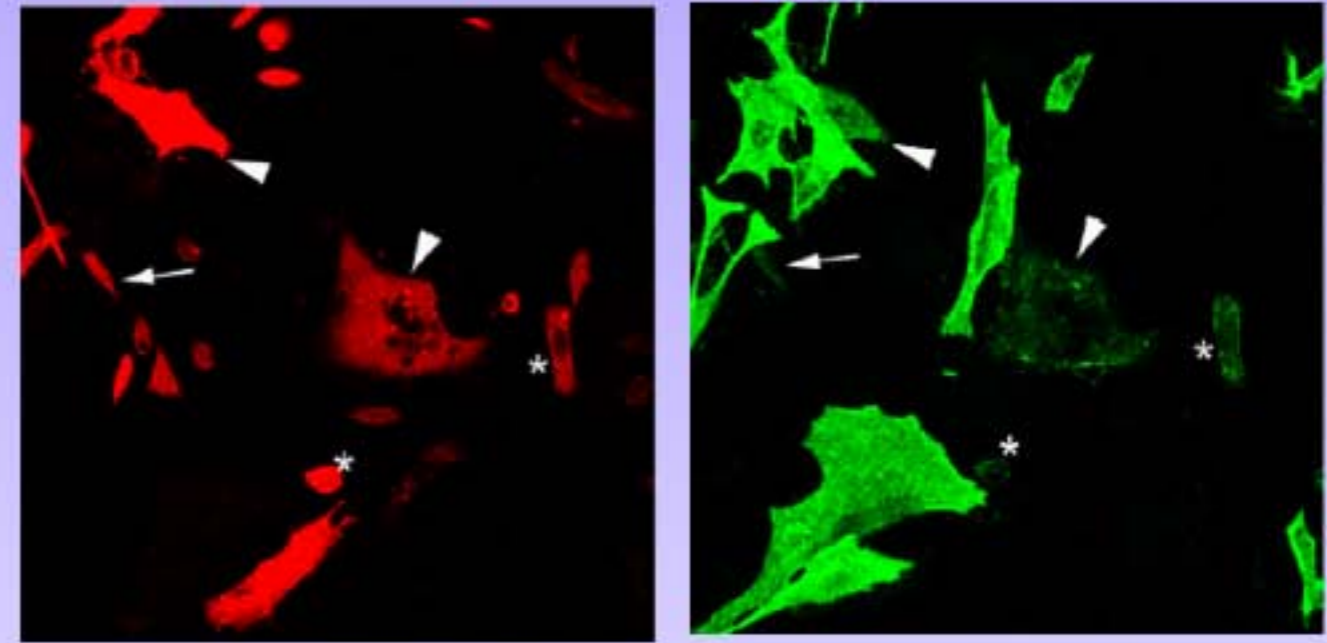
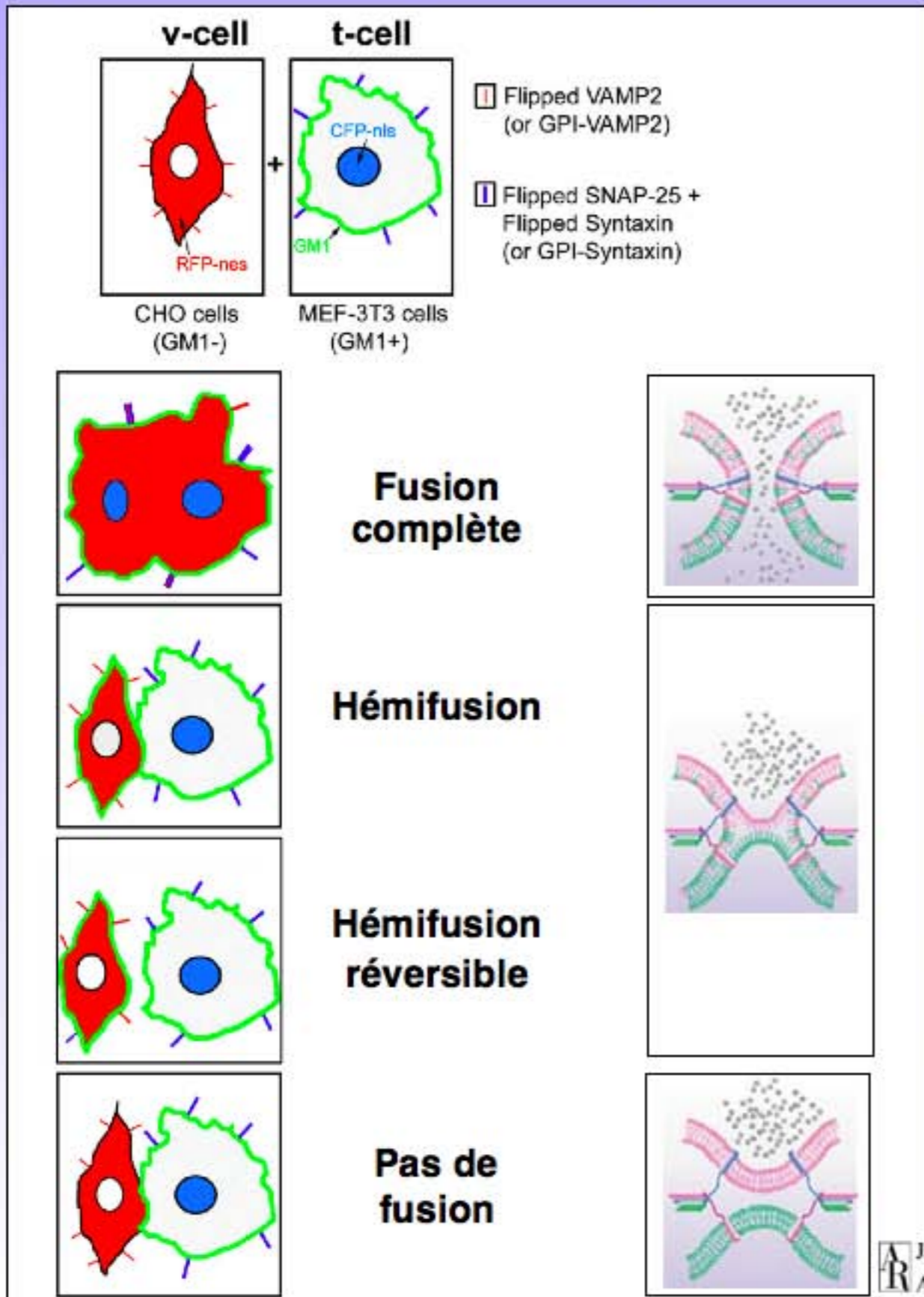
3) Mesure de fluorescence avec la GFP sensible au pH : la pHluorin





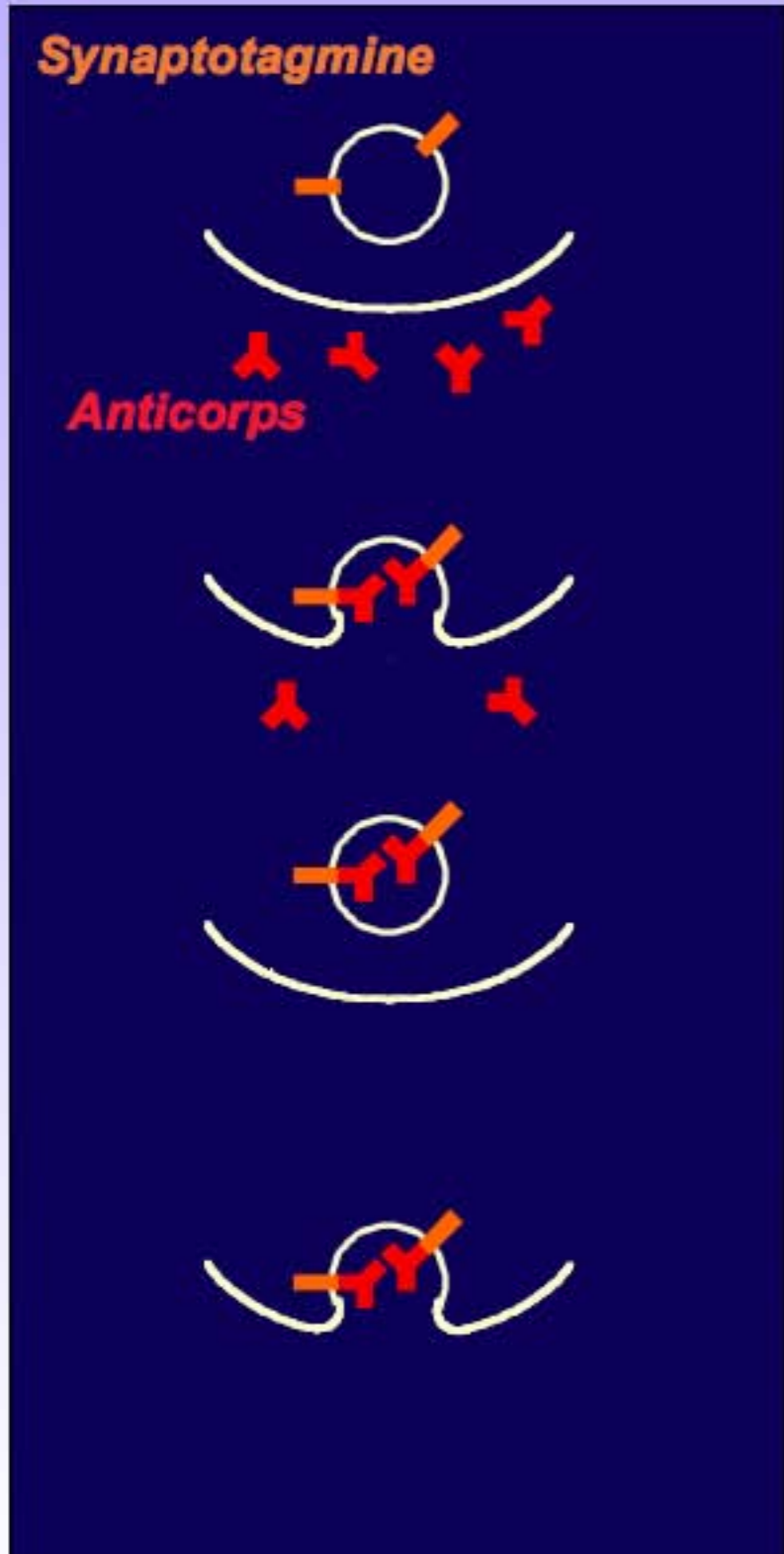
Comment mesurer l'exocytose ?

4) Evaluer la fusion par la technique des SNARE inversées (flipped SNARE fusion assay)



Comment mesurer le recyclage ?

1) L'utilisation d'anticorps anti-synaptotagmine



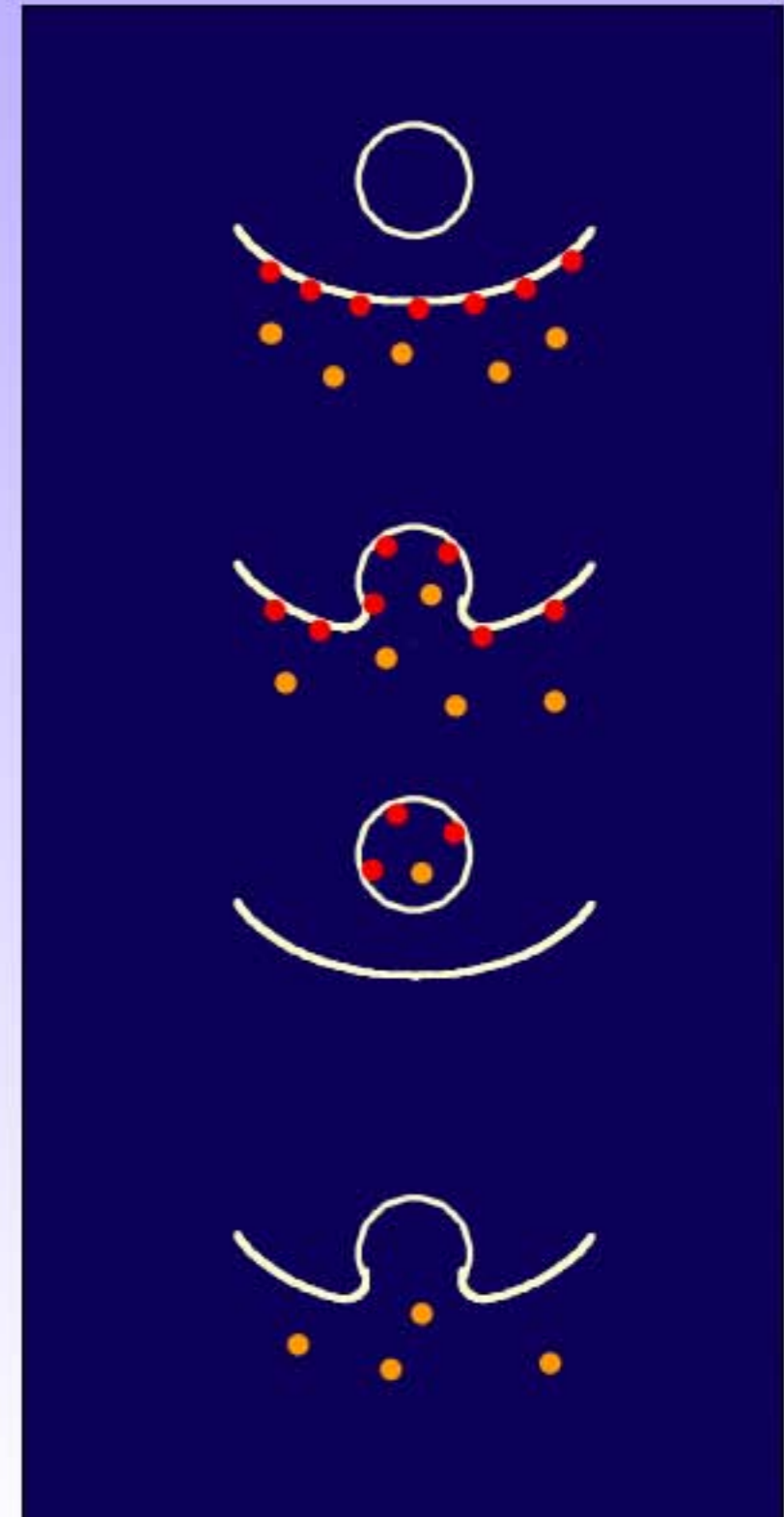
**Incubation
avec anticorps
ou sonde**

Endocytose

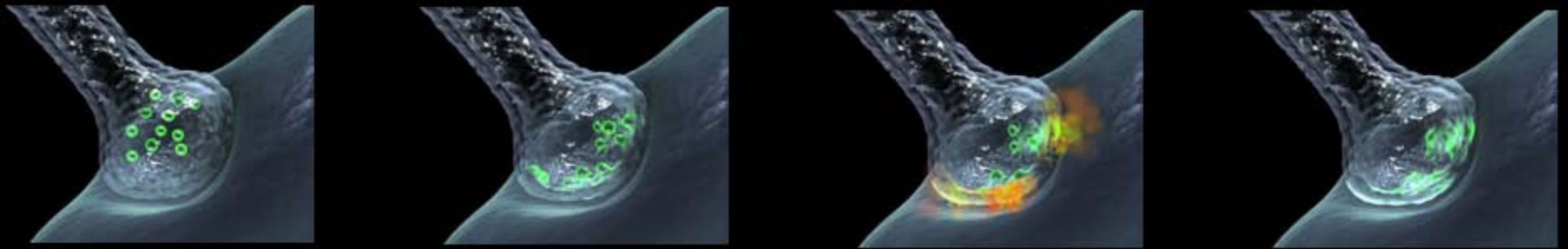
**Vésicules
chargées**

Exocytose

2) L'utilisation de sondes fluorescentes (FM Dyes)



Neuronal transmission: exocytosis



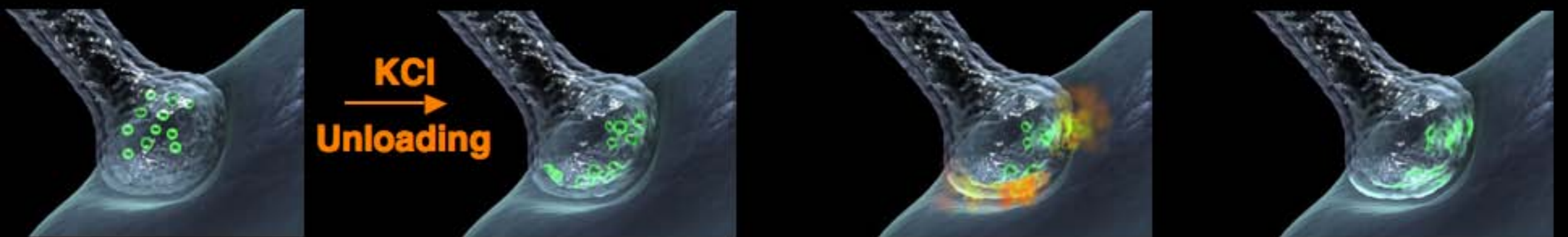
FM experiments

1. Loading of fluorescent dyes



Zero Ca²⁺: block ExoC

2. Measurement of the unloading of FM dyes



Basic properties of the FM dyes

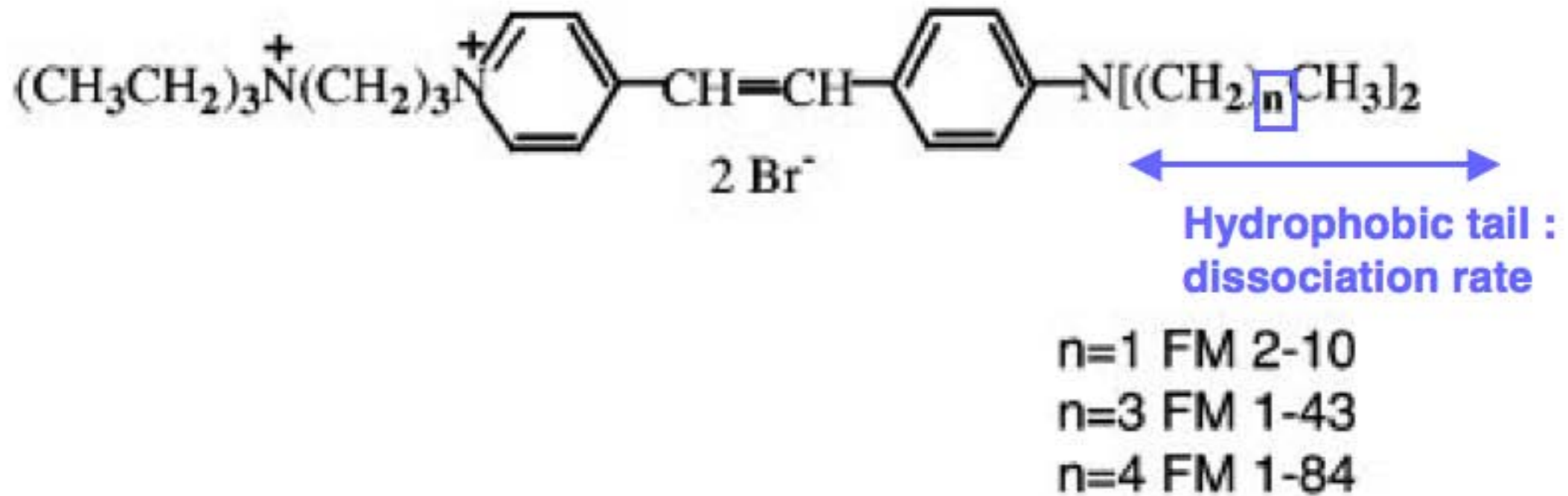
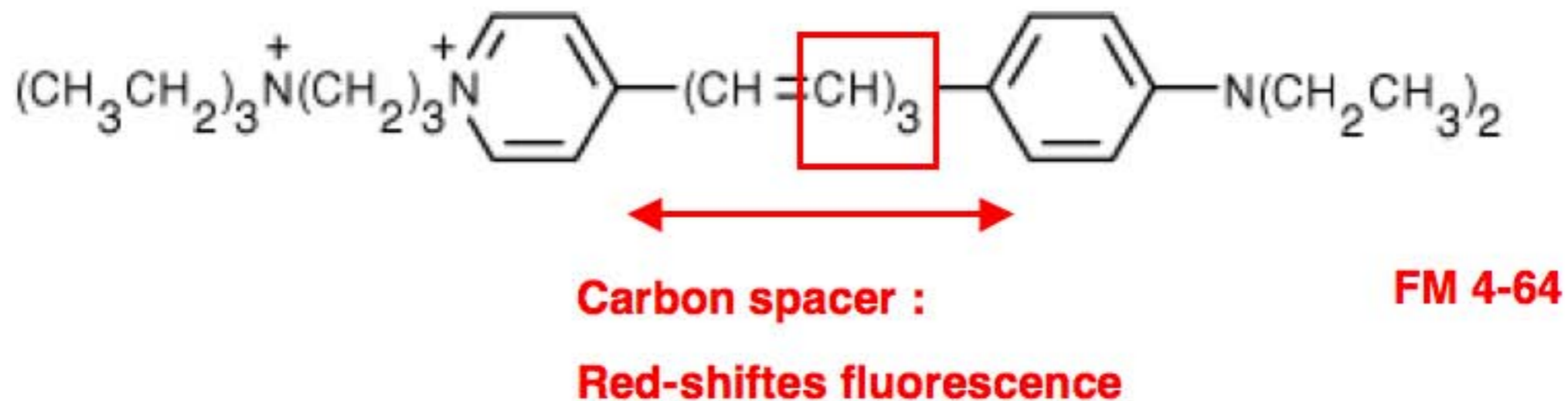


FIG. 1. Chemical structures of FM 2-10, FM 1-43, and FM 1-84.



Basic properties of the FM dyes

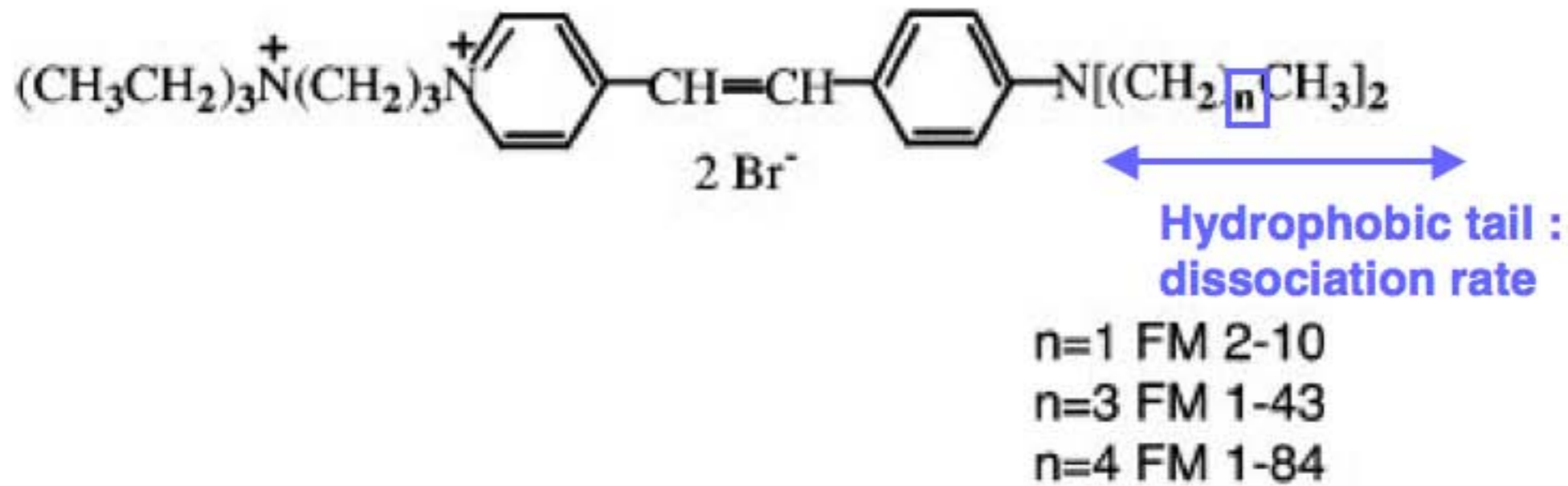
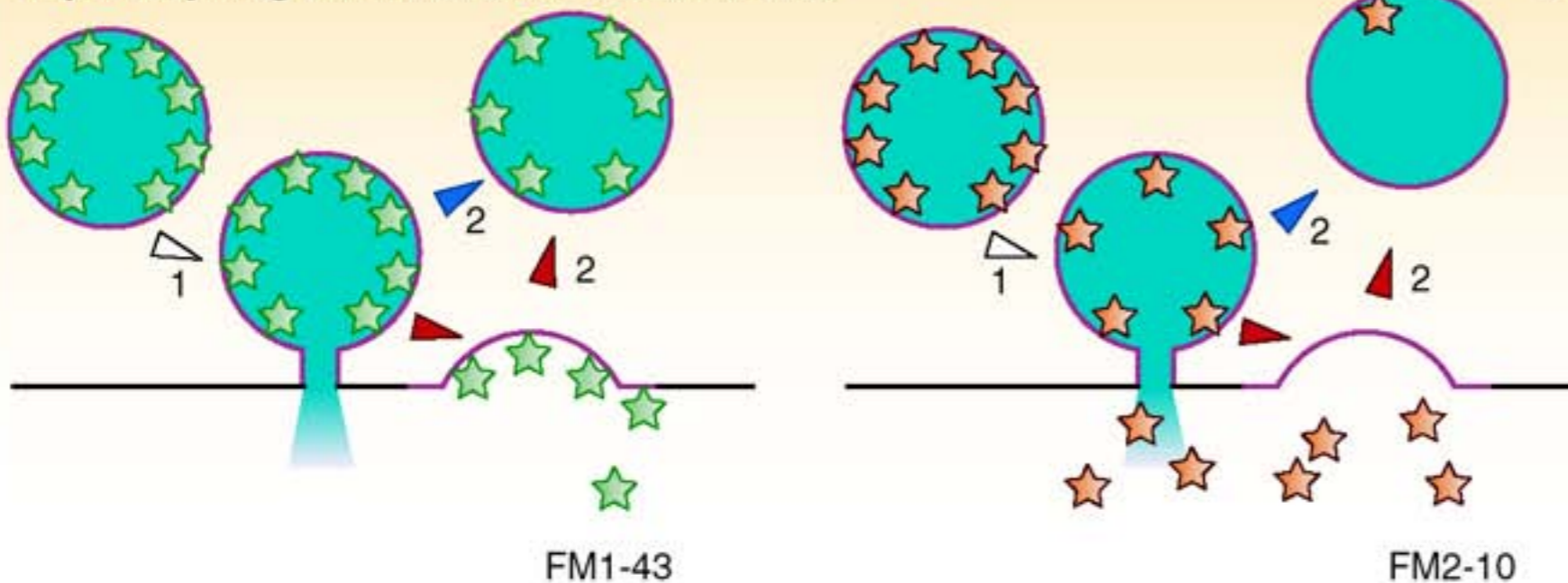


FIG. 1. Chemical structures of FM 2-10, FM 1-43, and FM 1-84.

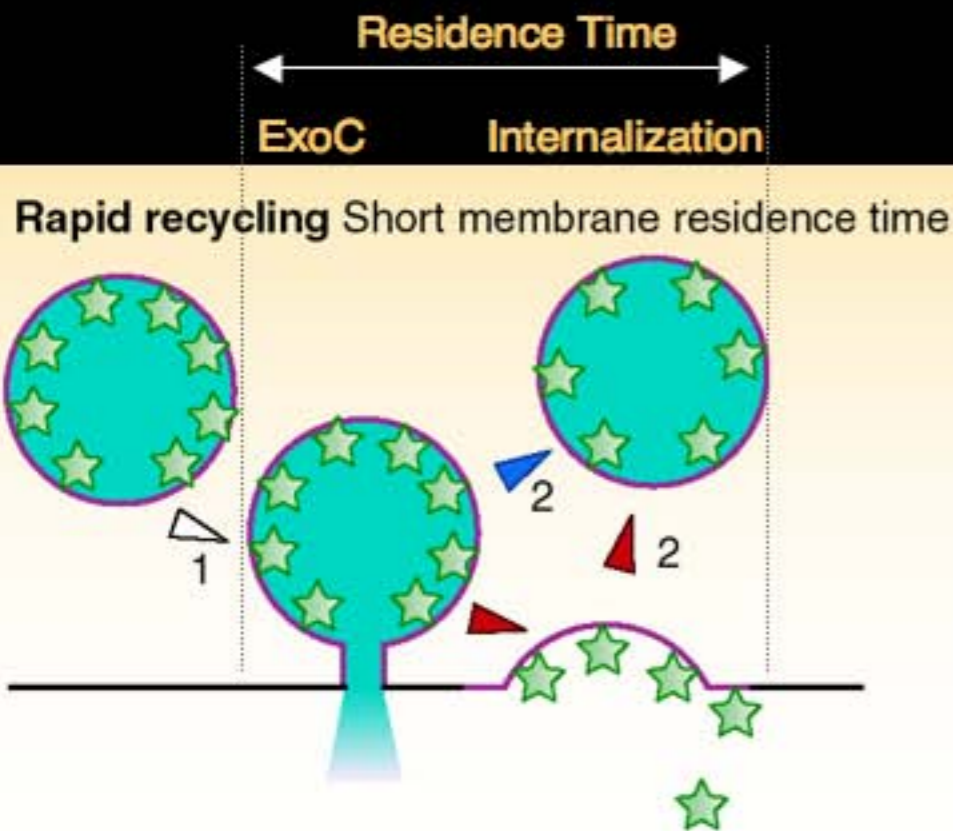
NATURE CELL BIOLOGY | VOL 4 | NOVEMBER 2002 |

Rapid recycling Short membrane residence time



**FM2-10 is faster
than FM1-43**

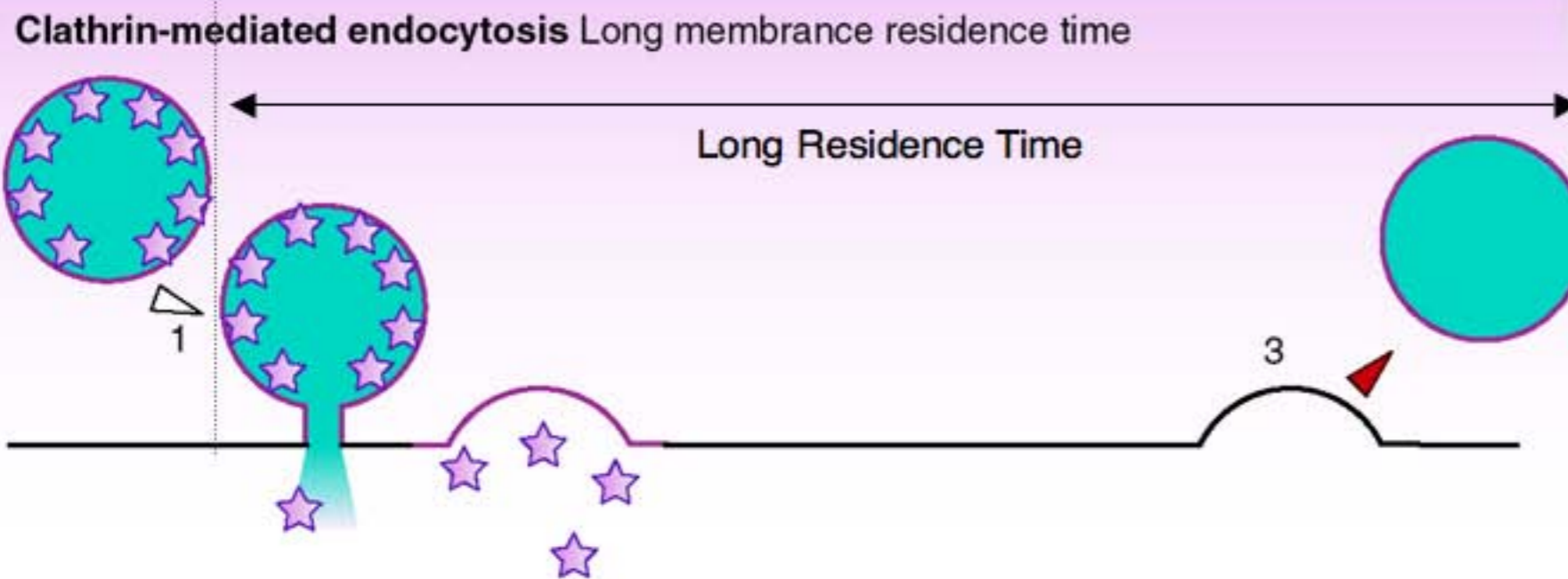
- Dye with slow 'off time'
- Dye with fast 'off time'
- Vesicle membrane
- Pre-synaptic membrane
- Neurotransmitter



How to discriminate between Kiss & run and Endocytosis

Kiss and run :

Short Residence time (Res.T)

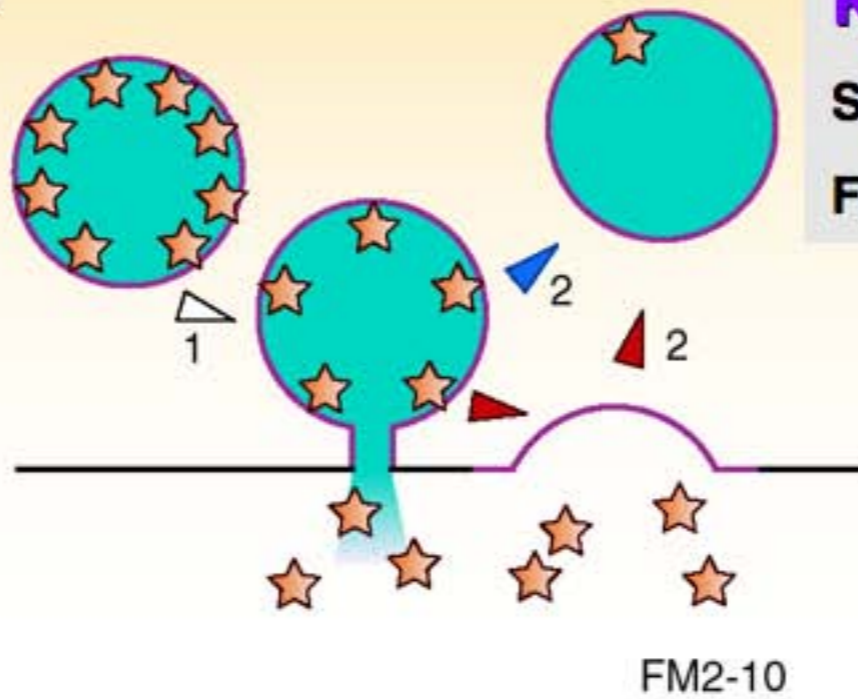
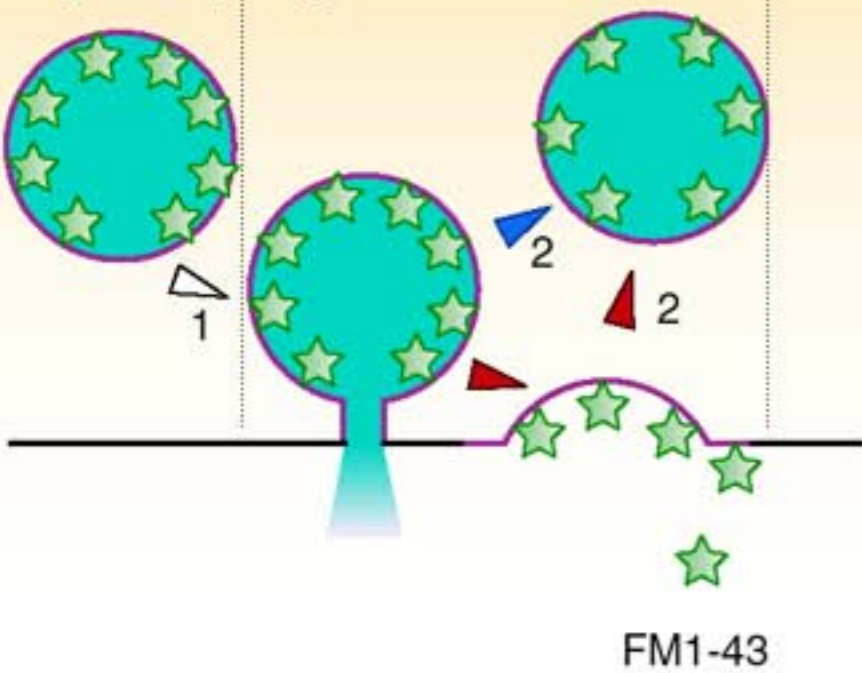


Clathrin mediated endocytosis:
Long Residence time

- ★ Dye with slow 'off time'
- ★ Dye with fast 'off time'
- Vesicle membrane
- Pre-synaptic membrane
- Neurotransmitter

Residence Time
ExoC Internalization

Rapid recycling Short membrane residence time



Kiss and run :

Short Residence time (Res.T)

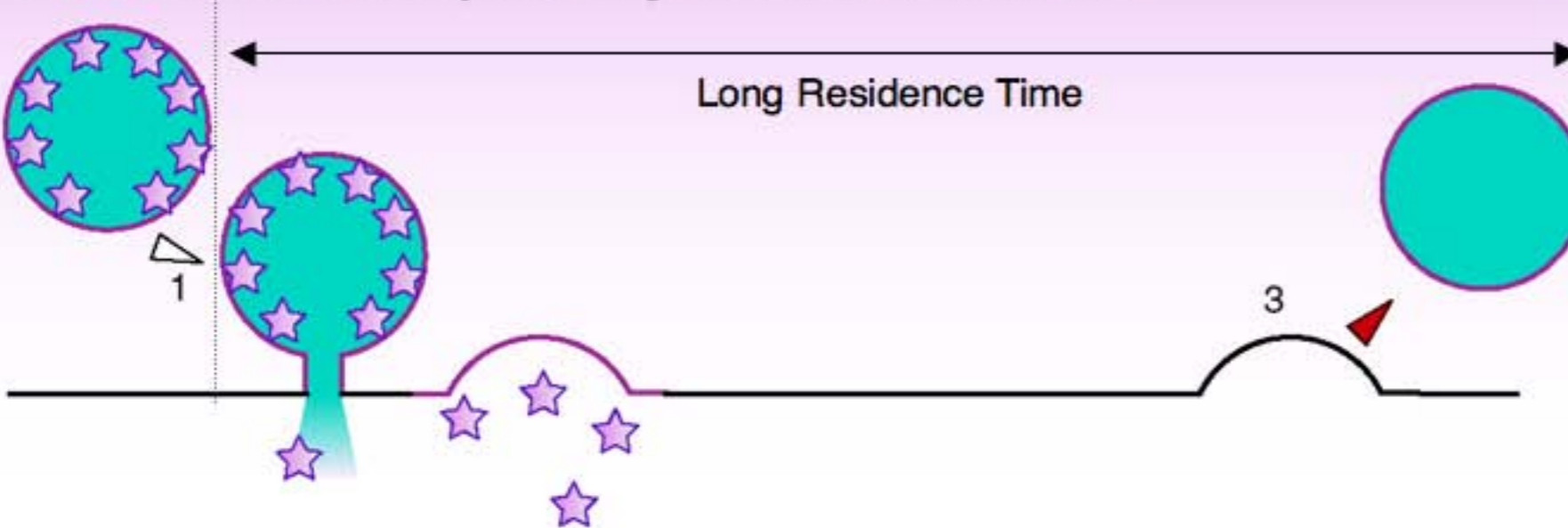
$FM2-10 < Res. T < FM 1-43$

FM2-10 is faster than FM1-43 :

« Off time »

$FM2-10 < FM 1-43$

Clathrin-mediated endocytosis Long membrane residence time



Clathrin mediated endocytosis:

Long Residence time

Residence time \gg FM off time

$Res. T \gg FM 1-43 > FM2-10$

There is no difference between FM2-10 and FM1-43

Both can dissociate before internalization

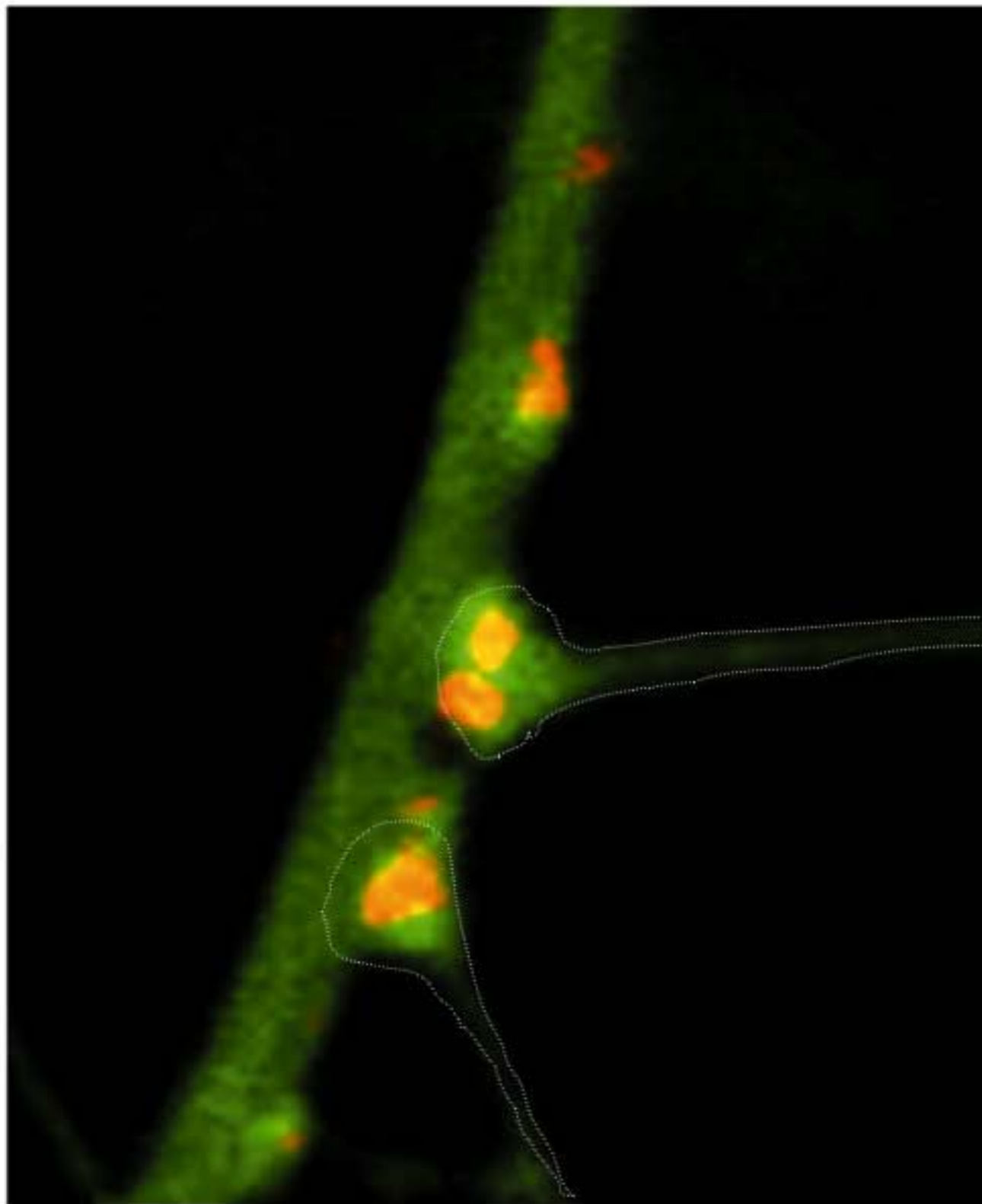
☆ Dye with slow 'off time'

— Vesicle membrane

■ Neurotransmitter

☆ Dye with fast 'off time'

— Pre-synaptic membrane



Current Opinion in Neurobiology

FM 4-64 labeling of synaptic vesicle clusters in hippocampal neurons. FM 4-64, which is a red-shifted variant of FM 1-43, was applied during AP firing to hippocampal neurons in cell culture. Two GFP-expressing cells that form an axo-dendritic contact containing two clusters of recycling vesicles labeled by FM 4-64 are shown.

Evidence for a Role of Dendritic Filopodia in Synaptogenesis and Spine Formation

Noam E. Ziv and Stephen J Smith

Neuron, Vol. 17, 91–102, July, 1996.

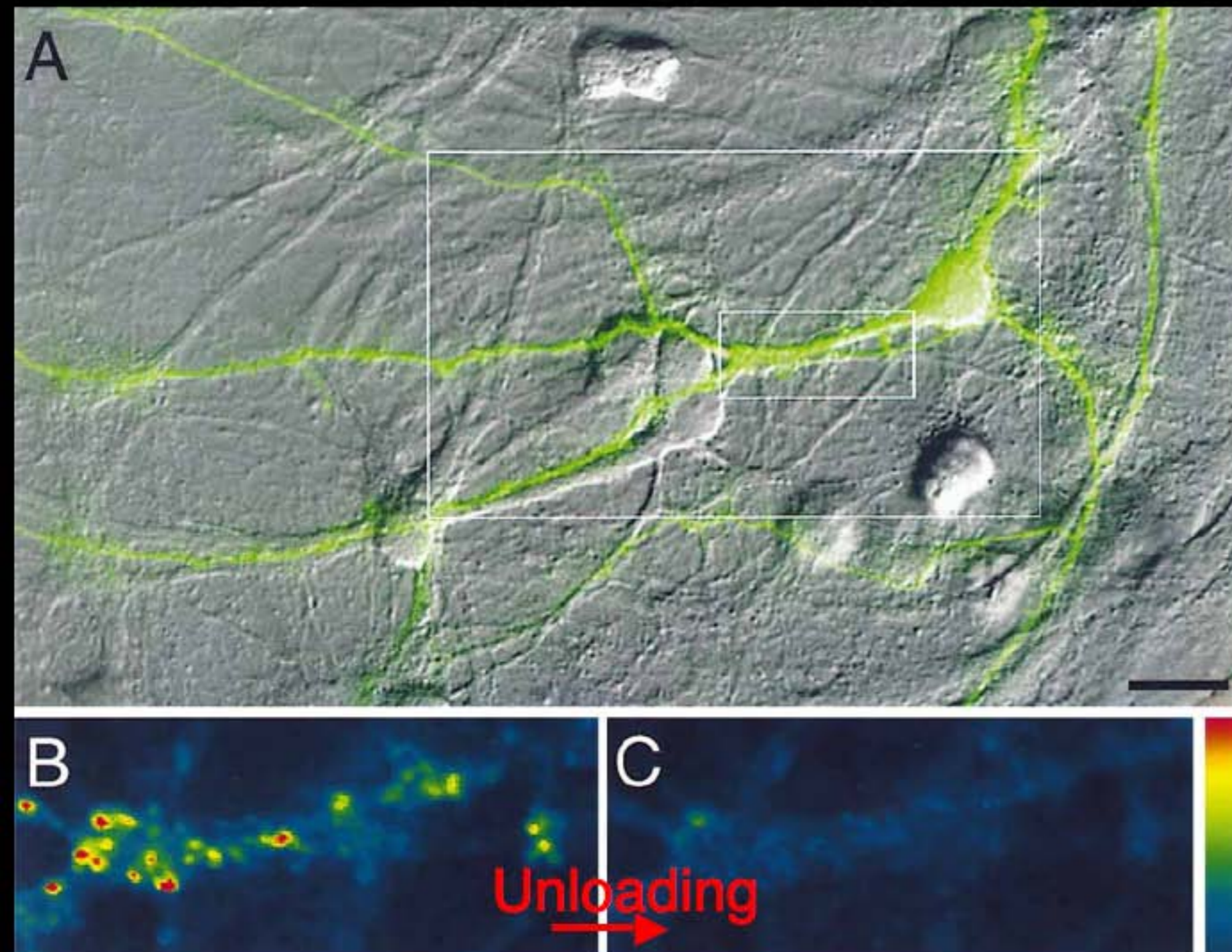


Figure 1. Imaging of Dendritic Structure and Presynaptic Boutons in Live Cultured Hippocampal Neurons

(A) A fluorescence image of a single pyramidal neuron labeled with FAST DiO, digitally overlaid on a DIC image of the same field. The neurons shown in this figure were grown for 13 DIV prior to the experiment.

(B) A pseudocolor fluorescence image of presynaptic boutons loaded with FM 4-64. The area shown corresponds to the inner rectangle in (A). Fluorescence intensity is coded according to color bar on far right.

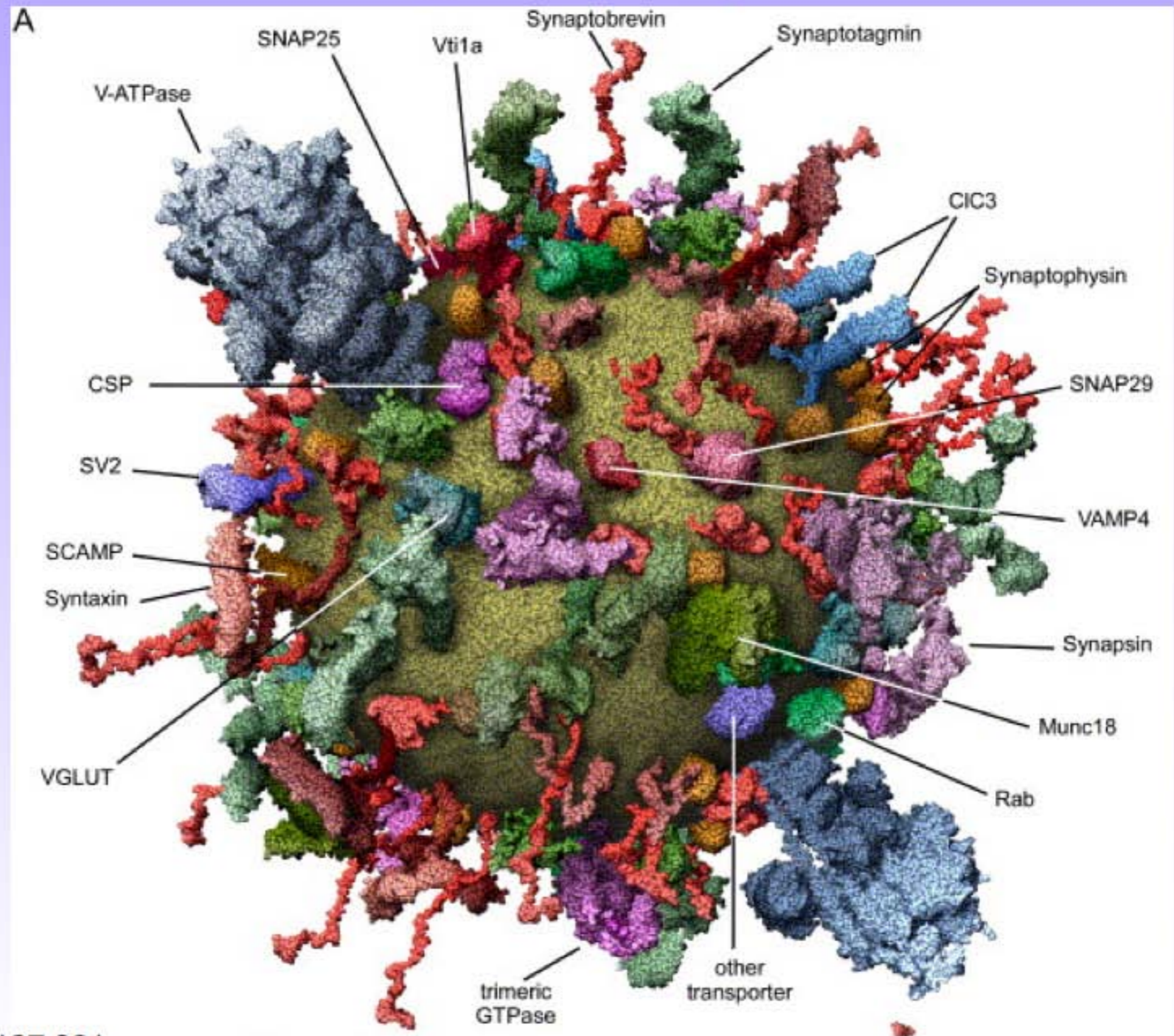
(C) The same field shown in (B) after the dye was unloaded by stimulating the neurons to fire action potentials for 60 s at 10 Hz.

(D) Digital superposition of the FM 4-64 difference image (red), created by subtracting the image in (C) from that in (B), onto the fluorescence image of the FAST DiO-labeled neuron (green). Area shown corresponds to outer rectangle in (A). Scale bars, 20 μm (A) and 10 μm (D).

Vésicules Synaptiques

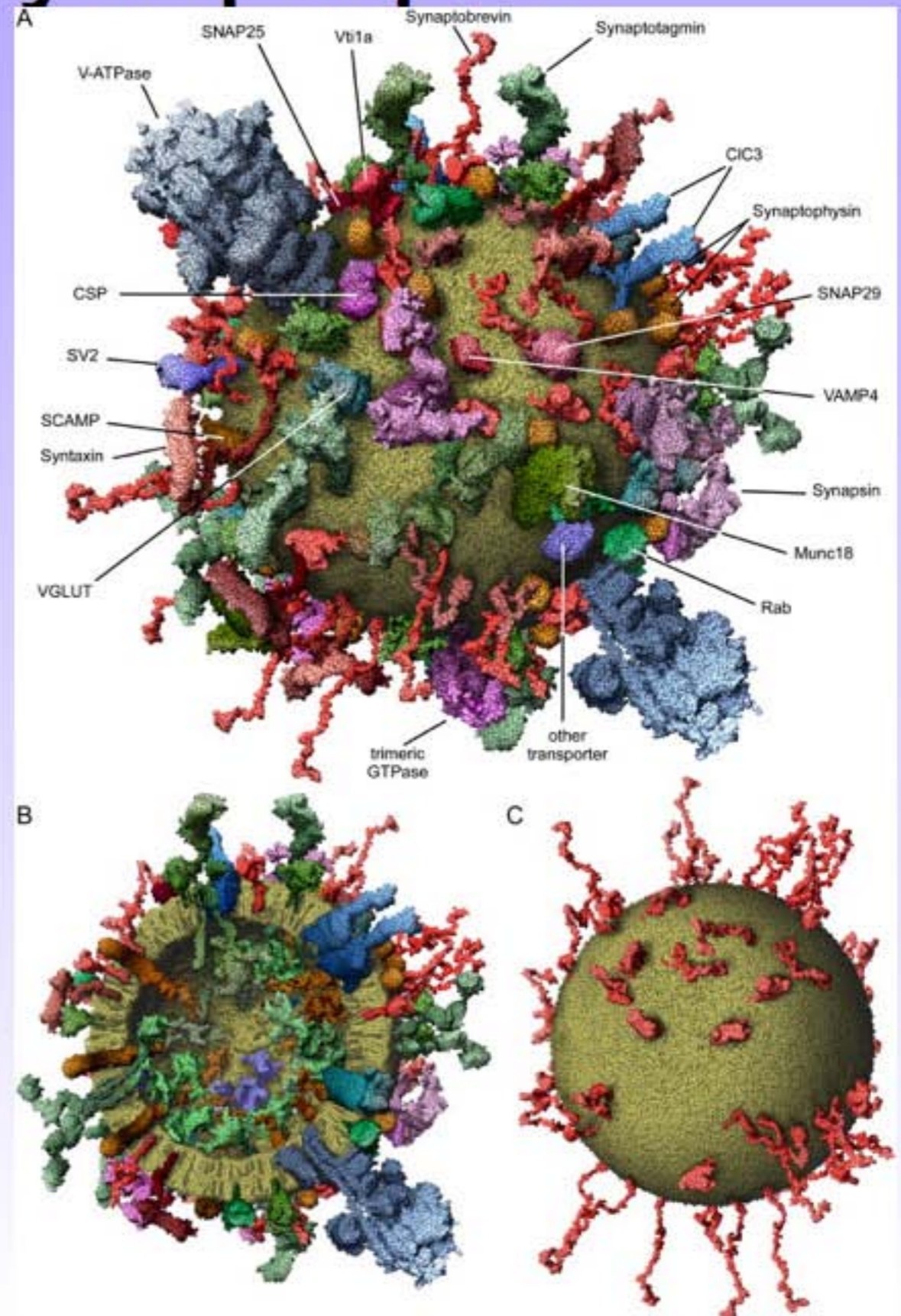


R. Jahn

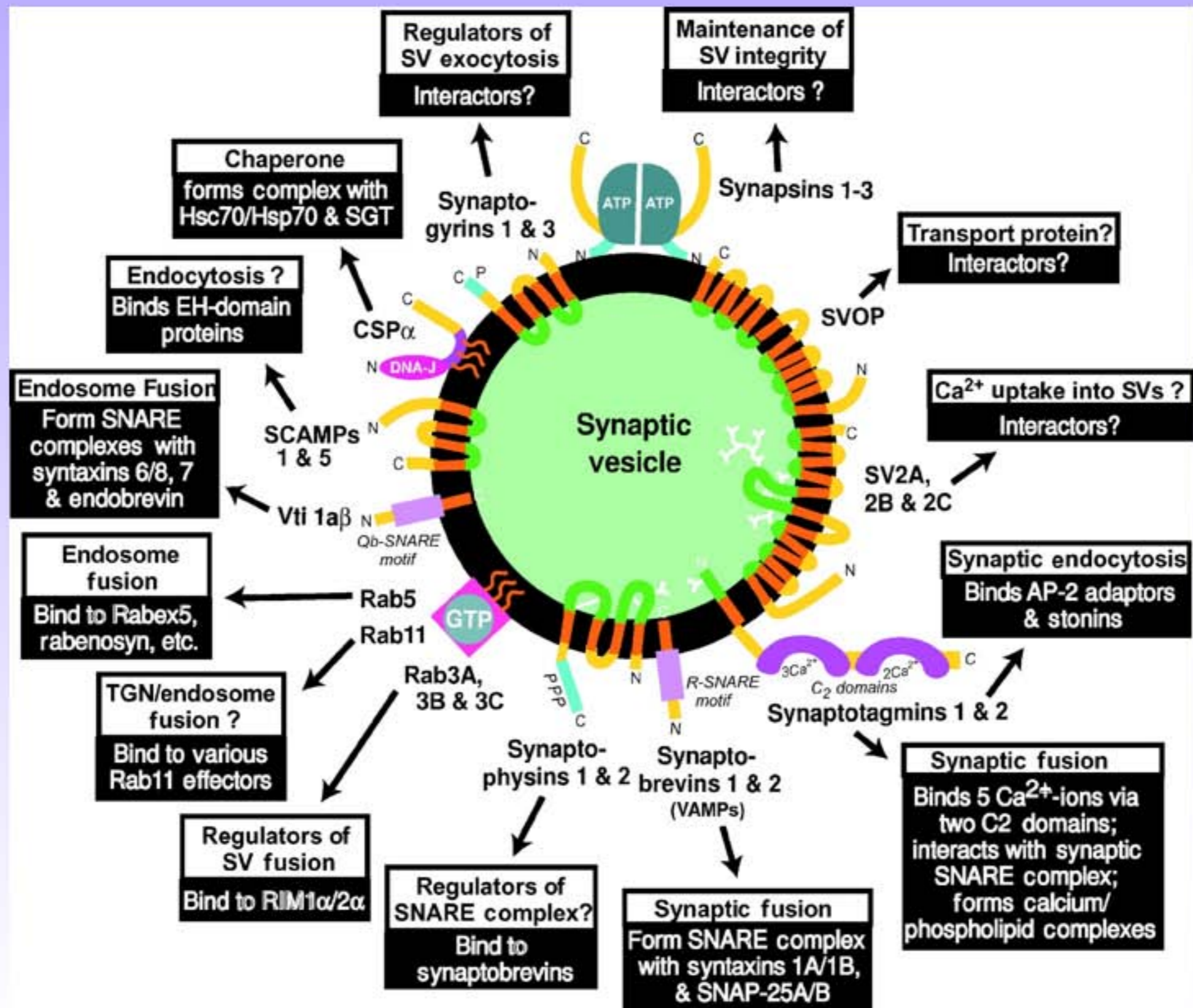


Vésicules Synaptiques

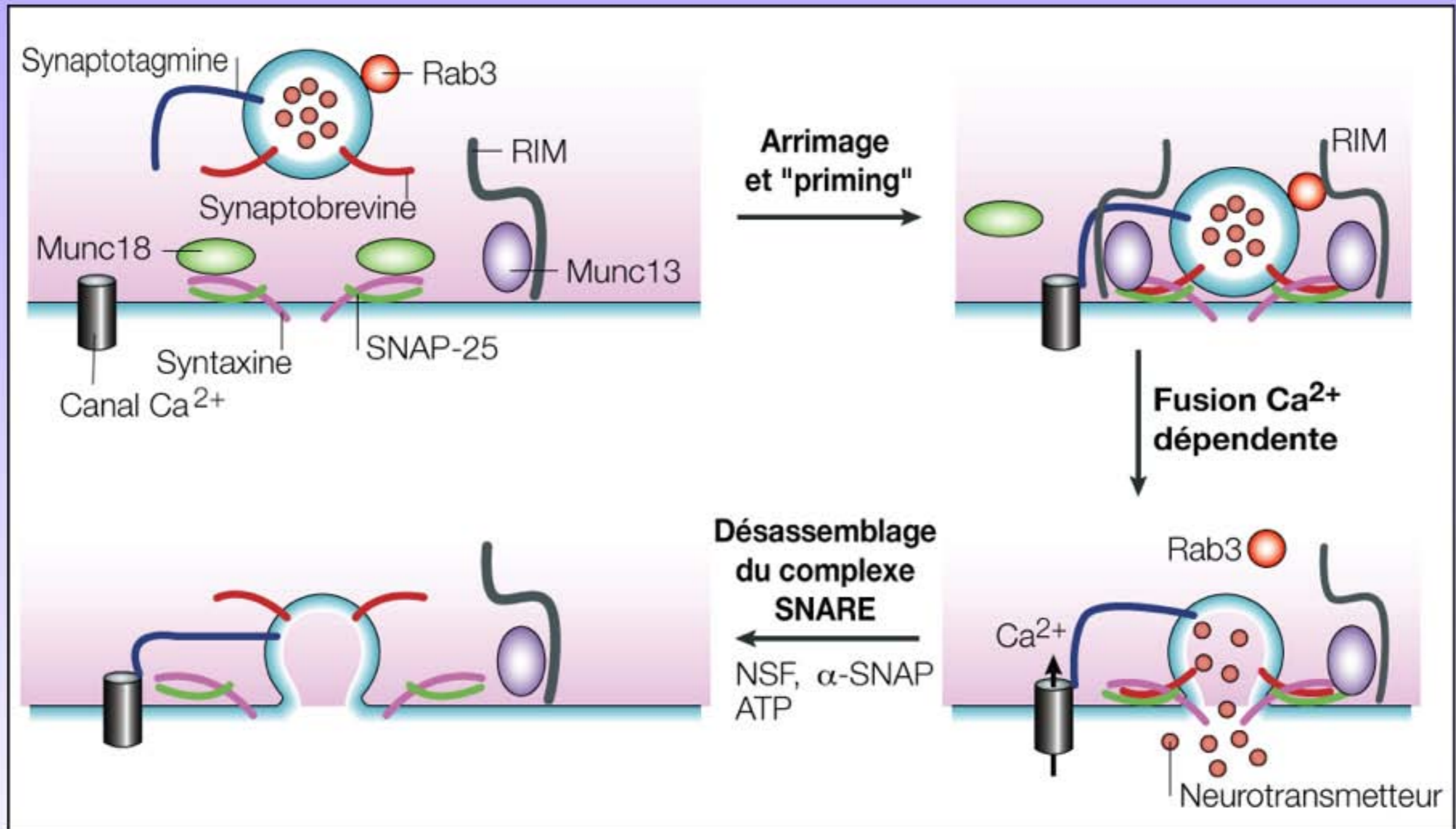
| Protein | % of total SV proteins |
|-----------------------|-------------------------------|
| Synaptophysin | 10.20 ± 1.54 ^(1,4) |
| Synaptobrevin 2 | 8.60 ± 1.55 ⁽¹⁾ |
| Syntaxin 1 | 2.00 ± 0.27 ^(1,5) |
| SNAP25 | 0.40 ± 0.06 ^(1,6) |
| Synapsins | 6 ^(2,3) |
| Rab3A | 2.5 ⁽²⁾ |
| Synaptotagmin 1 | 7 ⁽³⁾ |
| Synaptogyrin 1 | 0.5 ⁽²⁾ |
| SV2 | 1.4 ⁽²⁾ |
| SCAMP | 0.3 ⁽²⁾ |
| CSP | 0.6 ⁽²⁾ |
| VGLUT1 | 5.36 ± 1.11 ^(1,7) |
| VGLUT2 | 9.01 ± 2.31 ^(1,7) |
| V-ATPase V1-B subunit | 1.15 ± 0.21 ⁽¹⁾ |



Fonction des protéines des VS

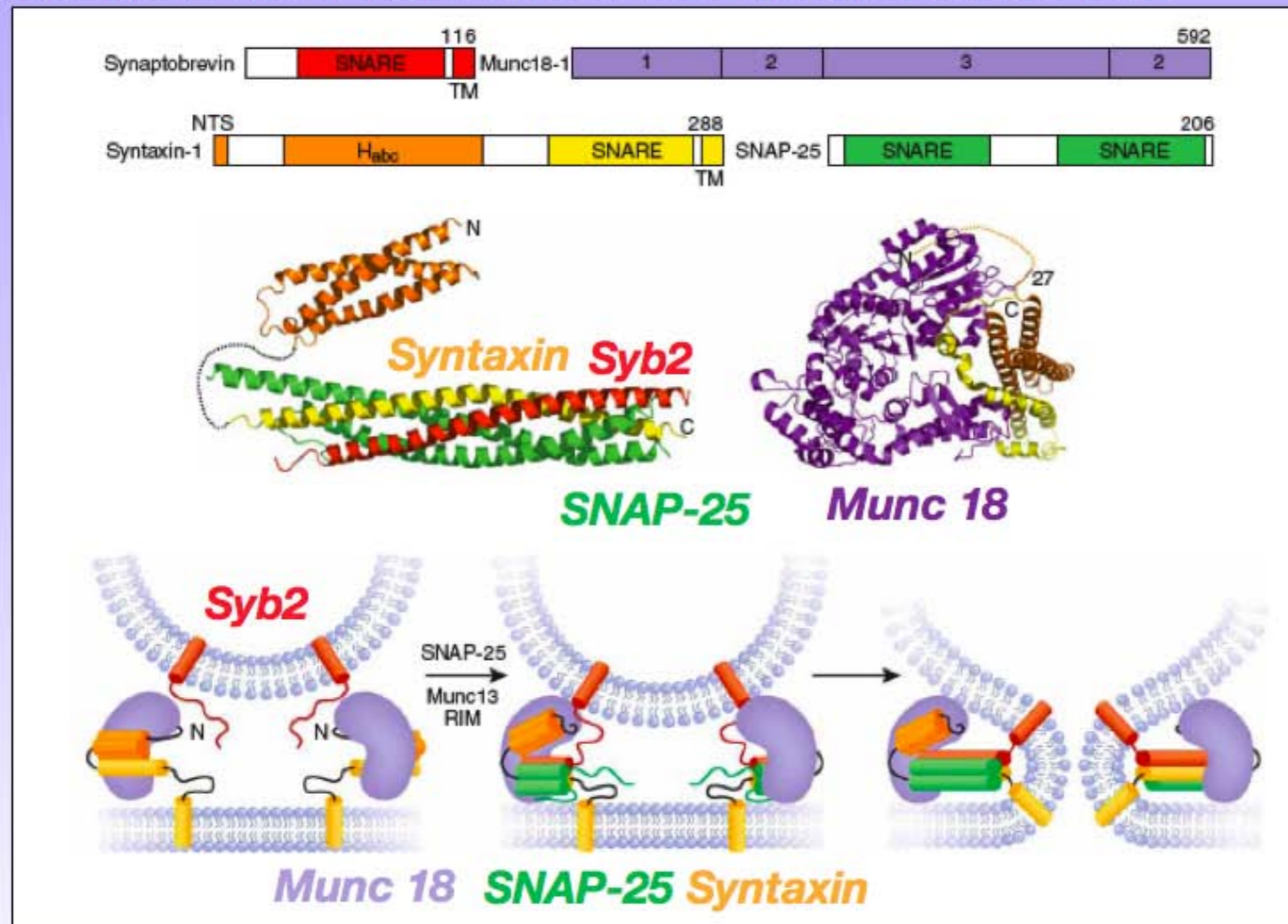


Régulation de l'exocytose par différentes protéines



Regulation par Munc18

SM proteins = Sec1 /Munc 18: découverte sur un sreen génétique (levure, c.elegans) pour des défauts dans le trafic mbR et la sécrétion. Ont un rôle essentiel dans la fusion.

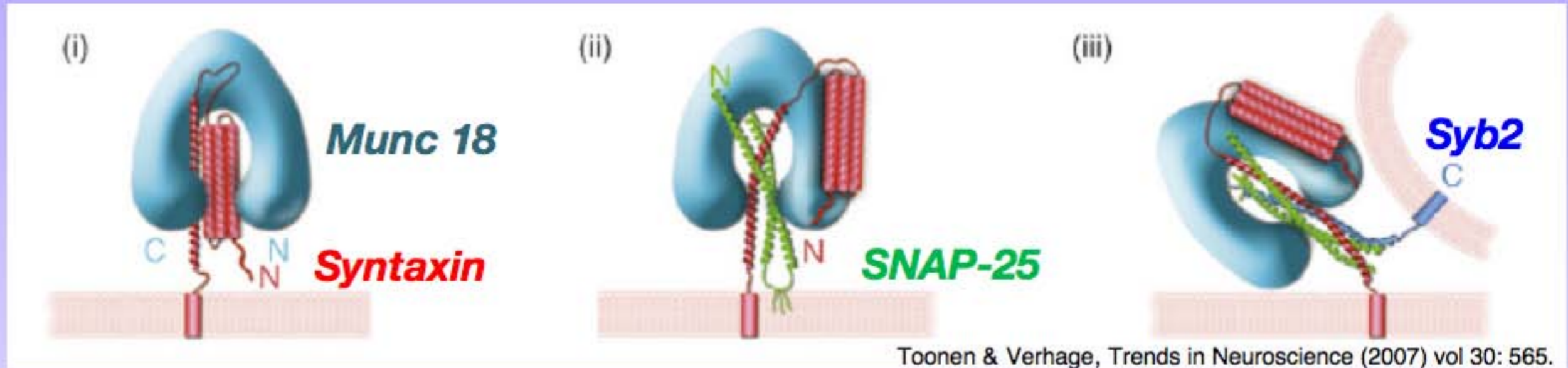


VOLUME 15 NUMBER 7 JULY 2008 NATURE STRUCTURAL & MOLECULAR BIOLOGY

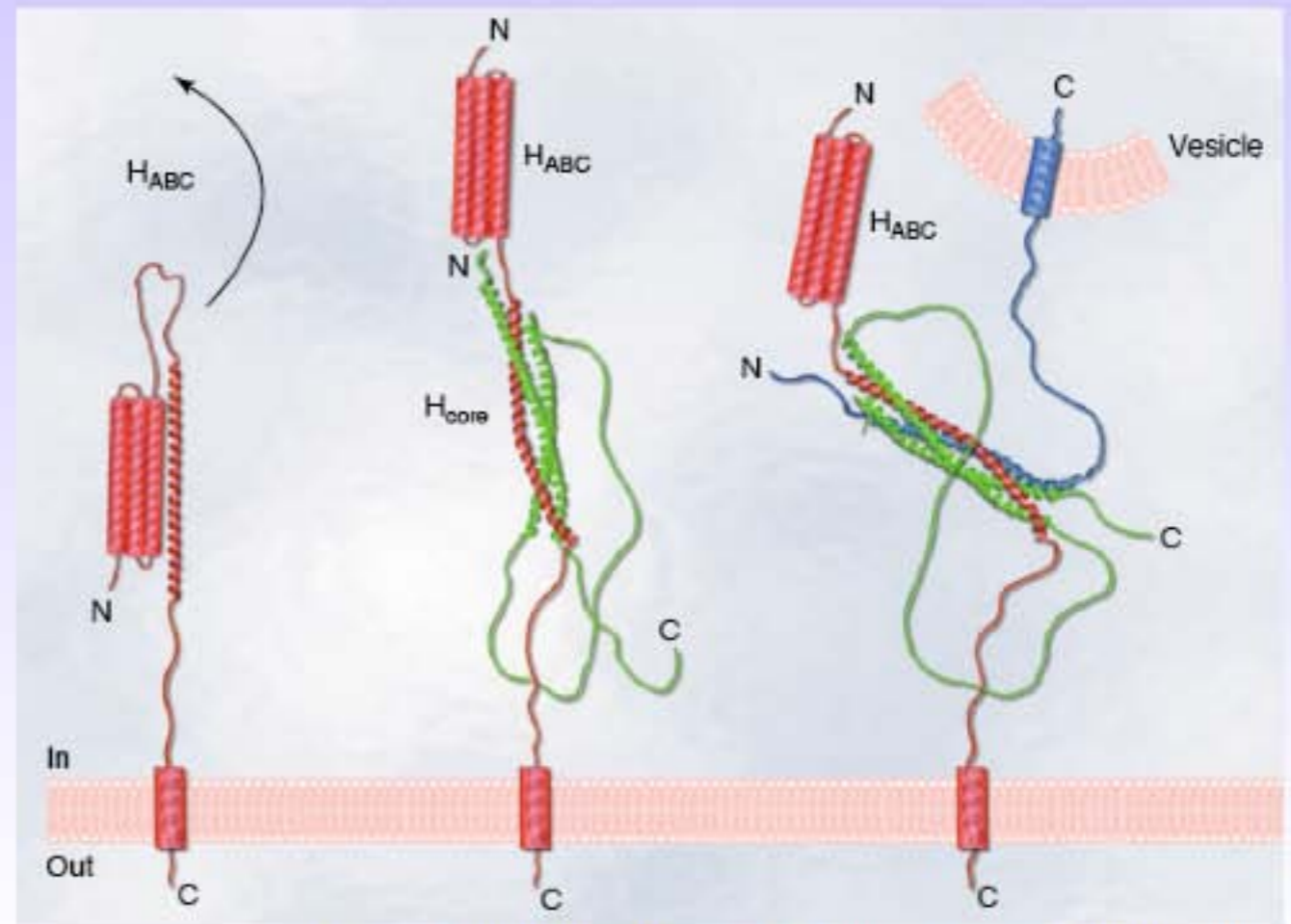
Munc 18 lie la syntaxine 1 ainsi que le complexe SNARE et promeut son assemblage en introduisant une vérification des couples de SNAREs (Peng & Gallwitz 2002).

Regulation par Munc18

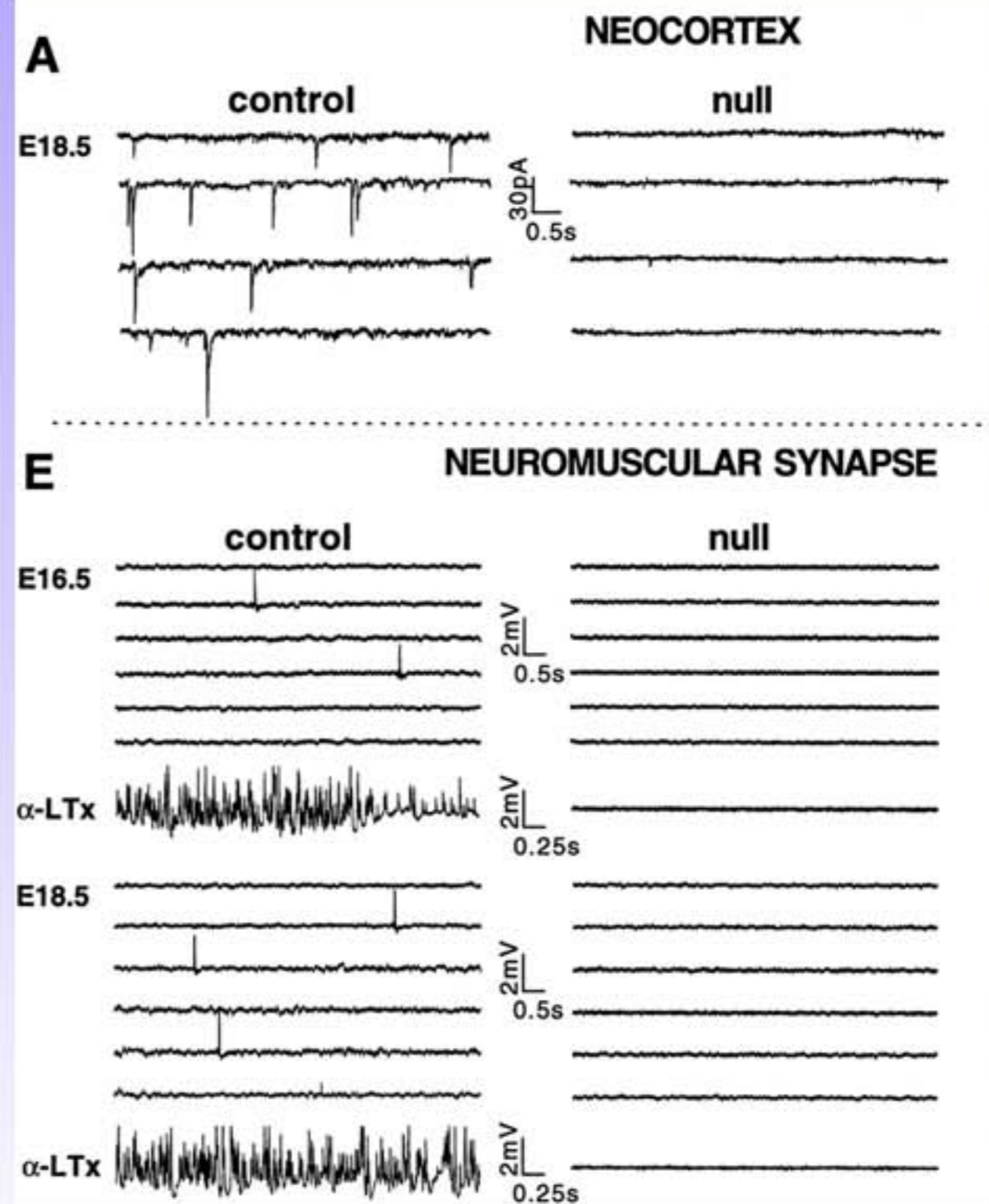
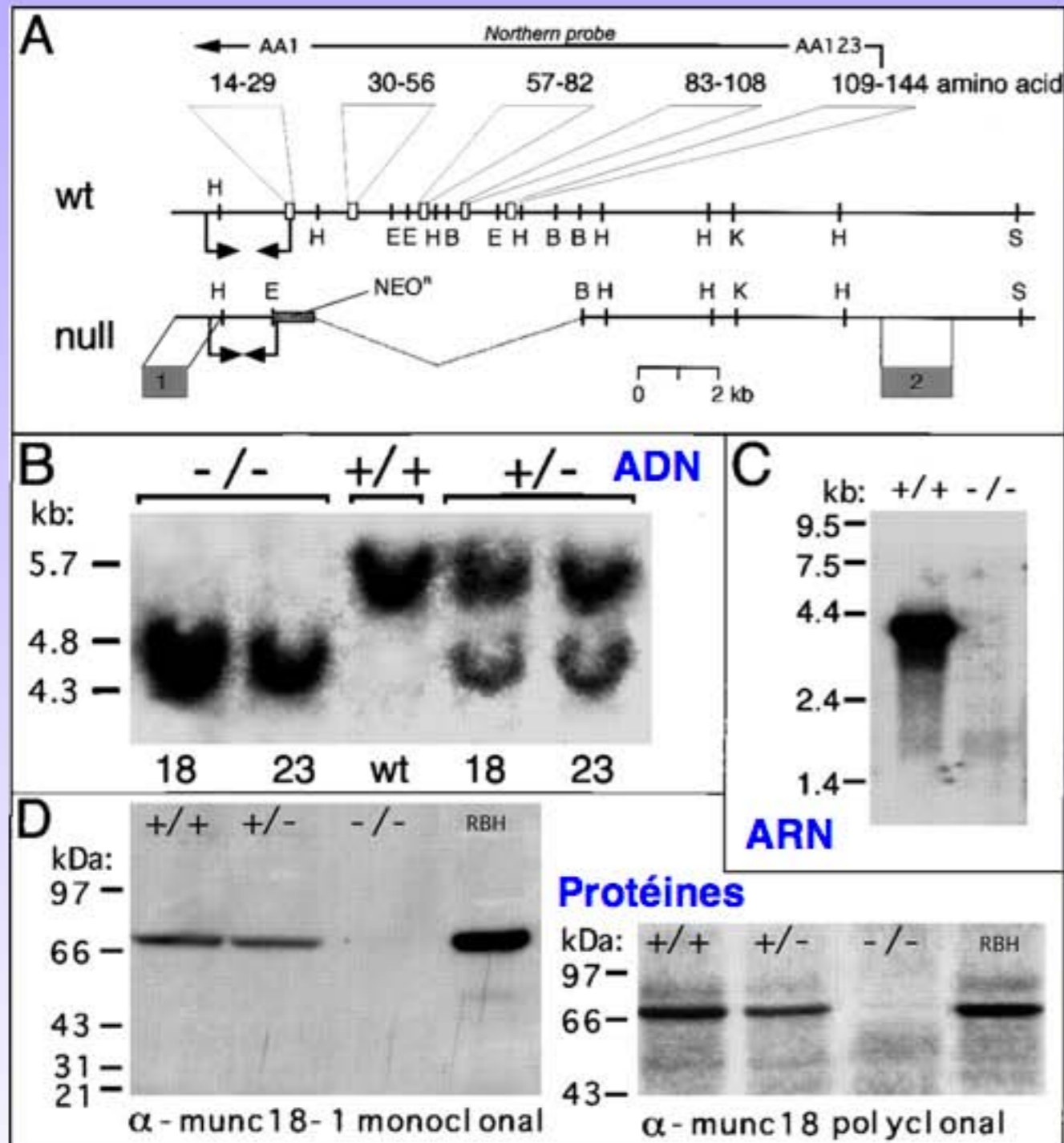
SM proteins = Sec1 /Munc 18: découverte sur un sreen génétique (levure, c.elegans) pour des défauts dans le trafic mbR et la sécrétion. Ont un rôle essentiel dans la fusion.



Ouverture de la syntaxine



Munc18 KO

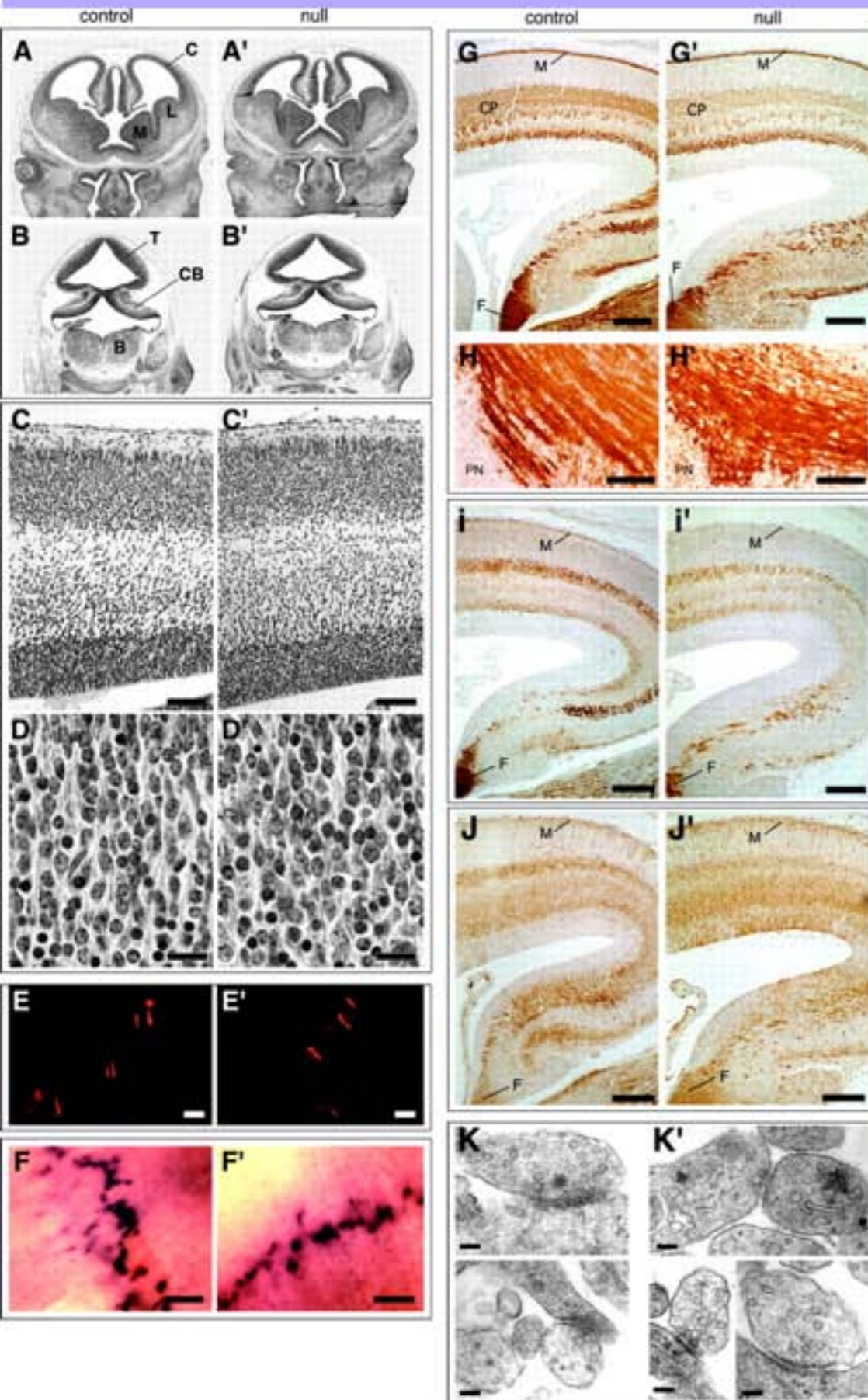


Les synapses sont totalement silencieuses:
pas de libération de neurotransmetteur.

Munc18 KO

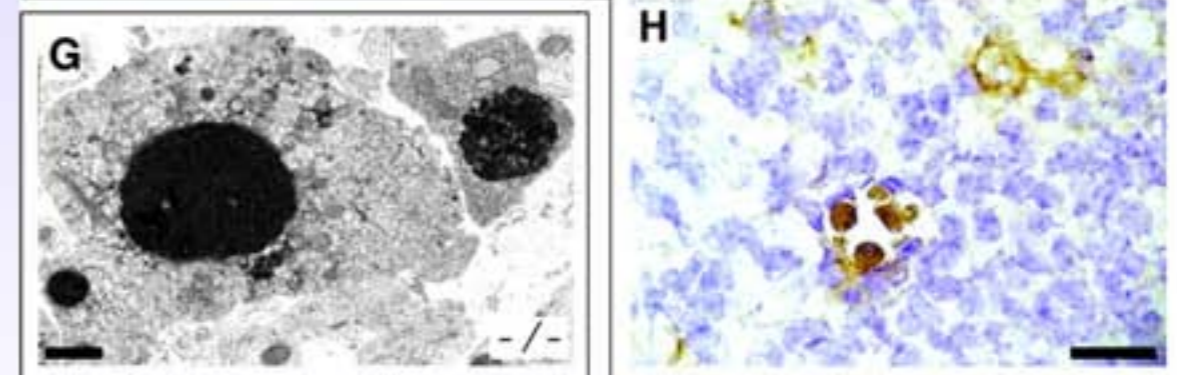
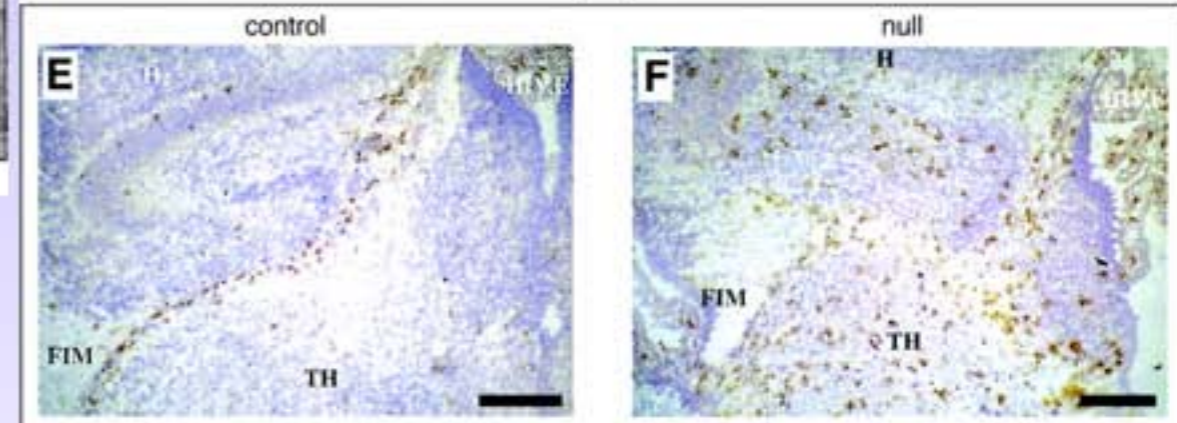
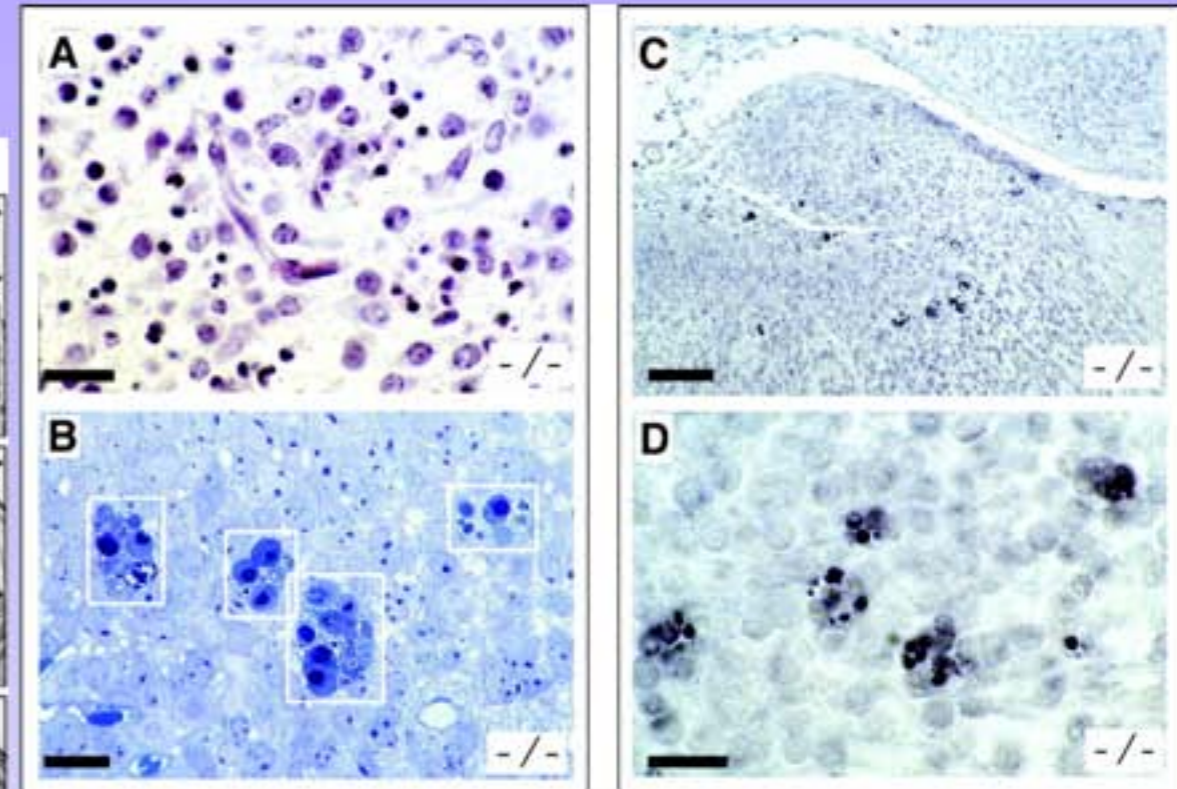
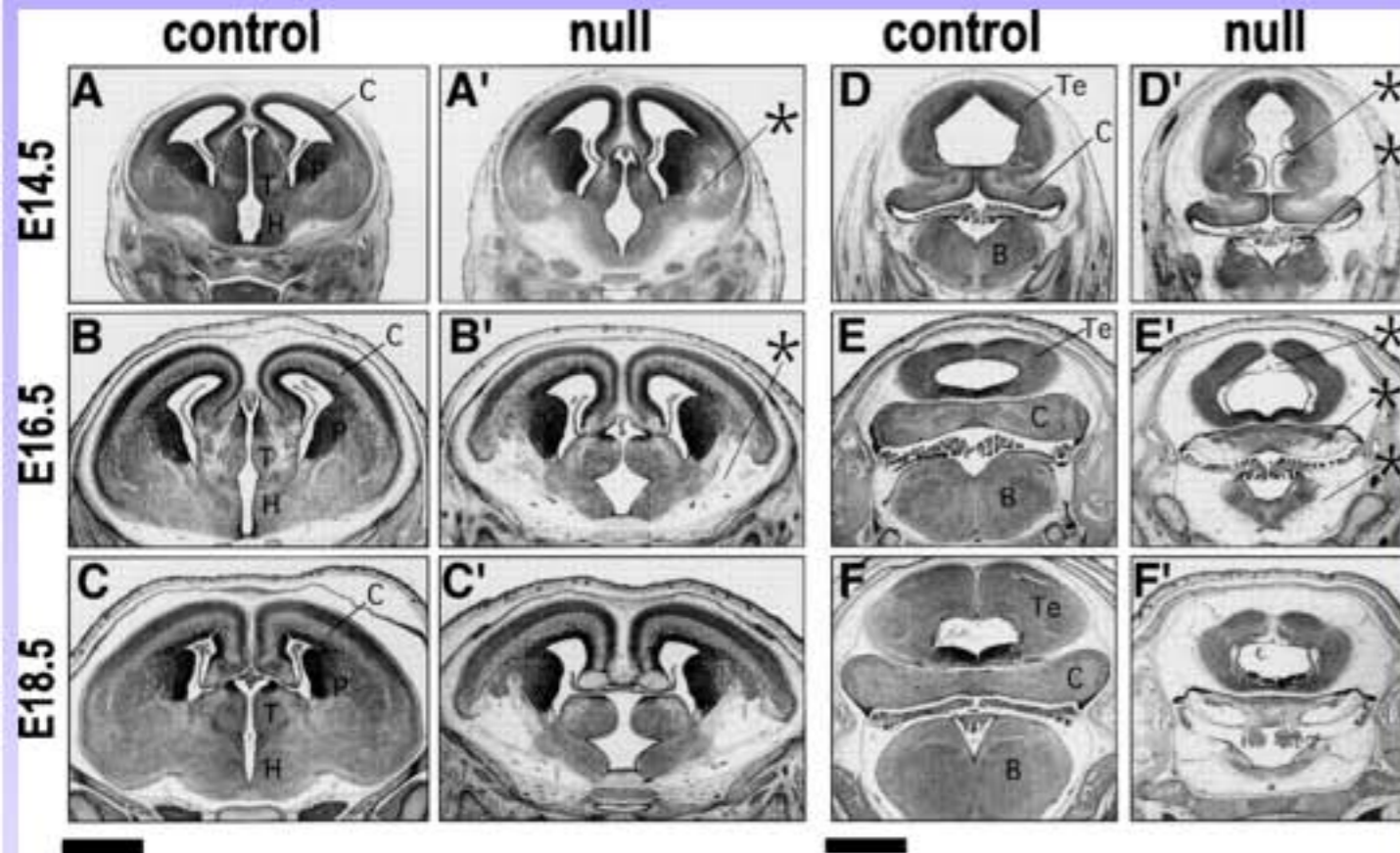


Matthijs Verhage



Le développement cérébral est normal même en absence de sécrétion de neurotransmetteur. On constate qu'on a bien: la formation de structures en couches, les tractus de fibres sont présents, les synapses sont morphologiquement définies.

Munc18 KO

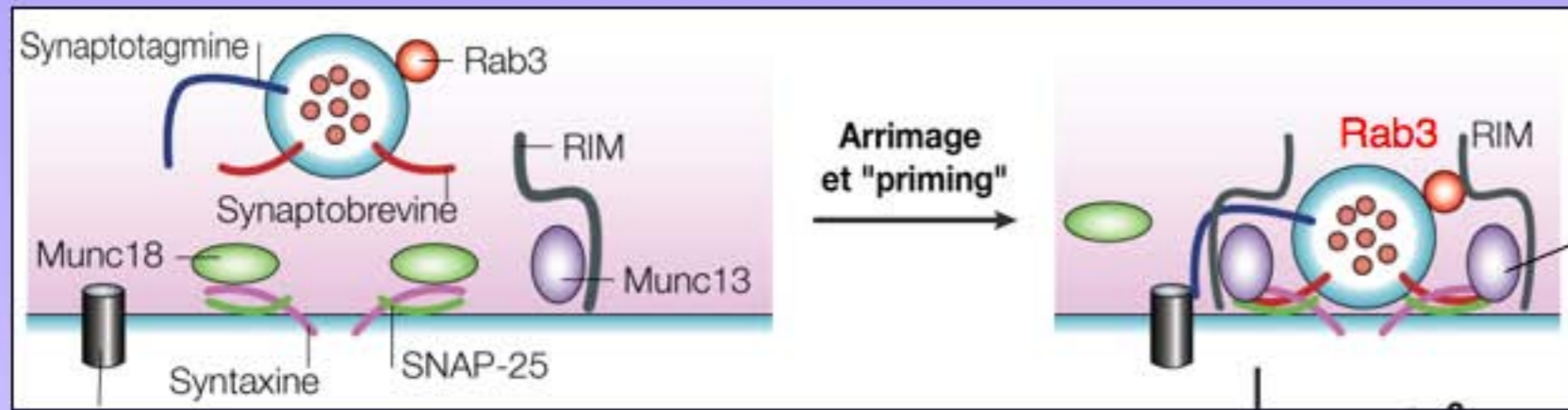


Apoptose massive après la synptogenese.

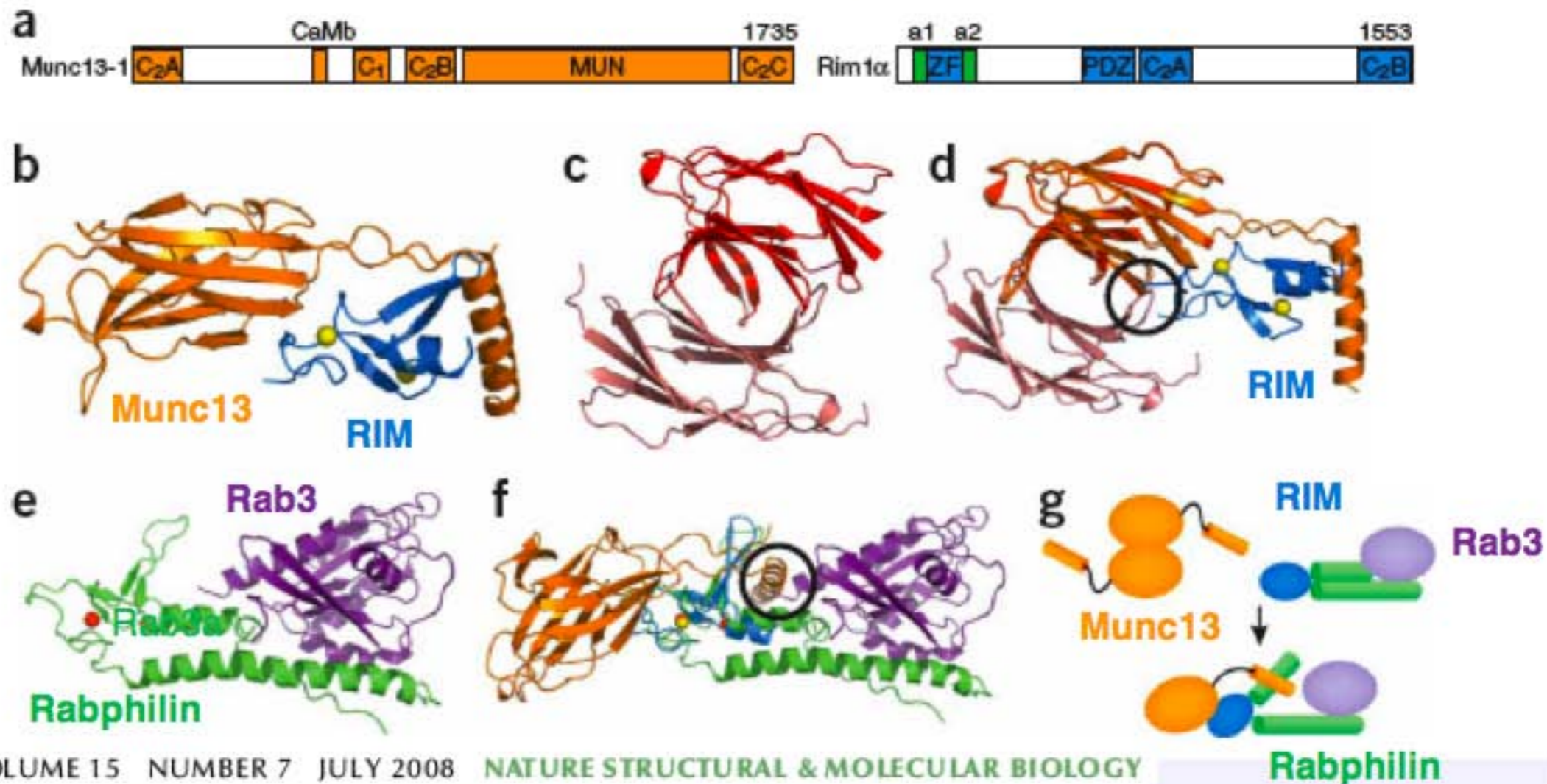
Par contre, après formation du système, les neurones subissent une apoptose massive suivi d'une dégénérescence massive (marquée d'une *).

Conclusion: La connectivité synaptique ne dépend pas de la sécrétion de NT, mais la maintenance du système nécessite la sécrétion de neurotransmetteurs.

Régulation par Munc13



Munc13



VOLUME 15 NUMBER 7 JULY 2008

NATURE STRUCTURAL & MOLECULAR BIOLOGY

Munc 13 est essentiel pour le priming. Le double KO Munc 13 et Syntaxine est « sauvé » par la présence de syntaxine ouverte: d'où l'hypothèse que munc13 permettrait l'ouverture de la syntaxine '(Brunger 2005). Formation d'un complexe tripartite avec Munc13, Rab3a et Rim.

Munc13 KO

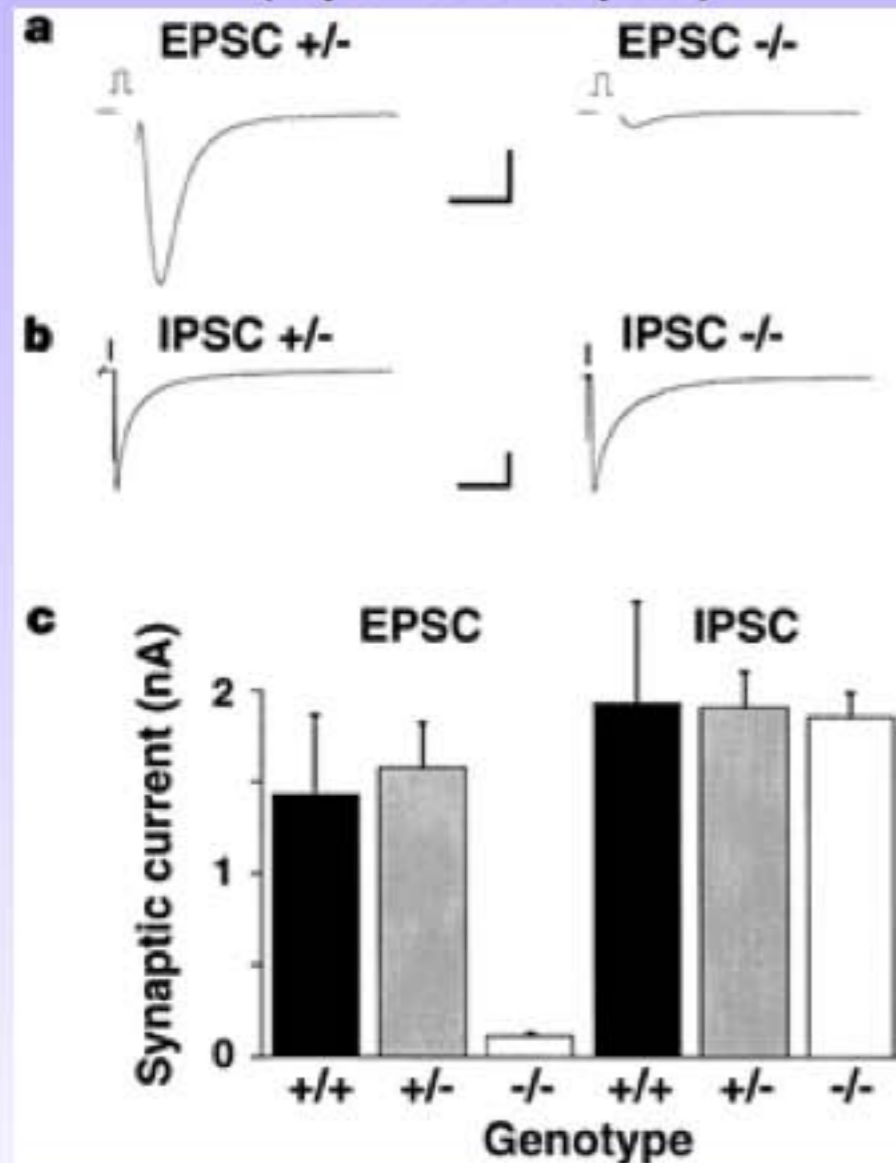
Munc13-1 is essential for fusion competence of glutamatergic synaptic vesicles.

Augustin I, Rosenmund C, Südhof TC, Brose N. Nature. 1999; 400(6743):457-61.

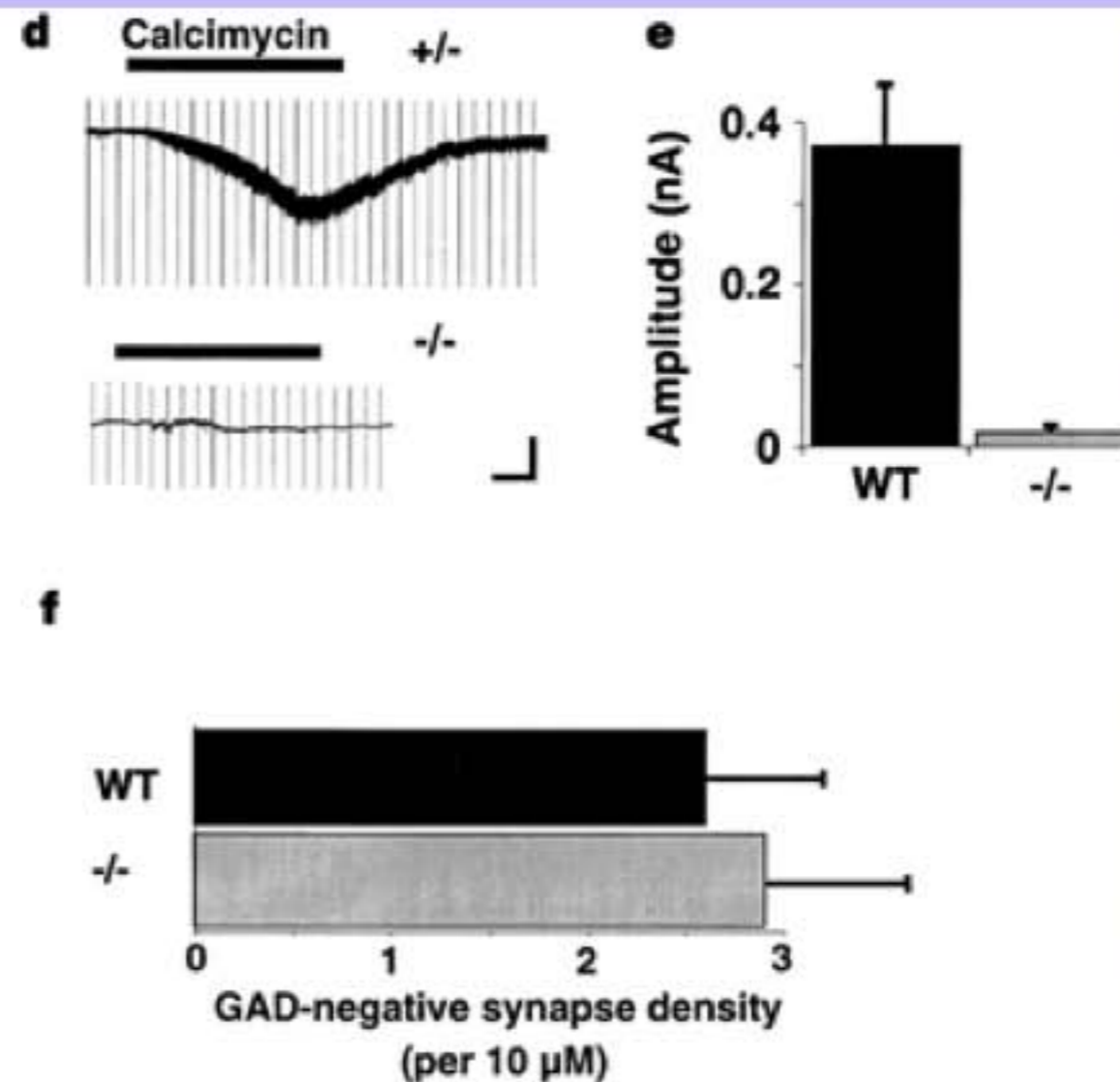


Nils Brose

**Stimulation par potentiel d'action
(réponse évoquée)**



Stimulation par ionophore calcique

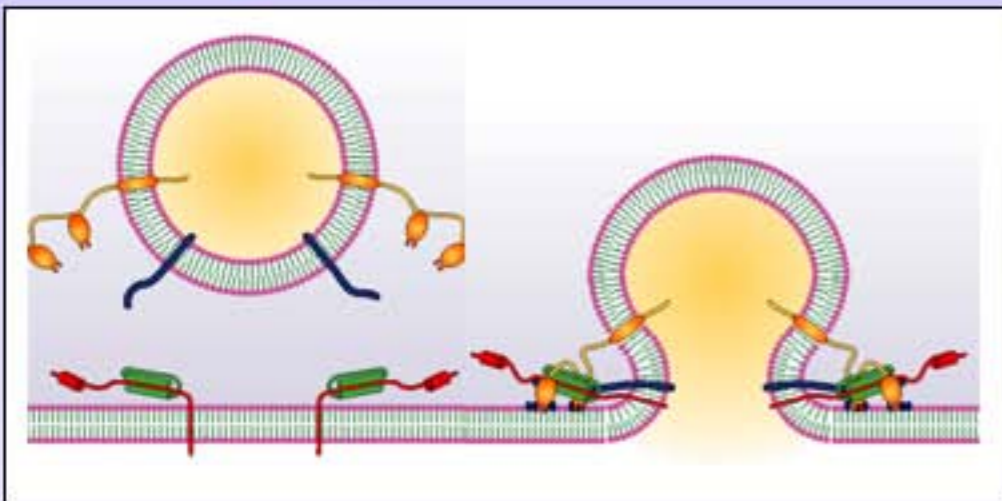
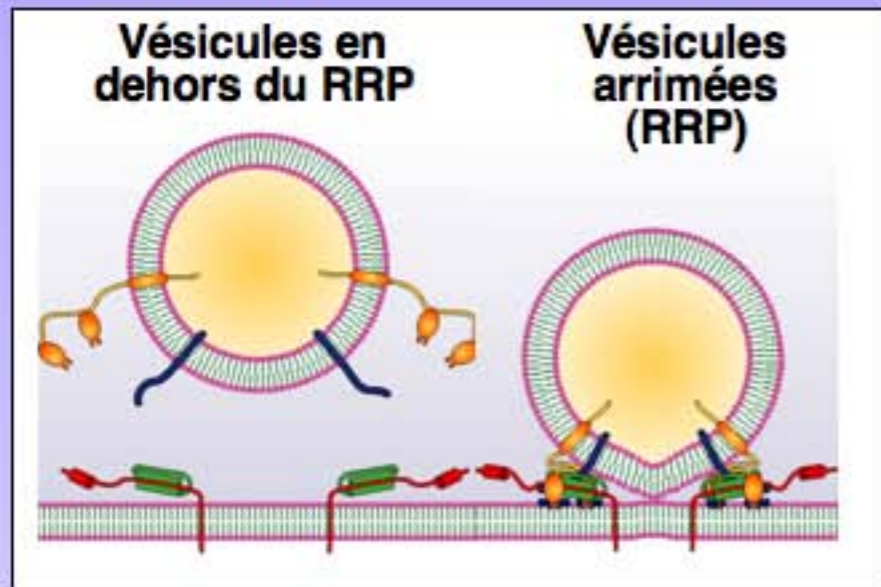


Calcimycin:
Ionophore calcique
qui déclenche la
libération des NT.

La libération des NT est bloquée dans les synapses glutamatergiques: on ne peut ni la déclencher par des potentiels d'action, ni par des ionosphères calciques. Les synapses inhibitrices ne sont pas atteintes.

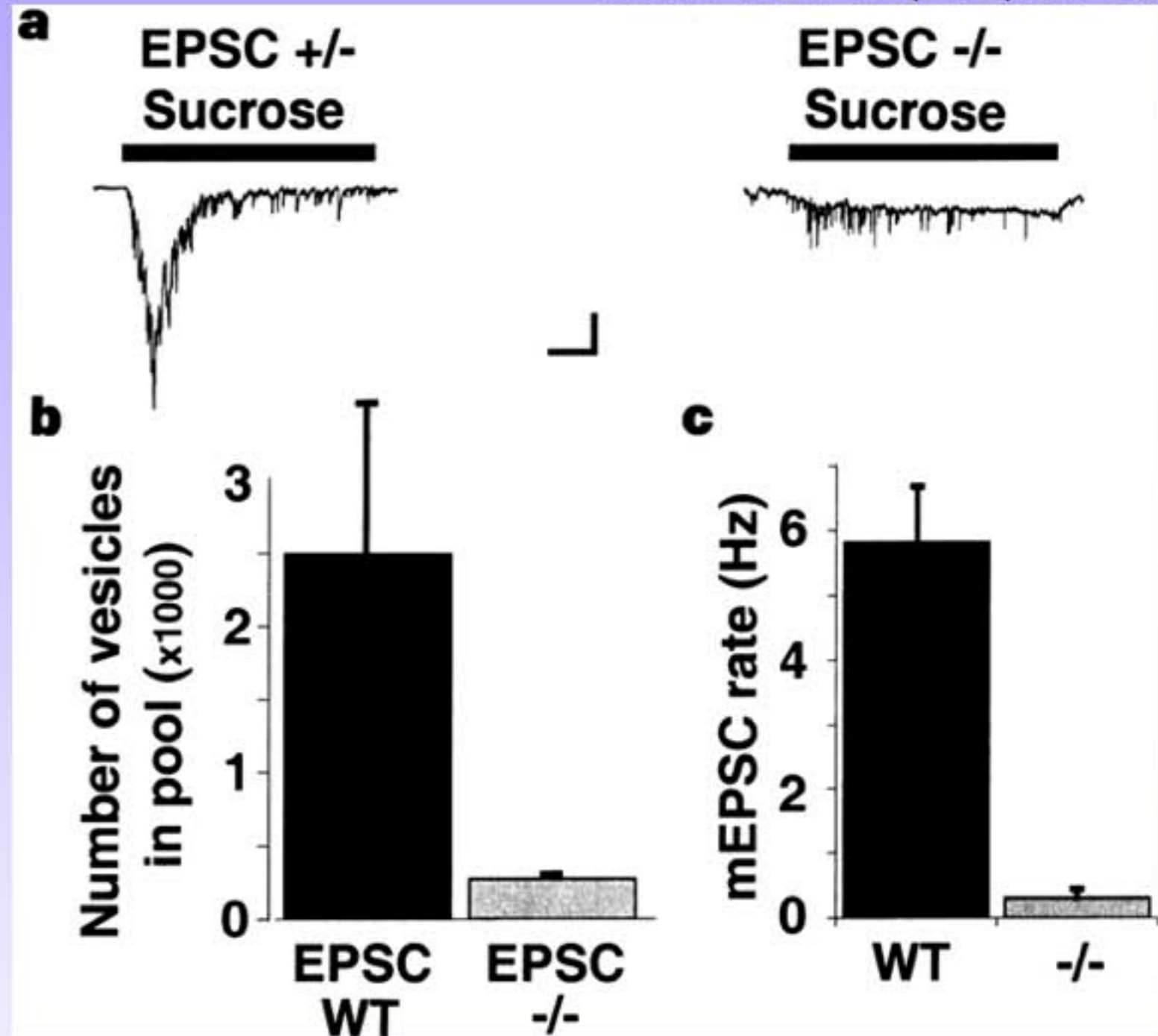
Munc13 KO

Nature. 1999: 400(6743):457-61.



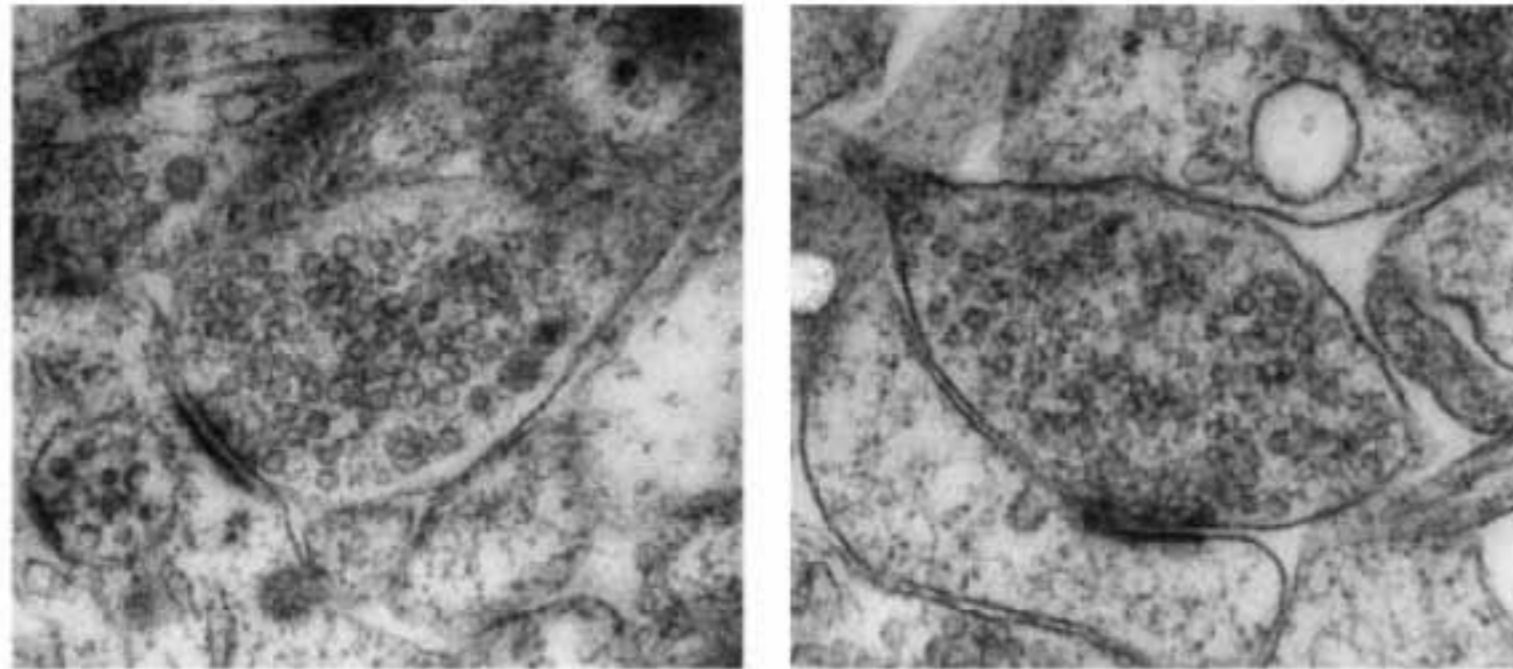
Seules les vésicules déjà arrimées (appartenant au RRP) fusionnent de manière Ca^{2+} indépendante. Permet d'évaluer le nombre de vésicules dans le RRP.

Cf. Rosenmund, C., and Stevens, C. F. (1996) *Neuron* 16, 1197-1207 & Lonart and Sudhof (2000), *JBC* 275 : 27703-27707.



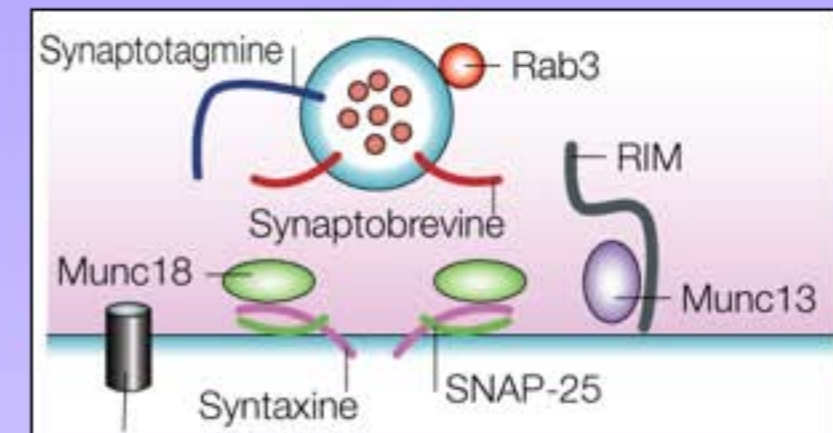
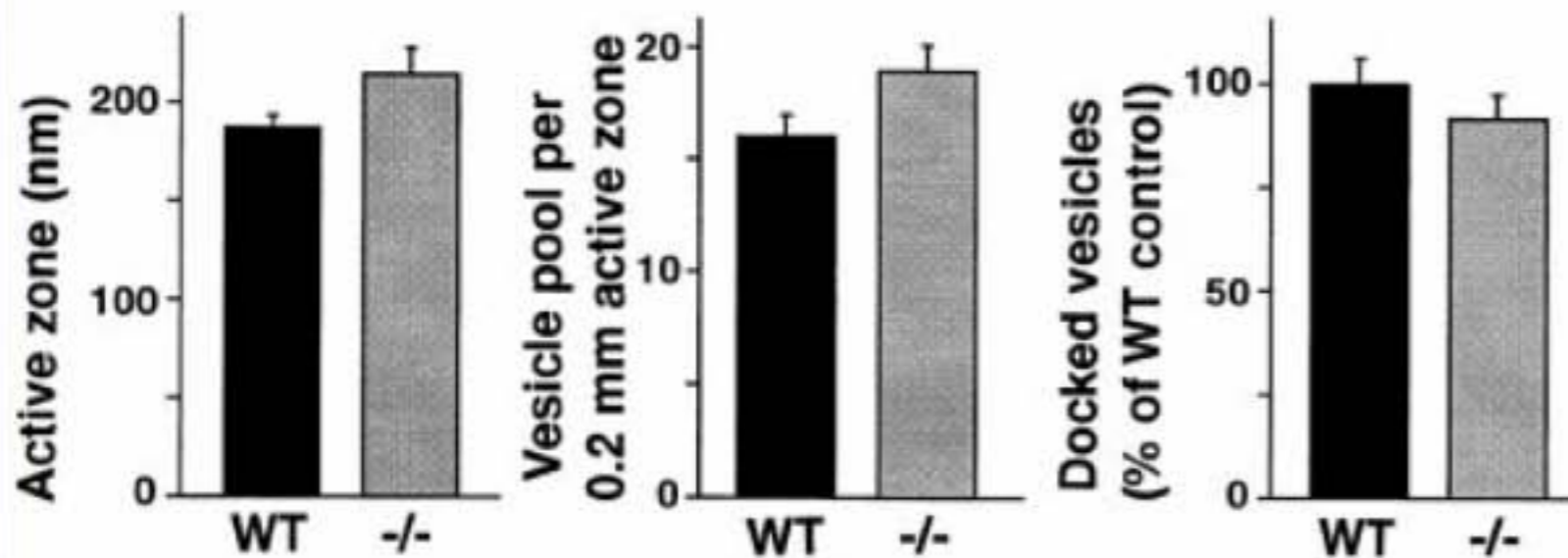
La libération ne peut pas être déclenchée par le sucrose: le RRP est donc très limité. En l'absence de munc13, le priming est donc altéré dans les synapses excitatrices.

Munc13 KO

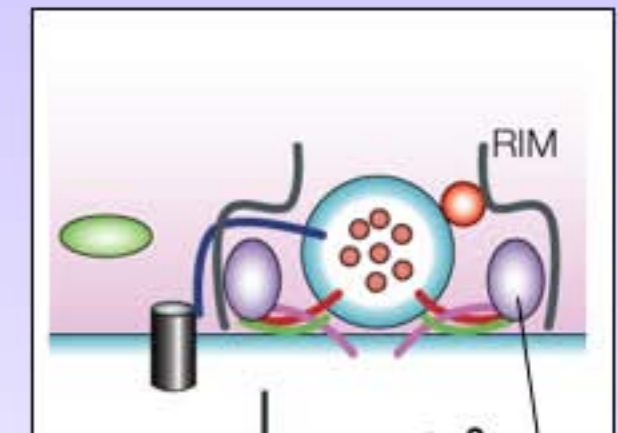


+/+

-/-



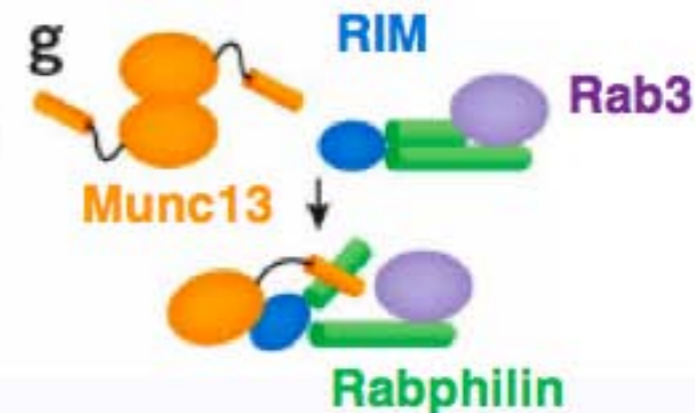
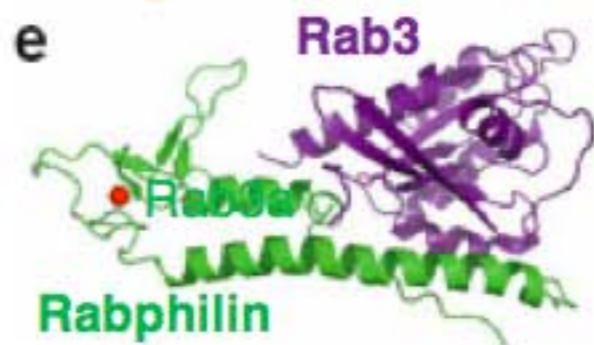
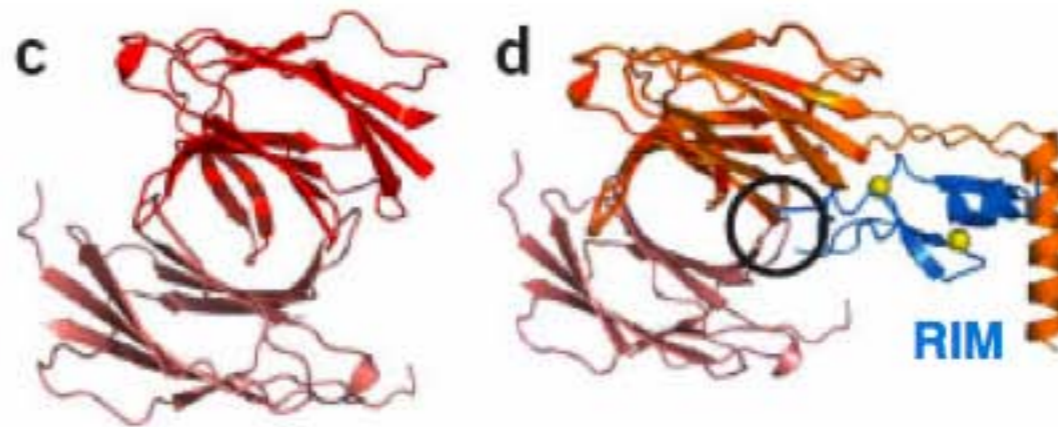
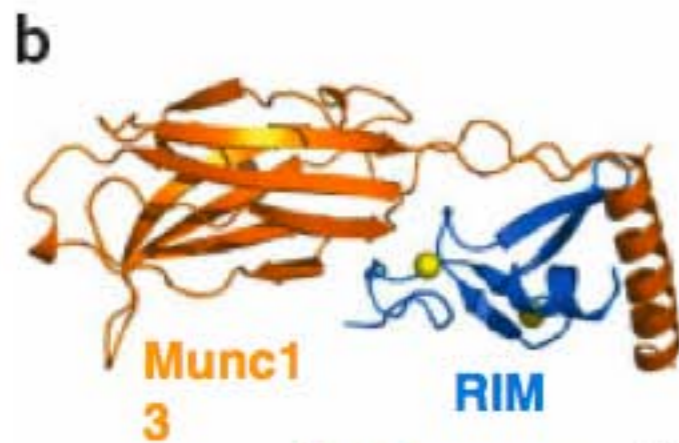
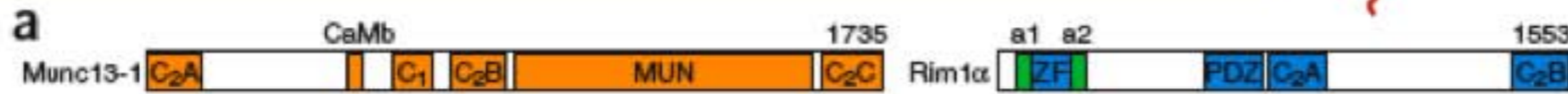
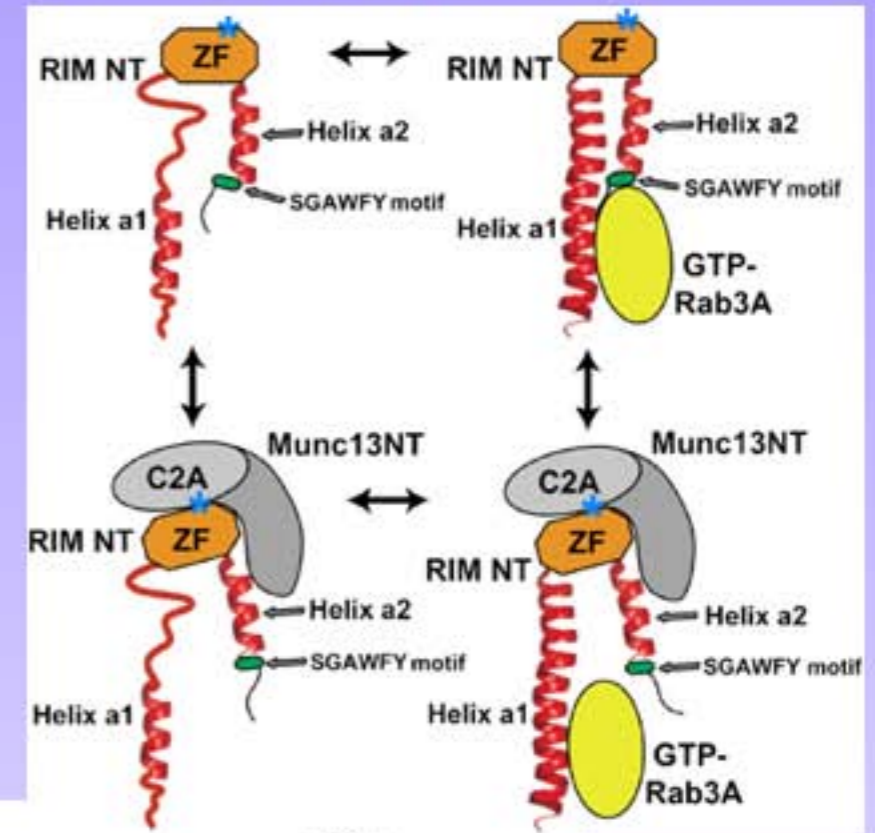
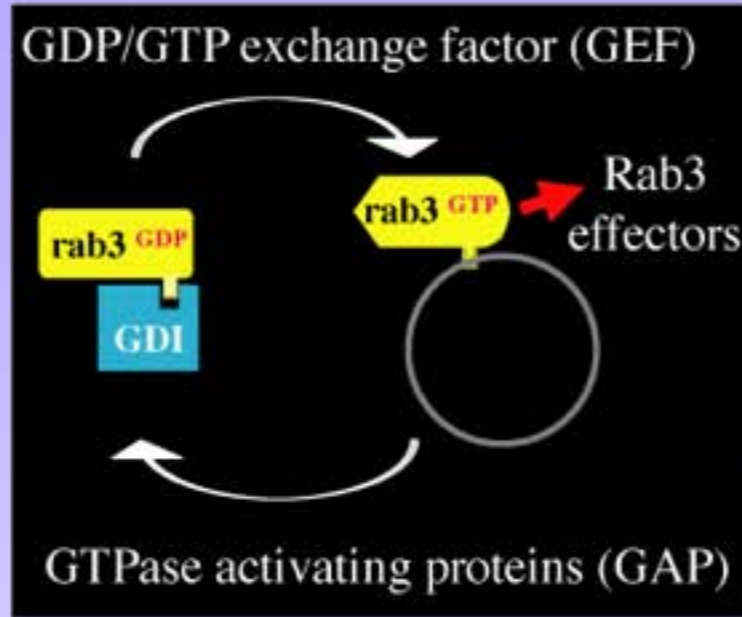
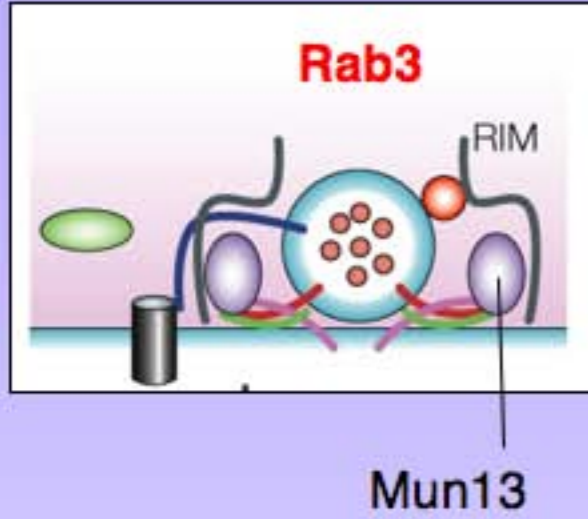
**Docking
& priming**



Munc13

Les neurones d'hippocampe de souris KO Munc13-1 forment des synapses normales au niveau ultra structurales. En l'absence de munc13, la formation du RRP est compromise, le priming est donc altéré dans les synapses excitatrices. Les synapses inhibitrices ne sont pas atteintes.

Régulation par la GTPase Rab3



Rizo & Rosenmund, Nat Struct & Mol Biol (2008)

Formation d'un complexe tripartite avec Munc13, Rab3a et Rim.

Régulation de l'exocytose

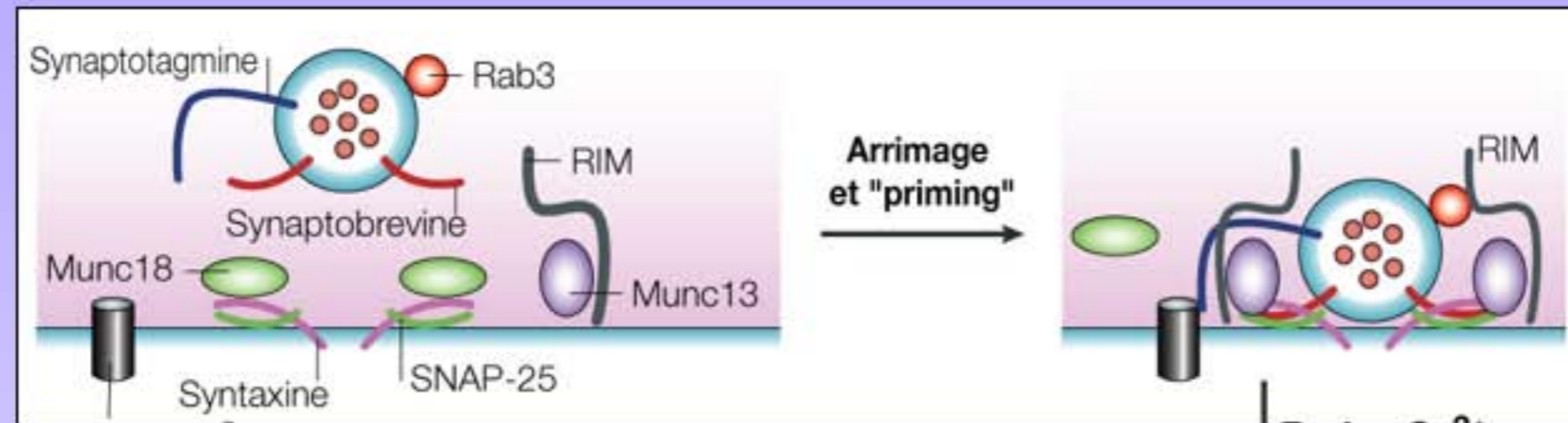
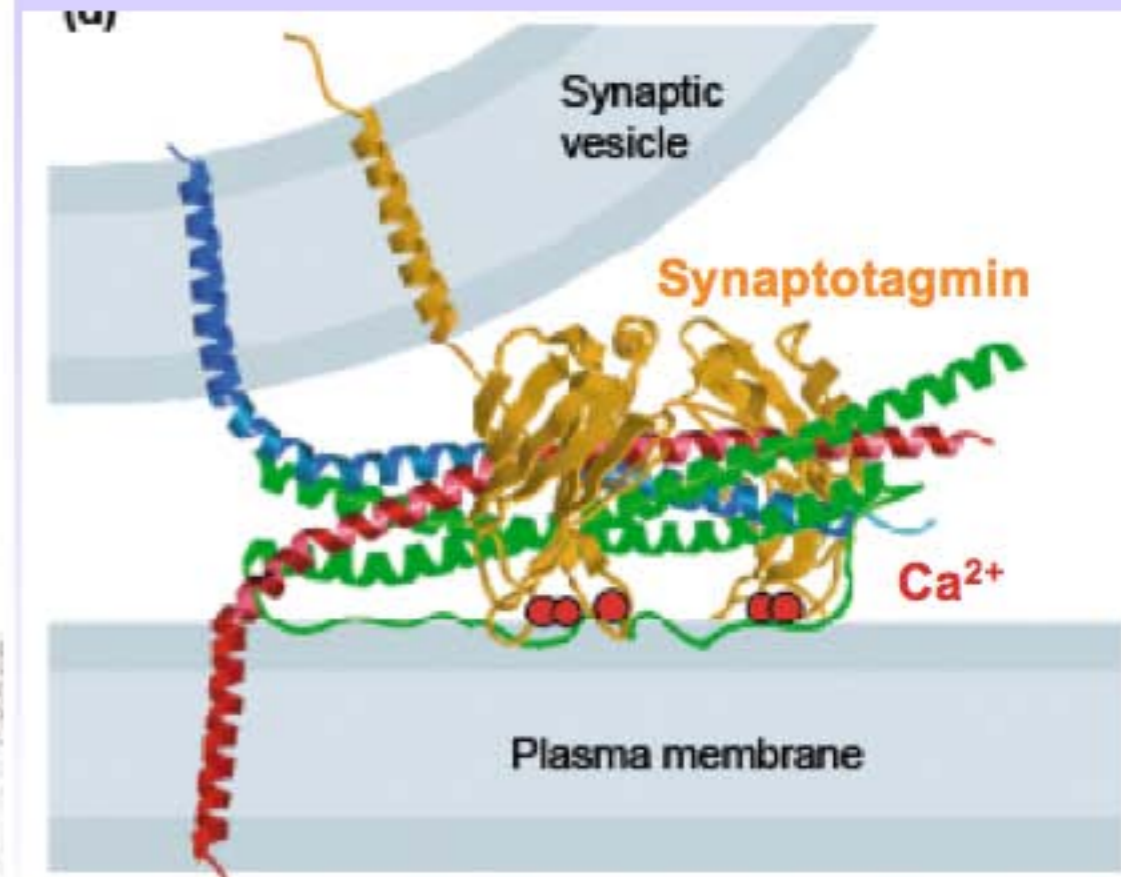
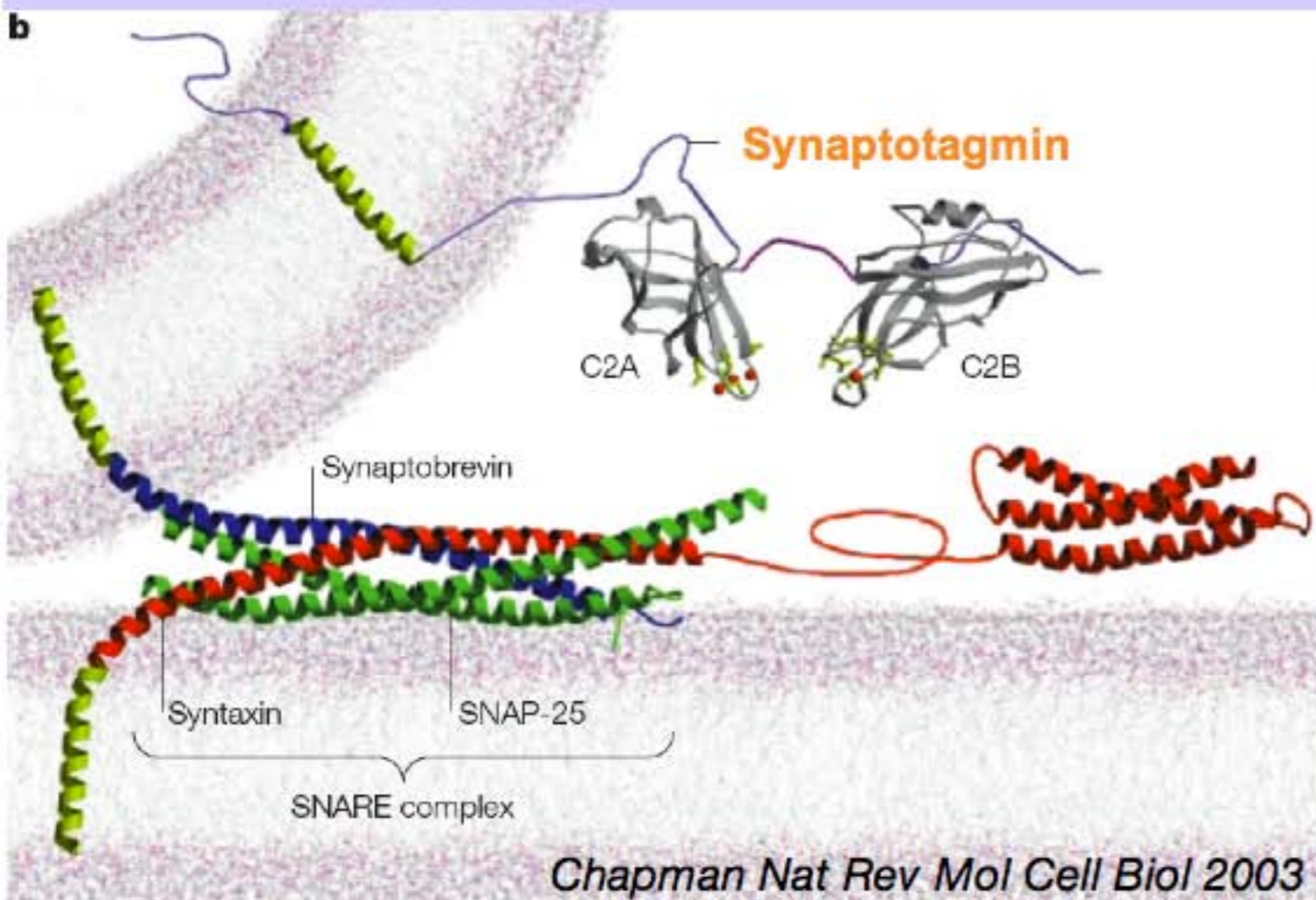
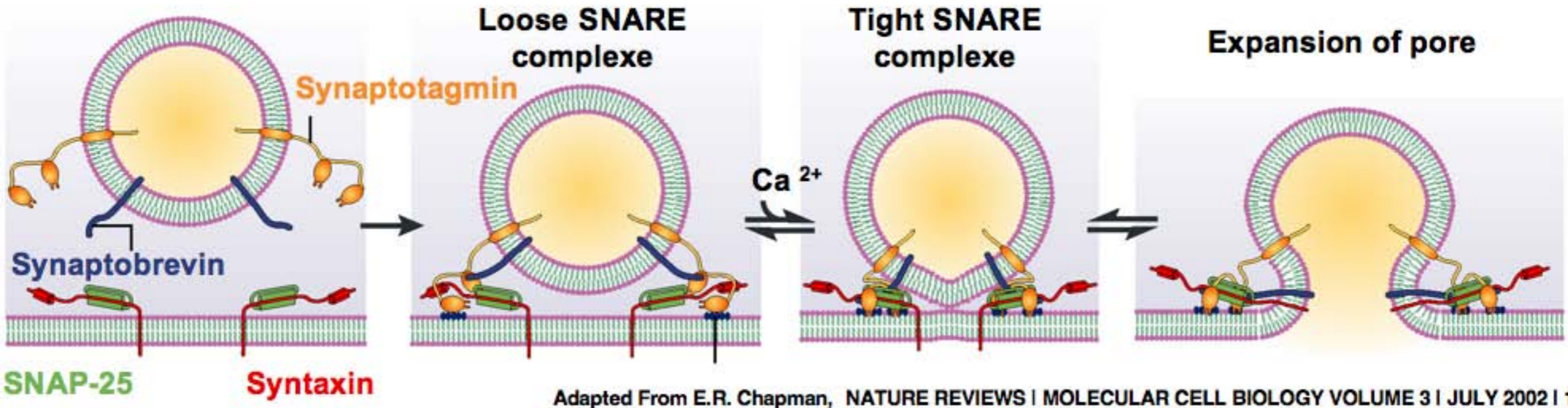
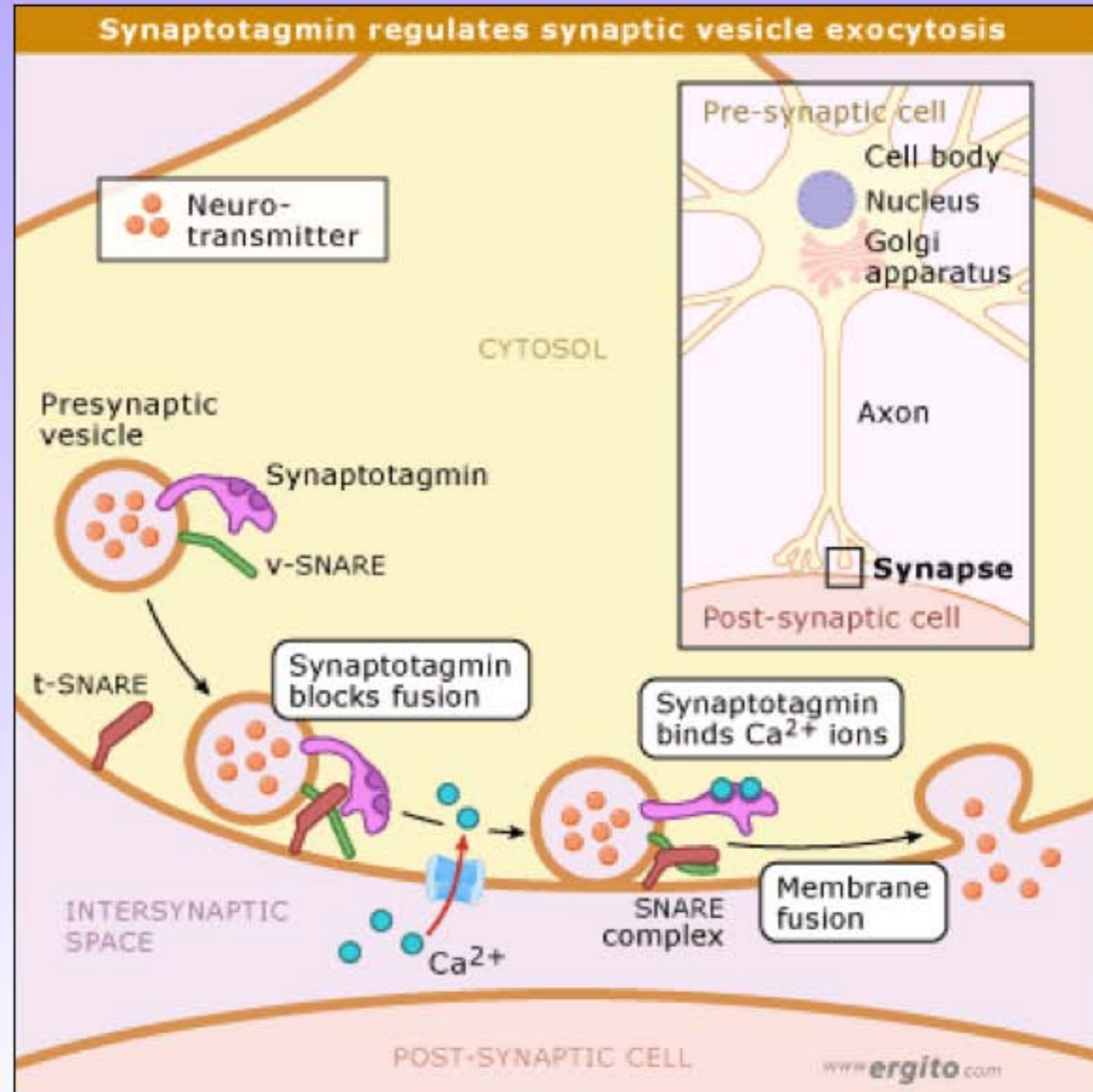
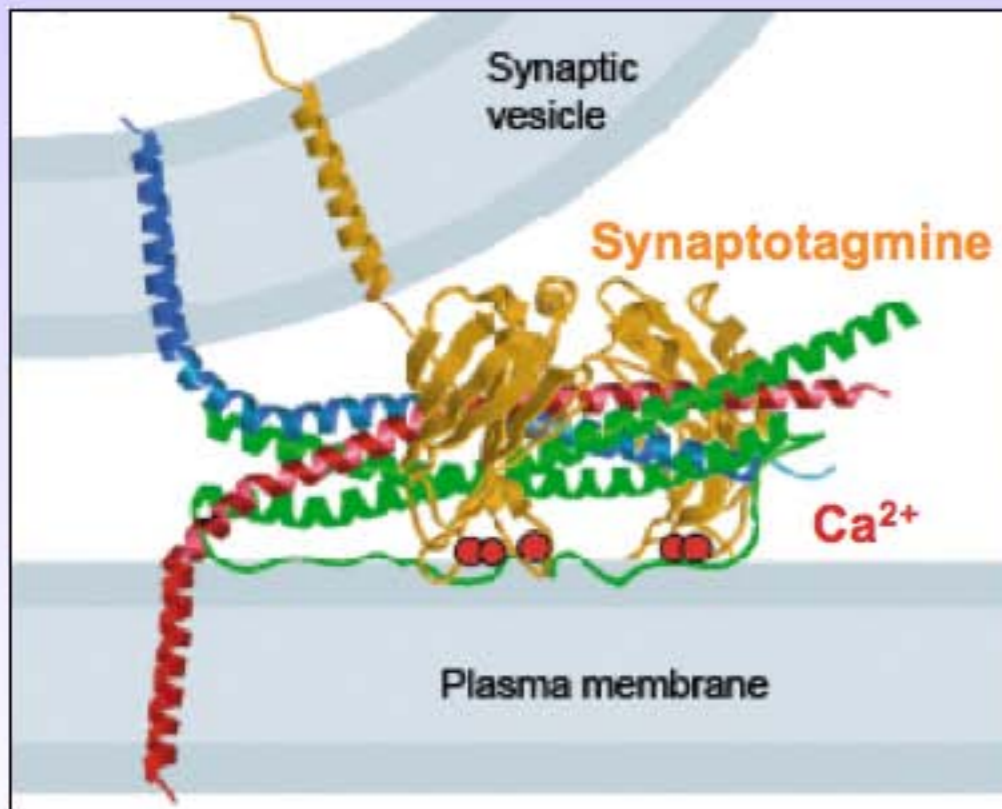
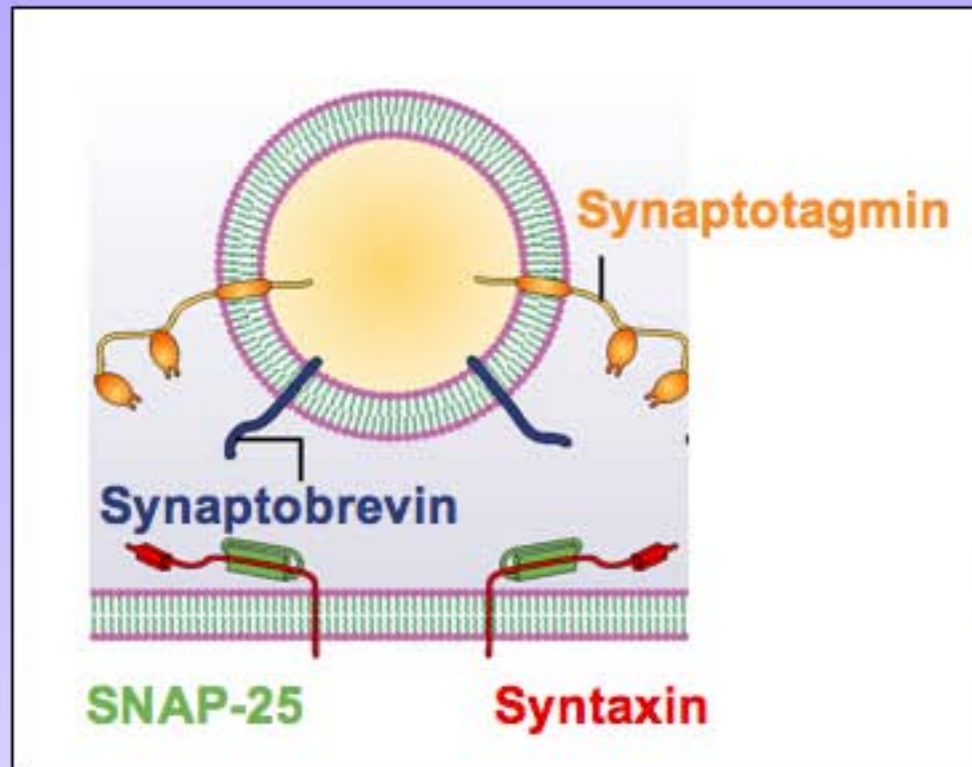


Figure 2. Overview of the steps in the secretory vesicle cycle that are affected by deletion of the respective genes. Deletion of *munc18-1* affects all steps in the cascade. Deletion of the SNARE genes (reviewed in [1]) results in priming defects with syntaxin-1 sharing a more upstream (docking) phenotype with Munc18-1 [25]. Deletion of *munc13-1* and *munc13-2* [68] and *synaptotagmin-1* [72] does not affect vesicle harboring at the membrane, but results in priming and fusion triggering defects, respectively.

Régulation de l'exocytose par la synaptotagmine



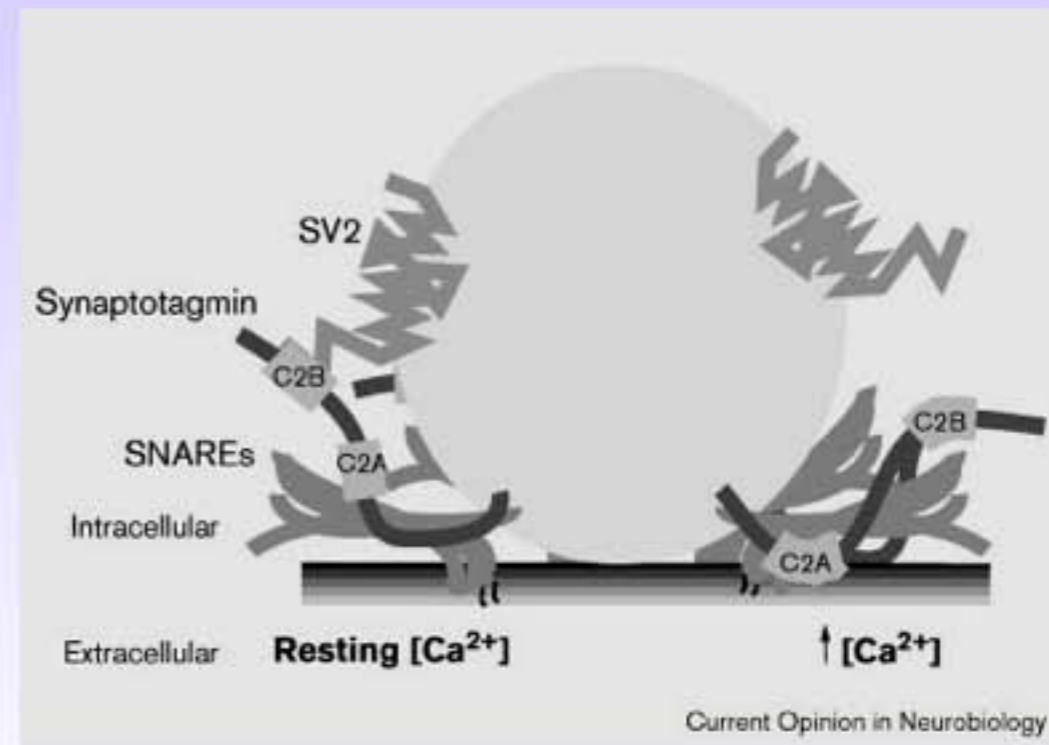
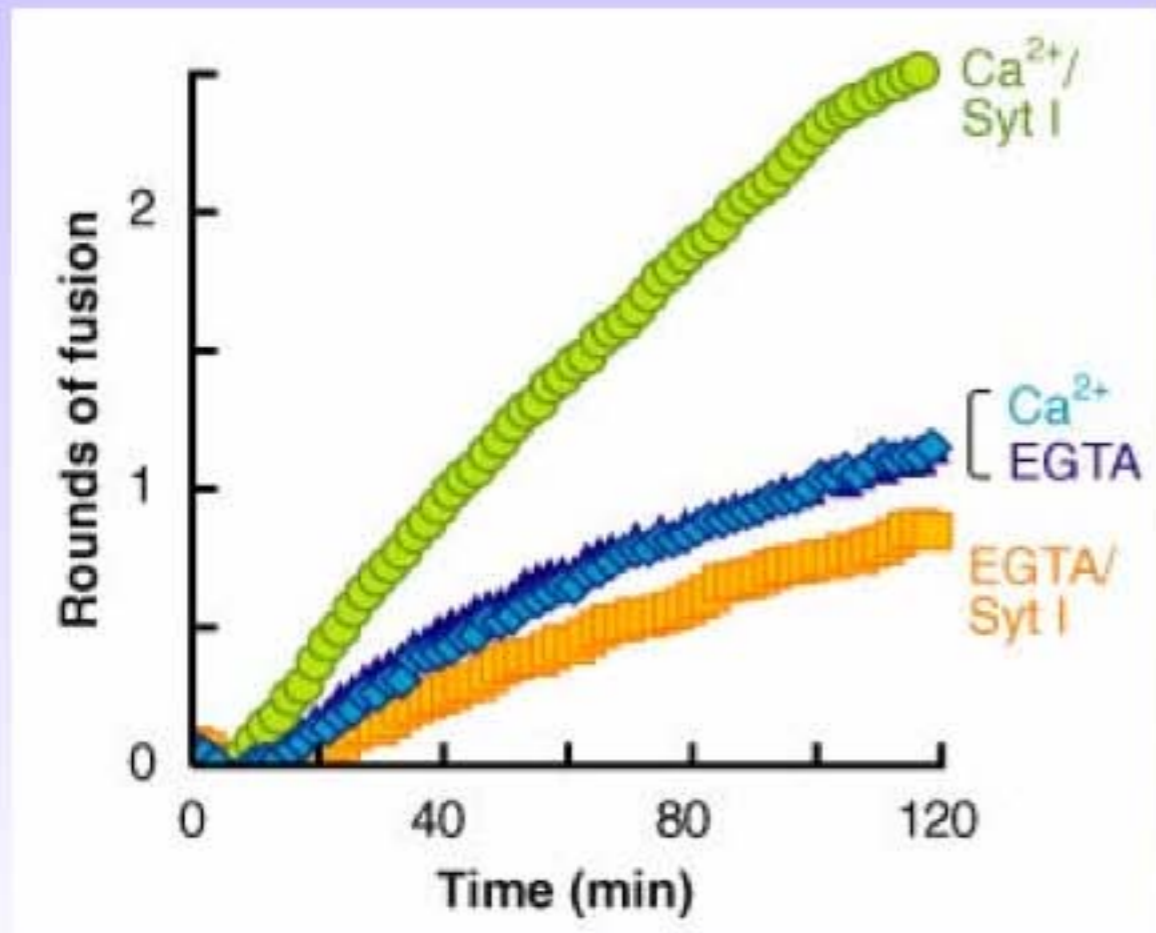
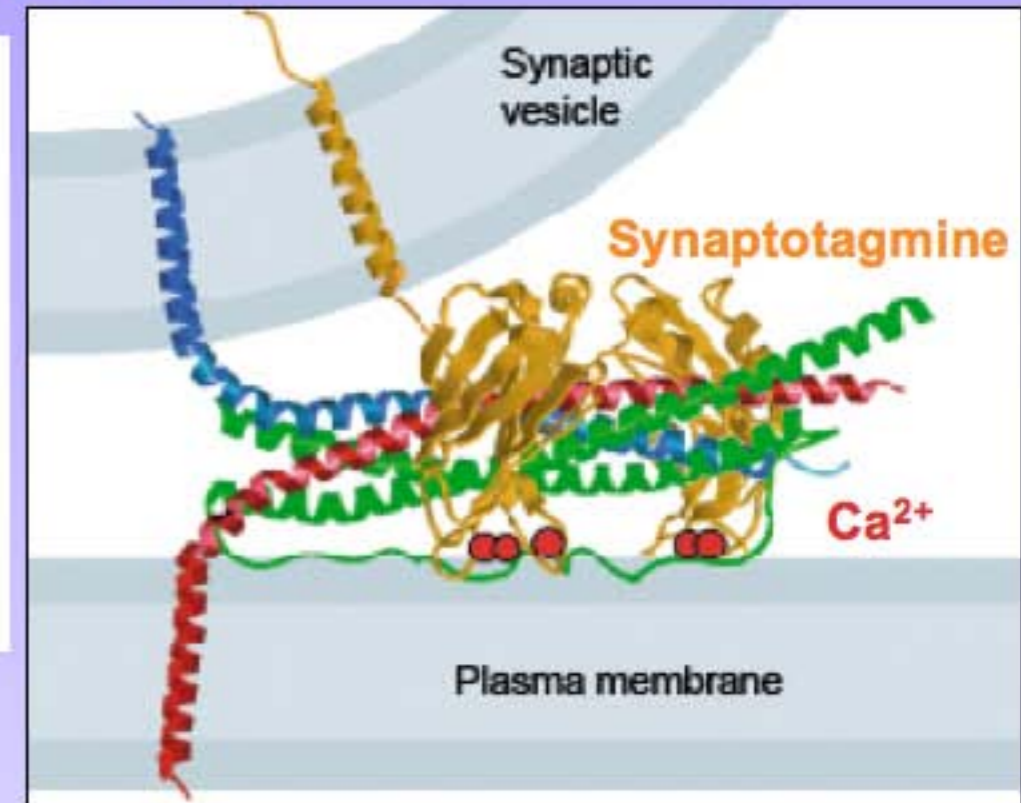
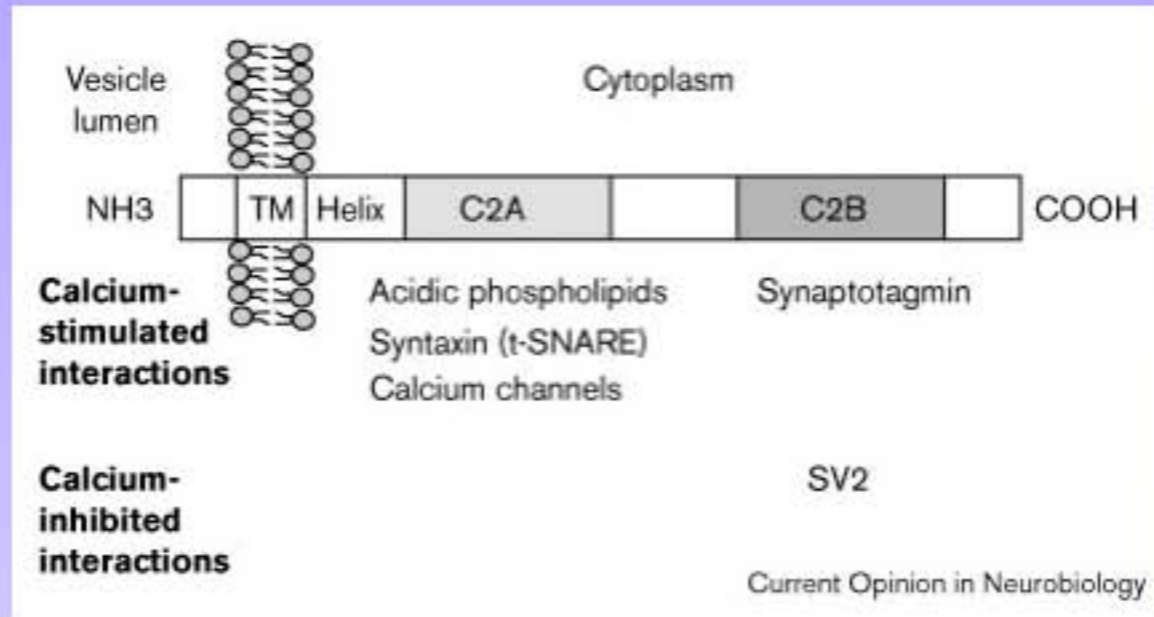
Régulation de l'exocytose par la synaptotagmine



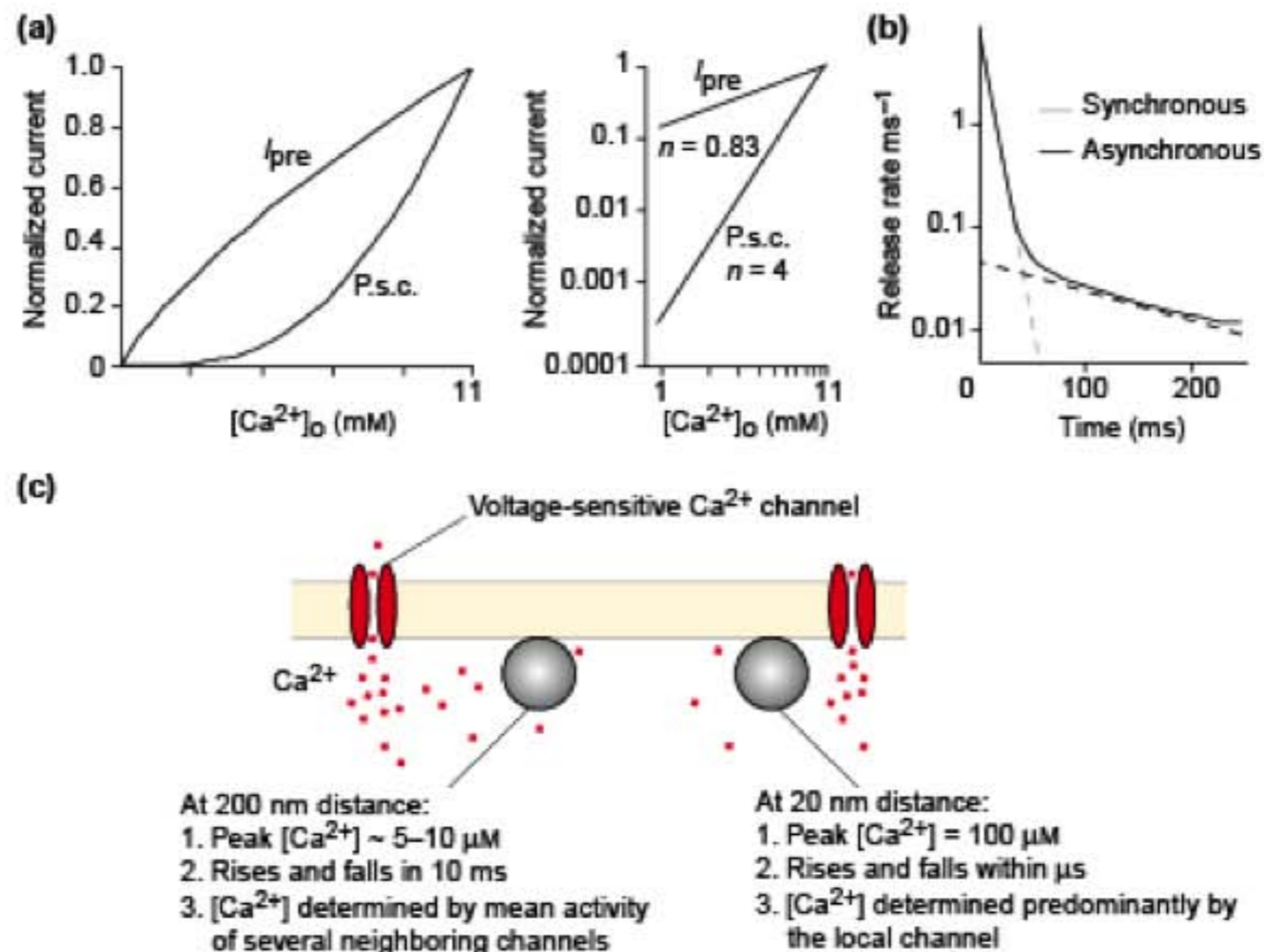
Régulation de l'exocytose par le calcium



Edwin Chapman



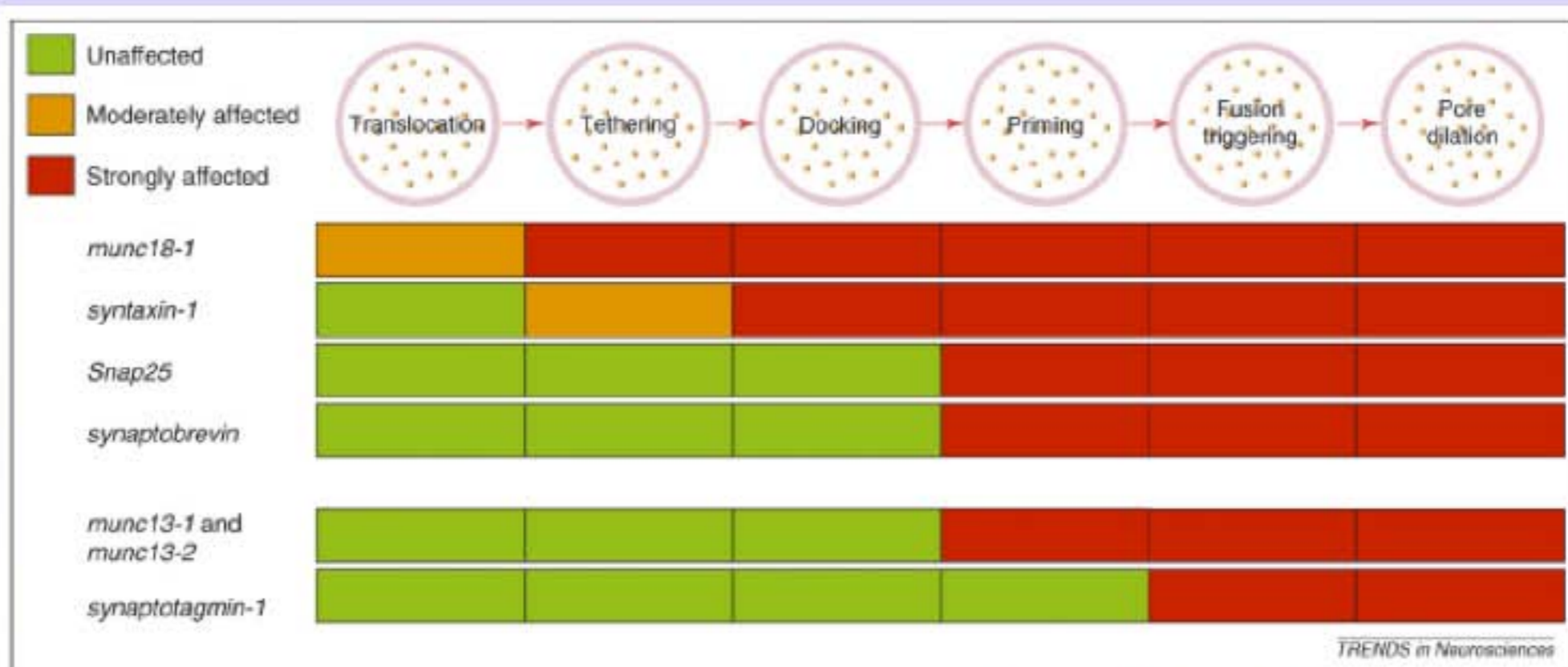
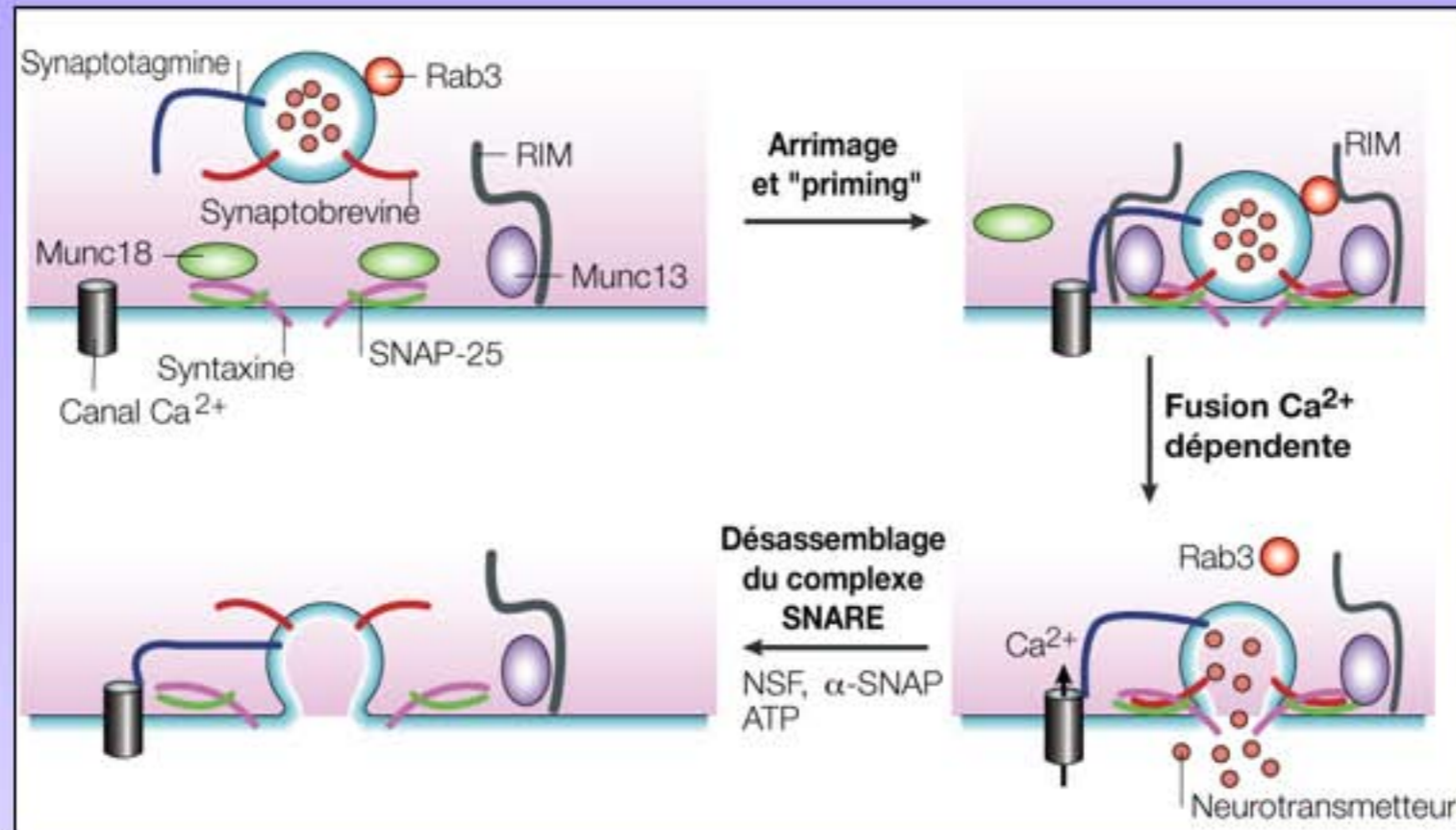
Calcium et exocytose



TRENDS in Neurosciences

Fig. 1. Ca^{2+} cooperativity and biphasic neurotransmitter release. (a) Relationships of presynaptic Ca^{2+} current (I_{pre}) and postsynaptic current (P.s.c.) with external Ca^{2+} concentration, $[Ca^{2+}]_o$ [4]. Adapted, with permission, from Ref. [4]. The same data are represented schematically on linear (left) and log-log (right) coordinates. The exponential function (n) next to each log-log plot is a measure of the Ca^{2+} -dependent cooperativity of neurotransmitter release (see main text). Note that the differences in the slopes of I_{pre} and P.s.c. indicate that the cooperativity is mediated by binding sites downstream of the Ca^{2+} channel – that is, inside the terminal. (b) Under normal conditions, neurotransmitter release at a hippocampal synapse consists of a rapid, synchronous phase followed by a delayed, asynchronous phase. Using data from Ref. [6]. (c) Properties of Ca^{2+} domains around a Ca^{2+} channel. Small red circles represent Ca^{2+} and the gray spheres represent synaptic vesicles docked on the presynaptic membrane. Using data from Ref. [14].

Régulation de l'exocytose

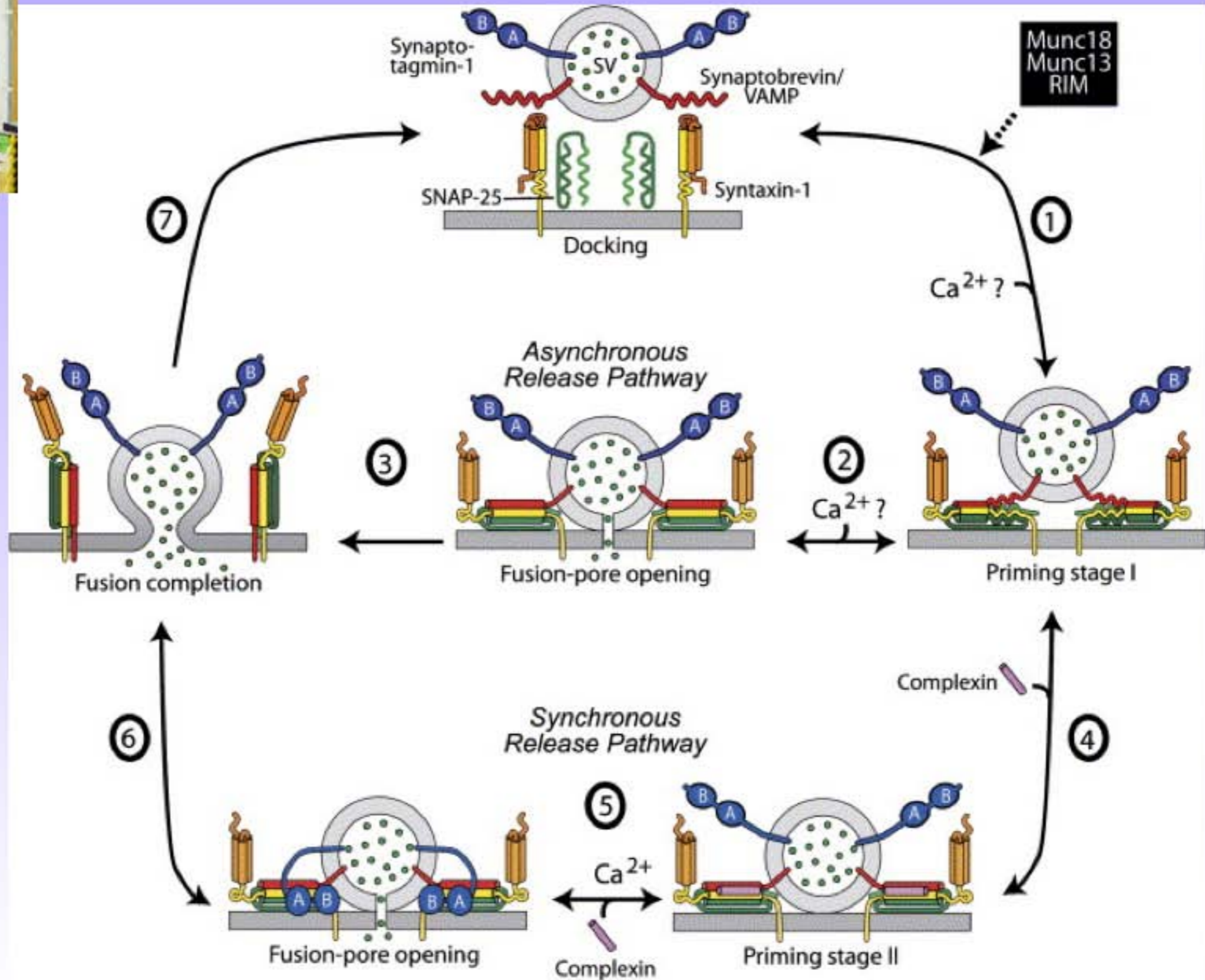


TRENDS in Neurosciences

Régulation par la complexine



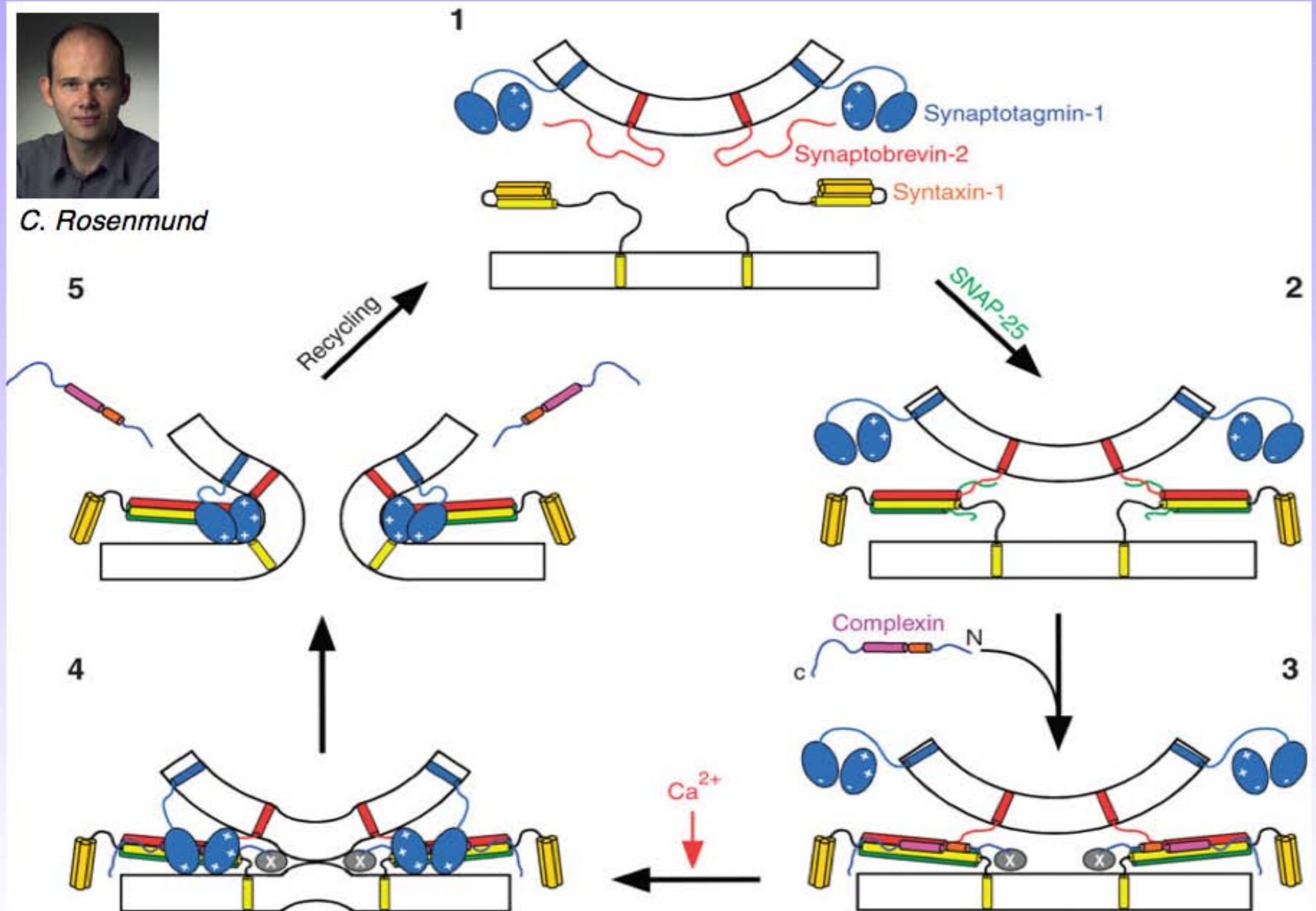
T. Sudhof



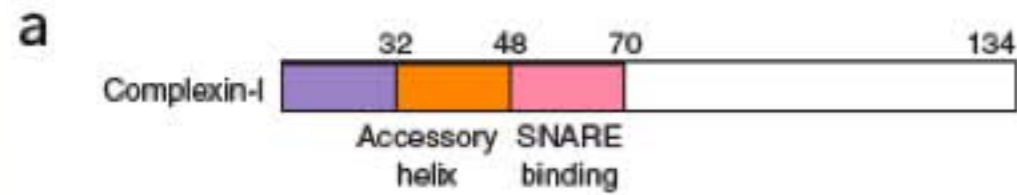
Régulation par la complexine



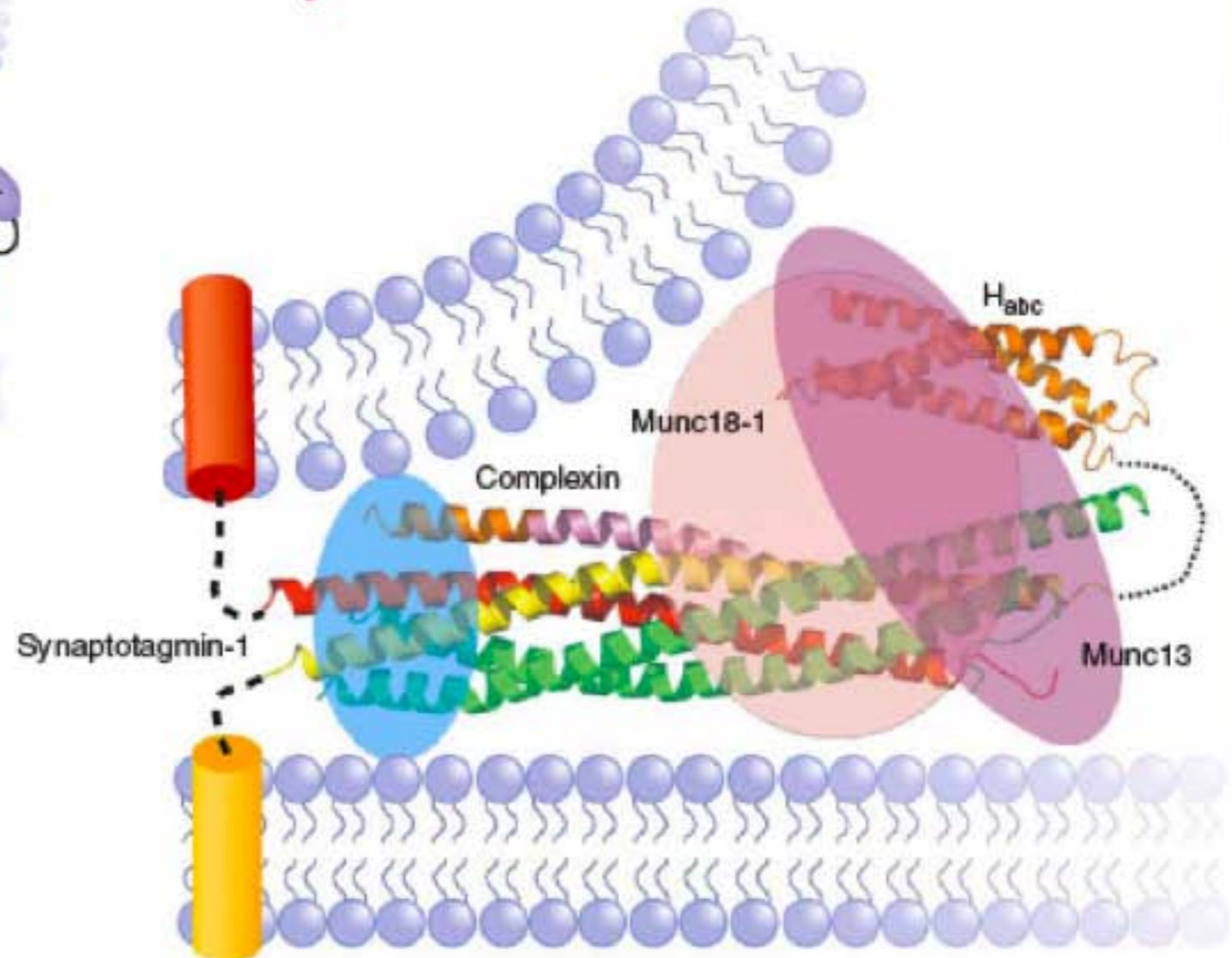
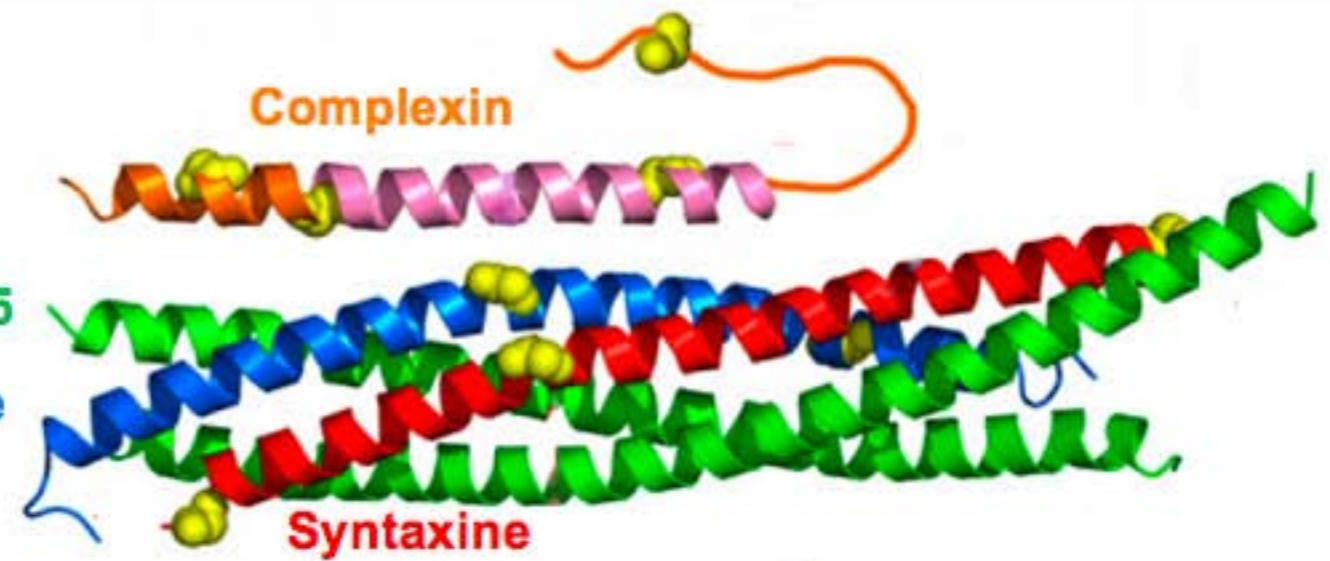
C. Rosenmund



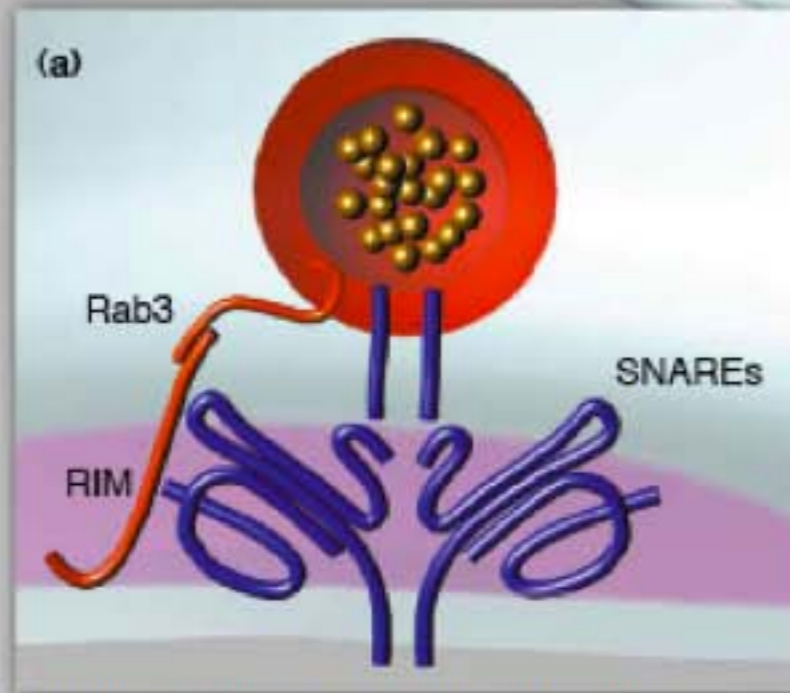
Régulation par la complexine



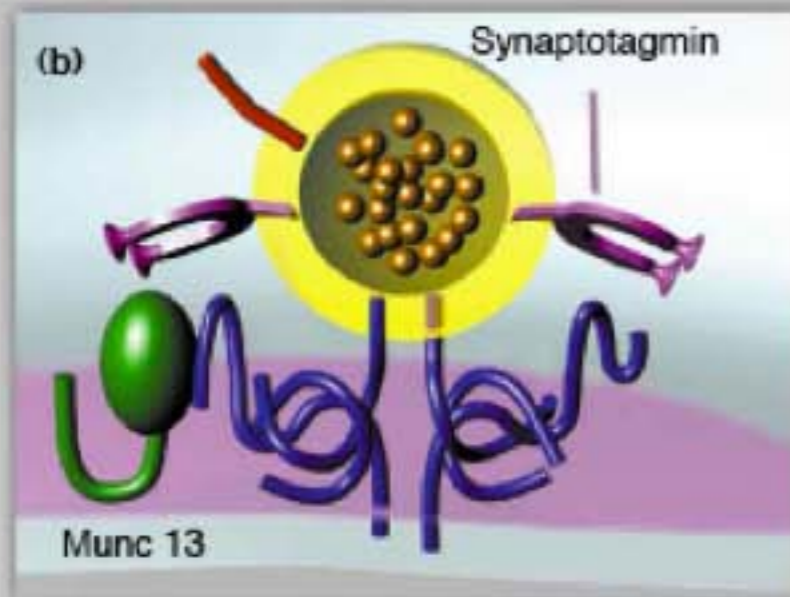
SNAP-25
Synaptobrevine



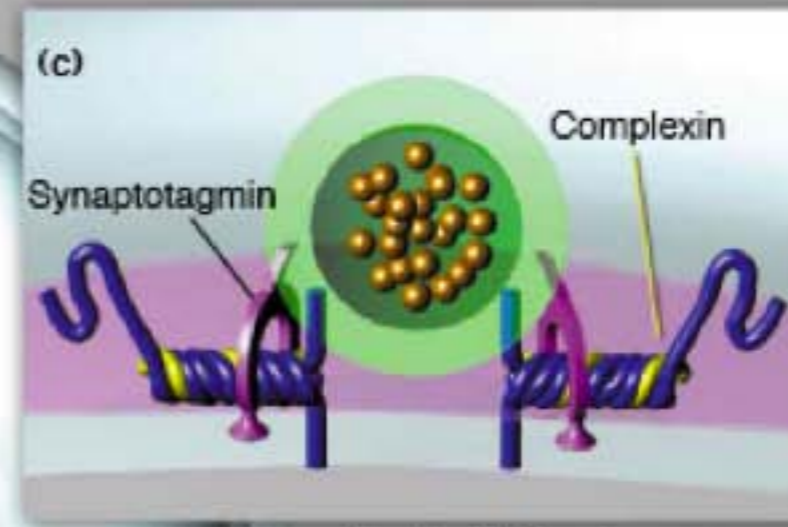
Régulation de l'exocytose



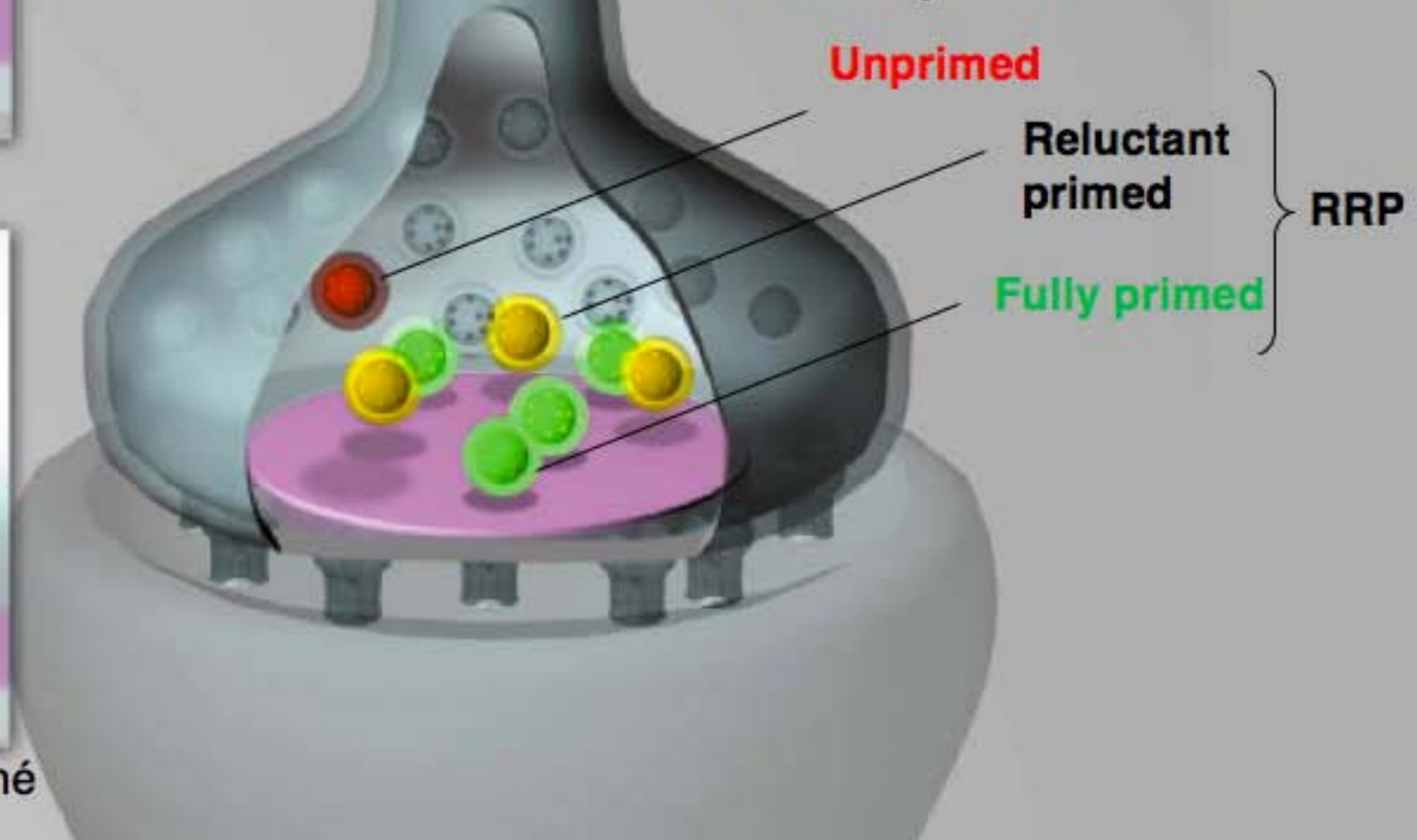
Docking-Initiation du priming



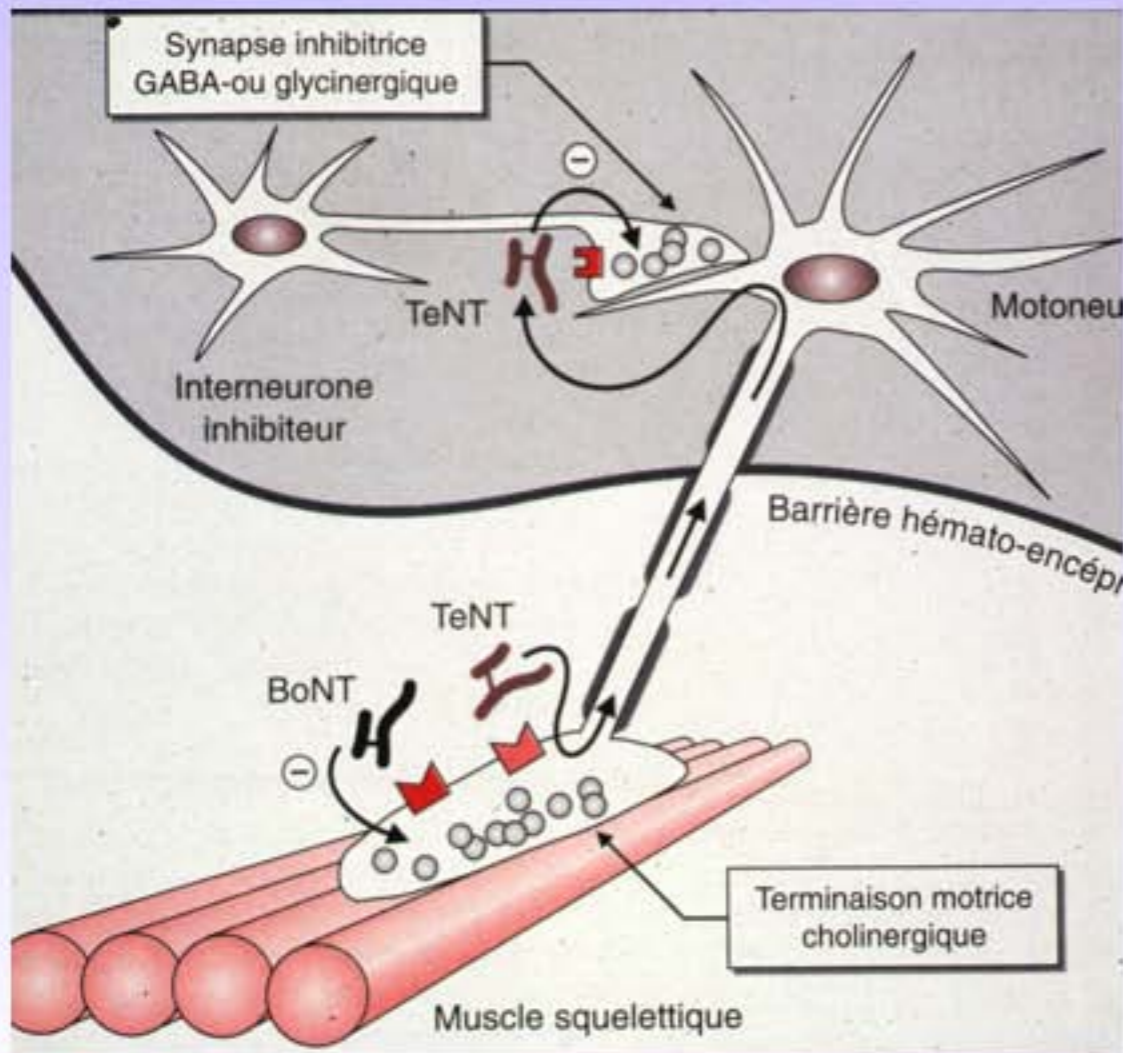
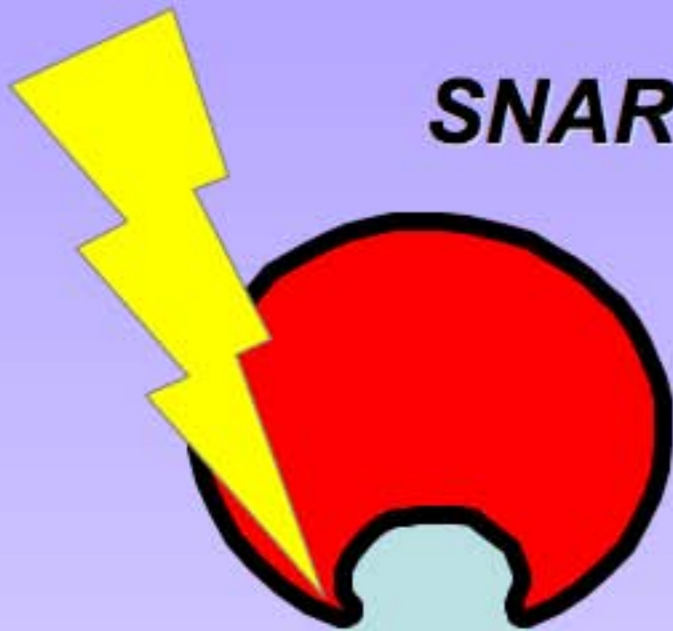
Priming- complexe SNARE relaché
 Proba de libération: 1-2%
 Libération asynchrone : 20 ms



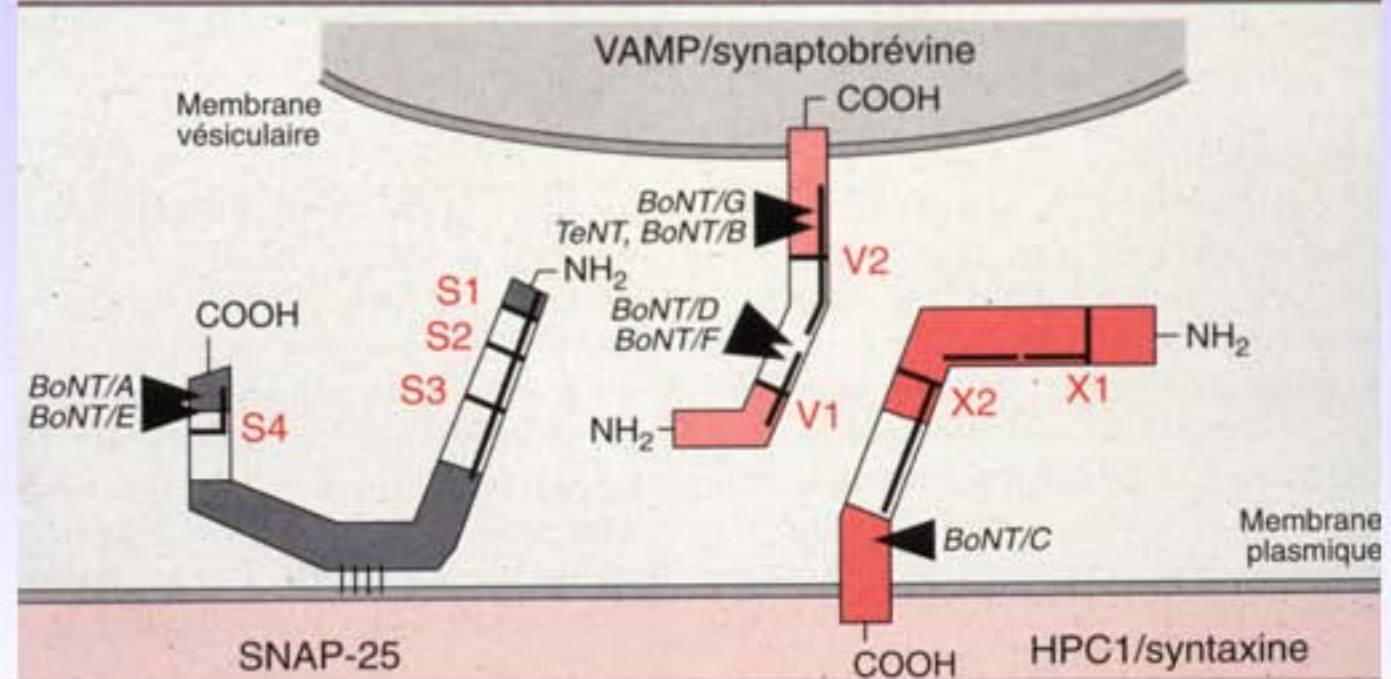
Prete à fusionner- attente du Ca^{2+}
 Proba de libération: 12-14%
 Libération synchrone : 2 ms



SNAREs: cibles des neurotoxines clostridiales



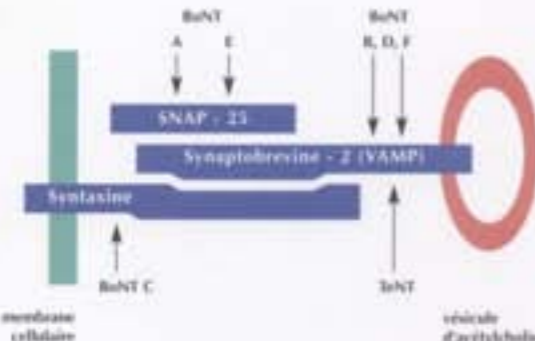
| Toxine | Cible | Site de reconnaissance | Site de clivage |
|--------|-----------|------------------------|-----------------|
| TeNT | VAMP | V2 : ELDDRADALQ | ASQFETS |
| BoNT/B | VAMP | V2 : ELDDRADALQ | ASQFETS |
| BoNT/D | VAMP | V1 : QVDEVVDIMR | DQKLSEL |
| BoNT/F | VAMP | V1 : QVDEVVDIMR | RDQKLSE |
| BoNT/G | VAMP | V2 : ELDDRADALQ | ESAAKLK |
| BoNT/A | SNAP-25 | S4 : EMDENLEQVSG | ANQRATK |
| BoNT/E | SNAP-25 | S4 : EMDENLEQVSG | KTRIDEA |
| BoNT/C | Syntaxine | X2 : ELEDMLSEGN | TKKAVKY |
| | | motif consensus | xh--xh-xhp |



Applications des Neurotoxines ...

Dysport
TOXINE BOTULIQUE TYPE A • 500 UNITÉS SPEYWOOD

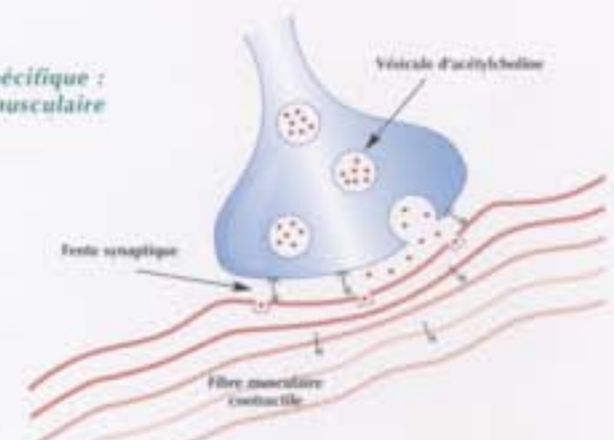
La maîtrise biopharmaceutique...



Une action focalisée sur la clé synaptique

... au service des Dystonies

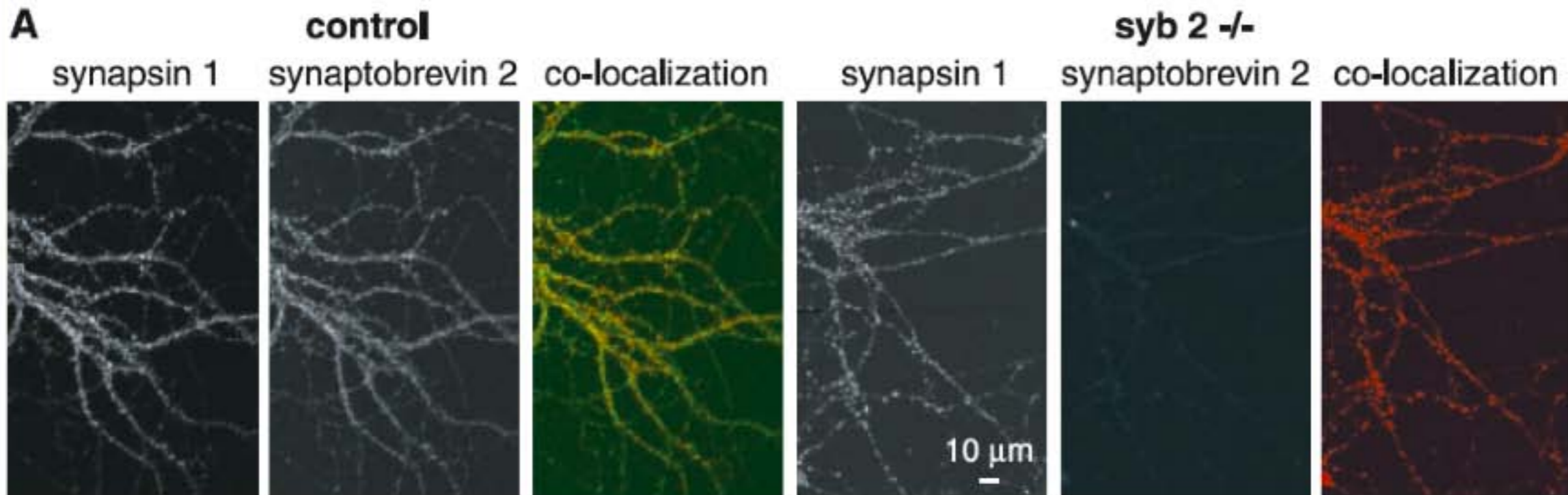
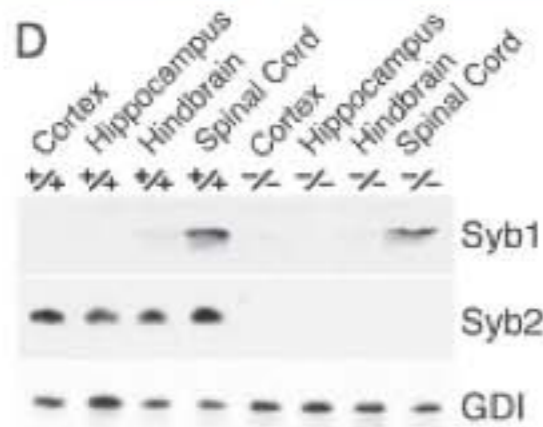
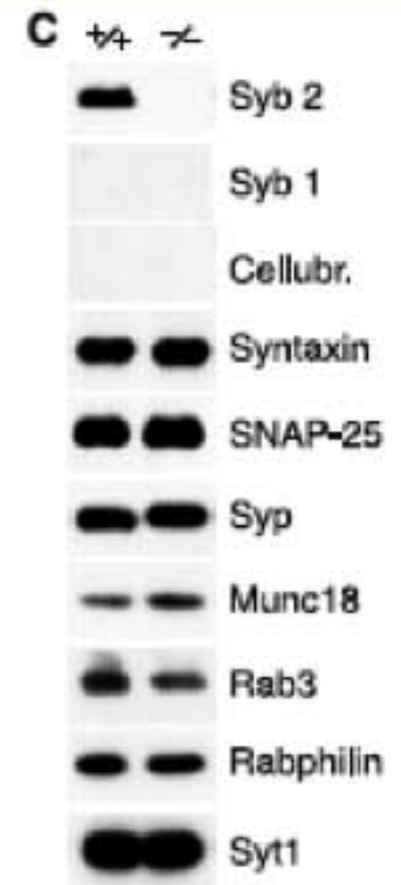
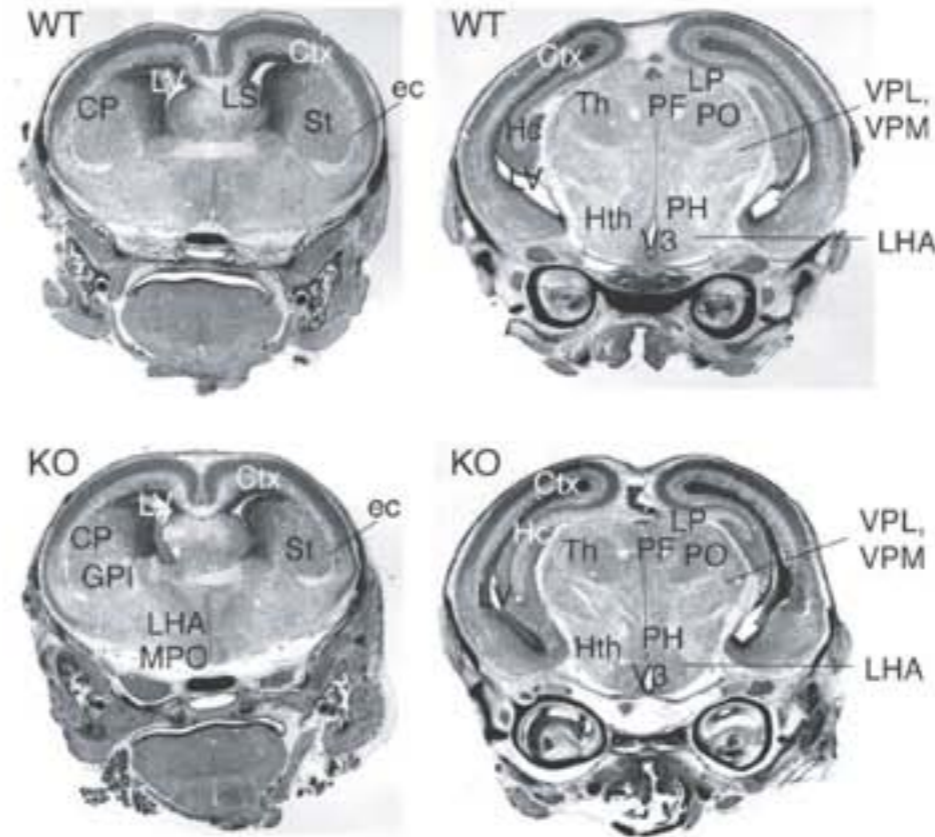
Une cible spécifique : la jonction neuromusculaire



Traitement des dystonies (hypercontractions musculaires involontaires et douloureuses).

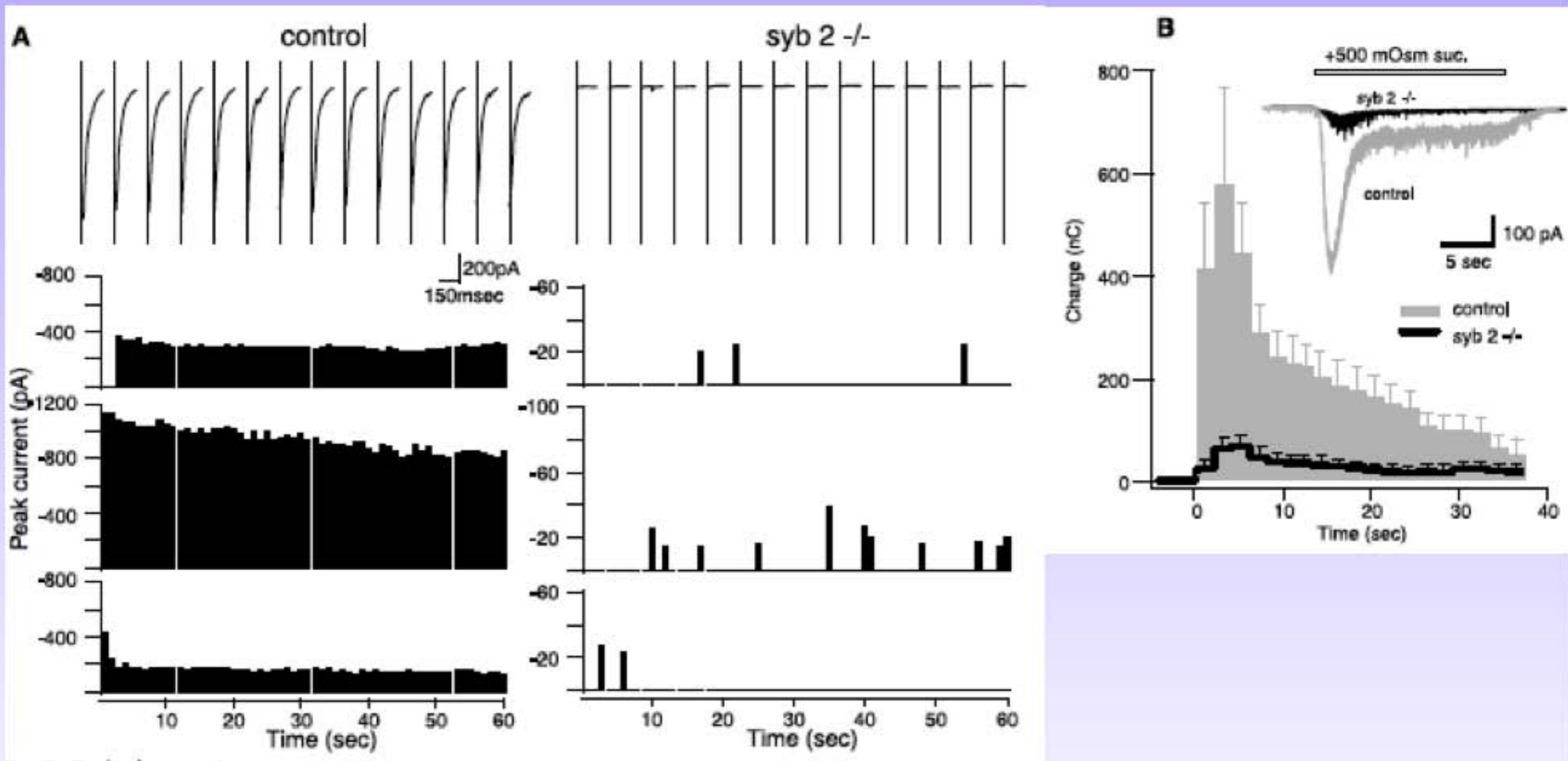
Esthétique: injection de « BOTOX »:
Paralysie musculaire pendant 5 à 6 mois.

Synaptobrevin2 (Syb2) KO



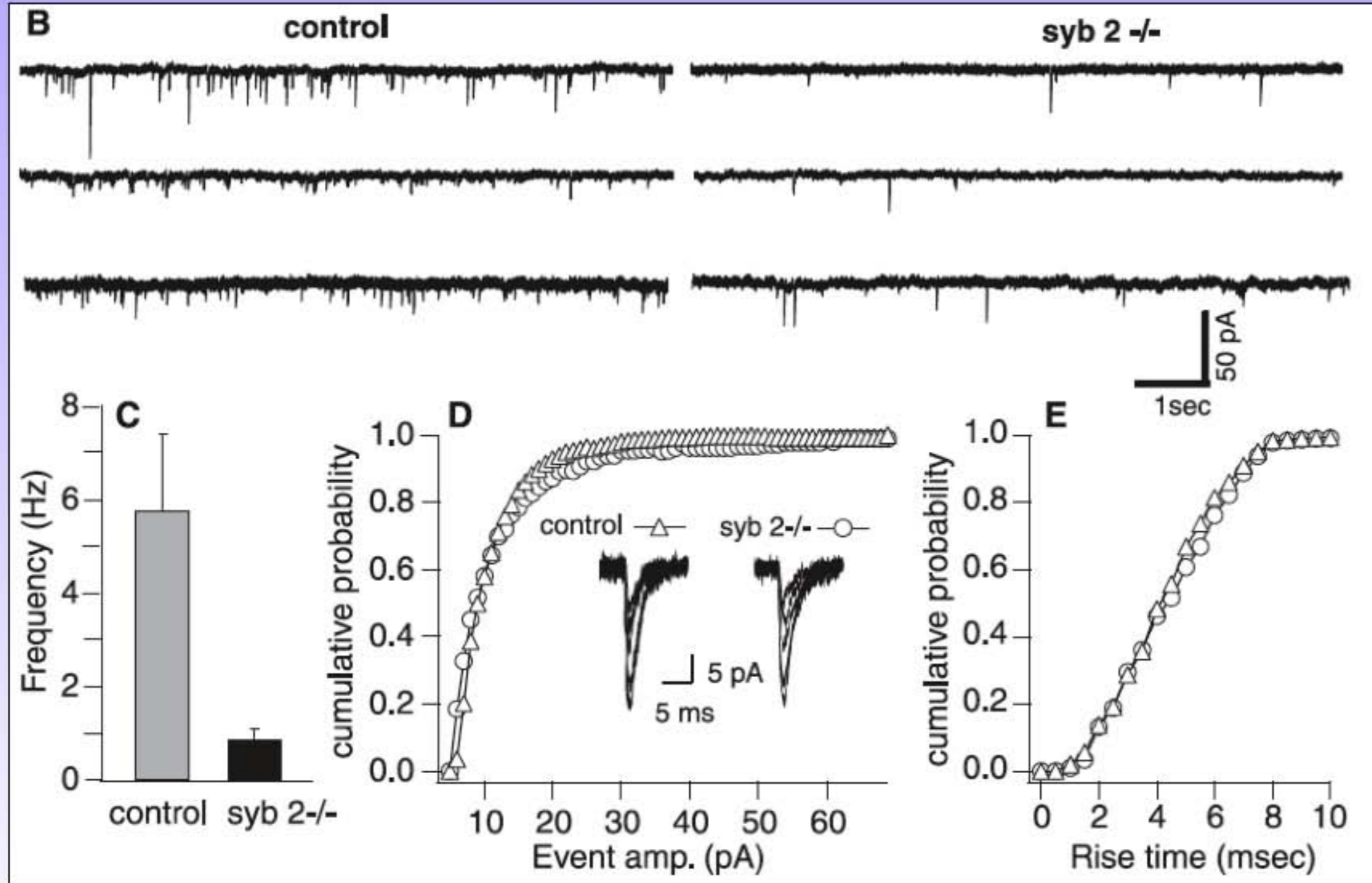
En l'absence de Syb2, les synapses sont toujours présentes, le cerveau se forme normalement mais les animaux meurent à la naissance.

Synaptobrevin2 (Syb2) KO



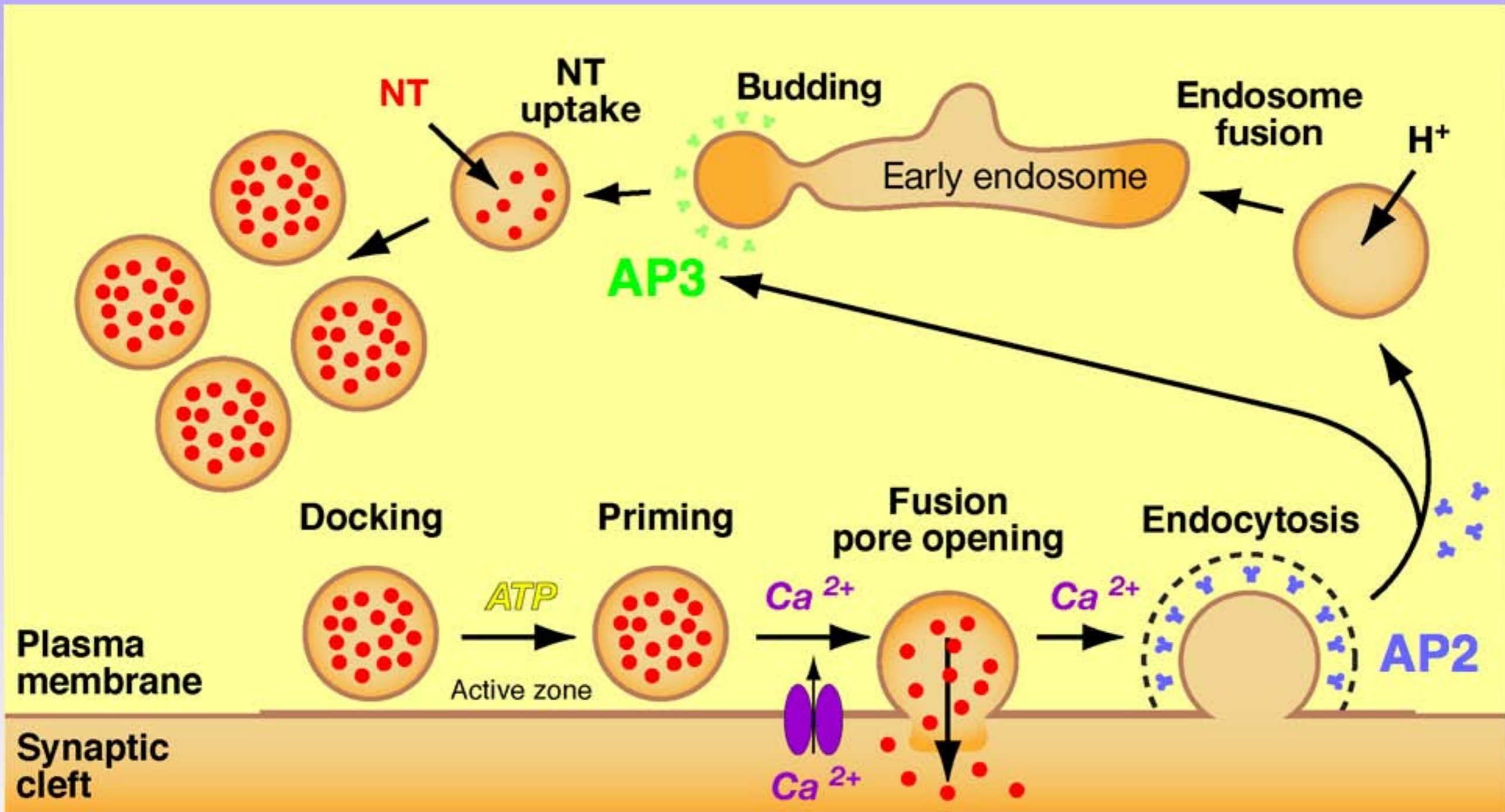
En l'absence de Syb2, la réponse évoquée est réduite d'un facteur 100.

Synaptobrevin2 (Syb2) KO



En l'absence de Syb2, la réponse spontanée est réduite d'un facteur 10.

SV recycling



AP3 est un complexe adaptateur heterotetramérique



Fonctions d' AP3:

Ciblage de certaines protéines vers les:

- melanosomes,
- granules contenant les plaquettes,
- vésicules synaptiques

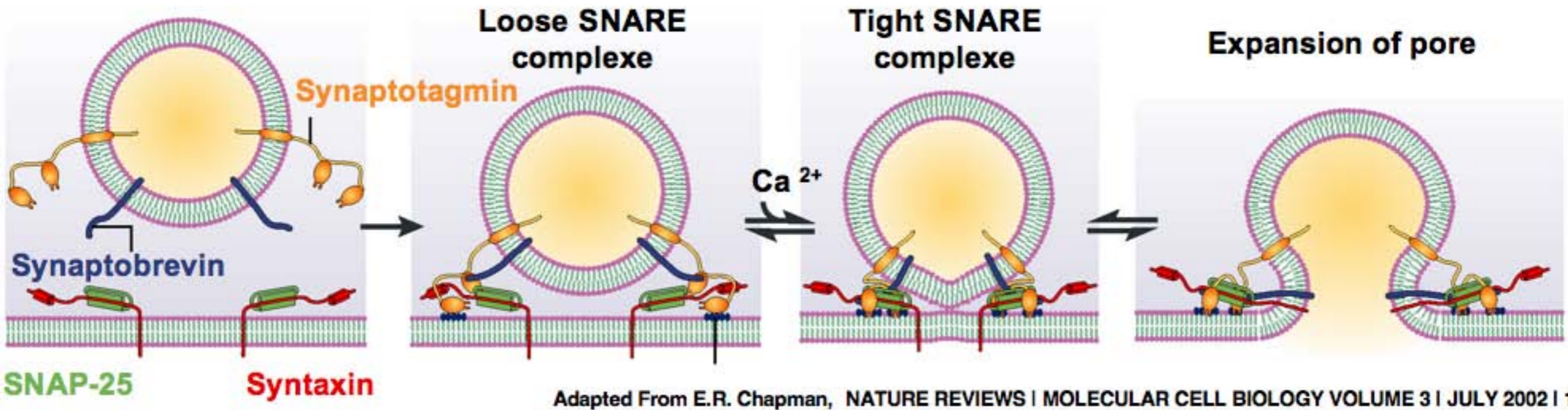
**Sont des mutants nuls pour AP3 δ :
suppression du complexe AP3**

Les souris MOCHA (mh)

- **décoloration des yeux et des poils**
- **coagulation retardée (déficiency du pool des granules (plaquettes)).**
- **hyperactives**
- **rithme theta altéré dans l'electrocortigramme (hypersynchronisation).**
- **crises épileptiques**



SNARE proteins AND Exocytosis



TI-VAMP : Tetanus Neurotoxin-Insensitive Vesicle Associated Membrane Protein

- gène lié au X
- v-SNARE de 25kDa
- ubiquitaire
- Ciblé via AP3
- Insensible aux Neurotoxines
- Presente dans les terminaisons des fibres moussues.

Synaptobrevin

SNARE TM

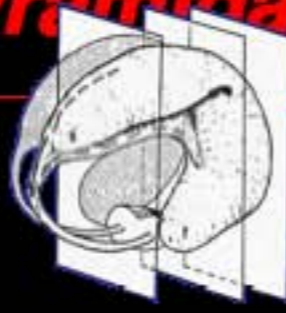
Tetanus toxin

TI-VAMP

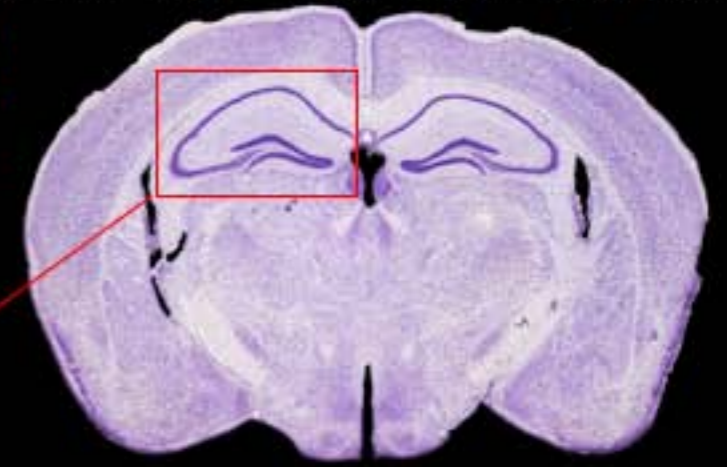
Longin SNARE TM Cter
1 120 180 220

δ AP-3

The mossy fiber-pyramidal cell synapse



Transversal
slice



hippocampus

CA1

Pyramidal cell

CA3

s.luc

Irl

Alveus

so

sr

slm

sm

Fimbria

Mossy fiber

Dentate gyrus

Granule cell

Perforant path
(subiculum entorhinal cortex)

Septum

Schaeffer collateral

→

→

→

→

→

→

→

→

→

→

→

→

→

→

→

→

→

→

→

→

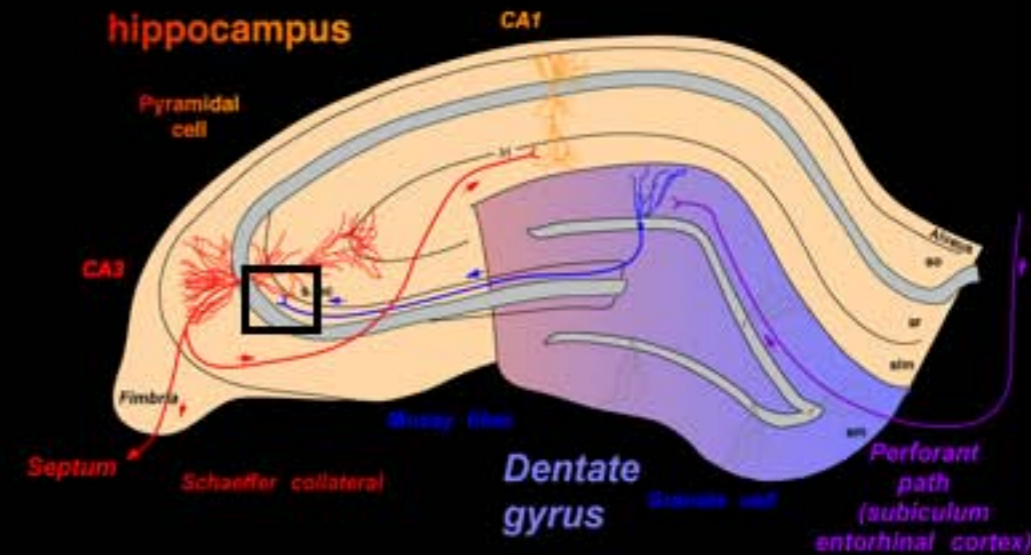
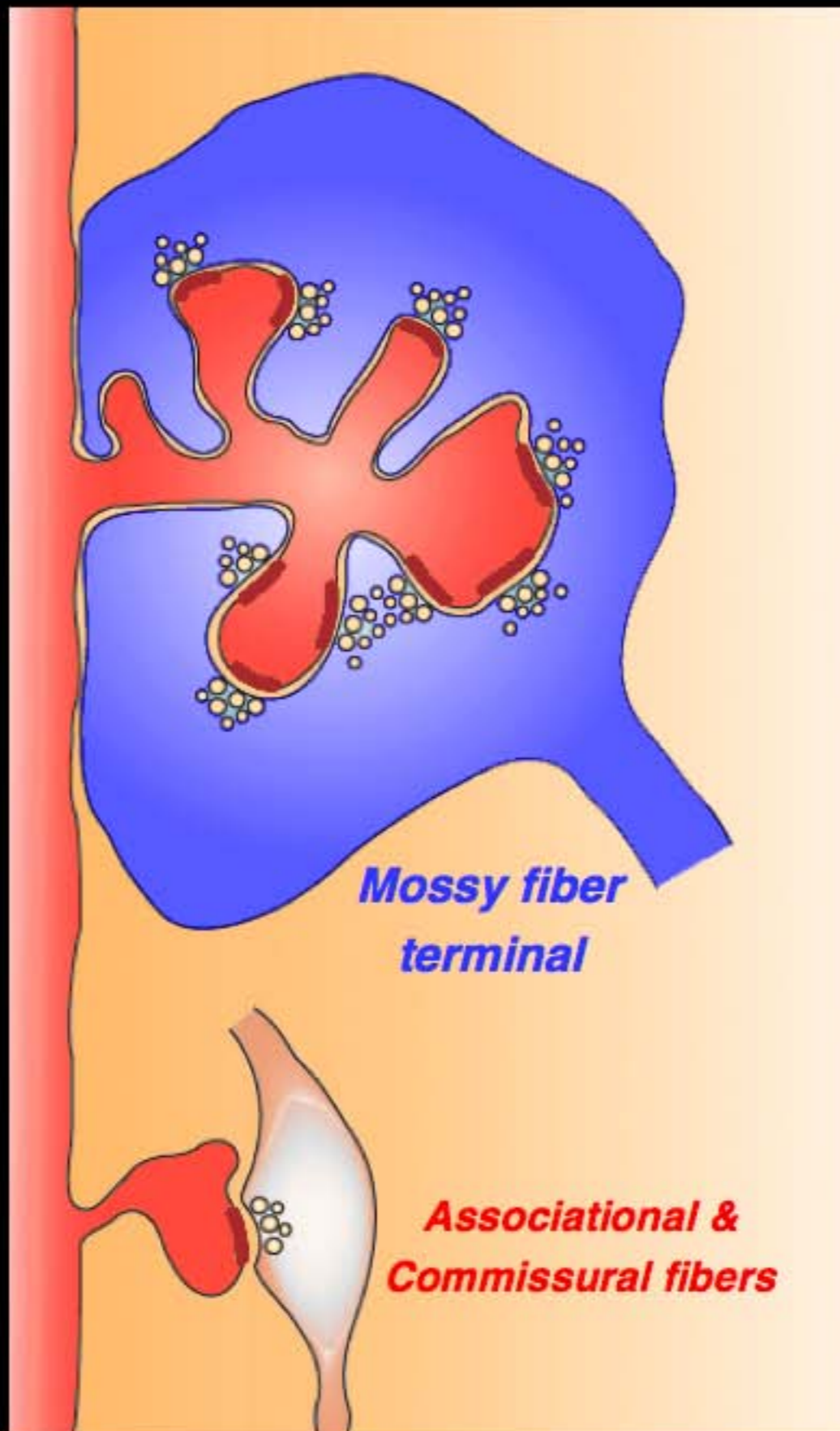
→

The mossy fiber-pyramidal cell synapse

Thorny excrescence

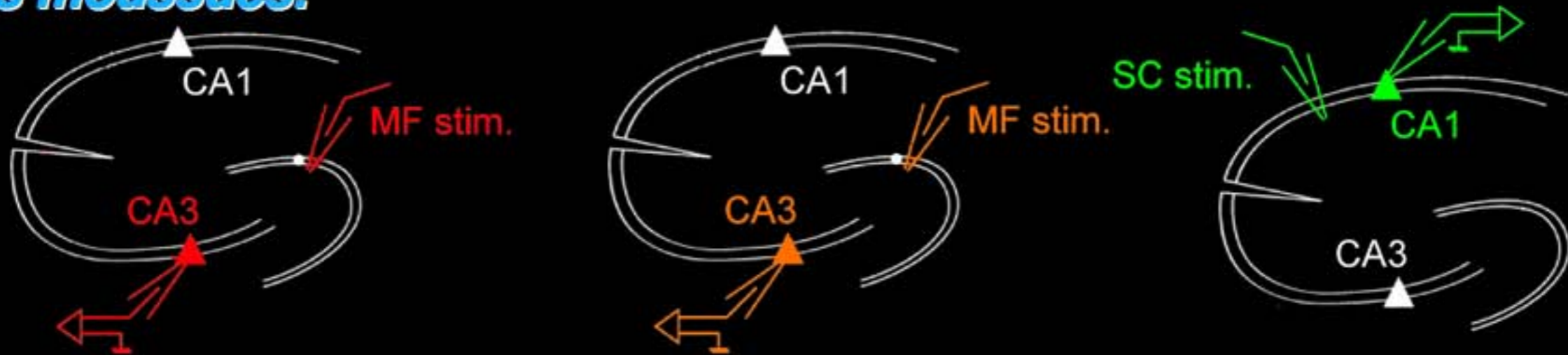
PYRAMIDAL CELL

Classical spine



GRANULE CELL

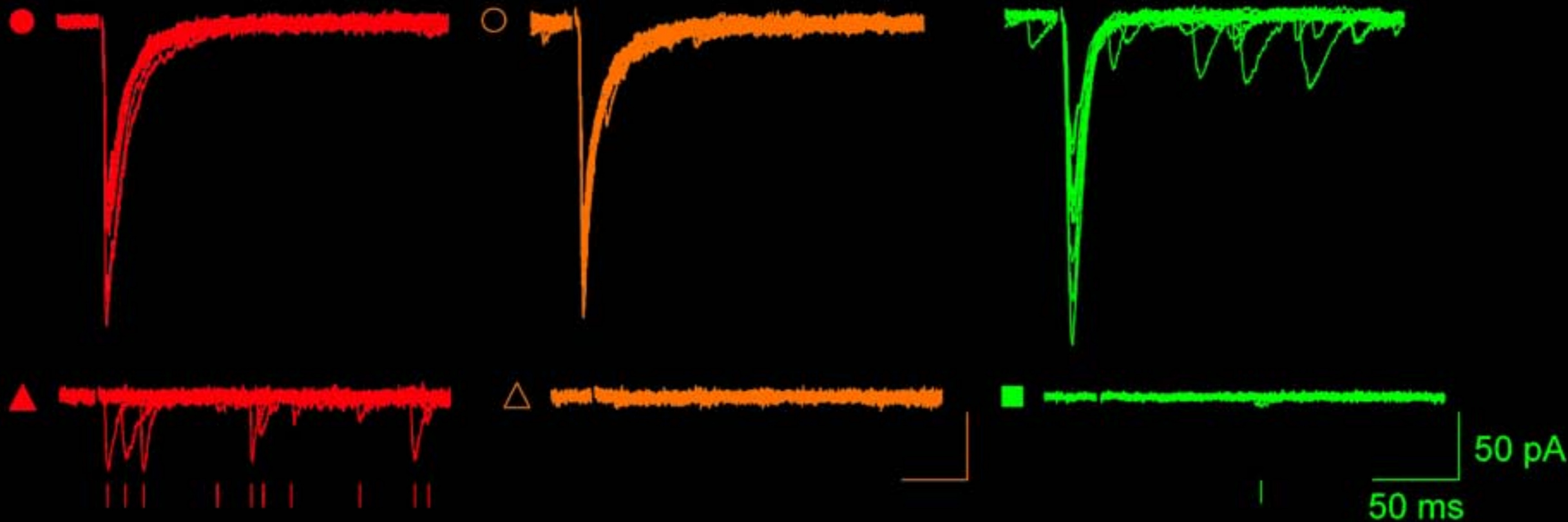
Libération Ca^{2+} -dépendente évoquée par la stimulation des fibres moussues.



Control, CA3

Mocha, CA3

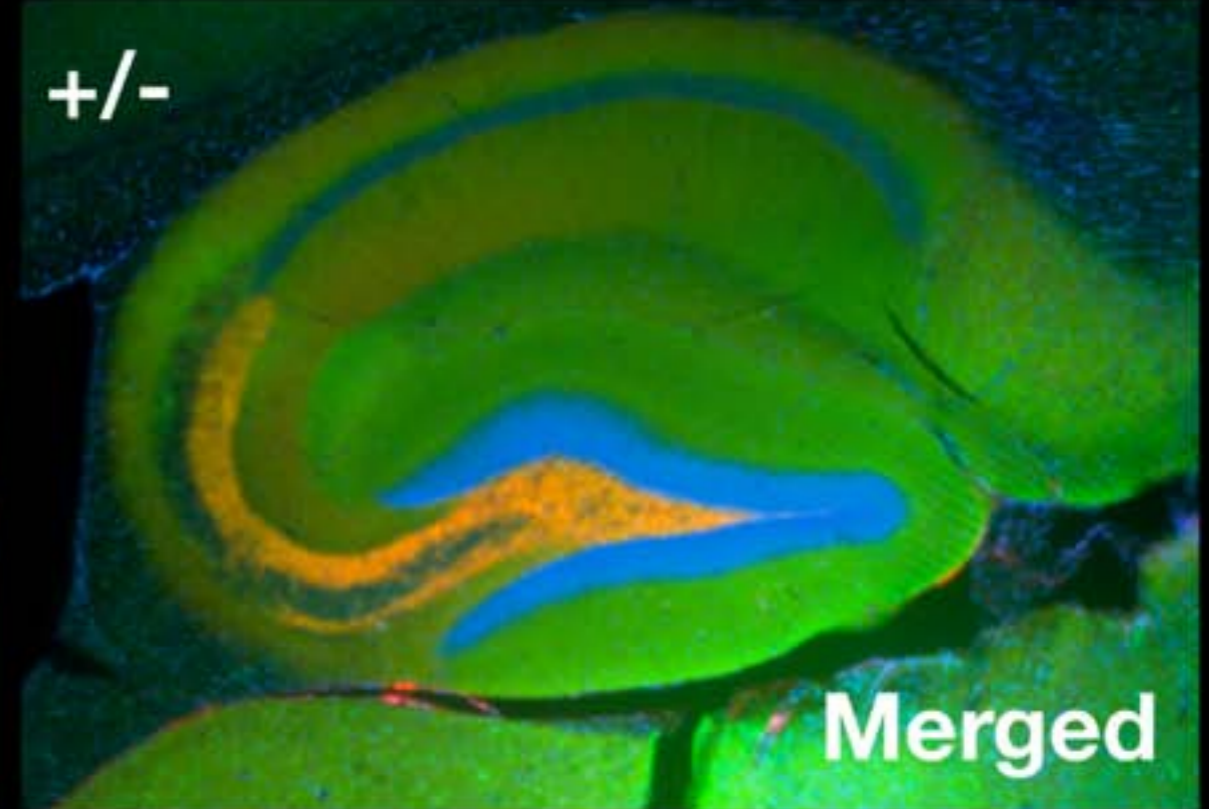
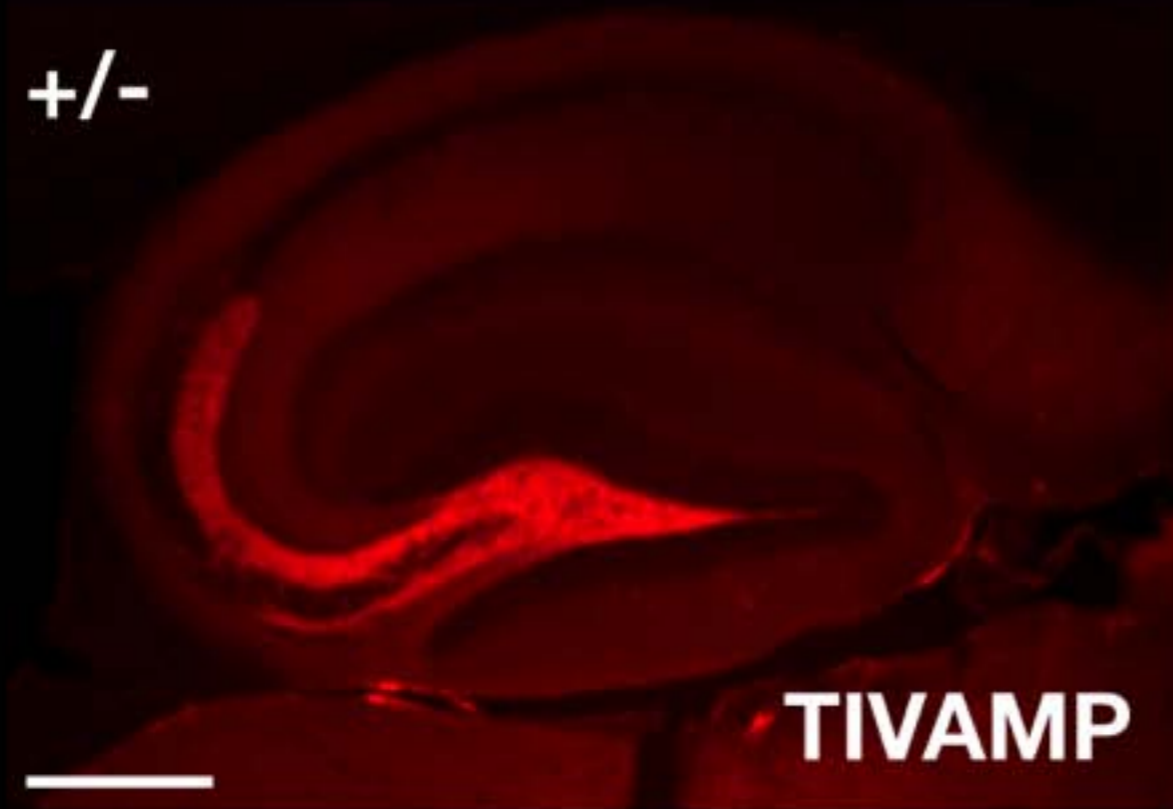
Control, CA1



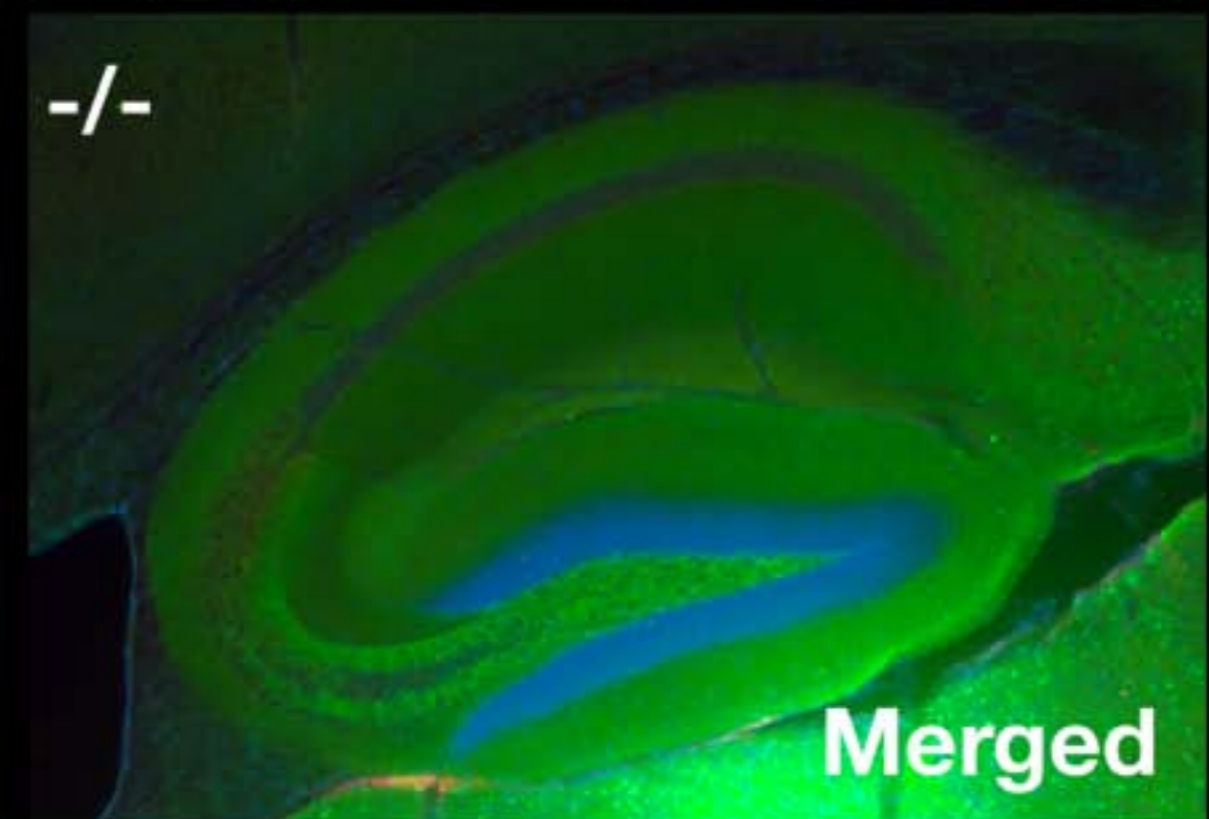
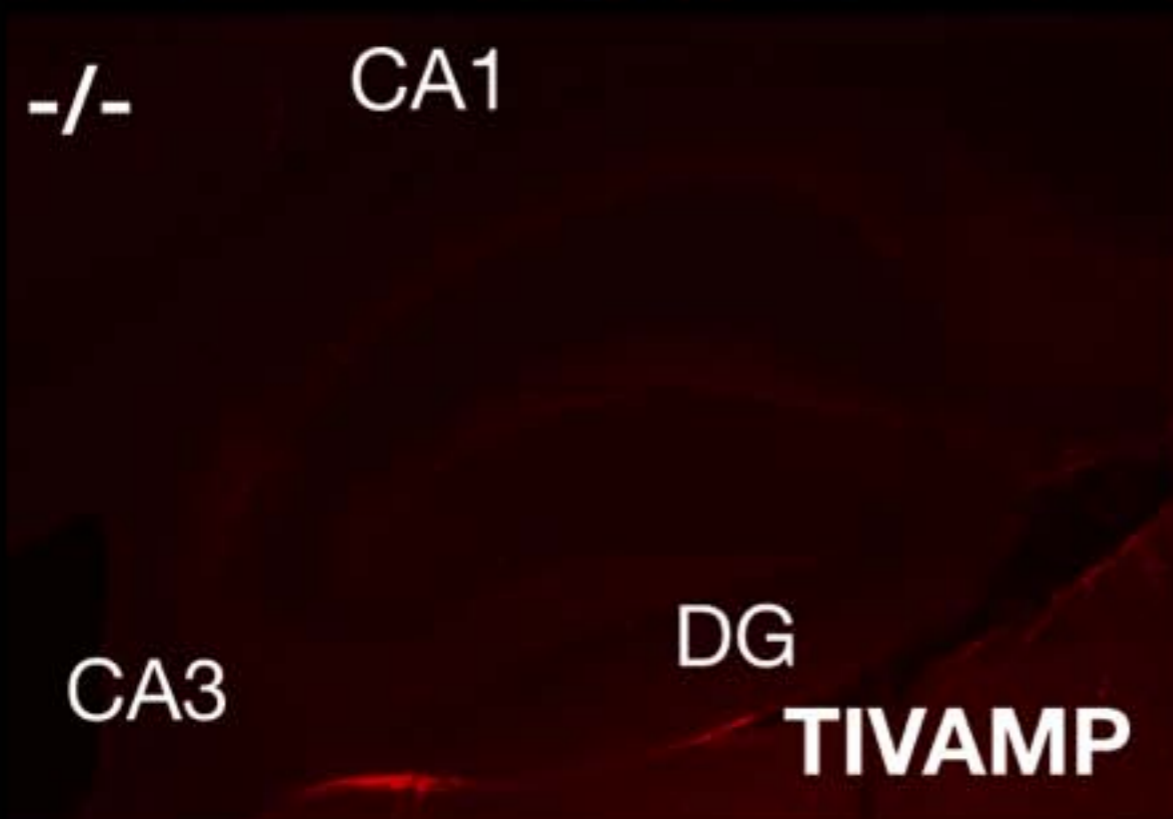
- La TeNT causes une réduction drammatique de la liberation des NT stimulée par PA.
- La libération est asynchrone, dépendante d'AP-3 et spécifique de CA3.

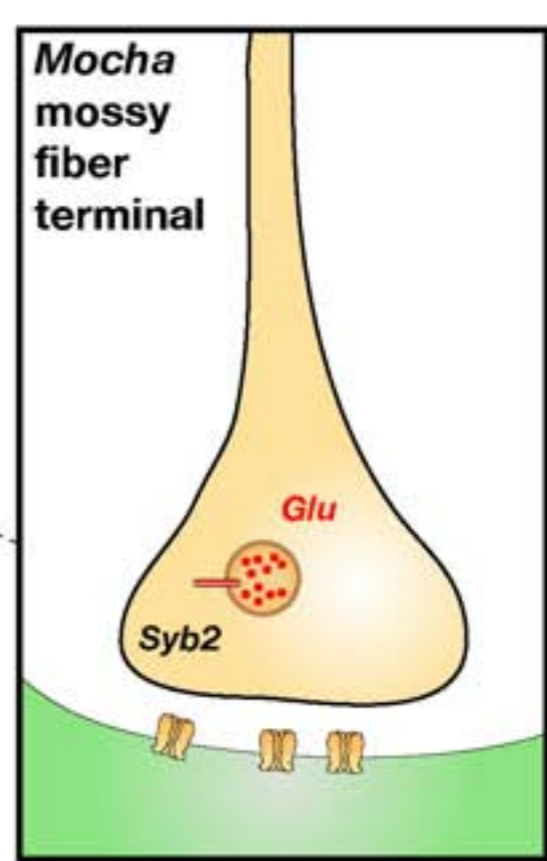
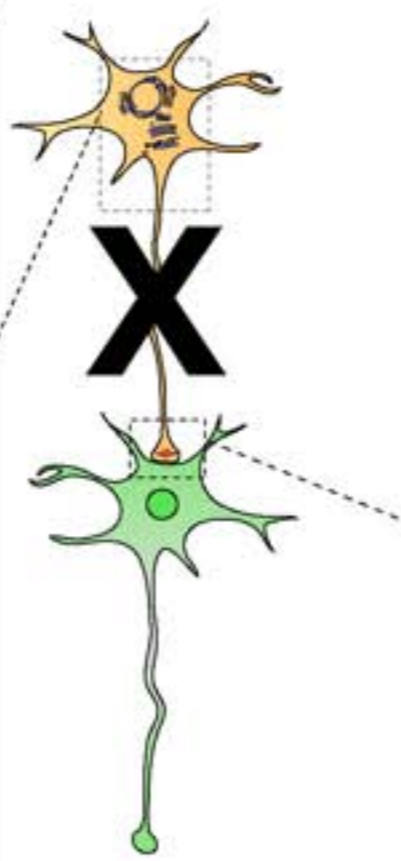
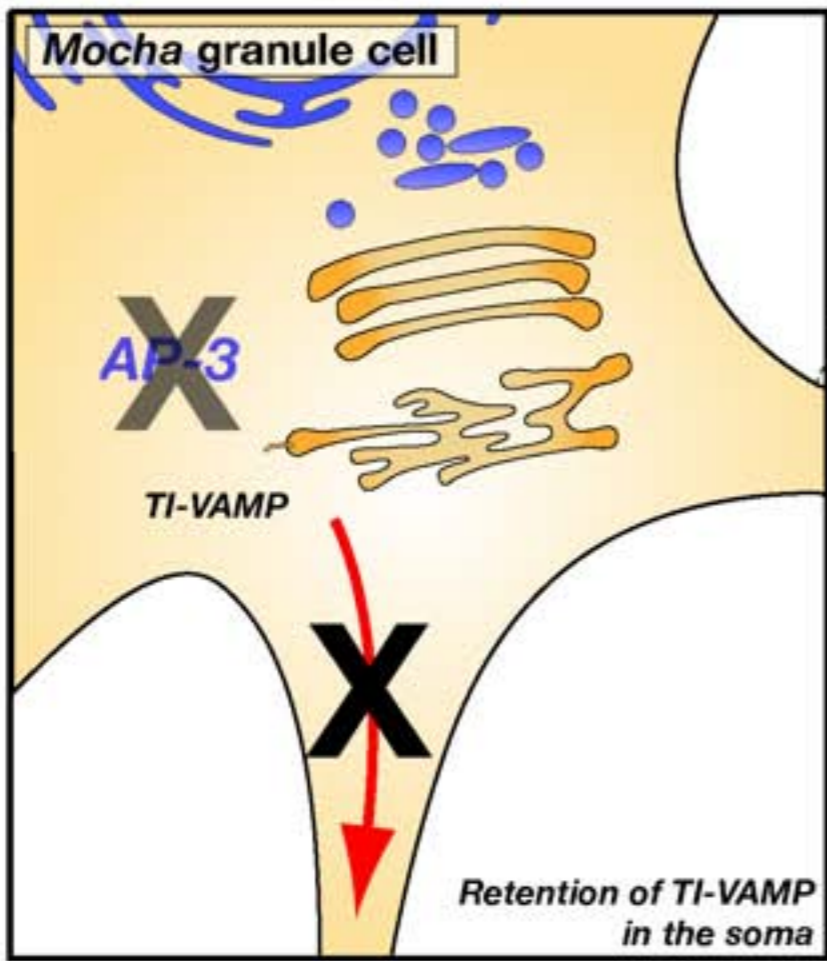
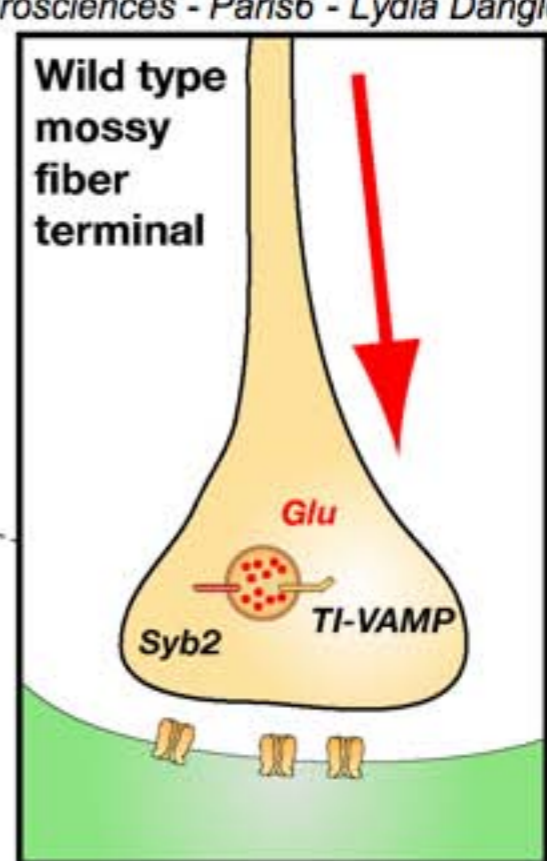
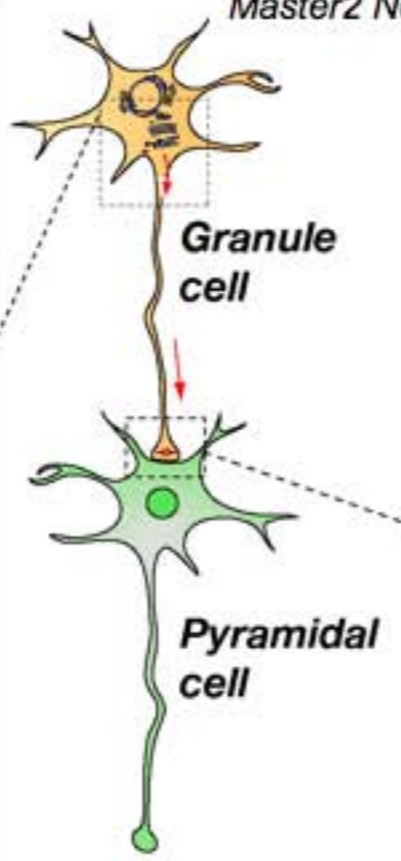
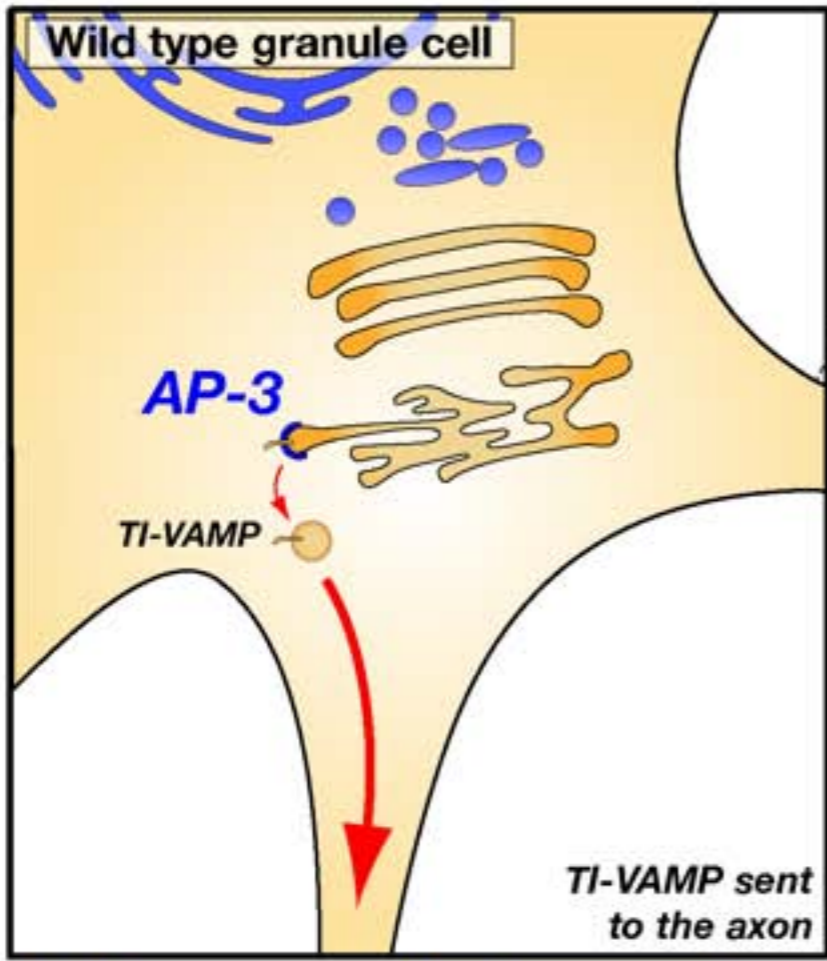
TI-VAMP est dans le Golgi des grains des mocha.

Control mice

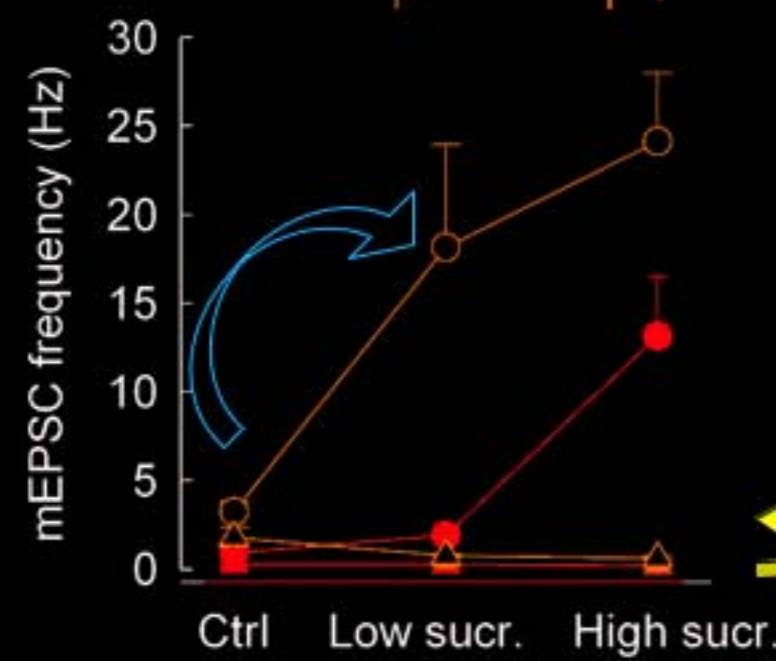
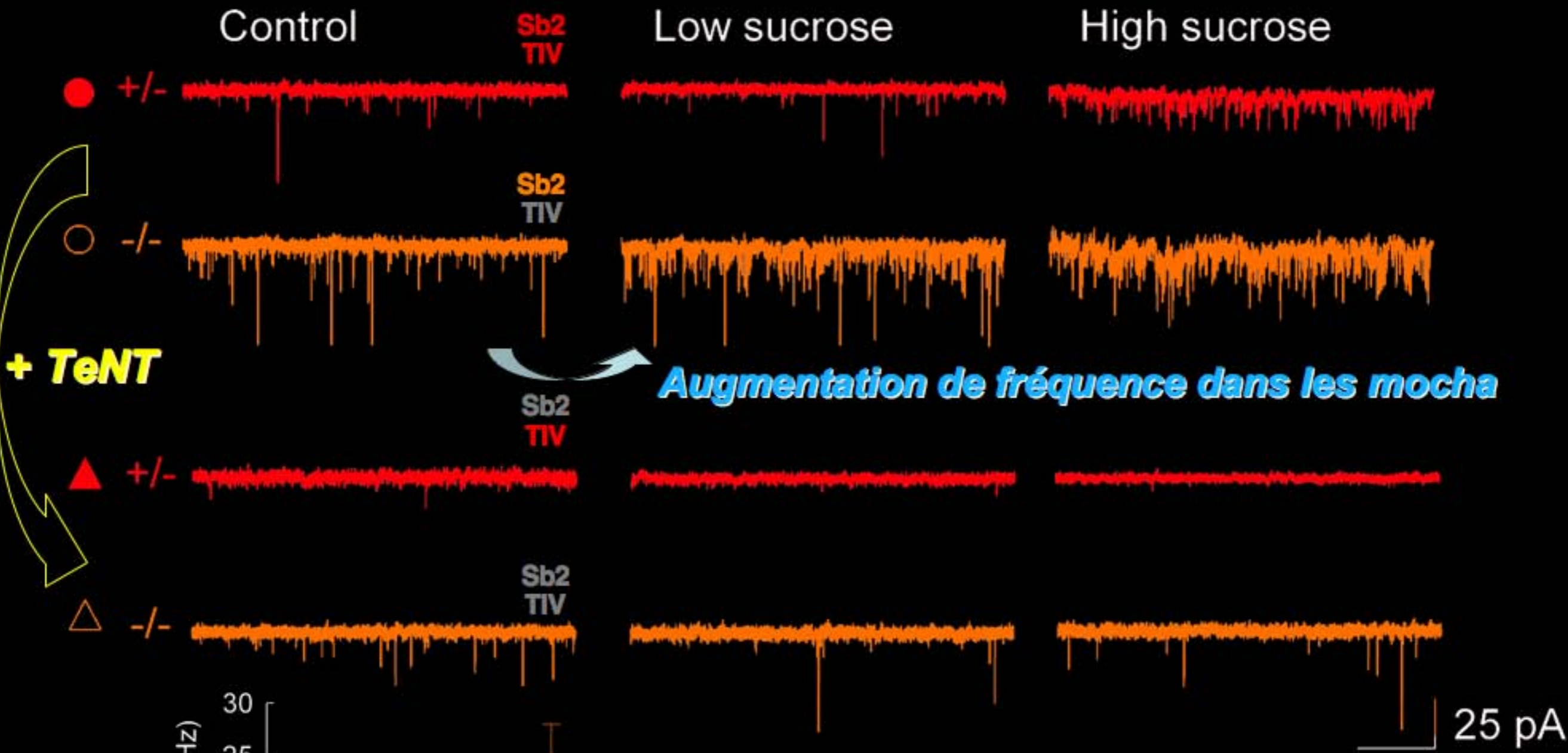


Mocha mice





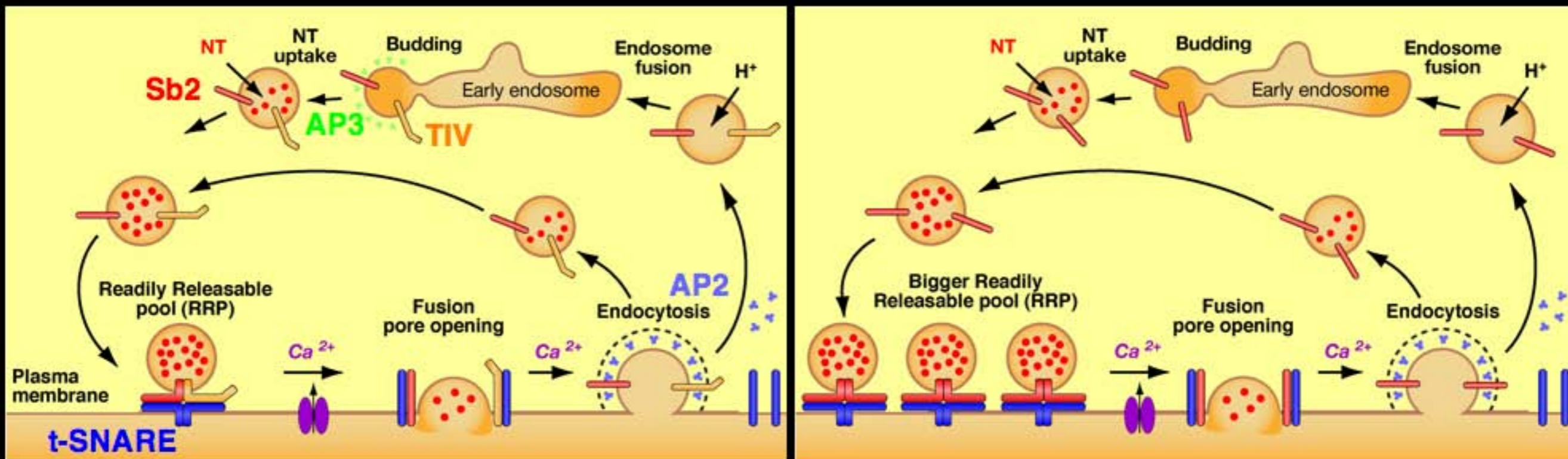
Augmentation du RRP dans les souris mocha



Fréquence augmentée dans les mocha : le RRP est plus grand chez les mocha

Après TeNT: pas de la freq des mEPSC
Le RRP ne peut plus être recruté.

A la fois TI-VAMP & Sb2 medient la libération basale & évoquée aux terminaisons des fibres moussues



Souris control

Souris mocha

En l'absence de TI-VAMP dans les terminaisons des fibres moussues (souris mocha) :

- le RRP devient plus important. La probabilité de libération basale augmente.
- La libération évoquée asynchrone, résistante à la TeNT, est perdue.



Lydia Danglot web page

Life Science & Imaging

Octobre 13, 2008

- ▶ Research
- ▶ Publications
- ▶ Teaching
- ▶ Favorite links
- ▶ CONTACT

Contact

Lydia DANGLOT, PhD

Institut Jacques Monod, CNRS UMR7592
 Equipe Avenir Inserm Thierry Galli:
 'Membrane Trafic in neuronal and epithelial
 morphogenesis'
 2 place Jussieu, Tour 43, Universite Paris VI et VII, Paris
 75005, France.

Tel: 33 1 44 27 52 48

danglot@ijm.jussieu.fr